

Yüan-tzu nêng
vol. 5, no. 8

原子能

Атомная
энергия

АПРЕЛЬ
1960

8

1960

中国科学院原子核科学委员会編輯委员会編輯 科学出版社
科学出版社出版 駐厂組样書

目 录

列宁論科学与技术.....	(660)
研究用核反应堆 BBP-C 的結構	(663)
在稠密等离子体中的离子迴旋加速式共振.....	(674)
少量鈾、鐳、釷和錒的电解分离.....	(682)
鈾的氧化物在酸性介质中溶解时氧化-还原过程作用的研究	(688)
論綜合矿山放射性测量工作.....	(693)
鈾的热处理.....	(696)
改变温度时多晶鈾样品中內耗增加的研究.....	(702)
苏联的放射性度量法.....	(707)

簡 报

能量为 14.7 兆电子伏的中子所引起的 $\text{Th}^{232}(n, 2n)\text{Th}^{231}$ 的反应截面	(714)
U^{238} 在能量为 14 兆电子伏中子的作用下所产生的 γ 輻射	(715)
在氦的温度下氦的閃爍現象的研究	(718)
鐳的質譜分析和鑑定	(721)
在小 Pe 值下对鈉的放热	(723)
在简单的离子交换柱中分离鋰同位素	(725)
在林区进行航空 γ 普查的某些特点	(727)
論在厚度小的吸收介质及散射介质中計算 γ 射綫积累因子的准确度問題	(730)
平板屏蔽后圆柱形源的 γ 射綫	(731)
用几种人工放射性同位素作医学上丙种射綫照相的研究	(733)

科 技 新 聞

第十屆全苏核能譜学会議	(736)
訪乌克兰科学院物理研究所 (与該所科学副所长涅明茨的談話).....	(738)
原子能的利用在巴西和阿根廷	(739)
西班牙原子核动力的发展計劃	(740)
唐宁快中子动力反应堆的启动	(741)
拉丁原子能发电站	(744)
TURRET 高温气冷反应堆	(746)
中子截面的新数据	(748)
U^{235} 裂变的参数	(749)
外国的新鈾矿床	(749)
照射材料用的工业装置	(752)
簡訊	(753)

新 书 介 紹

最新文献	(754)
外文目录	(封三)

列宁論科学与技術

庫里可夫(И. И. Кульков)

苏联科学的形成、不断地向前发展和所取得的成就是与苏联共产党及苏联国家的奠基人、全世界劳动者的領袖和导师、最伟大的思想家及科学泰斗——符·伊·列宁的名字紧密地联系在一起。

在列宁身上出色地体现了政治組織家及人民羣众領導者的智慧和科学家的理論力量的結合。列宁对国际工人运动和共产主义运动的功績是他在与形形色色机会主义分子的斗争中捍卫了馬克思主义理論的純洁性并用符合于新的历史条件的发现与結論丰富了馬克思主义理論。列宁对馬克思主义哲学、政治經濟学和科学的共产主义理論所作出的貢獻是最伟大的科学思想成就的一部分。

列宁的理論遺產是对社会科学及整个自然科学进一步的发展作出的巨大貢獻。

如众所周知,十九世紀和二十世紀之交,以自然科学方面的伟大发现为特征:1895年发现伦琴射綫(伦琴),1896年发现放射性現象(貝克勒尔),1897年发现电子(湯姆逊),1898年发现钋和鐳(皮耶尔·居里和瑪丽亚·居里),1900年奠定了量子理論的基础(普朗克),1905年建立了相对論(爱因斯坦)等等。这些科学成就根本上改变了科学家对自然的看法。

揭示并使有关物質結構及物質的运动形式等概念深刻化以后,这些新的发现在那时指出了旧物理学哲学基础——形而上学和机械唯物論的狹隘性和局限性。許多物理学家由于沒有掌握馬克思主义理論和不了解馬克思主义辯証法,在这些新发现面前显得无能为力,他們不能从哲学上总结和說明这些发现而成了唯心主义的俘虏。唯心主义者得出了反动的結論:物質消灭了,运动可离开物質存在,科学上的概念和規律不是客观存在的反映,而是“約定的符号”,是“象征”,是科学家贊同的結果等。所有这些造成了物理学上的危机。列宁写道:“現代物理学危机的实质就是:旧定律和基本原理被推翻,意識之外的客观实在被抛弃,这就是說,唯物主义被唯心主义和不可知論代替了。”(列宁全集第14卷第272頁,人民出版社)列宁在分析了危机的本質揭示了危机的社会原因和認識論原因后,指出了摆脱危机的道路和正确地解决随自然科学的发展而产生的哲学問題的道路,列宁卓越的著作“唯物論与經驗批判論”开创了科学发展上的新时代,这部著作現在成了每个唯物主义科学家必讀之书。毫无疑问,这本书的影响将远远超越二十世紀。列宁指出,关于物質結構的旧时概念随着我們知識的丰富和深入而改变,但是,無論我們对物質結構和物質特性的知識怎样改变,物質是不依我們的意識而存在的客观存在的事实依然不变。列宁在指出物質結構复杂性的无限性的同时,指出了人类揭示我們周围世界秘密的能力沒有限度。列宁关于原子的可分性、原子和电子的无穷尽性的天才預見具有特別重大的意义,他的預見为后来原子核物理的发展情况所証实。

列宁教导:哲学在自然科学中起着特別重要的作用。在“战斗的唯物主义的意義”一文中他写道,自然科学沒有哲学的結論不行,为了順利地与資產阶级的影响进行斗争,每个自然科学者必須成为辯証唯物主义者。这一論断对苏联科学的形成和发展有着重大的意义而且帮助所有进步的科学家对阻碍科学思想发展的反动思想作斗争。

列宁作为杰出的科学家懂得科学的决定性意义,他把科学称为“人类的驕傲”。尽管在苏維埃政权成立初期,列宁領導苏維埃国家击退外国干涉者和国内反革命的攻击,工作十分繁

忙,他对科学仍給予很大的注意。他认为,科学应作为建設新的社会主义制度的最重要的工具之一而服务于工人阶级。他說:“在科学代表、无产阶级和技术人員的联盟面前沒有任何黑暗的势力(列宁全集俄文版第30卷第376頁)。

列宁清楚地看到新的社会制度——社会主义給科学的发展提供了多么巨大的可能性,因为只有社会主义才能“使科学摆脱资产阶级的桎梏,摆脱资本的奴役,摆脱做卑污的资本主义私利的奴隶的地位。只有社会主义才可能根据科学的見解来广泛推行和真正支配产品的社会生产和分配,也就是如何使全体劳动者过最美好、最幸福的生活。只有社会主义才能实现这一点。”(列宁全集,第27卷第385頁,人民出版社)。

无数的文件:政府的決議,函件和記事,講話和报告,文章的大綱及提要都令人信服地証明了列宁对科学在国家生产力发展上,对进行文化革命上曾給予多么大的重視。

“科学技术工作计划草案”很鮮明地証明了这点。在这个計劃草案中国民經濟最高委员会建議委託科学院立即拟定改組苏維埃俄罗斯工业和提高經濟的計劃。除了提出总的任务外还提出了計劃的具体内容,这个計劃應該包括“俄罗斯工业的合理分布”和“生产的……合理集中”(列宁全集第27卷,第288頁)。对工业和运输业的电气化和把电运用到农业中去等給予特別重要的意义。就这样列宁指出了社会主义建設条件下科学院的具体活动綱領,确定了苏联科学和技术的基本发展方向。

只有在先进科学技术取得最新成就的基础上才能实现列宁拟定的全部措施。为了使科学和社会主义建設实践更加接近,在国民經濟最高委员会中設立了科学技术部。科学院和国家生产力研究委员会获得必要的財政資金去实现宏伟的科学工作计划。列宁經常注意不使对发展国民經濟有重大意义的科学研究工作受到任何障碍。列宁对科学和技术上的成就非常关心并予以最大的注意。克尔日然諾夫斯基(Г. М. Кржижановский)院士回忆道:“从列宁与我作亲切友好談話的几分鐘休息時間内,我了解到再沒有比談科学新聞,特別是談技术上經常取得的成就再好的方式能使列宁摆脱一下要解决的重大問題了,而且在这些成就中最使他注意的当然要推那些可以在我們俄罗斯直接应用的成就。”(“科学工作者”上册,俄文版第41頁,1925年)列宁关心的是电工技术,无綫电技术,地下煤气化,化学在生产中的应用,内燃机制造业,航空技术及其他許多的技术等。

大家都知道,列宁认为全国电气化有何等巨大的意义。根据他的創議并在他亲自参加之下拟定了著名的俄罗斯国家电气化的計劃。列宁把国家电气化理解成建立共产主义的物质生产基础,发展巨型工业,首先是在先进技术和劳动生产率高的基础上发展重工业。列宁指出:“共产主义就是苏維埃政权加全国电气化”。这个著名的論断成为苏联共产党及全体苏联人民活动的基本指南。这个論断正在順利地变成为现实。在我国不仅在建設着大型的热电厂和大型的水电站,并且正在建設大型原子能发电站。

在內战最激烈的时候,在飢餓和破坏的环境下,列宁非常有远見地估計了庫爾斯克磁异常(KMA)的意义。他写道:“我对庫爾斯克磁异常的考察工作所具有的特別的重要性予以注意……在这里我們拥有几乎是世界上未見过的財富,它能使鋼鉄工业的情况彻底改变”。(列宁选集俄文版第17卷,466頁)。現在列宁的指示正在順利地执行着,庫爾斯克的矿石越来越多地冶炼成为金属。

还在无綫电刚开始发展的时候,列宁对无綫电的政治意义及国民經濟的意义作了很高的評價,称之为“最重要的事业”。符拉基米尔·伊里奇在給著名的科学家、无綫电技术专家米·亚·邦契-布鲁也維奇(М. А. Бонч-Бруевич)的信中这么写道:“現在借此机会,对于您在无綫电发明方面所进行的巨大工作表示深深的謝意和积极的贊助。您所創造的不要紙張、沒有

距离'的报纸,将是一件大事。对您的这一工作以及这一类的工作,我一定全力协助。”(列宁全集第35卷第435页,人民出版社)由于列宁亲自经常的支持,无线电技术很快地发展成为科学技术的一个强大部门,并在符拉基米尔·伊里奇还在世时就在世界上占了主要的地位。

列宁经常关心那些能减轻人的劳动和能提高人的生活水平的科学技术成就。例如列宁在1913年写的专门叙述地下煤气化的一文“一个伟大的技术胜利”中写道:“这一发明在工业中所起的变革将是巨大的。因为由于地下煤气化,可以节省用在采煤和运煤上的大量人力劳动:如果说在资本主义制度下,这个发明必将造成工人大批失业,贫困现象更加严重,则在社会主义制度下,这个发明就能立刻缩短一切工人的工作时间,例如从8小时缩短到7小时,甚至更少些。所有工厂和铁路的‘电气化’,一定能使劳动条件更合乎卫生,使千百万工人免除烟雾、灰尘和污垢之苦,能很快地把肮脏的令人厌恶的工作车间变成清洁明亮的、适合人们工作的实验室。”(列宁全集,俄文版第19卷第42页)列宁正是这样去了解科学技术最新成就的意义——为人类利益服务,而并非相反。

列宁指出:必须经常注意外国的科学技术成就并把它們用到建设新社会的事业中来。正因为如此,他支持在国民经济最高委员会科学技术部之下建立外国科学技术局的倡议。列宁还建议把科学家和工程师派到外国去研究外国经验并收集最新科学技术成就的文献,以便立即把它們用来顺利地建立新的社会主义的经济。

列宁认为发展国际科学技术合作具有重要的意义。关于这一点可用列宁在外交人民委员会契切林的信上所写的批语来说明,这封信提到了苏联对金奴耳兹会议的倡议(参阅列宁选集俄文版第16卷,第452页)。

遵循着列宁的遗训,苏联致力于国际间广泛的技术合作,其中也包括原子能的和平应用方面。“我们准备在和平利用原子能的事业中和各国人民合作,我们会很高兴,如果这个号召能为各国响应的話”。(H. C. 赫鲁晓夫对美国之行读者来的信件和电报的回答,1959年9月15日“真理报”)。原子能和平利用上最明显的国际科学技术合作例子是莫斯科郊区杜布纳联合原子核研究所的活动。十二个国家的科学家在这个研究所内把自己在原子核研究工作中的力量联合起来,苏联把独一无二的设备,包括把基本粒子加速到六亿八千万及一百亿电子伏的加速器转交给联合研究所。

苏联为了使和平利用原子的福利成为更多人的财产,极乐意地帮助许多国家建立本国的原子能科学研究中心,为它們提供设备,仪器,研究用反应堆,加速器,同位素。

苏联的科学事业遵循着列宁的遗训,得到了巨大的成就。赫鲁晓夫在我们党第二十一代表大会上宣布:“苏联的科学家,设计师和工程师为我们的祖国作出了巨大功绩,他们为建设共产主义的全民事业作出了应作的贡献。”(赫鲁晓夫,1959—1965年苏联发展国民经济控制数字,莫斯科俄文版,国家政治出版社,1959年,第12页)

苏联的科学家和工程师在原子能的研究、变换和和平利用的事业中取得了卓越的成就。原子核物理方面的成就是巨大的。为了顺利解决巨大的极困难的问题——实现受控热核反应已做了不少工作。在苏联建成了世界上第一个原子能发电站,其他功率更大的原子能发电站正在运转和建造。建成了世界上第一艘“列宁”号原子破冰船。在国民经济中广泛地应用放射性同位素和稳定同位素。

苏联科学技术的卓越胜利是人造地球卫星,制成了第一个太阳系人造行星,发射了把苏联国徽带到月球的宇宙火箭,在月球背面摄影和许多其他的伟大成就。这些伟大的成就说明了苏联科学所取得的巨大进步,而苏联科学的发展道路和远景都是符拉基米尔·伊里奇·列宁所规定的。

研究用核反应堆 BBP-C 的结构

科兹洛夫 (В. Ф. Козлов)

泽姆良斯基 (М. Г. Землянский)

为了进行和平利用原子能的科学研究工作,在苏联建造了水-水反应堆。

目前这类反应堆在苏联和其它社会主义国家已经建成和运转。在 1957—1959 年已经有六个这样的反应堆投入运行,有五个反应堆(其中四个具有加强功率)正处于制造、安装和启动试验阶段。

本文描述了 BBP-C 反应堆的结构和其实验装置。反应堆的物理特性列于文献^[1]中。

反应堆的实验能力

核反应堆用来获得 $\sim 2 \cdot 10^{13}$ 中子/厘米²·秒的中子通量。它具有足够的后备反应性,以便进行研究工作^[2]或制造放射性同位素。为了这些目的,在活性区内设置了八个直径为 40 毫米的孔道和一个直径为 60 毫米的干燥孔道,在压出器里设置了二十个直径为 60 毫米的孔道,这些压出器是在工作开始时装在活性区内的。

在活性区边缘装有用挡板关住的九个水平孔道,其中六个孔道的直径是 100 毫米,其余三个是 60 毫米。此外,在活性区边缘还装有一个可移开的热柱,这个热柱具有四个直径为 80 毫米的垂直孔道,这些垂直孔道又和直径为 100 毫米的水平孔道连在一起。热柱的水平孔道用手动挡板关住。挡板放在铸铁防护层中。

所有垂直和水平孔道都用特殊的机械手操纵。在反应堆的混凝土防护层内装设了三个直径为 350 毫米的生物孔道和四个直径为 80 毫米的控制用孔道。

在反应堆外壳结构中预先考虑了在活性区内装设两个实验回路的可能性。

反应堆的主要特性

BBP-C 反应堆(图 1)有下列主要特性:

热功率, 瓩.....	2000
最大热流, 大卡/米 ² ·时.....	$0.44 \cdot 10^6$
释热元件盒数目:	
工作初期.....	31
工作末期.....	51
冷却活性区的第一回路蒸馏水流量, 米 ³ /时.....	650
冷却蒸馏水的第二回路工艺水流量, 米 ³ /时.....	250—300
装载量, 公斤 U ²³⁵ :	
工作初期.....	4
工作末期.....	5.6
用水、铸铁以及(普通的和重的)混凝土作为辐射防护层。反应堆的径向防护层是水 (800	

毫米)、鑄鉄(200 毫米)和密度为 3.2 克/厘米³ 的混凝土(1600 毫米)。在管子和通风柜通过防护层的地方装設有鉛板和鑄鉄板。活性区上面的水防护层厚 3.5 米,活性区下面的厚 1.15 米。

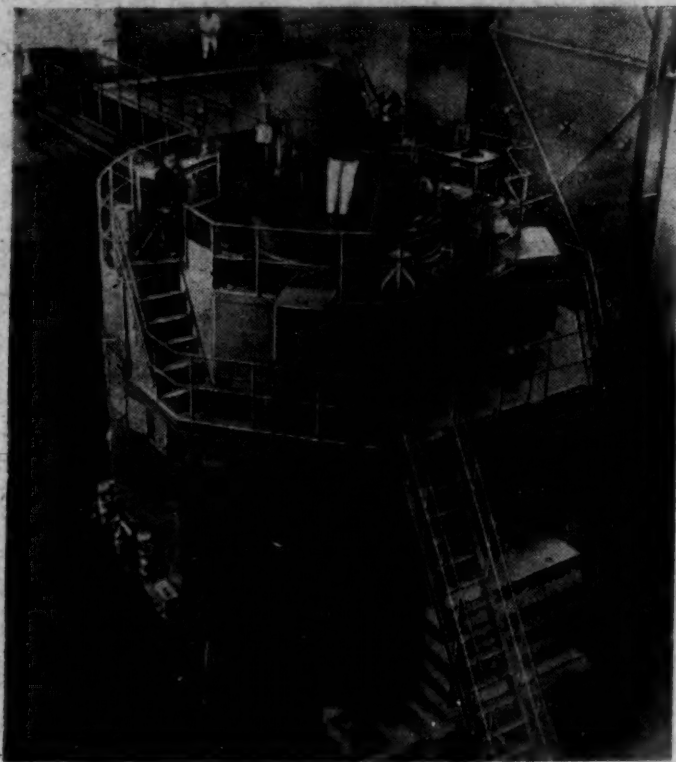


图 1 从热柱方向看去的 BBP-C 反应堆的形状

此外,頂部还有厚 800 毫米的鑄鉄圆盘作为上部防护层。

为了避免放射性空气和蒸汽的扩散,在反应堆的頂部、底部以及释热元件貯藏井的上部进行通风,在这些地方保持恆定負压。

反应堆的装載量保証后备反应性 $\Delta k = 0.05$ 。用控制棒来补偿后备反应性和控制反应堆,有一部分控制棒用作事故防护。

第一迴路的工艺流程图

装置的工艺流程图画在图 2 上。

蒸餾水在反应堆活性区中从 34°C 加热到 36°C。用离心泵使蒸餾水循环。蒸餾水在两个热交换器中(每个热交换器面积 ~ 95 米²)把热传给第二迴路流动的水。蒸餾水中裂变碎片的淨化在过滤器内进行。过滤物包括阳离子交换剂、阴离子交换剂和活性炭。这些吸收剂在装入过滤器以前加以特殊处理。过滤器只是当蒸餾水中出現碎片的放射性时才定期地接入迴路中。

为了消除反应堆工作时形成的爆炸性气体,設置了除气器,有不到总流量 10% 的蒸餾水不断地流过它。

图 3 和 4 給出了第一迴路设备布置的概念。这些设备的主要部分装在地下室中,地下室有很厚的防护墙。

在反应堆装置中保証进入方便和设备可靠地工作,并保証导管能自动补偿。

为了在吸入管建立压头,避免泵工作时由反应堆功率波动引起的空隙現象,水泵机組装設在比反应堆低得多的地方。

为了避免工作人员偶然的錯誤,排水活門和閘門有手动传动机构,因为用电传动机构时可能偶然地打开排水装置。这会把水从反应堆中排出,其結果也可能因剩余释热而引起重

大事故。

热交换器垂直地装设，以便同时利用它们作为迴路中机械混合物的捕集器。蒸馏水在热交换器底部速度较小，但方向有急剧的变化，因此为机械混合物的析出创造了条件。混合物用

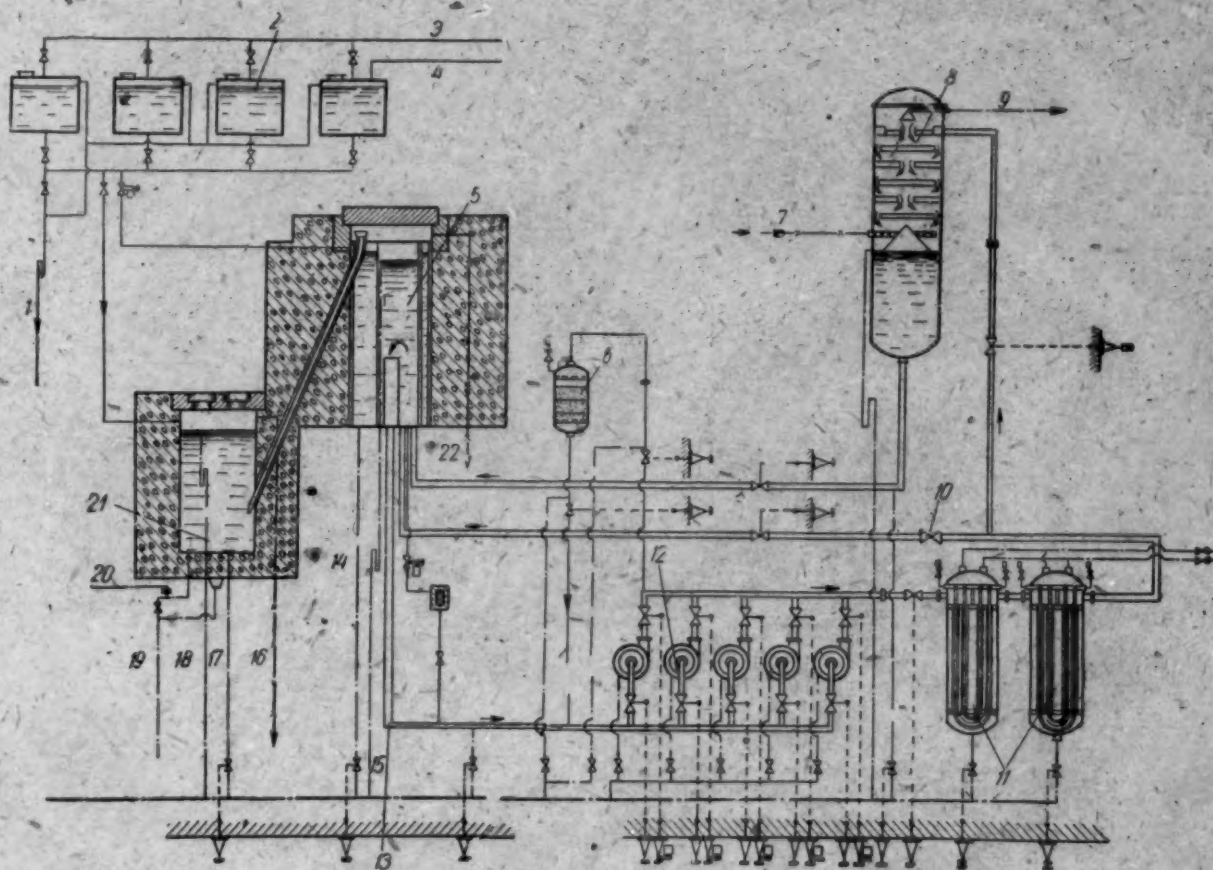


图 2 装置的工艺流程图

- 1—排往排水设备；2—蒸馏水箱；3—蒸馏水；4—工艺水；5—反应堆；
6—过滤器；7—从中央大厅来的空气；8—除气器；9,16,22—去工艺通风系统；
10—节流阀；11—热交换器；12—水泵；13—导管；14,17—排水
管；15,18—溢流管；19—去排水系统；20—接水平仪；21—用过的释热元
件盒的贮藏井。



图 3 堆的水泵间

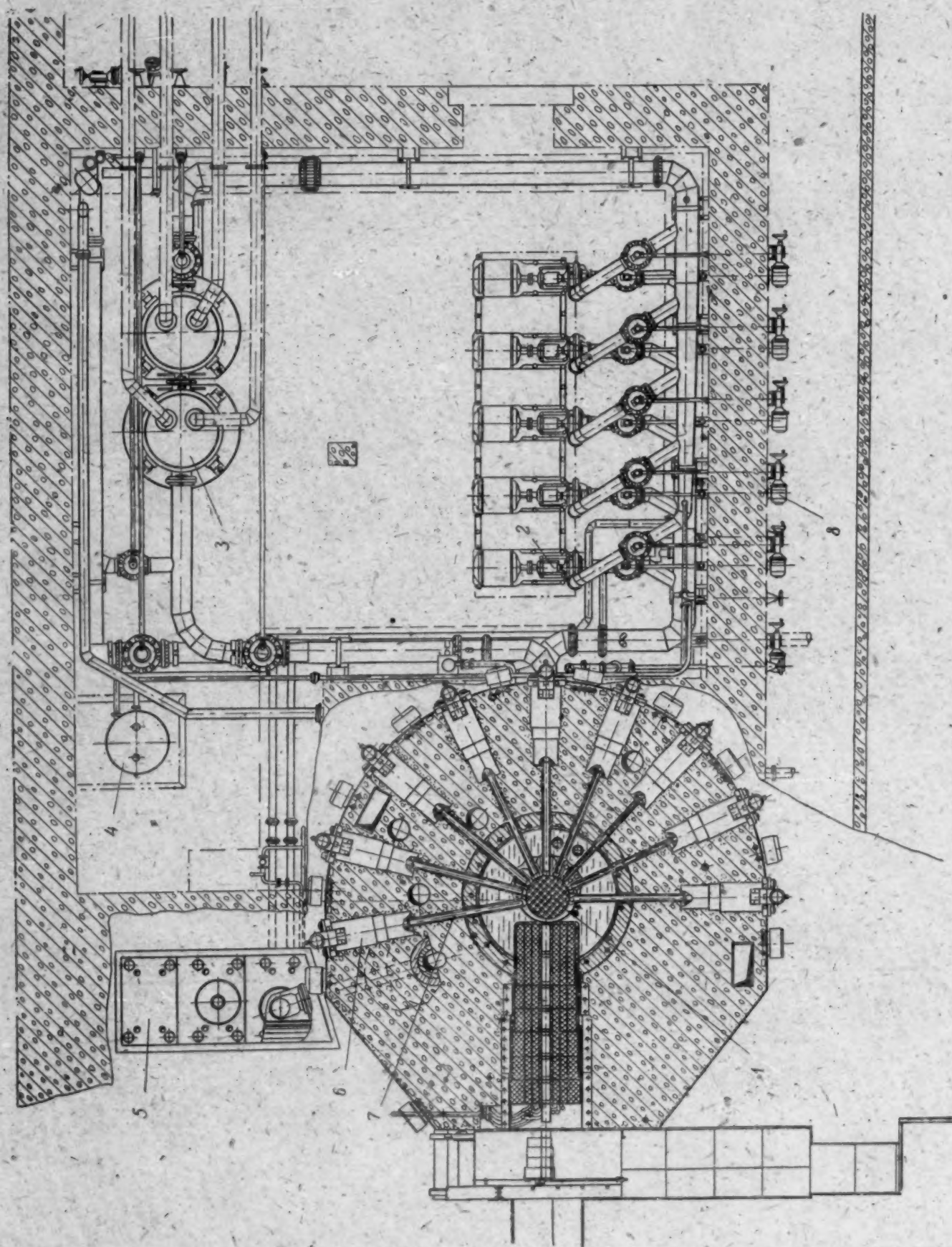


图4 堆和水泵间的水平剖面图

- 1——反应堆； 2——水泵； 3——热交换器； 4——过滤器； 5——贮藏井；
6——组挡板； 7——水平孔道； 8——与阀门连接的传动机构。

定期排水的办法排入废水箱中。

为了调节蒸馏水通过迴路中除气器(在热交换器后面)的流量,装設了特殊的节流装置,它可以借助于地区信号站和配电盘作定时的控制(见图2)。节流装置的结构可以避免导管完全堵塞,因为在利用电传动机构时很快地完全截断流量可能导致水击。

为了防止蒸馏水填满和添注入反应堆水箱超过规定水平时发生溢流,設置了溢流管(溢流可能使蒸馏水落入游离室孔道和挡板中,其结果游离室可能损坏,而挡板部件遭到腐蚀)。当接入除气器时,反应堆水箱内蒸馏水的水平面降低,因此只有在停泵时,即迴路中循环中断时,才把蒸馏水添置到反应堆水箱内达到规定的水平。辅助迴路导管和溢流管的断面积适当选择,使得迴路中循环中断时避免溢流。为了防止顶部防护的鑄鉄盖板上形成冷凝水并防止冷凝水滴入游离室,在箱上面經常保持真空。

反应堆的结构

反应堆的部件和机构安装在支承底座和骨架装置上(图5)。利用这些中间构件(底座和

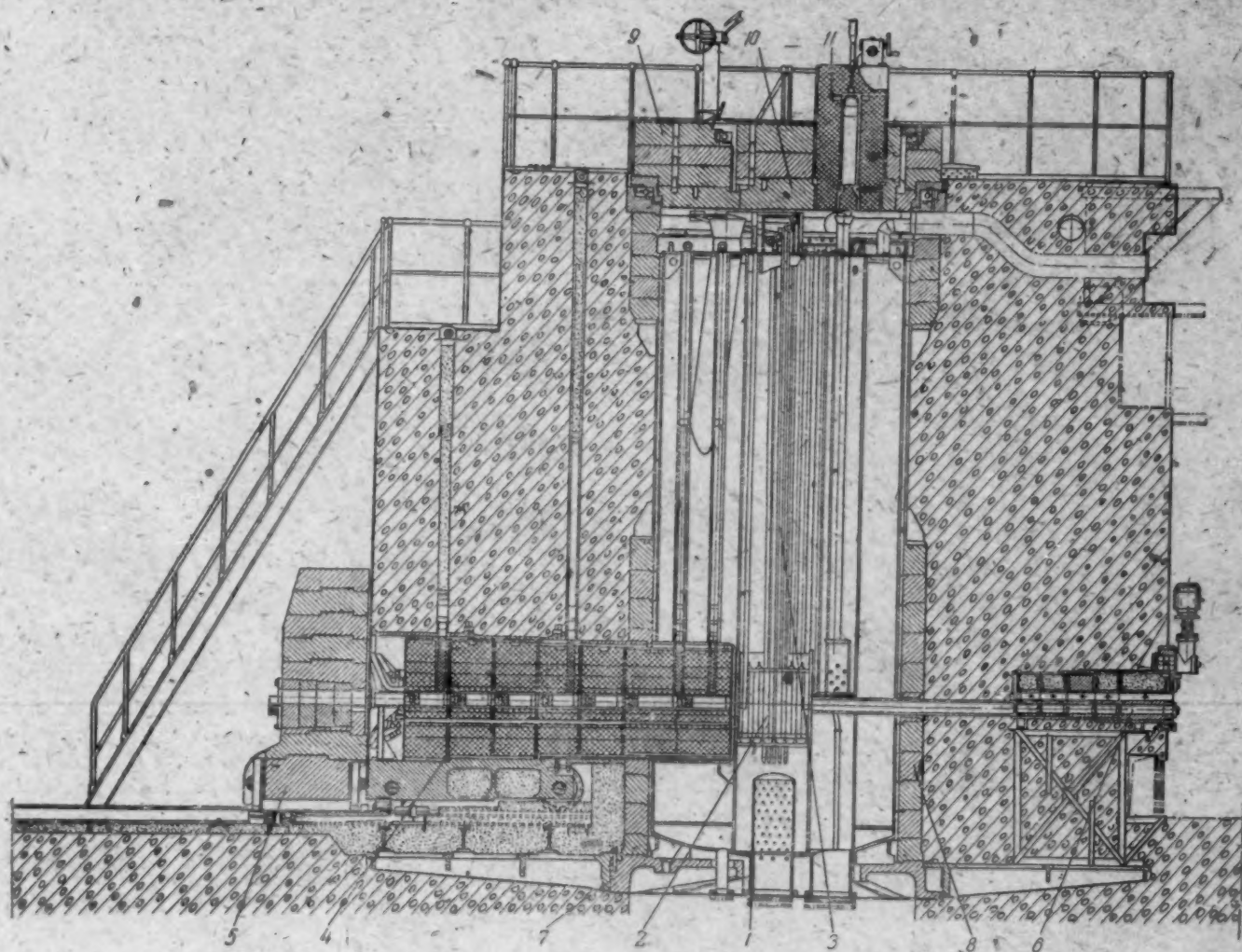


图5 反应堆沿热柱切开的剖面图

- 1——反应堆外壳；2——活性区；3——调节棒孔道；4——热柱；5——热柱的防护层；6——挡板；7——支承底座；8——骨架装置；9——顶部旋轉盖板；10——小旋轉盖板；11——容器。

骨架装置)就可以在工厂中把反应堆完全装配好、进行部件的修整、调整机构的工作、并确定部件之间的相对位置。这大大简化了反应堆在工地上的安装工作,并在安装时不再需要用作结构部件的混凝土防护层,提高了安装质量,缩短了安装时间。有了这种结构,就可以把这类

反应堆做成标准型式，使它的安装和整套反应堆装置投入运转的工作顺利实现。图6上表出在车间中把反应堆装配在支承底座和骨架装置上面的情景。

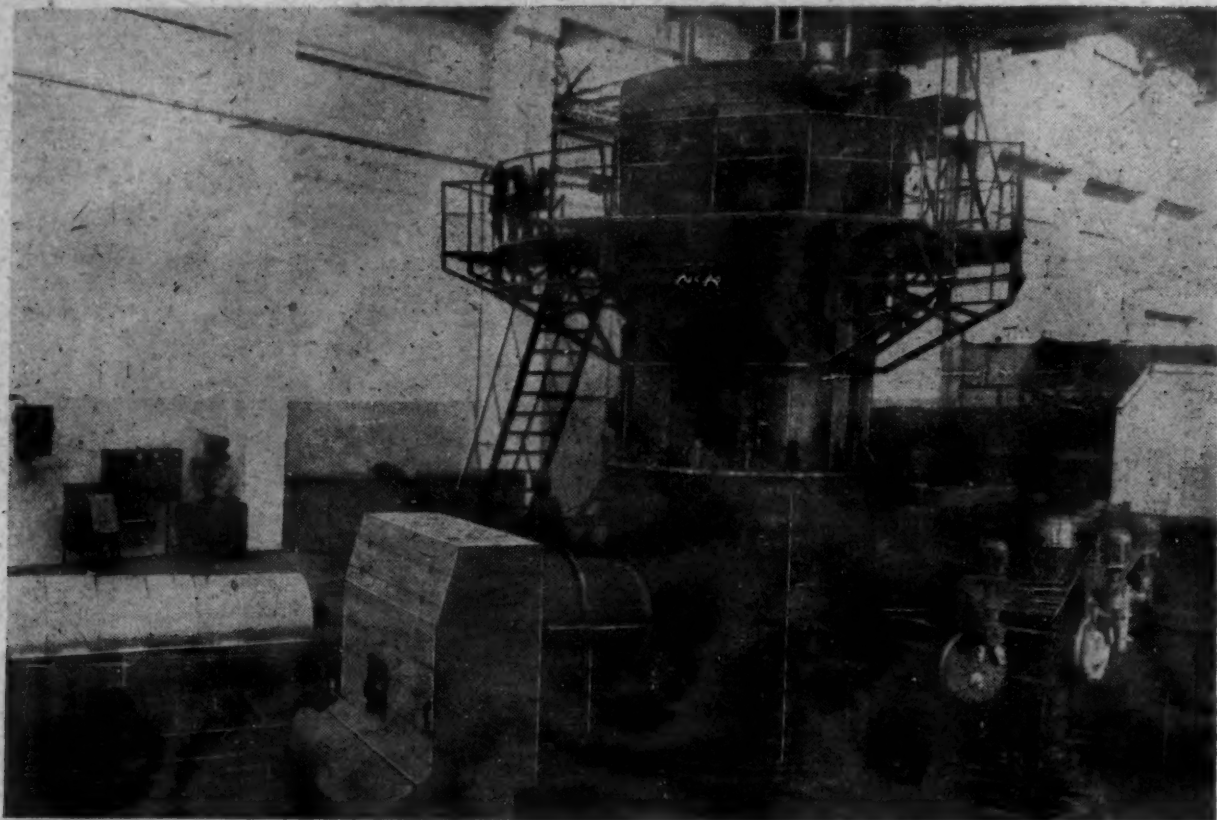


图6 反应堆的车间装配图

反应堆的活性区放在箱中，箱直径2.3米，高5.9米，由铝合金制成。此外，在箱中还配置有实验和输送孔道(图7)以及控制棒。

箱子由三个焊在球形底板上的圆柱形弯板和两个可以取下的盖板组成。利用普通的弯板可以减少回路中载热剂的体积，这样就减少了废水箱的容积，释热元件复盖层的密封被破坏的情况下，被沾污的载热剂排至废水箱。箱上焊有九个水平孔道(见图4)、放置热柱前圆盘的壁龛以及七个穿透的垂直孔道。这些垂直孔道供实验用，把辐照样品送往热室和装设实验回路。为了把释热元件盒送往贮藏井中，在箱上还焊有输送孔道的斜管(见图7)，其内径为200毫米。箱底部焊有溢流管、排水管、循环管以及控制-测量仪表用的管子。箱的顶部装有：带有九个调节棒用垂直孔道的十字形支架、辐照样品的孔道、两个准备装载释热元件盒的孔道以及七个装设游离室的孔道。

支承底座上装了骨架装置，它的底部是一个铸铁环，外侧是圆框，顶部也是一个铸铁环，另外还包括带有台架的水平实验孔道的挡板、超梁的作用的铸铁短管以及热柱的轨道。装设骨架装置的铸铁环主要是为了减少混凝土中的辐照释热。骨架装置顶部安装了大的旋转盖板(见图5)，它同时是防止工作人员受到照射的顶部附加防护层。盖板用手动和电传动机构使其旋转。在它上面偏心地装了一个带有手传动机构的小旋转盖板。在运行过程中小盖板上安装有机手和光学装置(见图7)，并装有容器(见图5)，它用来在活性区手动卸料时输送释热元件盒。

反应堆骨架装置四周有混凝土防护层，其中装设有带铸铁防护层的斜输送孔道、生物孔道、存放机械手装置的孔道、保存游离室与控制 and 防护系统的棒的七个孔道、热柱的实验孔道、存放塞子和光学装置的孔道、导管、通风管道、电气管道、实验室中用的电缆箱、以及控制-测量仪表和剂量仪表的输出管和脉冲管。在铸铁短管组成的洞中安设了热柱，其端面用可移动的

鑄鐵防护块盖上(见图 5)。

反应堆混凝土防护层的頂部复以不銹鋼。在这个防护层的頂部有一些洞，其中装設有悬

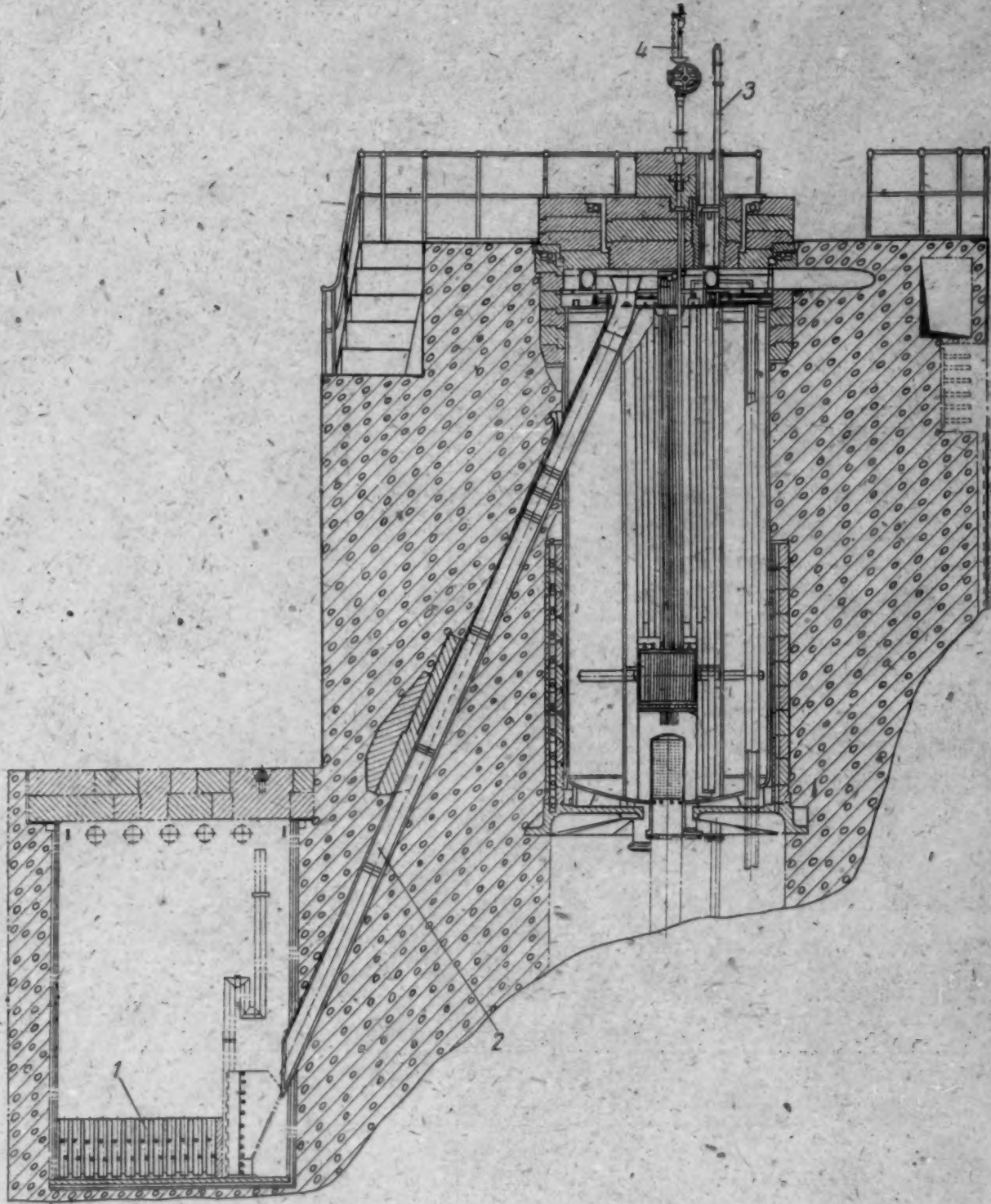


图 7 反应堆沿輸送孔道切开的剖面图

1——貯藏井； 2——取下释热元件盒用的輸送孔道； 3——光学裝置； 4——机械手裝置。

臂支座,在它上面安装了使起动游离室和控制棒移动的机构(图 8)。

控制和防护系统的机构

有五根手动調节棒用来补偿后备反应性,有三根棒用作事故防护,而有一根棒用来自动保持功率水平。

自动調节棒由硼鋼制成,其余的棒由碳化硼制成。棒在活性区内作十字形分布。每根棒

都带有导向管,并装设在释热元件盒之間。在棒与伺服传动机构之間用繩索传动,它作几組十字形的布置。这种布置預先决定了把所有棒的伺服传动机构集中到三个独立的安装面积上。

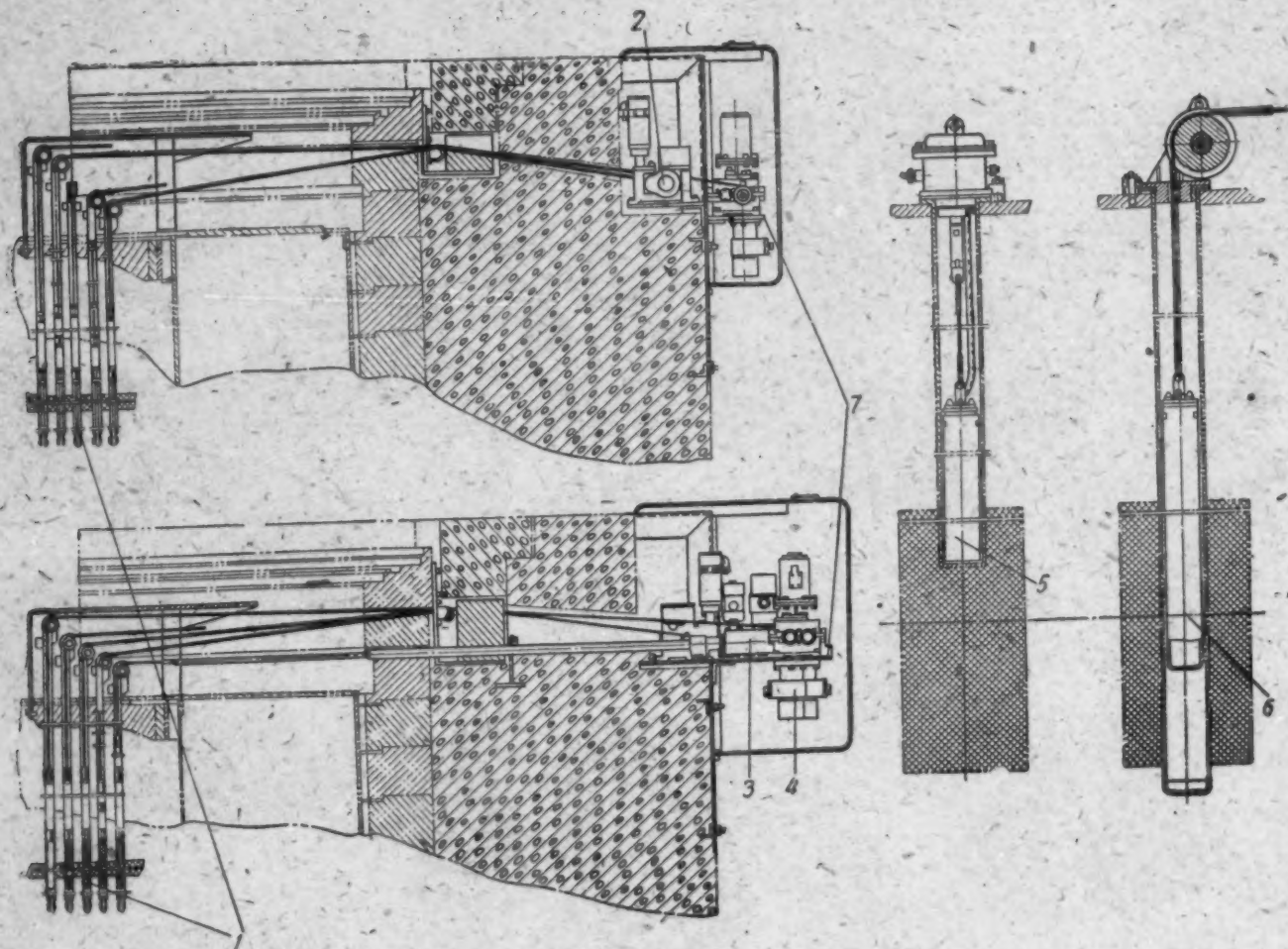


图 8 控制和防护系统的纵剖面图

- 1——控制系统的棒； 2——事故防护的伺服传动机构； 3——精密调节的伺服传动机构；
4——自动调节的伺服传动机构； 5——固定（工作的）游离室； 6——移动（起动的）游
离室； 7——悬臂支座。

这就便于实现活性区的机械换料,并为操纵伺服传动机构和保证繩索传动不受外界影响創造了很好的条件。棒的位置用位置发送器调节。

为了在反应堆起动和稳定工作时控制它的功率,在反应堆水箱中装設了七个 KHT-52 型的游离室。

三个(起动的)游离室用繩索与三个伺服传动机构连接着,并可在垂直方向移动。游离室的位置用位置发送器和指示器调节。四个(工作的)游离室装設在相对于活性区的一定高度处。

为了精确地决定各种材料放入活性区时反应性的变化,設置了带传动机构的精密棒(见图 8)。精密棒移动的直线速度为 2 毫米/秒。在最上和最下的位置伺服传动机构的电动机用終程微型开关断开,后者装設在位置发送器內。

事故防护棒在发出相应信号的情况下,由于压缩弹簧和本身重量的作用,将在 0.2—0.3 秒內落到下面的位置。在下降的最后一段,棒用放在伺服传动机构中的摩擦装置制动,这減輕了棒对繩索系统和伺服传动机构的鼓膜装置的撞击作用。

事故防护棒的伺服传动机构和电动机的连接用的是摩擦离合器,它可以防止在頂端开关损坏的情况下繩索传动的断裂和过载。手动调节的伺服传动机构保证棒有二个运动速度:工

作的(6毫米/秒)和事故的(37毫米/秒);自动调节的伺服传动机构在手动控制时棒的运动速度为6毫米/秒,而在自动控制时速度可达到35毫米/秒。

反应堆的换料系统

为了在反应堆内更换释热元件盒和样品,用了一套机构,它由下列零件组成:二个旋转盖板(一大一小)、带传动机构的机械手、盒和样品的输送孔道、光学装置和照明等。机械手通过旋转盖板可装设在任何需操纵的座标点之上。所有操纵点都有自己的角座标,并用装设在旋转盖板机构上的表格标明。利用机械手可把释热元件盒从活性区移往贮藏井中,而把辐照样品移往热室中。换料时不必取下反应堆水箱内的防护盖板。这使反应堆上部不致被放射性沾污,并使工作人员不致受到照射。装入新的释热元件盒和样品时可以用同样的机构,同时应用准备装料的附加孔道。

机械手装置包括带把手的长杆、控制把手的传动机构以及升高和降低杆子的传动机构。装置只是在换料时才安装在小盖板的特殊孔内。

为了用目力观察反应堆的中心部分,设置了光学装置。它由防护盒和光学仪器组成。光学装置只是在必要时才安装在反应堆内。为了更好地观察释热元件盒的更换情况,反应堆的中心部分用移动式汽车前灯照明。

挡 板

防护挡板(见图4和图5)用来开启和关闭九个水平实验孔道,孔道只是在依次把五个防护圆盘转到一定角度后才被挡板完全关住。为了避免外罩受到直接照射,挡板的套筒和轴都作成梯级的,而圆盘有不同的直径。

圆盘用电动机通过行星齿轮减速器使其转动。当把减速器和电动机断开时,可以用手来使其转动。减速器通过最前面的一个圆盘的齿圈和所有圆盘连接着。当最前面的圆盘在最后的位置时用微型开关自动地把电动机断开,并打开相应的信号灯。为了把准直仪装在前面的圆盘上,在挡板的盖上设置有相应的孔。

所述挡板的结构还用在其它 UPT-1000 和 BBP-2 堆上。

热 柱

热柱(见图4和图5)由带有槽的小车、五个可拆卸的石墨圆盘和冷却装置所组成,而冷却装置又由八个有冷却水进出系统的菲勒德管子组成。小车装在轨道上并可以沿轨道移动。装在铝制圆柱形筒中的石墨圆盘有一个中心(轴向的)孔和四个垂直的孔。这些孔是物理试验用的实验孔道。孔道用石墨塞子塞住。热柱的外面有铸铁生物防护层。其中沿热柱轴线安有中央孔道的挡板。挡板有手动传动机构。热柱的防护层装在轨道上,并可以用绳和绞车使其移动。带有防护层的热柱在最终位置处用带信号设备的终程开关使其停止。它把电动机换到低转速上,并接通把电动机的电源断开的時間继电器。

在热柱退出后其底部用铸铁防护层挡住。热柱和铸铁防护层的移动可以在反应堆大厅中的两个操纵台上远距离控制。热柱在推入时和铸铁防护层在关闭时都直到缓冲器处,并停在最终位置上,其准确度在0.1毫米以下。这保证了热柱的垂直孔道与反应堆的垂直孔道吻合,水平孔道与铸铁防护层的孔道吻合。

貯 藏 井

贮藏井(见图4和图7)用来存放用过的和损坏的释热元件盒。在箱子的底部安有一块

板,它有60个均匀分布的篩孔,释热元件盒可以放在这些篩孔中。当放置释热元件盒时貯藏井用水下前灯照明。斜輸送管道从反应堆引向貯藏井,释热元件盒沿管道落到装在箱子底部的接收器内。为了避免释热元件盒的外壳在抛下时变形,接收器的壁面和底部都复以橡皮。

在貯藏井的箱子上焊有供給蒸餾水的管子、排水管和控制測量仪表用的管子。盖在貯藏井上面的鑄鉄防护板有两个孔,通过它們来提取和更換释热元件盒。孔用塞子塞住。箱子的上部空間进行通风。

設 备 的 台 架 加 工

由于根据已完成的設計必須同时制造許多BBP-C型反应堆,而且其中大多数将在国外安装,因此对反应堆的单个部件和构件的台架加工給予很大的注意。

在台架上作了下列工作和发现了下列現象:

1. 檢驗了活性区的水力特性;在三个可操縱的区域内(与三个計算用径向释热分布相符合)决定了蒸餾水的速度和流量。观察到用来模拟反应堆压力壳的水力台架有強烈的振动。但是在蒸餾水入口处装了圓錐形噴嘴后上述現象就停止了。

2. 为了供应蒸餾水来冷却棒,在孔道壁上开有許多径向孔,但由于孔的数目不够,所以空气通过控制棒的孔道被吸入第一迴路。迴路中存在空气可能导致功率波动和水泵工作不正常。增加堆控制孔道壁上的孔的数目,即可消除把空气吸入迴路的現象。

3. 調整好密封和测定了水泵的特性。

4. 发现了当活性区中蒸餾水流量超过了1500米³/时的时候有些释热元件盒的壁面由于盒内靜压力的減少而向里面变形。

5. 当把释热元件盒抛入貯藏井时,已对輸送孔道和貯藏井的接收器进行加工。确定了接合处的突緣和輸送孔道的内表面由于凹陷形成的不平坦会导致释热元件盒外表面的变形和擦破。消除这些突緣和不平坦将可避免释热元件盒抛入貯藏井时的损伤。

6. 檢驗了机械手装置的工作以及将释热元件盒和样品装入活性区和从活性区取出的工作,这些动作要求經過一定的訓練。

7. 测定了活性区的中子物理参数^[1]。

8. 用多次抛下事故棒檢驗了事故防护的伺服传动机构的工作。例如,事故防护棒的伺服传动机构在抛下2000次棒时經受住考驗。摩擦装置工作正常。棒最終位置上下在5—12毫米范围内。

9. 在挡板开启时把挡板和圓盘的孔道合在一起进行精确加工。結果孔道吻合的范围在0.05毫米以下。发觉了挡板关闭和开启时有很強的撞击,这些撞击会使圓盘的支承导向接合器变形和损坏。圓盘的平衡可以消除这种現象,但是在这种情况下挡板上要增加很多金属(这将使挡板的防护性能恶化,并使挡板区域内 γ 本底強度急剧增加)。所以在开启和关闭挡板时只是对中間的二个圓盘作了保持力矩不变的平衡工作。挡板用2000次反复的开启和关闭作了檢驗。

反应堆功率的加强

BBP-C反应堆裝置的設計考虑了加强功率的可能性。为此在反应堆中設置了中子和 γ 輻射的加大的生物防护层(940克/厘米²),同时迴路設備及其布置都有很大的儲备。

为了減少混凝土防护层中的释热量,在骨架裝置結構中装有鑄鉄圓环,它有14个冷却防护层用的垂直孔。所有这些在增加释热面积和放热系数 α 的条件下将可以使反应堆功率加强到

1—2万瓩。

这样两个加强功率的反应堆正处在起动和调整试验阶段。

参 考 文 献

- [1] Н. А. Лазуков, И. Е. Челноков, В. П. Иванов: *Атомная энергия*, 5, вып. 1 44 (1958).
- [2] Ю. Г. Николаев: Материалы Международной конференции по мирному использованию атомной энергии (Женева, 1955), т. 2. М., Изд-во АН СССР, 1957, стр. 469.

在稠密等离子体中的离子迴旋 加速式共振

杜鮑伏依 (Л. В. Дубовой) 許維茨 (О. М. Швец)

奧甫欽尼柯夫 (С. С. Овчинников)

研究了利用离子迴旋加速式共振机制加热等离子体的可能性。証明在带电粒子密度为 10^7 — 10^{11} 厘米 $^{-3}$ 的等离子体中,短区段加热的应用可以使因放电电子沿外磁場力綫运动引起偏振的横离子場的影响減弱。在电离程度低的等离子体中,观察到高频場能量轉交給离子的效率随着离子速度的增加而剧烈降低,这个降低是与离子被中性粒子冷却有关的。

引言

本文中列举了为弄清借助于快交变电磁場加热等离子体的可能性而做的試驗結果。研究了利用离子迴旋加速式共振加热的机制,由于有高频場能量直接轉交給离子的可能性,这个机制具有特別的意义。尽管这个方法看来很简单,实现的时候却遇到一系列的困难,所以这个所选中的方向的实际意义在很大程度上决定于对这些困难的有成效的克服程度。这样,在研究离子迴旋加速式共振区域内氫等离子体性质的时候^[1],肯定了在带电粒子密度不高于 10^8 — 10^9 厘米 $^{-3}$ 的放电中,离子成分有加热到几个千电子伏温度的可能性。密度进一步增加时,由于出现了与离子电流有关的等离子体自身的場,加热的效率剧烈地降低。这些实验的結果与文献[2]的計算符合;按照它的計算,在迴旋加速式共振区域内,不等式 $\omega_0^2/\omega^2 < 1$ 的破坏是出现偏振效应的判据,其中 ω_0 为离子的朗繆尔頻率, ω 为加热用发生器的頻率。

按照文献[2]理論的基本前提,在文献[1]的实验中,給出等离子体几何形态的放电管安放在空間均匀的高频电场中(一个无限的等离子柱放在沿軸方向均匀的振动場中)。在这种类型的结构中,对 10^3 — 10^4 高斯的磁場而言,密度大于 10^9 厘米 $^{-3}$ 的等离子体的加热效率很低,因为由于強烈的趋肤現象的原因,仅仅在等离子柱表面附近的离子与外加高频場起作用。

文献[3]指出了減弱等离子体自身場影响的可能性中的一个。其方法在于要选择这样一个加热用高频場的空間分布,使由横离子电流形成的空間电荷被沿着外磁場力綫运动的电子場所抵消,这种类型的最简单的系統就是一个在縱磁場中的无限的长圓柱形等离子柱,用一个短的綫圈或电容器在一段上加热^[4]。在加热的一段有限空間中产生的偏振离子場被电子的縱向移动所中和。

按照理論^[3],原来在均匀高频加热場中能說明等离子体出现偏振現象的区域的判据 $\omega_0^2/\omega^2 < 1$, 在非均匀場中变成 $\omega_0^2/k^2c^2 < 1$, 其中 k ——波矢量,它相当于等于加热区段在縱方向长度两倍的波长; c ——真空中的光速。計算証明:加热段的长度为 10 厘米时,仅当密度大于 10^{11} 厘米 $^{-3}$ 时,才观察到趋肤現象。这就說明了这种系統的优越性。

本文中列举利用这个原理把高频能量引入等离子体的各种系統的研究結果。

高频能源为功率达几十万瓩的发生器。研究了在离子迴旋加速式共振区域内,原子态氫吸收高频能量的效率随等离子体参数和高频段电极形状而改变的关系。所得結果与文献[3,5]

的理論作了比較。

裝置說明

等离子体由帶有振動電子的放電造成。這種結構的優點在於：較高的電離度，輔助設備的簡單，以及較廣的工作壓力範圍。

與一般結構^[6]不同的是應用了兩個沿放電軸分置的環狀陽極的方案。這樣就使陽極間的空間中沒有維持放電的電場，也沒有在等离子体中流動的定態電流的場。諸如放電管形狀、輻射光線的強度，以及在 700—1900 高斯磁場範圍中的放電電流等的等离子体參數，在實驗過程中實際上可保持不變，這就是當磁場改變時等离子体參數為常數的一定保證。

當利用鋁制電極，陽極電壓從 0.5 變到 3.5 千伏時，放電密度可以從 10^7 變到 10^{12} 厘米⁻³。所有實驗中的放電電流不超過 100—150 毫安。

用鉬玻璃或石英玻璃製成的放電管放在縱磁場中（裝置外形見圖 1），在高頻電極的區域

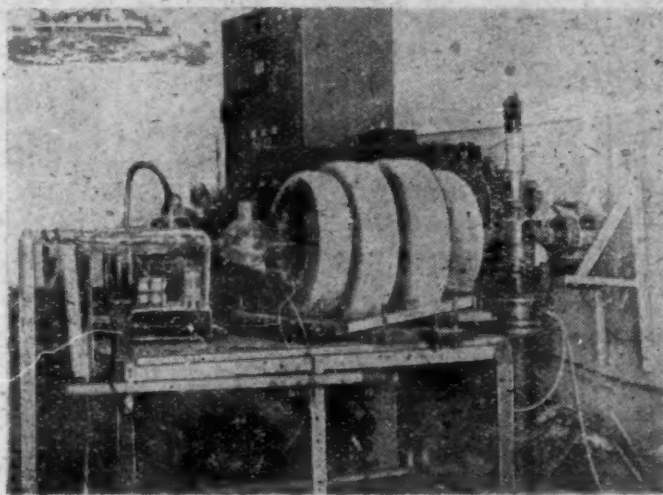


圖 1 裝置的外形

中磁場的不均勻性不低於 1%。引入高頻能量的系統為一套線圈或電容器。每個元件是與鄰近的元件成反相位接通。段數可以從一變到四。圖 2 表示放電管及區段線圈的样子。

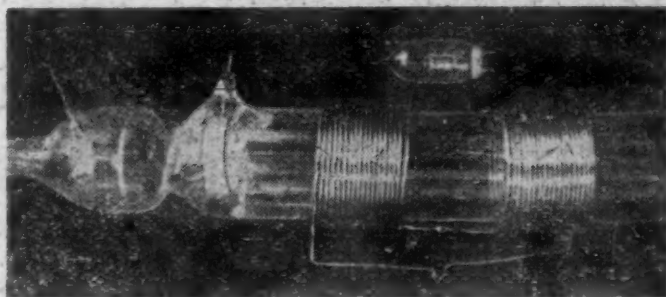


圖 2 裝有區段線圈的放電管

裝置中的極限真空在用了液體氮冷阱後為 $1 \cdot 10^{-5}$ 毫米汞柱。沒有採取使放電管預先去氣的任何特別措施。系統中氬的壓力靠鉍放電管的溫度調節。

測量部分的線路見圖 3。ГСС-6 或 ГС-27 型訊號發生器與共振迴路相耦合。後者的電容與自感為高頻能量引入等离子体的元件。測量是按串聯共振的線路進行的。與迴路上電壓峯值成正比的被探測的訊號，接到 ЭХО-1 型示波器的垂直偏轉板的直流放大器輸入端上；水平偏轉板上接入與磁場強度成正比的訊號。這個線路可以在發生器頻率從 1.1 到 2.7 兆周範圍內，進行對高頻等离子体共振吸收曲線形狀的連續測繪。

、磁場用核共振方法校正。磁場测量的精确度为 0.5%。

被等离子体吸收的功率数值用发生器接在无抗负载上工作时的校正曲线来确定^[4]。

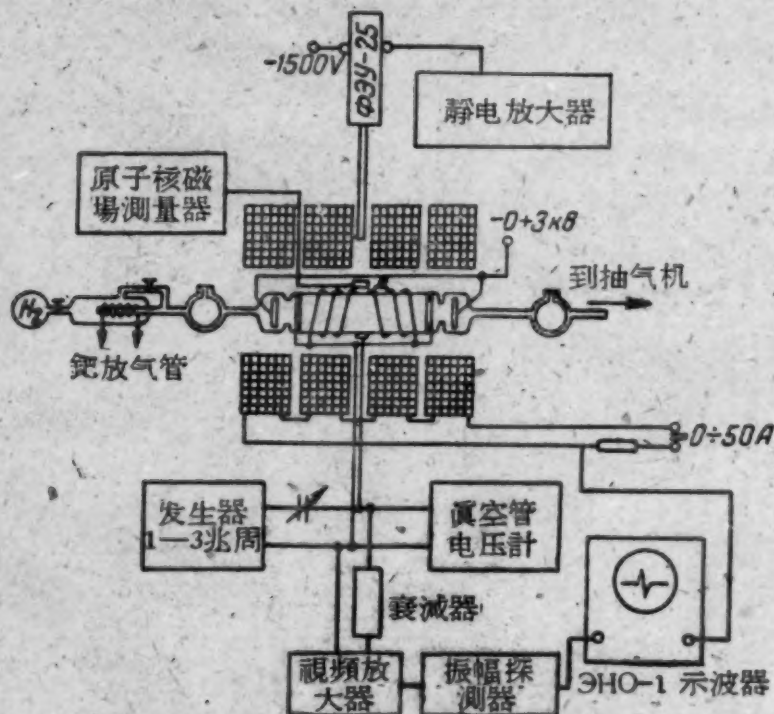


图3 测量线路图

图4中列出了利用扫描发生器摄得的迴路共振曲线在沒有负载与加无抗负载时的示波图，所加的无抗负载相当于发生器轉交功率的效率为 30%。无负载时迴路的一般 Q 值等于 150—200。迴路共振曲线的对称性，以及在测量线路中沒有寄生共振，都使得容易去除因与等离子

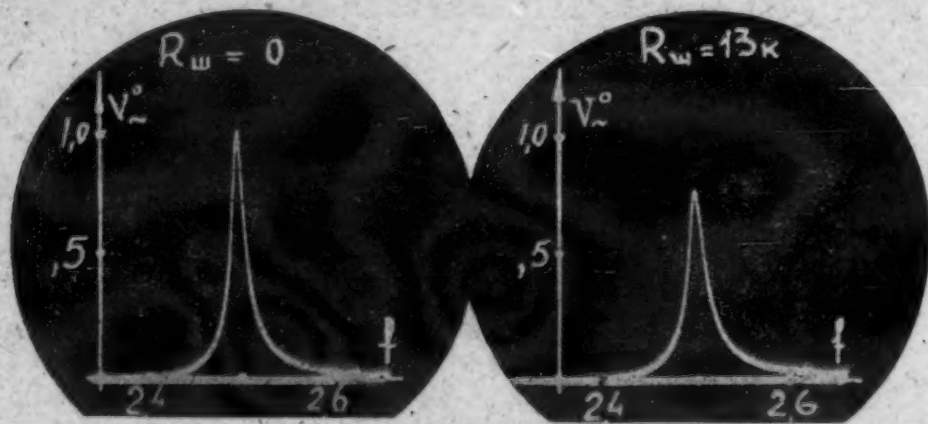


图4 共振迴路的校正曲线

体在迴轉共振附近引起的电抗有关的誤差。

当密度 $n < 10^{11}$ 厘米⁻³ 时，放电中带电粒子浓度用高频双探针的方法测定^[8]；当 $n \approx 10^{12}$ 厘米⁻³ 时，由 3 厘米波长高频信号的穿透系数的改变来决定^[7]。等离子体密度与放电电流的关系接近于线性。在我们的装置结构上，用放电电流的外推的方法可以得到最大密度值 $3 \cdot 10^{12}$ 厘米⁻³。

放电中径向密度的分布是按电子的朗缪尔共振曲线的半宽度估计的，这些曲线是用密度测量时用的高频探针方法描制的。用这个方法所得到的密度径向不均匀性不超过 15—20%，这与在 4000—6000 Å 波长范围内对放电所发出可见光线的光度测量所得的定性结果相符合。光学测量也指出在等离子体与真空间有明显的界线。

我們所用測量密度的方法,即使當探針訊號中電分量的方向平行於磁場,考慮了放電中電子的真實溫度後,嚴格說來也僅適用於磁場強度極小的場合。因此測量一定要在不等式 $\omega_{ce}^2/\omega_1^2 \ll 1$ 滿足的場中進行,其中 ω_{ce} ——電子的迴旋加速頻率; ω_1 ——測量用發生器的頻率。對小於 3000 兆周,也就是相當於 $n \gtrsim 10^{11}$ 厘米⁻³ 的頻率,與放電特點有關的最小磁場就使上述不等式不能滿意地得到滿足。所以為了檢驗測量,又使用了從等離子體的解電常數在電子迴旋加速式共振區域內與磁場的變化關係(用高頻探針方法測得)來決定電子密度的方法。密度值就用比較所測關係與文獻[7]中列舉的計算來找到。用這個方法所得數據相當滿意地與密度的主要測量結果相一致。

實 驗 結 果

圖 5 中表示了一個充有等離子體的迴路上的電壓峯值與磁場強度間關係的典型示波圖。陰極射線的垂直偏轉與迴路的 Q 值成正比,水平偏轉與磁場成正比。在相當於離子迴轉頻率與發生器頻率相等的磁場值下,觀察到了電壓的減小,這與等離子體吸收高頻能量有關。看到了很明顯而突出的共振吸收特性。

進一步把示波圖的數據換算成等離子體對發生器的絕對負載值。利用了計算^[5]直接結果的簡單方法,可以在我們的條件下比較簡單地使發生器轉交能量給等離子體的效率達到 30—40%。由於在弄清用迴旋加速式共振方法加熱離子的可能性時,起主要作用的是共振曲線半寬度的行為,它直接說明被加速粒子與高頻場的作用時間,所以並未試圖進一步提高發生器與等離子體的一致程度。

下面研究一下共振吸收區域隨等離子體各種參數的變化。圖 6 中列舉歸一化後的高頻功率值 Φ 在不同的發生器頻率下隨磁場而變化的曲線。在等離子體密度為 10^7 — 10^{10} 厘米⁻³ 的範圍內,測量說明,在相

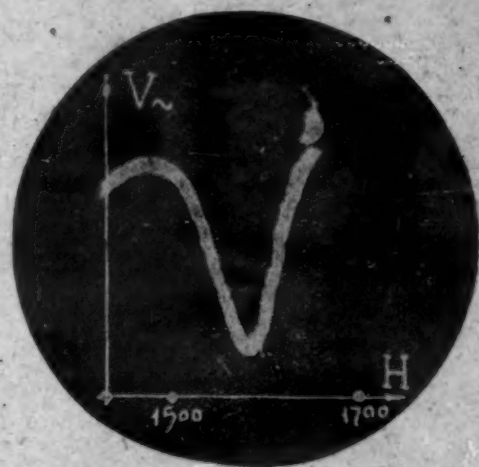


圖 5 充有等離子體的迴路上的電壓峯值與磁場關係的示波圖

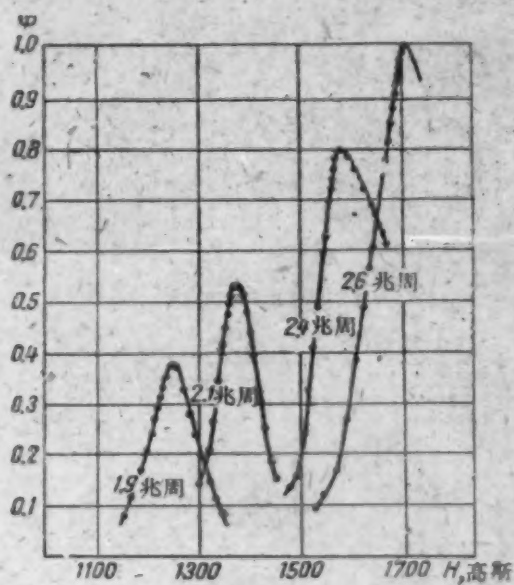


圖 6 各種發生器頻率下高頻等離子體吸收的共振曲線
($p = 6 \cdot 10^{-8}$ 毫米汞柱; $n \approx 10^{10}$ 厘米⁻³)

當於最大吸收的地方,發生器頻率與原子態氫離子的迴轉頻率恰好相等。共振時候的吸收大

小与发生器频率的关系接近于线性。

图7中的可变参数为气体压力。所得到的在压力大于 $3 \cdot 10^{-3}$ 毫米汞柱时共振曲线半宽度 $\Delta\omega_{cl}$ 的关系接近于线性,而且可以用式子 $\nu_c = \frac{1}{\tau_c} = 1.3 \cdot 10^8 p$ 跟原子态离子与中性粒子碰撞的频率相比,其中 p 为压力(用毫米汞柱表示); τ_c 为两次碰撞间的时间。

密度对高频吸收功率 Φ 的影响表示在图8中。在 10^7-10^{11} 厘米 $^{-3}$ 的密度范围内所测得共振时的吸收与 n 的关系接近于线性。进一步增加密度时,看到 $n \approx 3 \cdot 10^{11}$ 厘米 $^{-3}$ 时有饱和点,

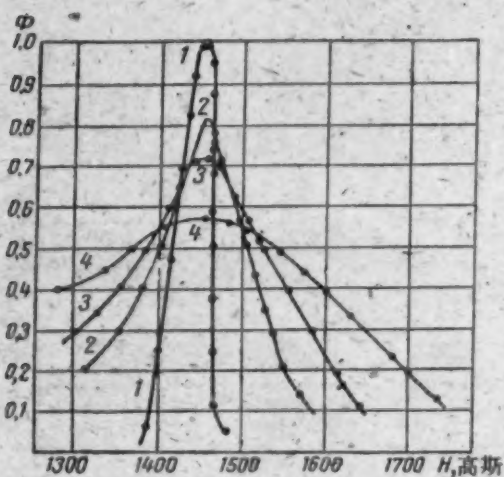


图7 各种压力(毫米汞柱)下的共振吸收曲线($f=2.2$ 兆周)

1— $p = 9 \cdot 10^{-4}$; 2— $p = 5 \cdot 10^{-3}$; 3— $p = 9 \cdot 10^{-3}$;
4— $p = 1.5 \cdot 10^{-2}$ 。

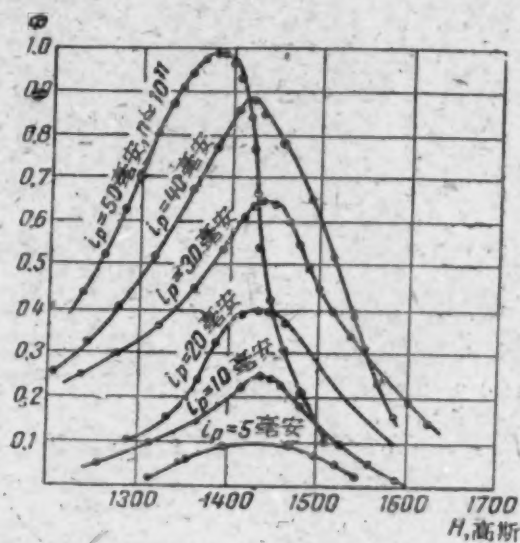


图8 各种等离子体密度下的共振曲线

($f=2.2$ 兆周; $p=6 \cdot 10^{-3}$ 毫米汞柱)

然后当 $n > 6 \cdot 10^{11}$ 厘米 $^{-3}$ 时又下降(图9)。随着吸收的极大值与密度的非线性关系出现的同时,主共振峰分裂为两个,其吸收的极大点随着 n 的增加而单向地向与原来发生器频率相应的共振磁场值的旁边移动。

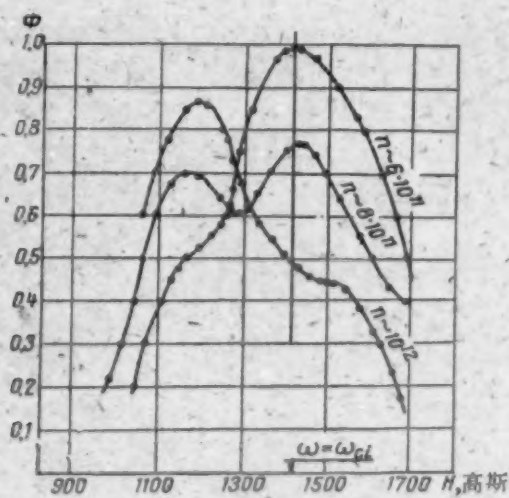


图9 在大密度区域中的吸收曲线

($f=2.12$ 兆周; $p=10^{-3}$ 毫米汞柱)

在同样的密度值下,如把引入高频能量系统的空间间距减小二分之一,可以使吸收极大点的移动值减至二分之一到三分之一。

結 果 的 討 論

在加热段处没有不变电场及定态电流场这一件事, 以及这里所用放电方式的较均匀的等离子体径向密度分布, 都是理论^[3,5]中基本前提的相当好的近似。根据这个理论, 当不等式 $\omega_0^2/k^2c^2 < 1$ 满足时, 等离子体中的偏振现象就消失了。在迴旋加速器共振区域内的吸收与等离子体密度及发生器频率的乘积成正比。最大吸收准确地在相当于 ω 与 ω_{ci} 相等的地方。

当密度大时(更正确地說即 $\omega_0^2/k^2c^2 \lesssim 1$ 时), 等离子体中就产生了自身的场, 它的典型后果表现在在 $\omega > \omega_{ci}$ ^[2,10] 或 $\omega < \omega_{ci}$ ^[3,5] 的范围中, 高频场有效穿过的区域从相当于 ω 等于 ω_{ci} 的磁场值处移动开来。如果等于 $\omega\omega_0^2/k^2c^2$ 的移动大到超过了迴旋加速式共振半宽度 ΔH 的值, 那末离子的加热就停止, 而被吸收的功率都化在等离子柱中衰减较弱的各种磁流体力学振动上去了^[2,3,5]。

在取得图8,9中列举的曲线所用的系统($k = \frac{1}{16}$ 厘米⁻²)上, 密度的临界值, 也就是再高时共振加热的效率就要降低的值等于 $\sim 5 \cdot 10^{11}$ 厘米⁻³, 在实验中所见到高频功率的吸收随 n 从 10^7 增加到 10^{11} 厘米⁻³ 而线性上升是符合于期望的。所测得的最佳密度值 ($3 \cdot 10^{11}$ 厘米⁻³) 也与计算值相一致。

由于在偏振现象中密度的变化相当于加热段基本元件长度平方的改变, 所以吸收极大点移动值与 k 的关系定性地与理论相符合这件事也就明白了。

遗憾的是: 把测量结果在带电粒子密度大于 10^{11} — 10^{12} 厘米⁻³ 时与各种 k 值的定量比较遇到出现库仑作用的困难, 后者仅当加热了的等离子体中离子能量不低于几个电子伏时才可能消除。要进行 k 值小的实验, 必须要用带有强磁场的大容积。

k 值很不相近的数据可以从比较这里列举的实验结果与文献[1]的结果而得到; 文献[1]中研究了相当于 $k = 0$ 的场合, 并在不等式 $\omega_0^2/\omega^2 < 1$ 不满足时观察到了伴随着等离子体的偏振的效果(高频功率的吸收随着密度增加而线性上升的关系的破坏, 出现了共振曲线半宽度与吸收的极大位置随密度而变的现象)。同时, 在找寻趋肤效应的时候, 本文在 $\omega_0^2/\omega^2 \simeq 1$ ($\omega_0^2/k^2c^2 \simeq 10^{-8}$) 的条件下, 没有发现丝毫显著的与按文献[3]所期待的结果的偏离, 而所提过的偏振效果在不等式 $\omega_0^2/k^2c^2 < 1$ 被破坏时才出现 ($\omega_0^2/\omega^2 \simeq 10^4$ 时)。所以, 尽管在这些研究系统中没有高频场穿入等离子体的直接证明¹⁾, 底下一些结果都有利于建立带有减弱了的趋肤效应的结构的可能性, 它们是: 出现等离子体偏振效果时密度的测量值与计算值很好符合; 吸收极大点随 n 的增加而移动, 而不是象一般仅加热具有密度连续变化的边界层时观察到的极大点变模糊。

所假定在完全抵消的场合下, 等离子体外部与内部场的相等可以对离子加热程度进行估计。按照文献[11], 当带电粒子在交叉的不变磁场 H 与交变的电场 ($E = E_0 \sin(\omega t)$) 中运动时, 离子在准确的共振条件下, 从开始加速 t 秒后, 将沿半径为 $R(t) = \frac{E_0}{2H}$ 的轨道转动。等于

τ_c (两次接连碰撞间离子与高频场相互作用的时间) 的 t 值可以从 $\Delta\omega\tau_c = 1$ 关系的实验数据中求到^[9]。这样所测量得到的 $HR(t)$ 乘积可以作为离子在加热过程中获得能量多少的量度。在大部分实验中所采用的典型电场强度为 0.2 伏/厘米时, 离子由于与探针讯号 ($\sim 10^{-2}$

1) 想用探针直接测量高频场强度径向分布的企图都未成功, 因为探针上溅出的大量杂质使放电的形态与高频性质都受到了剧烈的畸变。

电子伏)相互作用而得到的能量增长值较放电中粒子的热能小,因而测量过程对等离子体的扰动就并不重要。

为了弄清增加离子能量的可能性,测出了离子寿命 M (与共振宽度为5%时的寿命相比)与由平面电容器所造成电场强度 E 的关系曲线(图10)。对离子在加热过程中获得的速度增长 v_{\perp} ,与对相当于大部分一般放电中典型的温度 300°K 的热速度 v_0 的估计证明,当 $M(E)$ 曲线在 $E \approx 0.3$ 伏/厘米处折下的时候, $v_{\perp} \approx v_0$ 。根据文献[12],当 $v_{\perp} > v_0$ 时, τ_c 值与 \sqrt{E} 成反比。不过在 $E \approx 1$ 伏/厘米区域处, $M(E)$ 的下降陡度不能仅用这点来解释。 $v_{\perp} > v_0$ 时 $M(E)$ 的较大变化可以用相似于文献[13]中假定的,而且与等离子体总是要把在加热过程中产生的 $v_{\perp} > v_0$ 型的各向不均匀性拉平的倾向有关的过程来解释。与此有关的纵向速度分量 $v_{\parallel} \approx v_0$ 向 $v_{\parallel} \approx v_{\perp} > v_0$ 的增长,使得必须考虑由于在加速段区域中($\tau_{\parallel} \approx 1/kv_{\parallel}$)离子逗留

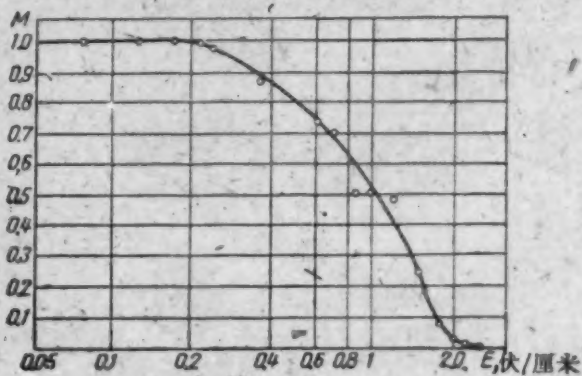


图10 电场强度对离子与高频场作用时间的影响

时间 τ_{\parallel} 的减小所引起的 $\tau_c(E)$ 的补充降低。

当 $v_{\perp} > v_0$ 时,在 $v_{\parallel} \approx v_{\perp}$ 的假定下, $\tau_c \sim 1/\sqrt{E}$ 关系的考虑导致定量地说明所看到的 $M(E)$ 关系的可能性。同时,在离子能动性理论^[12]中充分研究过的、两次碰撞间时间的关系 $\tau_c \approx 1/\sqrt{E}$ 与离子及中性粒子间强烈的能量交换有关。因此,当等离子体电离程度不太高时,磁场所不能约束的中性粒子将把大量能量带到放电室壁上。

结 论

利用空间间隔系统引入高频能量到离子迴旋加速式共振区域,对密度为 10^7-10^{11} 厘米 $^{-3}$ 的冷等离子体的实验结果,与理论符合得很好。这个理论预言,在完全电离的加热了的等离子体的场合下,密度一直到 $10^{13}-10^{14}$ 厘米 $^{-3}$ 为止,有可能降低偏振的自身场对交变场穿透的影响。

实验证明:为了用离子迴旋加速式共振方法成功地加热等离子体,必须使等离子体中含有最少数的中性粒子。

在离子迴转共振区域的等离子体行为与粒子密度及其加热程度的关系,可以利用来设计气体放电性质研究的方法。

为了西聶尔尼柯夫(К. Д. Синельников)对本工作所表示的关心及宝贵的讨论,作者谨致谢意。

参 考 文 献

- [1] Л. В. Дубовой и др: Доклад № 2211, представленный на Вторую международную конференцию по мирному использованию атомной энергии (Женева, 1958).
- [2] K. Kerper. Z: *Naturforsch.*, 12a, 815 (1957).
- [3] T. Stix: *Phys. Rev.*, 106, 1146 (1957).

- [4] Стикс, Палладино: Тр. Второй международной конференции по мирному использованию атомной энергии (Женева, 1958). Избр. докл. иностранных ученых. Т. 1—Физика горячей плазмы и термоядерные реакции. М., Атомиздат, 1959, стр. 242.
- [5] Стикс: Там же, стр. 254.
- [6] Э. М. Рейхрудель, Г. В. Смирницкая: Изв. высш. учеб. заведений. *Радиофизика*, 2, 36 (1958).
- [7] Уортон, Говард, Гейнц: Тр. Второй международной конференции по мирному использованию атомной энергии (Женева, 1958). Избр. докл. иностранных ученых. Т. 1—Физика горячей плазмы и термоядерные реакции. М., Атомиздат, 1959, стр. 675.
- [8] T. Yeung, T. Seyers: *Proc. Phys. Soc.*, 451B, 663 (1957).
- [9] C. Kelley, H. Margenau, S. Brown: *Phys. Rev.*, 108, 1367 (1957).
- [10] P. Doyle, J. Neufeld: *Phys. Fluids*, 2, 390 (1959).
- [11] J. Amoignon, G. Rommel: *Vide*, 12, 377 (1957).
- [12] L. Loeb: *Basic Processes of Gaseous Electronics*, Chapter I. Berkeley and Los Angeles, University of California Press., 1955.
- [13] А. А. Введенков, Р. З. Сагдеев: Сб. «Физика плазмы и проблема управляемых термоядерных реакций», т. III. М., Изд-во АН СССР, 1958, стр. 273.

少量鈾、鐳、釷和錒的电解分离

沙馬尔采娃 (A. Г. Самарцева)

研究元素的原子核性质和检验同位素的组成必须制备均匀的薄膜层；在超铀元素分析化学中定量分离这些元素是很重要的，包括指示量在内。本文叙述了从酸性溶液中定量分离痕量鈾、鐳、釷和錒的新的电解方法。指出：电解过程中元素的产额与电解质的阴离子无关，而首先由溶液的 pH 值决定。在存在各种金属的混合物中，拟定了定量电解分离铀的条件；在草酸电解质中除去了铁的影响。

从水溶液中电解分离超铀元素是在研究原子核性质或某放射性元素的同位素组分时制备均匀薄膜层的良好方法。此外，这种方法成功地被用于超铀元素分析化学中，因为它能定量和无载体分离指明的元素，甚至溶液中超铀元素为指示量的情况。

以前，我們曾拟定了定量分离鈾^[1]，以及从无机酸中分离超铀元素^[2]的方法。本文是这些研究工作的继续。

鈾、鐳、釷和錒在普通的电解网上分离，它是由不大的铂杯(阳极)和工作面积为 1 平方厘米的长形的铂片(阴极)组成的。这样的网可以用任意 pH 值的电解质工作，由壁上的吸附引起的放射性元素的损耗不大，这一点可以用玻璃的或树脂玻璃的电解槽观察到。溶液用 60—80 转/分转速的阴极搅拌。放射性元素的电解分离在铂阴极的两面同时发生；电极上的 α 放射性用专门的电离室测量^[3]。

本文曾用了同位素 U^{233} 、 Np^{237} 、 Pu^{239} 、 Am^{241} 。借助于电离室和多道振幅分析器指出： Pu^{239} 含 0.7—0.9% 杂质(Am^{241} 和 Pu^{233})， Np^{237} —~2.0% Pu^{239} 。在同位素 Am^{241} 中没有发现任何杂质； U^{233} 没有分析。可称量的元素的氢氧化物溶解在酸中作为电解质。研究原始溶液中元素的价态，指出： U^{233} 处于六价态； Np^{237} 是由 $Np(VI)$ —10.2%， $Np(V)$ —~90%， $Np(IV)$ —<1% 组成的； Pu^{239} 是由 $Pu(VI)$ —14.3%， $Pu(IV)$ —56.1%， $Pu(III)$ —28.9% 组成的； Am^{241} 处于三价态。

用氢离子浓度为 10^{-1} — 10^{-4} 摩尔的硝酸、盐酸、高氯酸、硫酸和草酸和氢离子浓度为 10^{-5} — 10^{-9} 摩尔的缓冲溶液作为电解质。对下列电解质中放射性同位素的克分子浓度进行了研究： U^{233} — 1.3×10^{-8} ； Np^{237} — $(0.2-1.2) \times 10^{-6}$ ； Pu^{239} — 4.1×10^{-9} ； Am^{241} — 1.4×10^{-10} 。

实验数据以表格和曲线形式表出，所有的数据是三到五次实验结果的平均值。

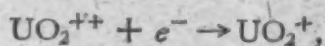
从弱酸溶液中电解分离鈾、鐳、釷和錒

关于元素产额与硝酸溶液的 pH 值、电流密度和实验延续时间之间关系的实验数据分别示于图 1—3 中。

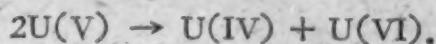
从图 1 可以看出，鈾的最大产额出现在 $pH = 2.5$ ，而鐳和釷——在 $pH = 2.0$ 的地方。当 $pH > 4$ 时，鈾的产额剧烈地减少，显然证明鈾水解比鐳和釷更多。在这种条件下，鐳和釷多半处于五价态，因此 pH 值等于 7—8 以前不被水解^[4]。

图 3 中可看出鈾、鐳和釷的电解分离速度差别很大。这显然说明不仅仅是每个元素的电解还原反应机构不同，而且在沿阴极的区域作为第一步还原的中间产物的五价离子的稳定性

也不同。按文献[5]的数据,当 $\text{pH} = 2.5$, 在滴汞阴极上铀开始被还原到五价态:



而然后歧化:



由于多次的氧化还原反应,铀在阴极上析出的速度变得较小。镎在原始溶液中处于稳定的五价态,在阴极上立即还原到四价。镎的电解分离速度基本上由离子移动来测定;它为铀析出速度的20倍(见图3)。

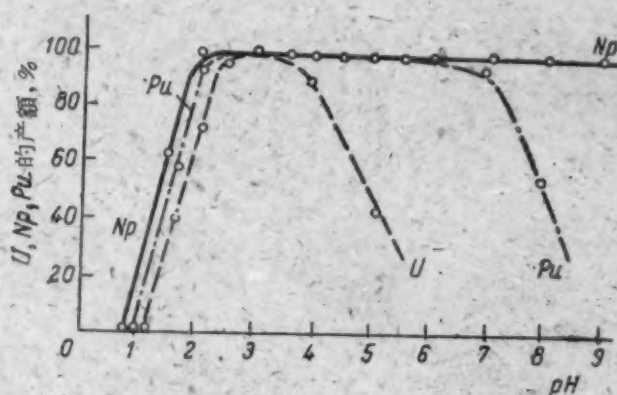


图1 元素产额与溶液 pH 的关系

阴极电流密度为 100 毫安/厘米², 电解延续时间为 2 小时。

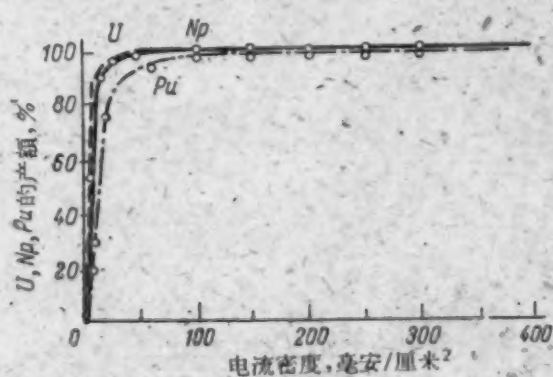


图2 元素产额与电流密度的关系

$\text{pH} = 3$, 电解延续时间为 2 小时。

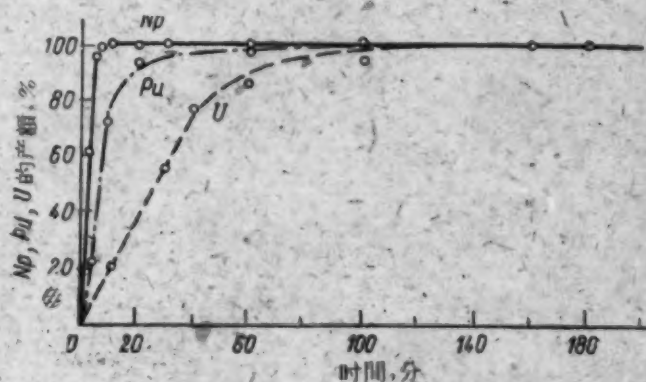


图3 元素产额与电解延续时间的关系

$\text{pH} = 3$, 电流密度为 100 毫安/厘米²。

由于钚在原始溶液中基本上处于三价或四价态,它起初被氧化到五价,然后就在阴极析出的片刻,重新被还原到四价。从图1可看出:钚的电解过程实际上被氧化到 Pu(V) , 因为钚在 $\text{pH} = 7$ 的溶液中不水解,就是在同样条件下如象 Np(V) 一样。

所得结果可以选择最佳的定量电解分离钍、铀、镎、钚和镅的条件(表1)。

表1 从硝酸溶液中电解分离钍、铀、镎、钚和镅的最佳条件

元 素	溶液体积,毫升	pH	电流密度,毫安/厘米 ²	电解延续时间,分	产 额, %
Th(Io)	20	2.5	100	120	99.8
U	20	2.5	100	120	100.1
Np	80	3	250	10	100.4
Pu	20	3	100	120	100.0
Am	20	3	100	5	99.7

指示量钍、铀、镎、钚和镅大致在同样的电解条件下定量沉积在铂阴极上。

从各种无机酸溶液中电解分离超铀元素的实验数据,列于表2.

表2 从各种酸的溶液中电解分离铀、镎、钚和镅
(pH 等于2—3, 电流密度为100 毫安/厘米²)

实验次数	酸	元素			
		U	Np	Pu	Am
5	H ₂ SO ₄	100.1	99.8	97.8	99.2
13	HCl	100.0	100.0	98.9	98.9
7	HClO ₄	100.6	100.2	100.1	99.7
50	HNO ₃	100.0	100.2	100.6	100.2
28	H ₂ C ₂ O ₄	100.2	98.9	99.7	98.7

如表中所见,超铀元素从所研究的溶液中定量地析出,因此元素产额不取决于电解质的阴离子特性,而强烈地由氢离子的浓度决定.

在图4中画出了从盐酸和高氯酸中电解分离钚的动力学数据. 使用硝酸作为电解质较好,而盐酸或高氯酸不好.

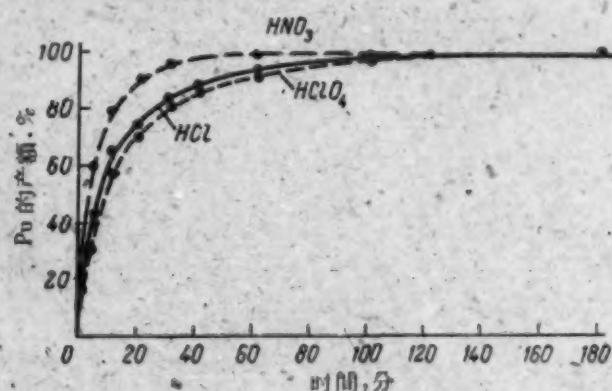


图4 钚的产额与实验延续时间的关系
pH = 3, 电流密度为100 毫安/厘米².

从0.1 摩尔硝酸溶液中电解分离铀、镎和钚

因为实际上常常不使用低的氢离子浓度(0.01—0.001 摩尔), 我们曾试图从更酸的溶液中寻找电解分离超铀元素的条件. 以前得出: 随着氢离子浓度的增加必须增加电流密度. 但是在这方面的第一次试验没有成功, 因为在很大的电流密度区间(400—3000 毫安/厘米²)内电解析出铀和钚很少; 铀在电流密度为700—1000 毫安/厘米²时定量析出.

指出: 如果钚的原始溶液, 用少量浓硝酸蒸发至干三—四次 (即使钚转化为四价态), 然后, 残渣溶解在20 毫升的0.1 摩尔硝酸溶液中, 再进行电解, 结果钚从0.1 摩尔硝酸溶液中定量地析出. 铀、钚和镎的产额与电流密度和实验延续时间的关系, 对0.1 摩尔硝酸溶液的实验数据分别引于图5和图6中.

铀、镎和钚电解分离速度的差别, 可能原因是在原始溶液中元素呈不同的价态, 因而, 它们的电解还原反应机构也不同.

根据得到的数据, 曾从0.1 摩尔的硝酸溶液中选择了解析分离铀、镎和钚的最佳条件: 1) 阴极上的电流密度为750—1000 毫安/厘米²; 2) 实验延续时间为2—3 小时; 3) 溶液体积为20—40 毫升.

进一步在存在其他离子的电解分离超铀元素中我们运用了这些条件。

存在其它离子的电解分离钚

从碱的、弱酸的、尤其是从酒精-丙酮-水溶液中电解分离超铀元素所有主要的方法只适合于非常纯的溶液。实际上,溶液中常常含有大量的其它元素。从这种溶液中电解分离钚,只析出少量或者完全不被觉察到。从碱溶液中电解时,沉淀下铁和铝的氢氧化物,它们同时带下放射性元素。在弱酸溶液电解过程中,随着沉淀的下降其它元素进行着水解,而在酒精-丙酮-水溶液中钚本身被水解,同样进入沉淀。

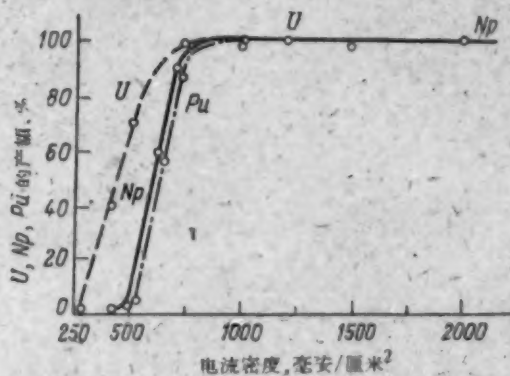


图5 元素的产额与电流密度的关系
0.1摩尔硝酸溶液,电解延续时间为2小时。

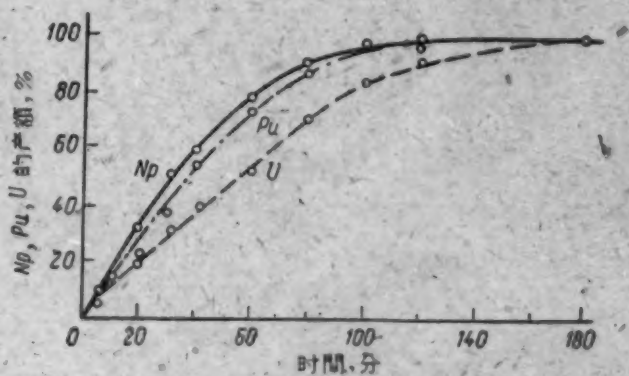


图6 元素产额与电解延续时间的关系
0.1摩尔硝酸溶液,电流密度 1000 毫安/厘米²。

我们试找从含有 10 毫克(总量)铁、铝、镧、钼、铬、锰、钙、镁、钾、钠的原始溶液中直接定量电解分离钚的条件。从所有列举的元素中,电解时钚与铁常混在一起。使用草酸来络合铁,草酸溶液对钚来说是同样好的电解质。为了提高电解质的氢离子浓度,实验在 0.1 当量浓度硝酸溶液中进行。

为了寻找在其它离子存在时从草酸和硝酸的混合液中电解分离钚的最佳条件,首先弄清楚草酸浓度改变对钚产额的影响是很重要的。所得结果示于图7。

很有趣的,从二个混合酸中析出钚的定量产额与同样草酸浓度不存在硝酸时的一样。因此可以假定硝酸不直接参与阴极上电解分离钚的机构。文献[6]的数据同样证实,在上述实验条件下钚应当处于带正离子的络合状态 $\text{PuC}_2\text{O}_4^{++}$ 。

然后在适系统中研究了钚产额与硝酸浓度的关系。结果示于图8。由图指出:从二个混合酸中电解分离钚能在一个很宽的 pH 值区间内做到。pH 等于 1.2—1.4 时结果较好。图8上

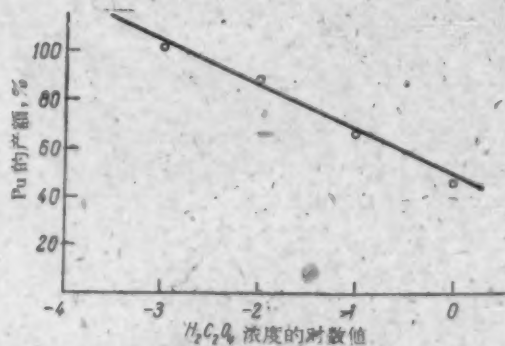


图7 钚产额与草酸浓度的关系
0.1摩尔硝酸溶液,电流密度为 1000 毫安/厘米²,电解延续时间为2小时。

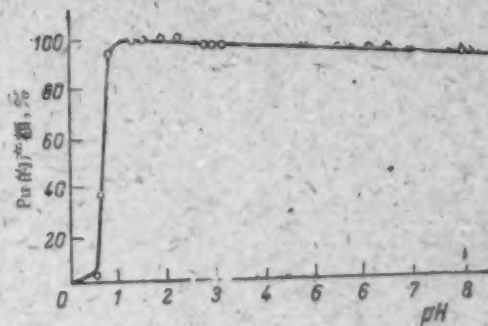


图8 钚产额与硝酸浓度的关系
0.002摩尔草酸溶液,电解密度为 1000 毫安/厘米²,电解延续时间为2小时。

pH = 0.8 时钚产额剧烈地改变说明: 在给定条件下取硝酸浓度大于 0.25 摩尔定量电解分离钚是不适宜的。

还研究了钚产额与阴极电流密度的关系。结果示于图 9。从图上可见: 在电流密度为 1000—2000 毫安/厘米² 条件下钚产额不变。

关于电解延续时间对钚产额的影响的数据示于图 10, 由图可见, 电解分离钚的过程通常经历 1.5—2 小时结束。

研究从草酸和硝酸的混合物中电解分离钚可以选择下列最佳条件: 1) 草酸浓度为 0.002 摩尔; 2) 硝酸浓度为 0.125 摩尔; 3) 溶液 pH 等于 1.3; 4) 阴极电流密度为 1000 毫安/厘米²; 5) 溶液体积为 20—40 毫升; 6) 电解延续时间为 1.5—2 小时。

实验经历下列步骤: 移等分原始溶液 0.1—5 毫升到钽杯里, 在水浴上蒸发至干。沉淀用浓硝酸处理 2—3 次; 然后加入 0.1 毫升 1 摩尔草酸溶液和 10 毫升 0.5 摩尔硝酸溶液, 仍旧放在水浴上玻璃钟罩下面 10 到 15 分钟(到干的残渣完全溶解); 再注入 30 毫升蒸馏水到杯中, 按所述条件进行电解。

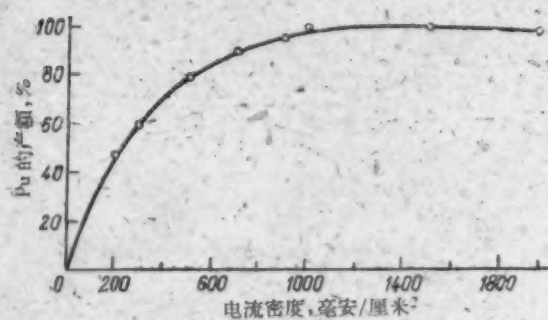


图 9 钚产额与电流密度的关系

0.1 摩尔的硝酸和 0.002 摩尔的草酸溶液;
pH = 1.3; 电解延续时间为 2 小时。

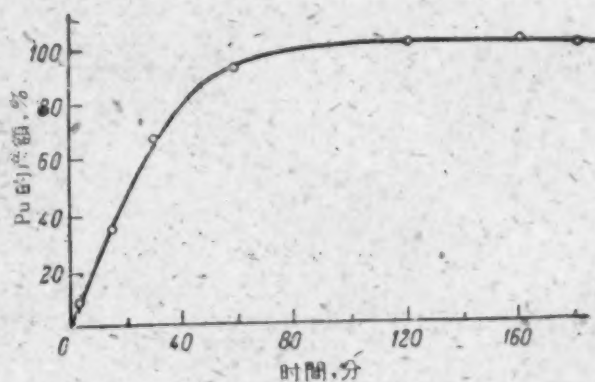


图 10 钚产额与电解延续时间的关系

0.1 摩尔硝酸和 0.002 摩尔草酸的溶液;
pH = 1.3; 电流密度为 1000 毫安/厘米²。

表 3 存在其它离子, 从草酸和硝酸混合物中电解分离钚

H ₂ C ₂ O ₄ , 摩尔	pH	Pu	
		取样, 脉冲/分	产 额, %
0.002	1.3	2020	98.9
0.002	1.3	2020	99.2
0.002	1.3	2020	99.0
0.002	1.3	2020	100.0
0.002	1.3	2020	99.4
0.002	1.3	2020	100.6
0.002	1.3	2020	100.2

平均 = 99.9 ± 0.7%

实现所有上述条件, 从表 3 可见: 得到了定量电解分离钚。所引的结果指出: 在存在其它离子下, 电解分离钚, 实验的重复性完全令人满意。所以这个方法可以用到分析化学中, 因为它可以比化学方法定量测定溶液中的钚要精确且快。在同样条件下, 铀和镅同样可以定量地电解析出。这里所有的其它离子仍留在溶液里。

从已经说明的可以得出下列结论:

- 1) 拟定了从硝酸、硫酸、盐酸、高氯酸和草酸溶液中, 在电解质氢离子浓度为 10^{-3} 摩尔时定量电解分离铀、镎、钚和镅的方法。
- 2) 指出: 肯定电解分离铀、镎、钚和镅的要素不是电解质的阴离子, 而是氢离子的浓度。
- 3) 研究了从氢离子浓度为 10^{-3} 摩尔和 10^{-1} 摩尔的硝酸溶液中, 电解分离钚的动力学。
- 4) 研究了从氢离子浓度为 10^{-3} 摩尔盐酸和高氯酸溶液中, 电解分离钚的动力学。
- 5) 研究了铀、镎和钚的产额与阴极电流密度以及与电解质 pH 的关系。
- 6) 提出存在其它离子时电解分离钚的分析方法, 这种方法可以定量地和无载体地从原始溶液中直接析出指示量的钚。
- 7) 这种电解分离超铀元素的方法可以用到上述元素的分析化学中, 以及制图标准源和靶子。

参 考 文 献

- [1] A. Г. Самарцева: Тр. Радиового ин-та, 7, 137 (1956).
- [2] A. Г. Самарцева: Сб. «Изотопы и излучения в химии». М., Изд-во АН СССР, 1958, стр. 318.
- [3] С. С. Бугорков, Л. З. Малкин, К. А. Петржак, В. А. Яковлев, М. И. Якушин: Тр. Радиового ин-та, 9, 214 (1958).
- [4] L. Gevantman, C. Kraus: The Transuranium Elements, Divis., IV, Vol. 14B, Part. I. New York, 1949, p 500.
- [5] C. Kraus, F. Nelson, J. Johnson: *J. Amer. Chem. Soc.*, 71, No. 7, 2510 (1947).
- [6] W. Reas: The Transuranium Elements, Divis. IV, Vol. 14B, Part. I. New York, 1949, p. 423.

鈾的氧化物在酸性介質中溶解时 氧化-还原过程作用的研究

涅斯米揚諾娃 (Г. М. Несмеянова),

阿尔赫查斯維里 (Г. М. Алхазашвили)

在提取鈾时,矿石組份的氧化度具有决定的意义。由于鈾轉移到溶液中是由各种不同的化学过程所形成,同时,随着包含在矿石中杂质的存在而复杂化,因此必須研究鈾的氧化作用的規律性,以及在鈾矿石浸析过程中轉移到溶液中的各种不同的化合物的影响。

本文列举了在酸性介質中八氧化三鈾氧化和溶解过程的研究結果,以及二价鉄的化合物对这一过程的影响。首先对各种不同的氧化剂对鈾的氧化能力給以比較。指出,四价鈾的氧化作用,不只决定于正常的氧化-还原电位。所得到的結果表明,当溶液中存在大量的鉄离子时,用低浓度硝酸和硫酸的混合物提取鈾不完全的原因,是与 Fe^{2+} , SO_4^{2-} 和 NO_3^- 离子間的絡合物形成过程有关。

如所周知,鈾的非氧化矿物,在弱的矿物酸和碳酸鈉溶液中,溶解不好。由于这个緣故,为了尽最大可能使鈾轉移到溶液中去,必須采用各种不同的氧化剂。

鈾的溶解是由各种不同的化学过程所形成,同时随着包含在矿石中多种杂质的存在而复杂化。因此,不仅研究鈾的氧化作用的規律性是必須的,而且研究用酸来浸析鈾矿石时,溶解到溶液中的各种化合物对氧化过程的影响,也是必須的。

这些問題的研究,不仅能在理論上論証从矿石中提取鈾所进行的过程,而且能够預先决定它的強化途径。

近年来出现了大量的工作。在这些工作中研究了各种不同的因素对鈾的溶解程度的影响。在文献[1]中列举了实验的延續時間、温度、酸的浓度和粒子大小对提取鈾的关系的数据。所列举的数据指出,在酸性瀝取时采用氧化剂,能够改善溶液中鈾的提取。文献[2]中曾經指出,25%硝酸和75%硫酸混合物的总浓度从13.5克/升改变至107.6克/升,提取到溶液中的鈾从61—80%提高至82—97%。有这样一个幅度是与粒子大小和攪拌時間有关的。在硫酸浓度为16.5克/升时,将氯酸钾、高锰酸钾、重铬酸钠和其他氧化剂引入反应混合物,能增加溶液中鈾的提取。同时发现,有三价鉄离子存在时,不附加氧化剂亦能保証鈾很好溶解。在上述文献中以及在文献[3,4]中,引述了各种不同因素对从矿石中提取鈾的影响的研究結果。由于矿石包括一系列矿物的絡合物,因此,将鈾提取到溶液中的数据,不只反映了瀝取因素的影响(浓度,温度等等),而且反映了在矿石中所包含的各种不同杂质的影响。

为了研究試剂浓度、温度和过程延續時間对鈾的溶解的影响,我們用鈾的氧化物进行了一系列实验。以硫酸作为溶剂,用硝酸,氯酸钾,二氧化锰,高锰酸钾和高鉄盐作为氧化剂,在空气恆溫浴中进行实验。称量鈾的氧化物重2克,粒度为0.15毫米。試剂消耗量相应于化学計算量。将鈾的氧化物和各种不同浓度带氧化剂的硫酸溶液放入一玻璃試管,將試管固定在一个圓盘上,溶解时,圓盘以200轉/分的速度轉动。四价和六价鈾含量的測定是根据文献[5,6]所叙述的方法进行的。

图1引述了鈾的氧化物在硫酸中溶解和硫酸浓度的关系的实验结果。在硫酸浓度为150克/升的溶液中,温度 $t = 90^{\circ}\text{C}$ 和实验延续时间 $\tau = 3$ 小时时,二氧化鈾几乎不溶解。这可能是因为二氧化鈾的生成热十分高的缘故(270 仟卡/克分子)。在同样条件下八氧化三鈾在很大程度上溶解到溶液中去。

文献[2]认为比例为硝酸(25%)和硫酸(75%)用来溶解八氧化三鈾是最适宜的。根据反应方程式:



为了全部溶解八氧化三鈾,硝酸和硫酸混合物的比例应为:12.5% HNO_3 和 87.5% H_2SO_4 。而对于二氧化鈾应为30% HNO_3 和 70% H_2SO_4 。在较大范围内改变硝酸和硫酸的比例时,我们指出,当 $\text{HNO}_3 : \text{H}_2\text{SO}_4 = 12.5 : 87.5$ 时,观察到八氧化三鈾中鈾的最大氧化作用。在 $t = 90^{\circ}\text{C}$ 总量为100%时,进一步提高硫酸中的硝酸含量,并不影响鈾的氧化作用。对于二氧化鈾的全部溶解和氧化,相应的比例为 $\text{HNO}_3 : \text{H}_2\text{SO}_4 = 30 : 70$,恰好为化学计算量。在 $t = 20^{\circ}\text{C}$ 时,对八氧化三鈾观察到相似的情景,但对二氧化鈾则不然,这是因为,在低温时不仅是二氧化鈾更难氧化,而且是由于硝酸的氧化性质弱的缘故。在同样条件下(恒定的温度和过程延续时间),带有不同氧化剂的硫酸起始浓度的影响是不同的(图3)。在 $t = 20^{\circ}\text{C}$,用高锰酸钾、氯酸钾和硝酸作氧化剂,在硫酸浓度从5克/升增至100克/升时,对八氧化三鈾中鈾的氧化影响很小。然而在 $t = 90^{\circ}\text{C}$ 时,用硝酸作氧化剂,硫酸浓度在鈾的氧化过程中起着决定性的作用。在硫酸的浓度为100克/升时,有氧化剂-硝酸和高铁盐存在时,观察到八氧化三鈾全部溶解。在有二氧化锰存在时,硫酸浓度的改变在50—150克/升范围内,对鈾的氧化影响不显著。

由于在硫酸浓度为100克/升时,只有采用高铁的化合物和硝酸作为氧化剂,才能观察到鈾的全部氧化和溶解。因此我们研究了过程延续时间对八氧化三鈾溶解的影响(图4)。在 $t = 20^{\circ}\text{C}$ 时,甚至延续38小时,我们所采用的氧化剂中亦没有一种氧化剂能够使鈾全部氧化和

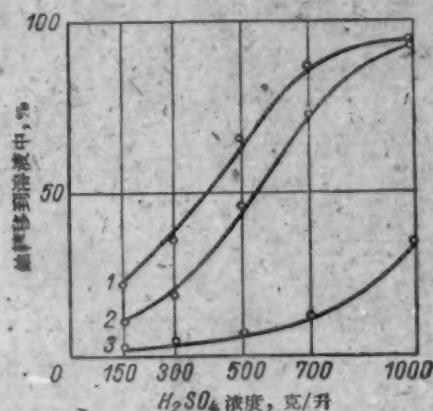


图1 硫酸浓度对溶解的影响

1. 从八氧化三鈾中溶解的六价鈾;
2. 从八氧化三鈾中溶解的四价鈾;
3. 从二氧化鈾中溶解的四价鈾。

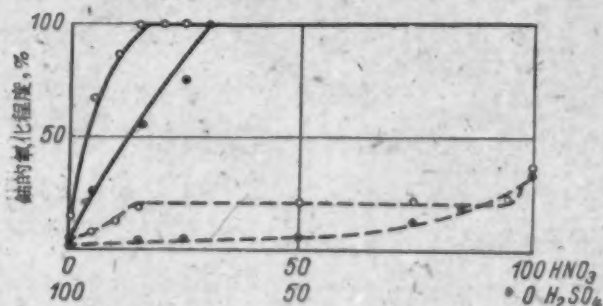


图2 在硫酸和硝酸的总浓度为100克/升和 $\tau = 3$ 小时时,在硝酸和硫酸混合物中,硝酸的量对鈾的氧化作用的关系。

○——八氧化三鈾; ●——二氧化鈾;
—— $t = 90^{\circ}\text{C}$; --- $t = 20^{\circ}\text{C}$ 。

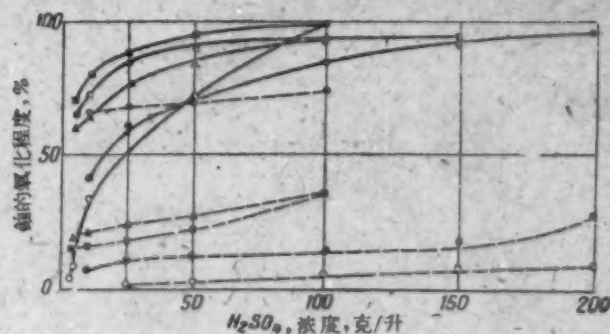


图3 带有氧化剂的硫酸起始浓度对鈾的氧化程度的影响。

○——硝酸; ●——氯酸钾; ◐——高锰酸钾; ▲——二氧化锰; ■——硫酸高铁;
—— $t = 90^{\circ}\text{C}$; --- $t = 20^{\circ}\text{C}$; $\tau = 3$ 小时。

溶解。在 $t = 90^\circ\text{C}$ 时, 采用二氧化锰得到較坏的结果。在采用氯酸钾时, 比起用硝酸和铁盐使八氧化三铀全部溶解过程, 观察到需要更长的延續时间。

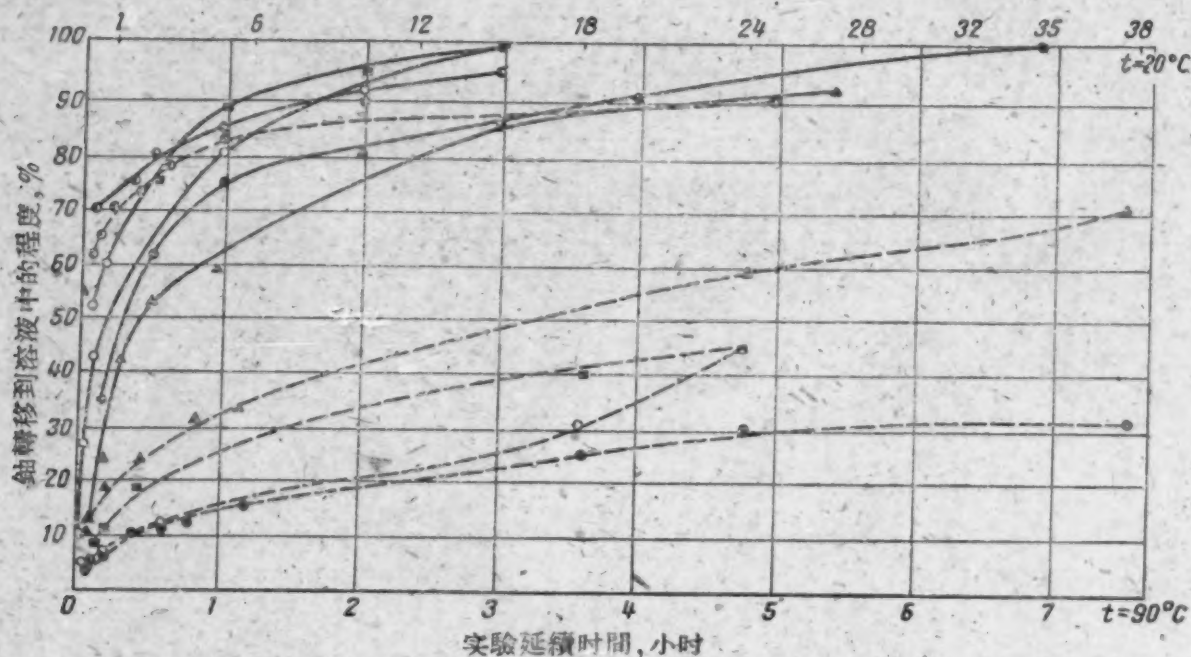


图4 用带有氧化剂的硫酸处理八氧化三铀时, 过程延續时间对铀的溶解的影响

○——硝酸; ●——氯酸钾; ●——高锰酸钾; ▲——二氧化锰;
■——硫酸高铁; ———— $t = 90^\circ\text{C}$; - - - - $t = 20^\circ\text{C}$.

图5列举了温度对铀的氧化和溶解程度影响的某些最典型的曲线。对于硝酸, 在 $t = 20-40^\circ\text{C}$ 范围内观察到特别快的铀的氧化。在硫酸中附加硝酸或氯酸钾时, 温度对铀的溶解程度的关系几乎是直线关系。对于硫酸及硫酸高铁、二氧化锰和高锰酸钾的混合物, 八氧化三铀溶解的增长程度在 $t = 20-60^\circ\text{C}$ 时比 $t = 60-90^\circ\text{C}$ 时更快。图5中曲线的比较, 明确地指出, 仅仅在采用高锰酸钾时, 温度对铀的溶解的影响不太显著, 这是因为在这种情况下过程处于扩散区。所得到的结果指出, 当有氧化剂存在时, 八氧化三铀的溶解, 很大程度上决定于纯动力学的因素和过程的机构。

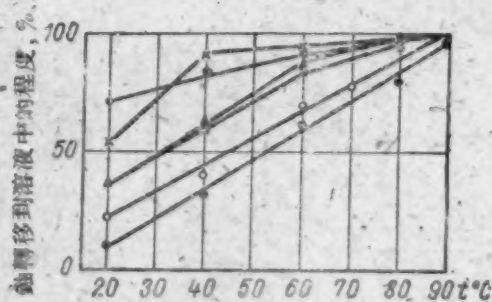
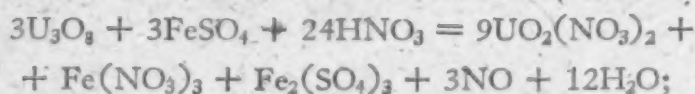
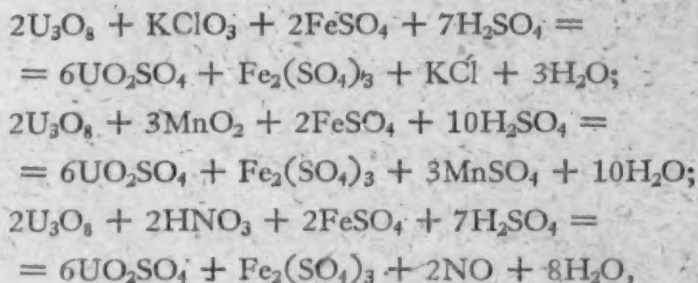


图5 在用硝酸(×)和带有氧化剂的硫酸处理八氧化三铀时, 温度对铀的溶解的影响

○——硝酸; ●——氯酸钾; ●——高锰酸钾; ▲——二氧化锰;
■——硫酸高铁, 酸的浓度为100克/升; $\tau = 3$ 小时。

如果在硫酸浓度为25克/升时比较各种不同的氧化剂对铀的氧化程度, 那么可以看到, 最有效的铀的氧化剂是高锰酸钾。硝酸和硫酸和氯酸钾的混合物给出較坏的结果。在有二价铁存在时, 情况迥然改变。如果八氧化三铀的氧化和溶解根据下列反应中之一来进行:





那么在不存在硫酸时,对于这些氧化剂象氯酸钾,二氧化锰和硝酸观察到鈾的氧化程度的增加(图6)。反之,对于硫酸和硝酸的混合物,鈾的氧化剧烈的减低。在第一种情况下,铁起着加快过程的催化作用。在第二种情况下,使过程减慢。

文献[2]中描述了类似的情况。在用硝酸和硫酸的混合物处理矿石时,酸的总浓度为108.5克/升,把鈾从粉碎较粗的矿石中提取到溶液中,曾经得到比较好的结果。在球磨机中磨碎的时间愈长,提取到溶液中的鈾愈少(95—72%)。由于在矿石细磨处理时,有大量的铁转移到溶液中去。然而文献[2]认为铁的存在未必能解释鈾的提取的减低,因为取的硝酸的过量是和存在的铁的量相等的。

图7表示二价铁的化合物对于用硝酸和硫酸的混合物提取鈾时对氧化过程的影响及与硝酸和硫酸总浓度的关系。当总浓度为25—150克/升时,观察到鈾的溶解度剧烈的减低。这是与体系中 Fe^{2+} , SO_4^{2-} , NO_3^- 存在络离子生成过程有关。

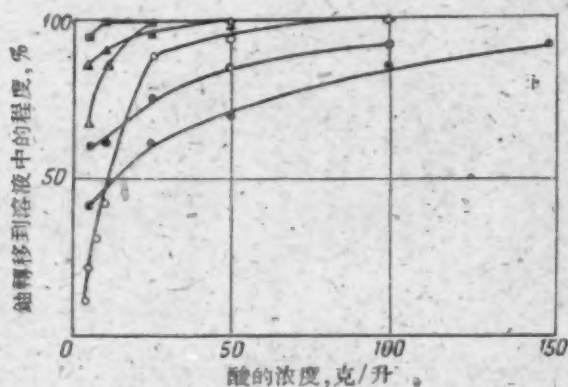


图6 二价铁的化合物在用硝酸(○, △)和带有氧化剂——氯酸钾(●, ▲)及二氧化锰(●, ■)的硫酸提取鈾时,对鈾的溶解的影响及与酸的起始浓度的关系:
○, ●, ●——没有 Fe^{2+} 时, $\tau = 3$ 小时;
△, ▲, ■——有 Fe^{2+} 时, $\tau = 1$ 小时。

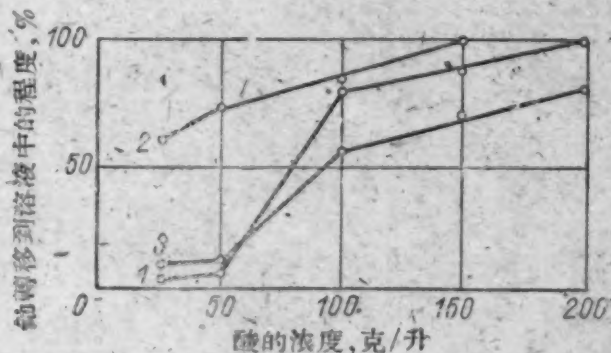


图7 二价铁的化合物对于用硝酸和硫酸的混合物提取鈾时对氧化过程的影响及与硝酸和硫酸总的浓度的关系:
1——有 Fe^{2+} 存在时; 2——没有 Fe^{2+} 时, $t = 90^\circ\text{C}$; $\tau = 3$ 小时; 3—— Fe^{2+} 的氧化。

在硝酸存在时所进行的氧化过程是自动催化过程。过程中的催化作用是由氧化氮来完成的。由于硝酸的分解产物连到 $[\text{Fe}(\text{NO}_3)\text{SO}_4]$, $\text{NO}^+[\text{Fe}(\text{NO}_3)_3]^-$ 或 $\text{Fe}_2(\text{SO}_4)_3\text{NO}_3$ 型的络合物中,使溶液呈暗褐色,所以使硝酸的氧化能力减低。

根据文献[7]的数据,溶液的酸度剧烈地影响到氧化氮的吸收。在文献[8]中指出,氧化氮在二价铁盐溶液中的溶解度和温度的关系,可用克芬修斯-克拉贝隆方程式来表示。而与亨利定律有偏离。随着硝酸浓度的提高,被铁盐溶液吸收的氧化氮减少^[9]。从图8可以看到,在硝酸和硫酸的总浓度加到200克/升时,二价铁的反影响停止了。八氧化三鈾全部被溶解。

虽然体系中正常的氧化还原电位的数值 $\frac{\text{Fe}^{2+}}{\text{Fe}^{3+}} = 0.77$ 伏。在所研究的氧化剂中是最低的,

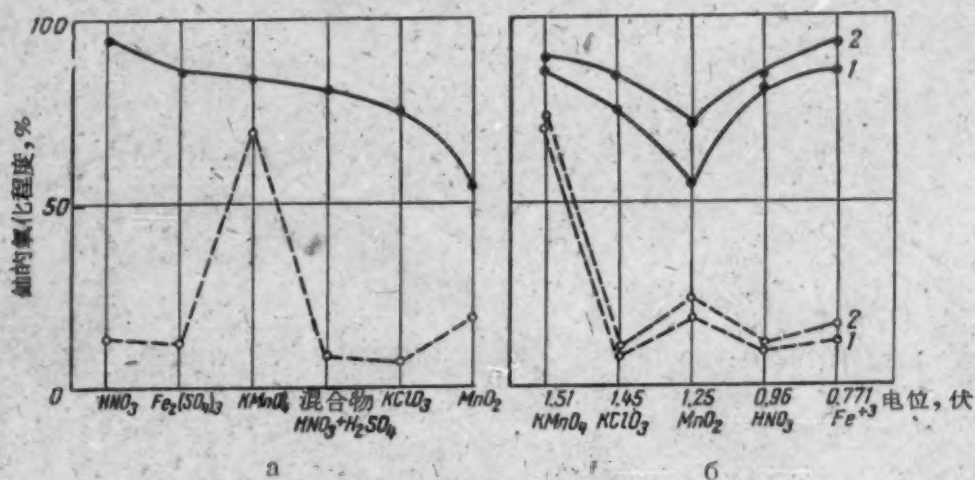
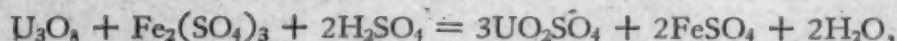


图8 氧化剂的比较特性

a——根据对铀的氧化能力的减低而排列；b——根据氧化-还原电位的减低而排列。

过程延续时间 1——1小时；2——2小时；—— $t = 90^\circ\text{C}$ ----- $t = 20^\circ\text{C}$ 。

在 $t = 90^\circ\text{C}$ 时,比起氯酸钾或二氧化锰,高铁盐是较好的氧化剂(图8)。因此,在包含二种氧化剂-硝酸或高铁盐的硫酸介质中,是三价铁的化合物作为铀的氧化剂。硝酸和硫酸的混合物的总浓度在25—150克/升范围内,硝酸只与二价铁离子生成络合物,而不参与铀的氧化过程。在硝酸和三价硫酸铁之比为等克分子量时,加入高铁离子便开始出现铀的氧化过程减慢。逐渐提高附加的高铁盐的量会增加八氧化三铀的溶解程度。同时,二价铁离子的含量与按下列反应被氧化的铀的量相对应。



亦即铀的氧化过程是这样进行的:在过程中,似乎硝酸并不参加到反应的混合物中去一样。

根据以上所述可以得出结论:

1. 研究了在酸性介质中试剂浓度,过程延续时间和温度对铀的氧化物的氧化和溶解程度的影响。

2. 在用高锰酸钾时,试剂浓度和温度对铀的氧化过程影响最小。虽然 $\frac{\text{Fe}^{2+}}{\text{Fe}^{3+}}$ 对 $\frac{\text{U}^{4+}}{\text{UO}_2^{2+}}$ 的氧化-还原电位比较低,在 $t = 90^\circ\text{C}$ 时,在酸性介质中铁盐是最有效的铀的氧化剂。

3. 确定了在溶液中不存在铁的化合物时,对铀来讲,氯酸钾和二氧化锰是效率最低的氧化剂。在反应的混合物中引入二价铁离子时,上述氧化剂即使在比较稀的酸溶液中,亦能使铀全部氧化。在有铁离子存在时,为了氧化铀和铁,需要高浓度的硝酸和硫酸的混合物。

4. 确定了在有大量的铁离子存在时,铀被硝酸和硫酸的混合物氧化由于络合物形成过程而减慢。

参 考 文 献

- [1] Г. Мервин, Т. Апчерч и др: Химия ядерного горючего. М., Госхимиздат, 1956, стр. 91.
- [2] Gunn By Brad, S. Cavers, A. Van Cleave: *Canad. J. Technol.*, **34**, No. 6, 379 (1956).
- [3] T. Arden: *Industr. Chemist*, **32**, No. 376, 202 (1956).
- [4] A. Gandin, R. Schuhmann: *J. Metals*, **8**, No. 8, 1065 (1956).
- [5] К. И. Родден: Аналитическая химия урана и тория. М., Изд-во иностр. лит., 1956, стр. 66.
- [6] И. П. Алимарин: Заводск. лаборатория, № 5—6, 545 (1940).
- [7] Ч. Аддисон, Дж. Льюис: *Усп. хим.*, **25** № 9, 1121 (1955).
- [8] С. Н. Ганз, Л. И. Мамон: *Ж. прикл. хим.*, **26**, № 10, 1005 (1953).
- [9] Г. Д. Сироткин, В. В. Старостин: *Ж. прикл. хим.*, **27**, № 11, 1141 (1954).

論綜合矿山放射性測量工作

捷念巴烏姆 (И. М. Тененбаум)

本文敘述了采用綜合矿山放射性測量方法的問題以及这些方法与具体地质情况的关系。列举了在矿山內,保証高效率进行放射性定性和定量測量的最有利的条件。

根据鈾矿床的多样性,按放射性測量的特点,对鈾矿床作了分类,并相应地提出了最有效的綜合放射性測量工作。本文所敘述的原則,可用来计划在設計新矿山企业过程中的放射性測量工作。本文对在勘探、开采鈾矿床和矿山企业設計部門工作的山地工作者、地质工作者和物探工作者均有着实际意义和科学意义。

最近十年来,研究出了各种不同的放射性測量,并已貫徹到鈾矿床的实际勘探和开采中。利用这些方法查明和圈定鈾矿体,以及在岩体上对其进行取样。对金属的损失和矿石的貧化采取了防止的措施,对一般矿石和商品矿石的质量进行了分选和評价。

如果根据矿床的地质形态特征、矿石的放射性質以及勘探和开采矿床时所要进行山地工作的特点等情况来选择放射性測量工作方法和采用仪器时,就会更为有利地解决这些問題。

山地坑道和地表的定性及定量測量均属于总的綜合矿山放射性測量工作。山地坑道、掌子面、露天采矿場梯段的物探編录,掌子面上采落矿石的分选,矿車中矿石的分选,放射性选矿装置中矿石的放射性分选均属于定性質量;坑道、掌子面、梯段、充填場的放射性取样,矿車、汽車、箱子和运输器中采落矿石的 γ 快速分析均属于定量測量。钻孔的伽倻測井,勘探炮眼和爆破炮眼的測井,即可用来了解矿化的定性性質,也可用来了解矿化的定量性質。

綜合二字的意思就是上述一些放射性測量工作的总和。綜合的作用大小是由每一工种的相对工作量和用途、方法、必要的实验观测工作量和所采用的仪器所决定的。

上述任何一項測量(地块的某些地段和矿石的容积)均必須取决于勘探方法和矿床取样、加工方法和綜合性矿山技术加工中的其他情况,这又要取决于矿床的地质形态特征、矿体产状、矿石的物理性質、当地的地形和其他因素,主要为經濟因素。

在地表进行的放射性定性測量不太决定于矿床的地质特点和矿山技术工作。矿石的放射性分选例外。这一工种在总的綜合工作中有着很大的意义。放射性分选的效率取决于矿石的放射性可选程度。而可选性主要决定于矿体中鈾的分布。

在岩体上进行定性測量的任务,是由开采矿石的方法确定的,而該方法首先又决定于矿体的厚度和其中鈾的分布。

为了使放射性定性測量更准确和更有效果,必須具备下列条件:

- 1) 具有厚 γ 射綫飽和层;
- 2) 研究对象的放射源連續分布和均匀分布;
- 3) 鈾矿石中不含釷;
- 4) 鐳(B + C)和鈾(或放射性位移常数)之間有放射性平衡。

在不具备这些条件的矿床內,进行放射性定量測量是很困难的,并且要进行工作量相当大的实验工作。

对在标准容量中运送的矿石进行測量时,可以較容易地获得极可靠的结果。对矿化的不

均匀性、没有饱和层以及对矿石的不均匀性和其中的钍测定时,可选择相应的金属标准源。

不具备有利的条件时,对在岩体中进行定性测量的可靠性有着极大的影响。为了在矿床的勘探和开采的所有阶段内,都能充分利用放射性测量,所以在选择综合放射性测量工作时,就应考虑这一情况。

在任何情况下,选择仪器时,都必须根据矿石中金属含量的变化范围来考虑。矿体的厚度、其中铀的分布、矿石中铀和钍的最高富集和一般富集等的变化范围很大,是与工业铀矿床成因类型的多样性有关。由于矿床的地表风化作用,矿石中的放射性平衡状态经常遭到破坏:见有放射性平衡的局部位移,局部带状位移和带状位移。各种矿床矿体内铀的分布(从均匀到极不均匀)决定着矿石的放射性可选程度(从最可选到不可选)。

由于矿床地质特征有很大的区别(包括已测出的 γ 射线的强度和光谱成分的不同),因此不能采用标准的综合放射性测量工作。

为了选择对该地质条件最适合的综合测量,应将所有的矿床分成三类。一类矿床中的矿体厚度、矿化分布特点和其强度均应相互近似。根据这一标志应将矿床分成:厚层矿体和薄层矿体的矿床;矿体中铀分布均匀、不均匀和极不均匀的矿床;矿石中金属富集低、富集中等和富集很高的矿床。

为了确定每一类矿床矿石中,测定的 γ 射线和铀含量之间的单值,最好根据矿石的放射性(铀平衡和综合性的铀-钍矿化)再分成组。矿床的这种分类列于下表中。

因此,所有的铀矿床,根据其地质形态特征可归纳为三大类。每一大类中,根据矿石的放射性又分矿床组。每一类矿床,应采用统一的综合放射性测量工作。各个矿床组主要的综合放射性测量工作则是根据工作方法相应的复杂程度、测量的密度、结果的可靠程度,也根据实验工作的工作量、特点和比重,又根据进行测量的某些次要特点来划分的。

但是,在一个矿床范围内,可能遇见各种不同的地质形态或放射性的矿体或矿带。这时应根据分类表,分别对待这些矿带。

下面对放射性测量工作的三种综合分别进行叙述。第一综合最好应用于I类矿床中,第二综合最好应用于II类矿床中,第三综合应用于III类矿床中。

第一种综合放射性测量工作的基础是,岩块中的定量测量、山地坑道、掌子面、梯段的放射性取样以及钻孔和爆破炮眼的定量 γ 测井。在矿车、汽车和输送机中、矿石块的 γ 快速分析也有着重要的意义。钻孔的定性 γ 测量在综合放射性测量工作中占有很大的地位,可以有成效地利用其数据进行矿床的能量计算。定性测量在工作的所有阶段中仅是辅助性的。矿石的放射性选矿不合算,在个别情况下,只有对装有一定大小的矿块,用灵敏的闪烁仪器才可以进行测量。

第二种综合放射性测量工作与第一种综合的区别是,在勘探时进行的足够工作量的钻孔定量 γ 测量,在相当大的程度上,代替了山地坑道的放射性取样。地下的定性测量不仅已经不是辅助性的工作,而且在很大的程度上,完成着独立职能,因为借助于此项工作,在半混合采掘时,可以实现选别回采矿石、在掌子面上分选矿石,以及防止由于矿石未整个掘出,而造成的金属损失等等。在上述情况下,也可对采落矿石进行 γ 快速分析,不用事先分类矿石和岩石。矿石的放射性选矿的作用有了极大的增长。在放射性选矿装置装块料或分批装料时,可用灵敏度较低的仪器进行放射性选矿。

岩块的定性测量是第三种综合放射性测量工作的基础:山地坑道和掌子面的物探编录,爆破炮眼和勘探炮眼的定性 γ 测井以及在掌子面上矿石和岩石的分选。这些测量的目的是,检查山地坑道的方向,保证进行选择性的掘出矿石,防止金属损失和贫化。地下的定量测量局限

鈾矿床的放射性測量工作特点分类表

类	铀矿床的地质形态特征	组	分 组	放 射 性 质	矿 床 实 例
I	厚 0.5 米以上的含铀层, 发育面积广大, 具有均匀、稳定的贫铀矿化	1	无 铀	具有平衡矿石	沉积矿床和布兰德河及维特瓦特尔斯兰类型的砾岩
			含 铀		
		2	无 铀	具有不平衡矿石	
			含 铀		
II	厚 0.5 米以上的层状、柱状和脉状矿体及单个矿脉, 带有不均匀、断续的矿化。金属品位一般不高	1	无 铀	具有平衡矿石	某些沉积矿床 (泻湖-海成砂石)、沉积变质矿床、某些热液矿床 (交代、单独矿脉和充填大断裂带的矿床)、淋滤矿床; 混合岩化带和伟晶岩带
			含 铀		
		2	无 铀	具有不平衡矿石	
			含 铀		
III	厚 0.5 米以下的细脉群, 矿化极不均匀, 断续性大, 一般为富矿化	1	无 铀	具有平衡矿石	热液矿床 (细脉群) 和某些伟晶岩
			含 铀		
		2	无 铀	具有不平衡矿石	
			含 铀		

于对充填場的放射性取样。在地表上对富矿、貧矿和岩石分別进行 γ 快速分析。快速分析的目的在于, 在已測量的岩体上統計各掌子面上的金属, 这是儲量計算 (全巷法), 确定金属損失和矿石貧化所必須的。对矿块的放射性选矿在本綜合工作中有着极大的作用。不仅效率高, 而且还是总的綜合性加工工作中不可缺少的一部分。

上述原則的基本原理經過了多年的实践所証实。

每一矿床的綜合放射性測量工作, 最好在設計新矿山企业的过程中确定。进行这种設計时, 应考虑地质形态、放射性和矿山技术等因素; 应该保証勘探开采工作的最高效率, 降低成本以及在矿山地表最合理的布署技术加工的基本建設。

丁 菊 譯
海 洋 校

鈾 的 热 处 理

謝尔盖也夫 (Г. Я. Сергеев)

基 多 娃 (В. В. Титова)

尼古拉也娃 (З. П. Николаева)

加普切力采夫 (А. М. Каптельцев)

文中敘述了鈾热处理的一种方法——淬火,以保証得到細晶粒的伪各向同性的結構。

指出了用 β 及 γ 相淬火方法来提高鈾强度性能的可能性,淬火对微观及宏观晶粒与化学成分間关系的影响。研究了在存在 α 相的温度范围内鈾的蠕变。

用鈾做的制件在中子流作用下的变形抗力与金属的成分、結構及性能有关^[1]。

与反应堆中释热元件的工作条件有关,堆芯金属的成分及結構应该是不同的。假定称为“淬火”的热处理是改变鈾的結構及性能的方法之一。

淬火是指加热鈾到 β 及 γ 相的温度,并随之快速冷却在水或油中。此时在一般純度的鈾中不能在室温时固定下高温的或中間的相来。然而淬火,正如以后要指出的,能大大地使宏观及微观結構变小,改变纖构及提高鈾的强度性能。

研究了淬火对室温或高温时測定的鑄态鈾和热轧鈾的微观、宏观結構以及机械性能的影响。

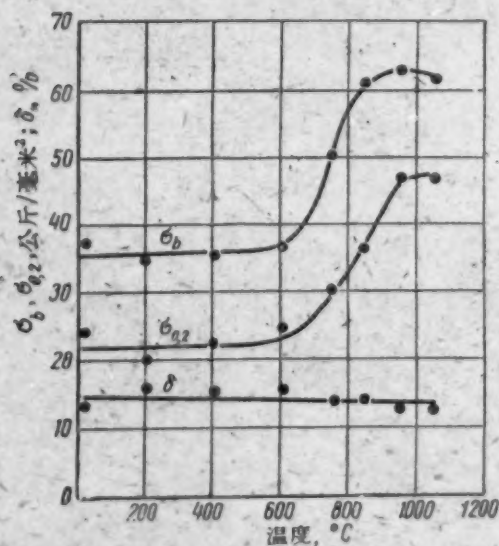


图1 20°C 时热轧鈾机械性能的变化与淬火温度的关系。

样品試驗是在 20°C 时进行的。杂质含量 (重量%): 鉄— $7 \cdot 10^{-3}$, 硅 $1.2 \cdot 10^{-2}$, 碳—0.04, 氮 $7.4 \cdot 10^{-3}$

增加到 60—65 公斤/毫米²。强度极限变化的相似的規律性在鑄态鈾淬火时也可以观察到^[3]。相对伸长率实际上沒有变化。

在鑄态或热轧鈾中有大晶粒的树枝状的宏观結構¹⁾(图 2, a)、在大鑄錠中个别的宏观晶粒

短时间的附加负载按比例縮小直径为 5 毫米样品的拉伸試驗是在 ИМ-4Р 机器上进行的;而蠕变是在 ЦКТИ-3 机器上試驗的,这机器是按本文作者的要求为了在純氬气氛中加热易氧化的金属而专门装配的。标准样品(直径 10 毫米,工作段的长度为 100 毫米)是从直径 22 毫米长 200 毫米的棒上車制成的。

待淬火的棒在真空炉中加热。鈾样品在拉伸試驗时,加热到 1000°C 是在化学純的氬气气氛中、在特殊装配的设备内进行的。

为了研究在 α 、 β 、 γ 相加热后淬火时机械性能变化的差别(图 1),用热轧的,在空气中冷却的鈾棒在 200—950°C 时加热一小时,然后很快地移入油箱中。

鈾从 β 、 γ 相温度的淬火导致强度特性的大大提高。强度极限及屈服极限最大的变化是在从 γ 相的淬火后可以看到(差不多增加 60%),那时强度极限从 35—40 增

1) 宏观結構是把磨片浸在下列試剂中显示出来的:在一升水中溶入 53 克氯化铵, 85 克氯化銅及 66 毫升盐酸。漂白过程在浓硝酸中进行。

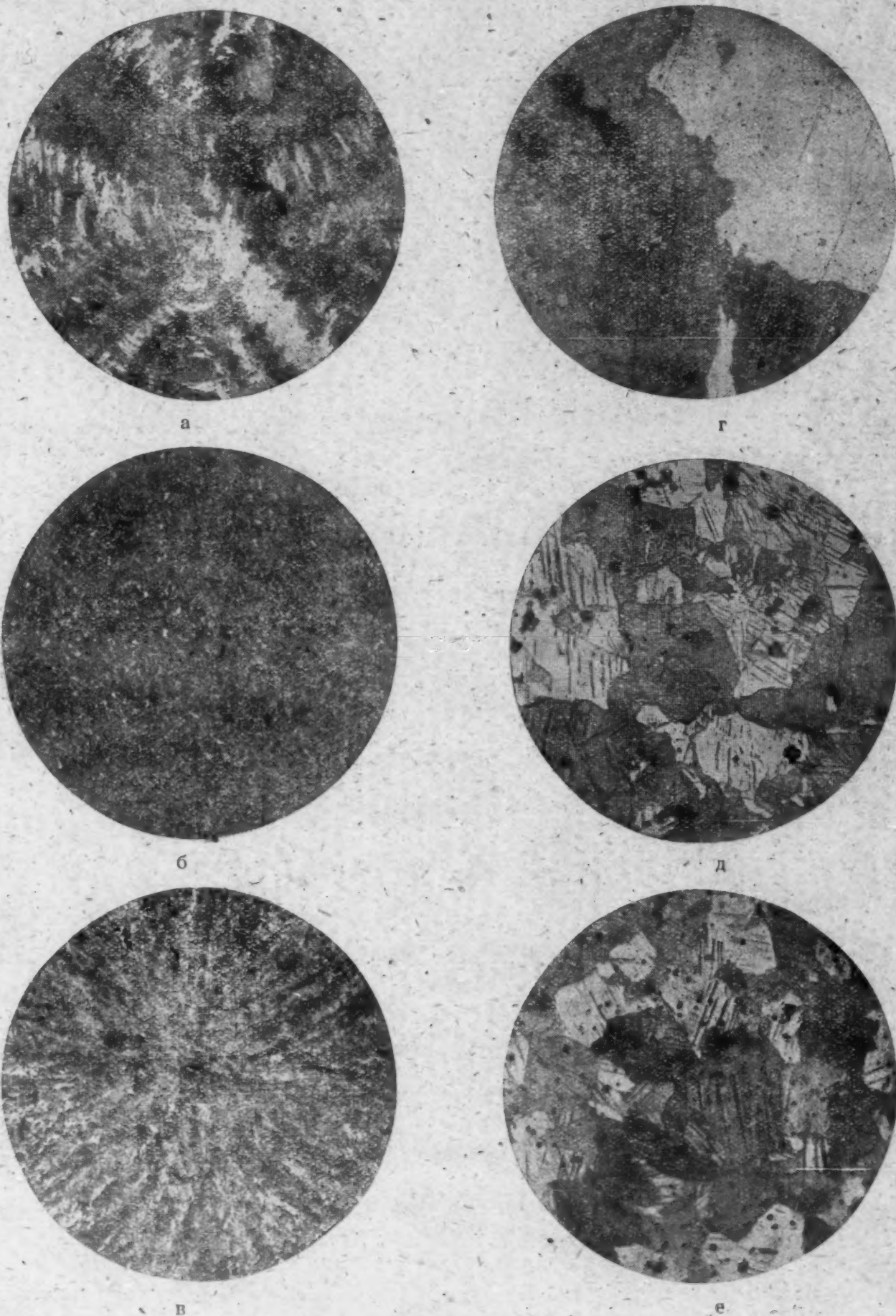


图 2 淬火时鈾結構的变化

- а——热轧鈾的宏观結構,鉄及硅的总含量是 $1.9 \cdot 10^{-3}\%$ (重量) ($\times 2$);
 б——从 β 相淬火的鈾宏观結構 ($\times 2$);
 в——从 γ 相淬火的鈾宏观結構 ($\times 2$);
 г, д, е——相应于 а, б, в 样品的微观結構 ($\times 135$).

的尺寸达到 30 毫米。从 β 相区淬火导致细晶粒无取向结构的形成,宏观晶粒度在 0.8—2.0 毫米数量级(图 2, 6)。从 γ 相区淬火时也发生晶粒的细化,但在此时,照例可以观察到晶粒排列的辐射状的方向性(图 2, 8)。

铸态或热轧铈的微观结构¹⁾是由粗晶粒组成,而粗晶粒本身又由一系列的亚晶粒所组成,它们相互间在取向上有 5—10° 的差别,然而与在沒有结构的铈中一样,晶粒能有完全不同的取向。热轧及铸态铈的微观晶粒的大小有 500—800 微米数量级。从 β 及 γ 相区淬火可以使晶粒细化到 70—150 微米。然而除了细晶粒外,粗晶粒仍然保存,特别是在高纯度的铈中。除了一般的晶粒细碎外,在淬火后还发现强烈的晶界切碎,出现大量的孪晶及滑移线(图 2a, c)。

淬火铈晶粒细化的程度与化学成分及杂质比例有关,首先是铁、硅、镍及铝^[1]。在增加铈中含铁量及含硅量时,宏观晶粒的尺寸显著地变小。然而从含 $3 \cdot 10^{-2} \%$ (重量)起,变化不显著了。铝有同样的效应,但较不强烈。

在测定淬火前保温时间对机械性能变化的影响时,铈的样品加热到 750° 及 850°C; 在淬火温度时,保温时间从 15 到 120 分钟间变化。淬火是在油中进行的。

在所有的情形下,淬火铈的高机械性能在 15 分钟的保温后可以得到更多的延长保温时间,在从 β 及 γ 相的淬火时并不带来强度性能数值上更大的变化。

在表 1 中列出了在不同的冷却介质(水,油,氩)中,淬火样品机械性能试验的结果,而在表 2 中表示了水温改变对铈淬火时机械性能的影响。列出的数据证实了愈是冷却速度快,淬火铈的强度特性也就愈高。

表 1 在不同的冷却介质中淬火的铈的机械性能¹⁾

热 处 理	强度极限, 公斤/毫米 ²	假定的屈服极限, 公斤/毫米 ²	相对延长率, %	相 对 收 缩, %
热 轧	37.9	26.0	6.8	10.8
750°C在氩气流中淬火 ²⁾	39.5	21.2	8.2	10.4
750°C在油中淬火	50.4	34.7	4.9	8.2
750°C在水中淬火	51.6	31.2	6.3	8.4
850°C在氩气流中淬火	39.5	23.1	6.6	9.7
850°C在油中淬火	55.6	39.3	6.5	8.4
850°C在水中淬火	64.3	56.5	6.8	8.6

1) 样品试验在室温下进行。

2) 在该温度下保温时间为 60 分钟。

表 2 水温对淬火铈机械性能变化的影响

热 处 理	强度极限, 公斤/毫米 ²	假定的屈服极限, 公斤/毫米 ²	相对延长率, %	相对收缩率, %
含有(重量%)铁 $1.96 \cdot 10^{-2}$, 硅 $1.65 \cdot 10^{-2}$, 碳 0.05 铸态的	44.1	31.3	4.6	8.8
水中淬火的 ¹⁾ ($t = 0^\circ\text{C}$)	68.6	50.7	4.1	4.7
水中淬火的 ($t = 20^\circ\text{C}$)	68.7	51.6	2.4	5.6
水中淬火的 ($t = 30^\circ\text{C}$)	68.7	50.6	4.0	4.8
水中淬火的 ($t = 50^\circ\text{C}$)	64.4	47.1	3.3	5.2
水中淬火的 ($t = 80^\circ\text{C}$)	55.4	45.9	2.6	6.0
水中淬火的 ($t = 100^\circ\text{C}$)	49.9	45.4	2.4	5.0

1) 从 γ 相区淬火(850°C),保温时间为 60 分钟。

1) 微观结构是用电解蚀法在下列试液中显示出来的: 铬酸、醋酸及水(1:1:2)。

表 3 试样直径对淬火鈹机械性能的影响

试样直径 毫米	强度 强度 公斤/毫米 ²	假定的屈服极限 公斤/毫米 ²	相对伸长率 %	相对收缩率 %
22	55.6	39.3	6.5	8.4
18	60.9	37.2	7.3	7.7
14	61.0	44.5	6.9	6.7

因为淬火鈹的机械性能与冷却速度有关, 因此它们也与被淬火试件的直径有关(表3)。在热处理大制件的实践中必须考虑到鈹的可淬性。

在图3画出了淬火鈹机械性能的改变与回火温度间关系的曲线。与未淬火态比较, 淬火鈹在 α 相温度内回火后能保持比较高的强度极限及屈服极限值。只有当在 β 相温度内加热后才会发现强度特性的急剧降低直到原来的没有淬火样品的数值。为了观察重复淬火对鈹的机械性能的影响, 直径为22毫米的棒在35分钟保温后在740°C的水中淬火。在金属中含有主要的杂质(重量百分比): 铁— $1.07 \cdot 10^{-2}$, 硅— $3.4 \cdot 10^{-3}$, 碳—0.09, 镍— $3.2 \cdot 10^{-3}$ 。

在开始的十次淬火后, 强度极限升高了17%(图4)。再增加淬火次数到20时, 强度极限有了一些下降, 这是与裂缝的出现有关。在进行实验时棒伸长了4%。全相研究指出, 多次的淬火导致淬火鈹的宏观、微观晶粒的细化, 这是与文献[4]的数据相符合的。

对于从 β 及 γ 相淬火的鈹, 短时间拉伸试验的强度性能随温度升高而逐渐降低, 但是在所有的 α 相温度内, 比之相应温度时未淬火的样品仍然保持有比较大的强度特性(图5)。

铸态或热轧鈹从 β 或 γ 相淬火会导致抗蠕变能力的显著提高。但是这只是在下列情形下

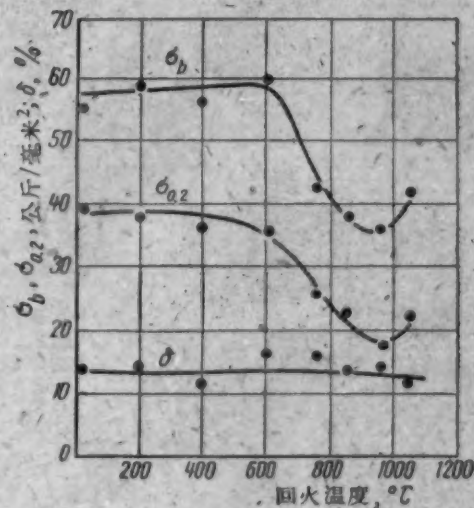


图3 从 γ 相淬火鈹的机械性能改变与回火温度的关系

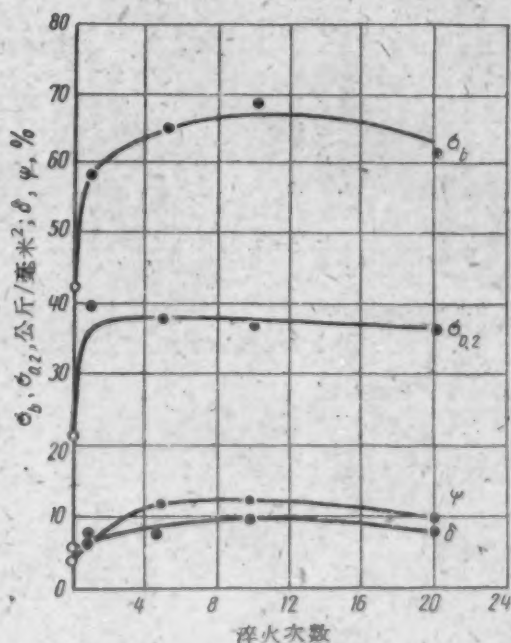


图4 鈹机械性能改变与重复淬火次数间的关系
(○——热轧鈹的强度特性)

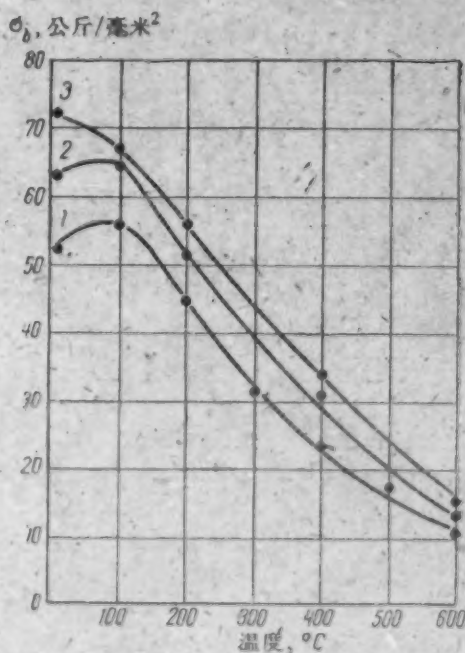


图5 试验温度对鈹机械性能的影响
1. 铸态的; 2. 从 β 相区淬火的; 3. 从 γ 相区淬火的

才能看到,即如果被試驗的样品是受应力以及温度不超过 350—400°C 时。在更高的温度下,淬火引起相反的效果,即降低鈾的抗蠕变能力(表 4 及图 6)。这现象在文献[5]中也曾被指出过。

表 4 鑄态及淬火鈾在 100, 300 及 500°C 时蠕变試驗的結果
(杂质含量(重量%): 鉄— $1.5 \cdot 10^{-2}$, 硅— $4.83 \cdot 10^{-3}$, 碳— $4 \cdot 10^{-3}$, 氮— $4.85 \cdot 10^{-3}$)

試驗溫度, °C	金 属 状 态	应力,公斤/ 毫米 ²	在負荷时的 形 变 %	蠕变速度, %/小时	測量蠕变速 度的区間, 小时	总蠕变变量	
						小 时	$\Sigma \epsilon, \%$
100	鑄态	30	1.88	$1.6 \cdot 10^{-4}$	180—500	500	2.53
	鑄态及随后从 γ 相区淬火 ...	30	0.45	$2.9 \cdot 10^{-3}$	20—500	500	0.52
300	鑄态	25	3.50	$4.9 \cdot 10^{-4}$	220—540	540	5.00
	鑄态及随后从 β 相区淬火 ...	25	0.59	$1.1 \cdot 10^{-4}$	110—565	565	0.74
	鑄态及随后从 γ 相区淬火 ...	25	0.35	$7.6 \cdot 10^{-5}$	170—565	565	0.53
500	鑄态	4	0.04	$1.3 \cdot 10^{-3}$	40—520	520	0.87
	鑄态及随后从 β 相区淬火 ...	4	0.04	$7.7 \cdot 10^{-3}$	50—210	500	5.05
	鑄态及随后从 γ 相区淬火 ...	4	0.05	$7.3 \cdot 10^{-3}$	40—340	525	4.92

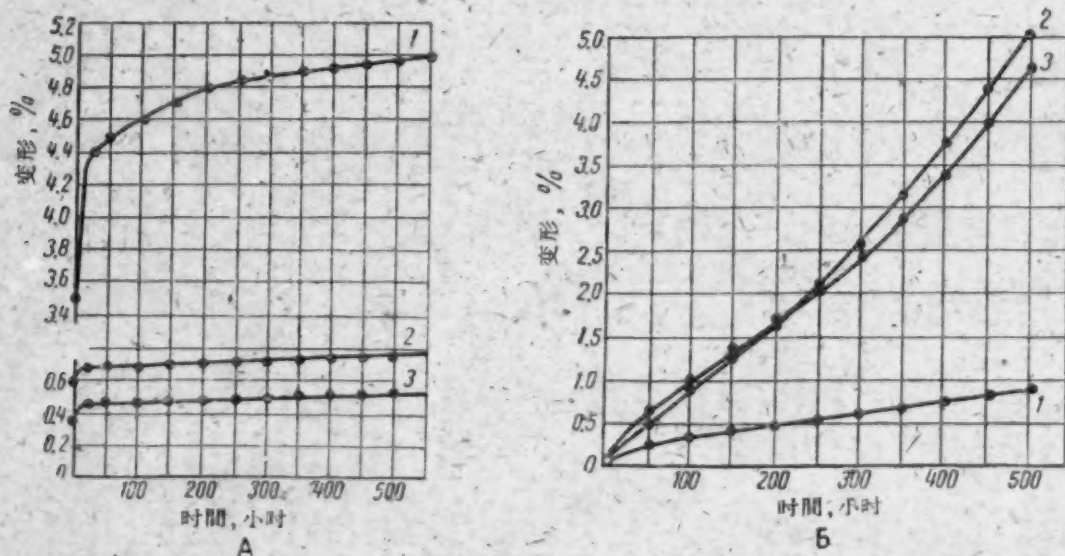


图 6 鈾蠕变的一次曲线

1. 鑄态的; 2. 从 β 相区淬火的; 3. 从 γ 相区淬火的。A. 試驗溫度 300°C; 应力 25 公斤/毫米²。
B. 試驗溫度 500°C; 应力 4 公斤/毫米²。

在超过 300—350°C 的温度时,在鈾的形变过程中晶粒沿晶界的流动开始起显著的作用。因此,具有大的晶界表面的細晶粒的淬火金属的形变,比之鑄态或热轧的粗晶粒鈾的形变是要更加容易一些。在低温时,当形变主要依靠孪晶的方法来实现时,被淬火所強化了的細晶粒的鈾具有更大的抗形变能力。

在蠕变試驗过程中,在超过 400°C 的温度时,应力长时期的作用会引起淬火金属的再結晶,这同样引起晶粒的細化。在文献[6,7]中曾指出在退火过程中甚至沒有补充的应力加上去以一定速度冷却的淬火鈾也有再結晶的趋势。

在生产释热元件的工艺过程中,为了显著地减小制件性能的各向异性对鈾芯在中子場及温度周期变化中稳定性的有害作用,鈾要进行淬火。

淬火鈾的結構由于晶粒的細化及織构的消除是接近于伪各向同性的。在此情形下,不論在短时期或长时期的試驗中(后者在温度不超过 400°C 时)鈾的強度性能都有显著的提高。

如果具有一定結晶取向的样品加热超过 $\alpha \rightleftharpoons \beta$ 的相变温度, 則由于这結果以及随后的冷却时的变化, 热膨胀的各向异性是減小了, 而样品接近于伪各向同性的状态。

样品或制件中热膨胀系数各向异性的消失是与在 β 或 γ 相区逗留的时间, 与加热温度及冷却速度有关。在图 7^[5] 中表示了对于不同的冷却条件下綫膨胀系数各向异性(沿棒的軸向及沿半径方向系数的差值)与在 675°C 下加热持續時間間的关系。

从以上的叙述可以做出以下的結論:

1. 由于从 β 及 γ 相温度快速冷却鈾的結果(淬火), 使它的結構及性能发生变化。
2. 淬火使鈾的宏观晶粒度从 10—30 減小到 0.8—2.0 毫米, 使微观晶粒度从 500—800 減小到 70—150 微米。
3. 热轧鈾的強度极限在从 β 相淬火后大約增加 30%, 而从 γ 相淬火后差不多增加 60%。
4. 鈾的多次淬火当温度不超过 400°C 时可以增加它的抗蠕变能力, 而在更高的 α 相温度內則会減小。
5. 在淬火后宏观及微观結構和強度特性变化的程度是与鈾的化学成分有关, 首先是与鉄、硅、鋁及鎳的含量有关。
6. 当鈾从 β 及 γ 相区淬火时, 冷却速度对強度特性有很大的影响, 淬火时的冷却速度愈快, 強度特性的提高愈大。
7. 在所有的 α 相温度內, 淬火鈾的強度特性(在短時間試驗时)比之同温度时未淬火的鈾来得高。

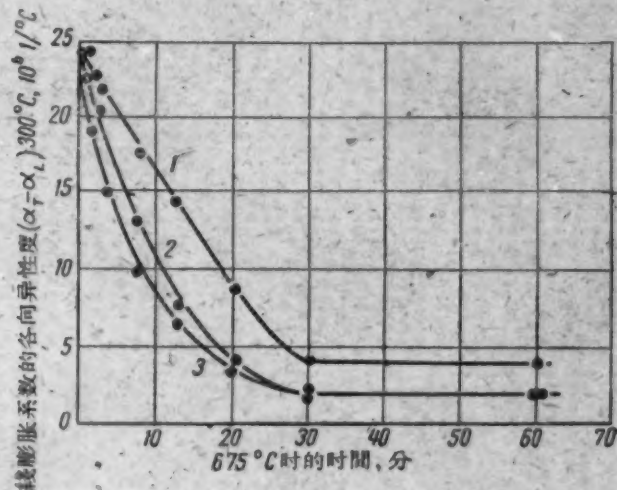


图 7 在不同条件冷却下鈾棒在 675°C 时加热時間对綫膨胀系数各向异性的影响
1. 空气冷却; 2. β 相淬火及随后在 α 相退火;
3. 从 β 相淬火。

参 考 文 献

- [1] А. С. Займовский, Г. Я. Сергеев, В. В. Титова, Б. М. Левитский, Ю. Н. Сокурский: *Атомная энергия*, 5, вып. 4, 412 (1958).
- [2] Г. Я. Сергеев, В. В. Титова, Е. М. Савицкий, А. А. Жулькова, З. П. Николаева: *Атомная энергия*, 5, вып. 6, 618 (1958).
- [3] А. А. Бочвар, С. Т. Конобеевский, А. С. Займовский, Г. Я. Сергеев и др.: *Атомная энергия*, 5, вып. 1, 5 (1958).
- [4] Чизвик и др.: Тр. Второй международной конференции по мирному использованию атомной энергии (Женева, 1958). Избр. докл. иностранных ученых. Т. 6—Ядерное горючее и реакторные материалы. М., Атомиздат, 1959, стр. 53.
- [5] R. Nichols: *Nucl. Engng*, 2, No. 18, 355 (1951).
- [6] W. Donell: Kinetics of the Beta Transformation of Uranium Nuclear Engineering and Science Conference, Chicago, March 1958.
- [7] H. Garder, J. Riches: The Effect of Transformation Cooling Rate on the Activation Energy Required for Recrystallization of Beta Quenched Uranium, Nuclear Engineering and Science Conference, Chicago, March 1958.

改变温度时多晶铈样品中内耗增加的研究

索库尔斯基 (Ю. Н. Сокурский)

波布阔夫 (Ю. В. Бобков)

用扭振衰减的方法,在样品以不同的速度进行加热的过程中,对样品的内耗随着时间的增长作了测量。被研究的多晶铈曾在 γ 相淬火,并在 γ 和 α 相退火并再结晶。证明了,样品内耗的增长速度随时间而逐渐降低,内耗的增长达到一个极限值。此极限值近似地与样品加热速度成正比。内耗的增加与应力有关,而这个应力是在温度改变时,由于各向异性的热膨胀系数而在样品中产生的。无论是晶粒长大致使晶粒尺寸与样品直径相近,或者由于样品中的择优取向使得内应力降低,均能使内耗的增长量减低。在加热过程中,样品还发生了宏观滑移形变。同样,在具有热各向异性的金属——铟的加热过程中也看到了内耗的增加。而在具有各向同性热膨胀系数的金属铝和铜中,却没有发现这种现象。

引言

在研究的过程中觉察到,当改变铈样品的温度时,其内耗有剧烈的增长。这个现象说明:当温度改变时,铈中的弛豫过程大为加剧。这是很有意义的,因为在使用过程中,铈制另件的温度是经常改变的。

如所周知,在温度作周期性改变的情况下,多晶铈发生严重形变^[1,2]。这个现象是用内应力的作用来解释的,在温度变化时,多晶的各向异性金属中产生出这种内应力。温度升高时,多晶体的晶粒各向异性地长大,与相邻的晶粒相互作用,并产生应力和形变。曾经指出,在这种应力的作用下,蠕变得到加速^[3],就将象辐照长大所引起的内应力使得铈的蠕变加快一样^[1,4]。但是,在文献中除了极少数资料对于未公布的工作有所引证之外^[5],还没有资料谈到这种应力怎样影响这样一些敏感的参数,例如内耗。

已经知道,在塑性形变的过程中内耗有所增加。特别是在铝中,当以0.08%/分钟的速度发生形变时,内耗增加为原来的6—10倍^[6]。有关铟在形变过程中内耗的增加,也有过报导^[7]。在文献[8]中确定了,当铅管中气体压力增加时,其内耗大约增加一倍。文献[9]还报导了在高温下,缓慢拉伸过程中铅的内耗增加情况。因而,在热各向异性的物体里,温度改变的过程中内耗的增加就不是意料之外的事了。内耗的增加可能是由形变引起的,这种形变是由各晶粒的各向异性的长大所形成的。

研究的方法和被研究的材料

由自由扭振的衰减来测量内耗,所用的装置与葛^[10]的相似(图1)。这种仪器的特点在于设有专门装置使样品用通过电流的方法来直接加热。借助于继电器4,水银接点可以在实验过程中接通和断开。研究证明,这个接点对于内耗值影响很小,因此可以在用电流使样品加热的过程中直接测量内耗。测量工作是在 $5 \cdot 10^{-6}$ 毫米汞高的真空中,在等速加热的过程中进行的。在实验过程中,用手按照预先选定的计划来调动电流调节器,来达到恒定的加热速度。实验时的加热速度在2.5—20度/分钟之间。

用热电偶8(见图1)所进行的测量表明,在加热过程中,样品沿纵长方向的温度落差不超

过 3—4°C。

按照振幅减低一半所需要的时间来测量内耗。摆重和下夹头在样品上造成的应力不超过 75 克/毫米²。最大的振幅对样品的最大切应变 $1.2 \cdot 10^{-5}$ 相当。在振动频率约为 2 赫芝的情况下,用肉眼进行测量。在许多实验中进行了示波的光学记录,并按照它算出了内耗。

在 200°C 进行拉丝。经过一系列的 α 相中间退火,把直径为 3 毫米的杆状物拉成直径 1 毫米长 200 毫米的铈样品。这些样品的成分如下(基本杂质),(重量)%:

	C	Fe	Si	Al
A	0.037	$2.1 \cdot 10^{-3}$	$4.5 \cdot 10^{-3}$	—
B	0.049	$8.3 \cdot 10^{-3}$	$1.4 \cdot 10^{-2}$	$1.4 \cdot 10^{-3}$

在以下情况下对样品进行了研究:

1. 在 γ 相(850°C)保温 2 小时后,在水中淬火。平均晶粒尺寸为 15—25 微米。

2. 在 γ 相(850°C)以缓慢的冷却速度退火 2 小时,随后在 600°C 回火 4 小时;在样品的横截面上一般地有 3—5 个尺寸为 0.2—0.4 毫米的晶粒。

3. 在 600°C 退火 4 小时以便使样品进行再结晶。晶粒尺寸为 15—20 微米。

4. 在 500°C 退火 10 小时以便使样品再结晶并细化晶粒。晶粒尺寸 2—4 微米。

测量之前,先使样品在室温下在仪器上静置,为的是使样品由于淬火以后的校直操作以及由于把样品安装在仪器上而造成的冷加工得以去除。

为了比较加热速度对于各向同性和各向异性材料的影响,还研究了铋,工业纯铟和铝的内耗,样品尺寸和上述的一样。用“ЧДА”牌号的铋铸出样品,也用已经再结晶的«Кальбаум»铝制备样品。所有样品在未装入仪器之前,先在再结晶温度附近进行退火,然后,在仪器中退火,以便消除安装样品时所造成的冷加工。

实 验 结 果

图 2 表出在 A 种铈(状态 1)上所得到的实验结果。图 3 给出这一实验的开始阶段(A)和終了阶段(B)的一个波形图。

从图 2,3 可以看出,在开始加热之后一下子增大起来,并且实际上随着加热的停止而降落下来。在加热的初始阶段,内耗的增加速度渐次减低,而内耗值则达到某一极限值 Δ_{np} 。在 120—210 及 210—290°C 之间加热时,也得到了相似的内耗随时间增加的曲线。对于 B 种铈(状态 2,3 和 4)也看到了相似的内耗增加的情况。

还证明了,甚至于很小的冷却速度($v = 1$ 度/分钟),也使内耗显著增加。在用电炉使样品加热的过程中也看到相似的内耗的增加情况;所以这种现象和加热样品所用的电流的作用没有关系。

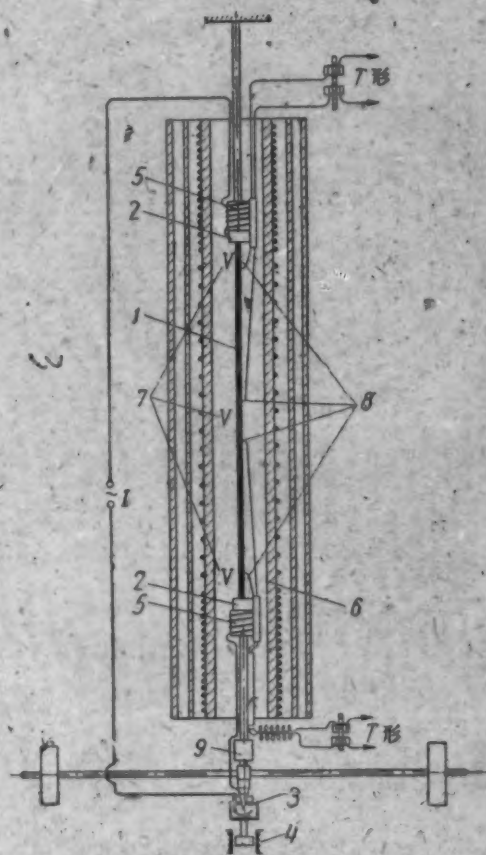


图 1 测量内耗的装置

1—样品; 2—夹头; 3—水银接点; 4—继电器; 5—加热夹头的加热器; 6—管式电炉; 7—热电偶; 8—焊在样品上的、直径为 0.1 毫米的、镍铬-康铜热电偶; 9—小镜子(镜子与读数尺的距离为 2.5 米)

在停止改变样品温度的时候,看到内耗同时也有降低(看图2、图3)。如果样品温度在停止加热以后保持不变,那么内耗就能在2—5秒的时间内降低到一个与相应的温度所对应的数值。

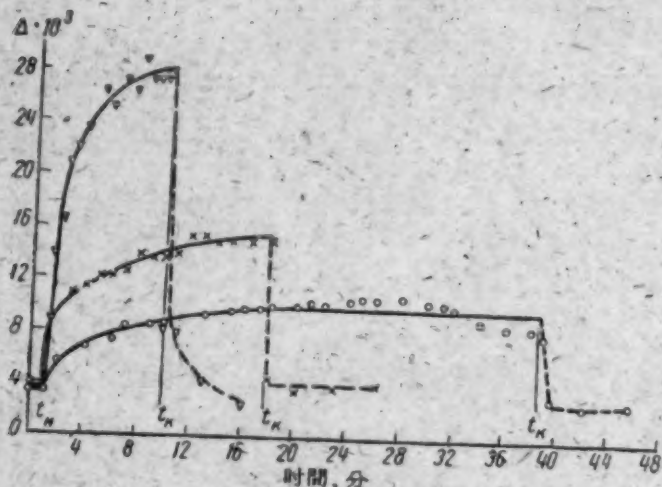


图2 淬火的,状态A的铀,当加热速度恒定时,在20—120°C 间隔内其内耗增涨与加热时间的关系:

加热速度(度/分钟): ∇ —13.55; \times —5.75; \circ —2.83.
频率1.9 赫芝; t_H —开始加热的时间; t_K —加热结束的时间。

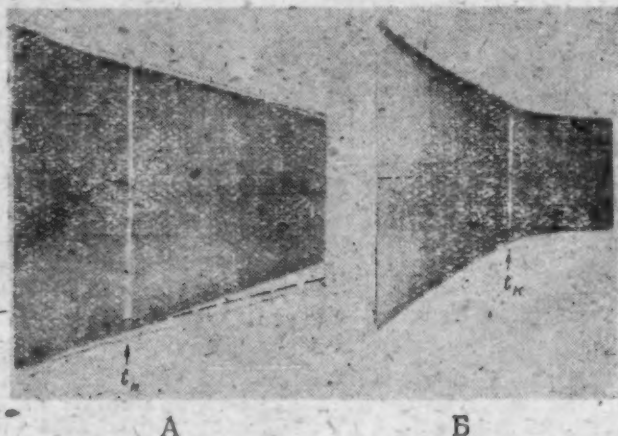


图3 淬火的,状态A的铀,其内耗变化的波形图

A——开始加热后(在时间 t_H)。未加热时的振幅改变用虚线表示; B——停止加热后(在时间 t_K)。虚线表示继续加热时振幅变化。A及B中一横一点的直线表示平衡点的位置。频率1.9 赫芝。

值。但是在前述的仪器上,很难在停止加热以后一下子就使整个样品达到恒定温度。在许多情形下,这一期间内沿着样品的温度分布的变化,使得内耗的增加有某种程度的降低,就象图2上所表示的那样。

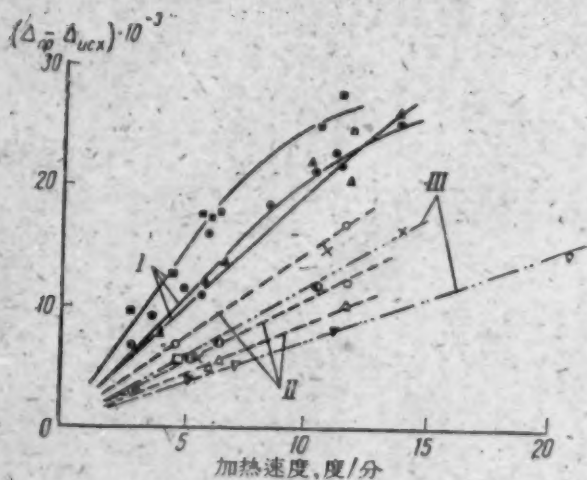


图4 铀的内耗增涨量($\Delta_{增} - \Delta_{初}$)与加热速度 v 的关系

频率 ≈ 2 赫芝; I——从 γ 区淬火的,状态A的样品(第一种处理: \bullet —20—120°C, \blacksquare —120—210°C, \blacktriangle —210—290°C); II——从 γ 区回火的,状态B的样品(第二种处理: \triangle —20—120°C, \square —120—210°C, \circ —210—290°C); III——再结晶的,状态B的样品(第三种处理: \blacktriangledown —20—120°C, \bullet —120—210°C; 第四种处理: ∇ —20—120°C, \times —120—210°C)。

在加热过程中(与上述铀的内耗改变时的加热条件相同),钼、铝的内耗变化的研究表明,在这种条件下,内耗与温度的关系曲线实际上与加热速度无关。看不到与加热的过程相联系的,附加的内耗增加(图5)。具有严重的各向异性的热膨胀系数的铟,在加热过程中内耗的变化

三种温度间隔内,内耗增加值与加热速度的关系被表示在图4里。内耗的增加,照例与加热速度成正比。仅仅是在120—210及210—290°C的间隔内,对于被淬火的样品进行加热时,才看到有“饱和”的趋势。

大晶粒的、状态2的铀,其内耗的增长与状态3和4的铀的内耗增长大致相等,而为状态1的铀的内耗增长的 $\frac{1}{2}$ — $\frac{2}{3}$ 。当加热到300°C以上时,内耗增加的效应就减低,在350°C以上则实际上完全消失。

在加热过程中还观察到样品宏观的切应变,这种宏观切应变引起“零点的飘移”,环绕它而进行振动的那一点发生了位移。当以恒定速度加热时,“零点飘移”的速度实际上是不变的。在大晶粒的情况下(状况2)零点飘移最大。大晶粒样品的加热速度为10度/分钟时,样品的切应变速度最大,为 $(0.1-0.3) \cdot 10^{-5}$ /分钟。

也表示在图5里。铈的内耗变化,在所研究的温度范围内,和振幅有密切的关系。图5中引入最大振幅为 1.2×10^{-5} 时的内耗增长曲线。从图上可以看出,内耗剧烈上涨,比长期保温所得

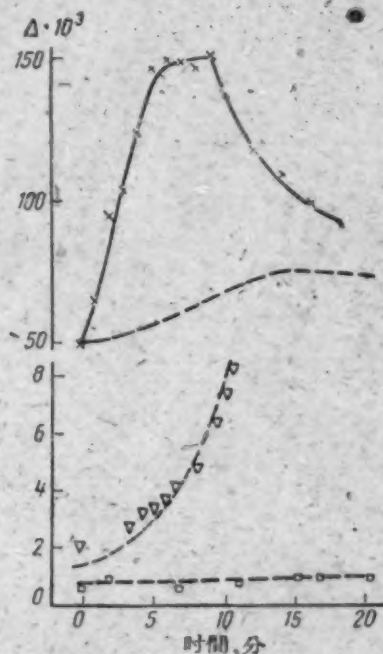


图5 下列金属在加热过程中的内耗变化

×——铈($v = 6.86$ 度/分钟, $f = 2.6$ 赫芝);
 ▽——铈($v = 6.7$ 度/分钟, $f = 1.4$ 赫芝);
 □——铈($v = 10.4$ 度/分钟, $f = 2.8$ 赫芝);
 虚线表示加热速度为零时,即经过长期保温时的内耗变化过程。

到的内耗增大了好几倍。停止加热就引起内耗降低,但是与铈不同的是,不是跳跃式地,而是慢慢地降低。

结果的讨论

铈、铈和热各向同性金属的实验结果的相互比较证明:温度变化过程中内耗增加的原因,是所谓应力内耗,这种应力是由于样品在温度变化过程中,晶粒的各向异性膨胀所引起的。

在实验过程中,多晶铈中晶粒的应力状态取决于初始应力(σ_0)、由于晶粒的各向异性膨胀而引起的内应力,以及由于扭摆振动所引起的周期变化的应力。在上述的应力作用下,晶体中某一晶粒的形变的图解就象图6所表示的那样。

$\epsilon_{\text{加热}}$ 在加热速度不变时,与时间成比例地增涨,因此某一时刻的应力 $\sigma = E(\epsilon_{\text{加热}} + \epsilon_{\text{振动}} + \epsilon_{\text{初始}})$,其中 E ——弹性模量,等于临界应力。从 t_1 起,相应的晶粒将开始发生范性形变,并且将消耗弹性振动能,内耗遂增加。范性形变将一直继续到 t_2 ,直到那时,形变的方向还没有因为扭摆振动而改变符号,并且也没有使应力降低到 $\sigma_{\text{临界}}$ 以下。

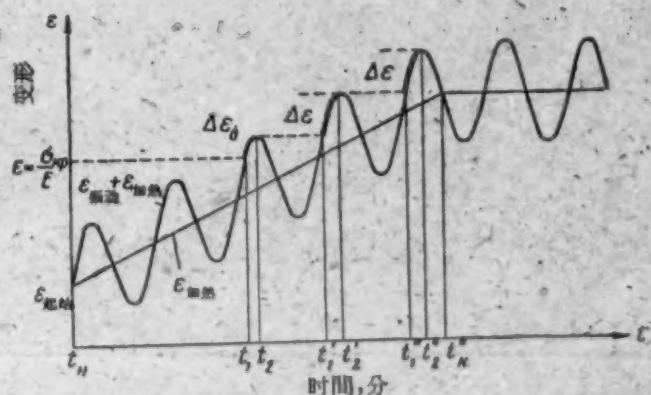


图6 α 铈晶粒,由于加热过程中晶粒的各向异性膨胀,以及惰性摆的振动而引起的形变的图解:

$\epsilon_{\text{初始}}$ ——初始应力引起的形变; $\epsilon_{\text{加热}}$ ——在加热中由于晶粒的各向异性膨胀而引起的形变; $\epsilon_{\text{振动}}$ ——由于扭摆振动而引起的周期形变。

在第一个周期里,塑性形变将等于 $\Delta\epsilon_0$,所以第二个周期里的塑性形变将从 t_1' 开始,那时全形变超过了从前曾达到过的程度,并且应力也变得和 $\sigma_{\text{临界}}$ 相等了。因此,晶粒将在 $t_1 - t_2, t_1' - t_2', t_1'' - t_2''$ 等时间间隔内经受塑性形变。

一个周期里的形变量 $\Delta\epsilon$,因之,内耗的增涨量正比于描述 $\epsilon_{\text{加热}}$ 与时间关系的直线斜率,而它又正比于加热的速度。如图4所表明的那样,这个结论基本上与实验相符合。

象从图6所看到的那样,停止加热应当同时引起内耗值的降低,这是因为,在时间 $t_{\text{停}}$ 停止加热,将使周期内的塑性形变量减低到零。这个结论同样也为实验所证实。

在开始加热以后,内耗值立刻就开始增加。这个现象意味着,多晶铀里晶粒的初始应力非常大,并且达到了 $\sigma_{\text{临界}} - E\epsilon_{\text{振动}}$ 值。在第一个加热阶段中,内耗以不变的速度逐渐增加,这个现象是和内应力的积累,以及那些晶粒内部的总应力超过 $\sigma_{\text{临界}}$ 的晶粒数量的增长相联系着的。内耗的极限量和这种状态相对应:那些取向利于形变的晶粒,大部分都发生了形变。

晶粒尺寸的增加(直到和样品直径差不多),会减低内应力,因为在这种情况下,有很大部份晶粒表面跑到样品的表面上来,并且在加热时,晶粒的形变来得更加自由。因此内耗就降低。

虽然再结晶的样品里晶粒很细,但是这些样品的内耗却也不大。这个现象可以用以往的形成所产生的择优取向的影响来解释。由于部份的晶粒有着合宜的取向,加热过程中内应力的积累就比较小,因此,内耗的增涨也较小。再结晶晶粒的多角化形式也能促使内耗的降低,这时,就象在淬火或退火的铀里一样,晶粒有着不正常的形状以及严重畸变的晶界。

个别晶粒的塑性形变将互相抵消,但是不会完全抵消。因此出现了宏观的切应变,这种切应变在实验中以“零点的飘移”的形式表现出来。晶粒愈大,未被抵消的形变的几率就愈大。实际上,一般地在大晶粒的材料中才看到显著的零点飘移。

在进行测量的温度范围中,看来,沿晶粒边界的弛豫并不大,因为,否则内耗的增涨应与晶粒尺寸和晶粒总面积有密切关系。对于被淬火和回火的铀所进行的实验表明,晶粒尺寸增加一个数量级(即晶粒边界的表面增加 ~ 100 倍)使内耗降低 $1/2$,并且这可以用晶粒中内应力的降低来加以解释。

晶粒边界的影响应当在更高的温度出现^[11]。可能,在 $300-350^\circ\text{C}$ 范围内的加热过程中内耗增涨现象的消失,正是和晶粒边界塑性的升高相联系着。

参 考 文 献

- [1] С. Т. Конобеевский, Н. Ф. Правдюк, В. И. Кутайцев: Материалы Международной конференции по мирному использованию атомной энергии (Женева, 1955), т. 7. М., Госхимиздат, 1958, стр. 526.
- [2] Чизуик, Келмен: Материалы Международной конференции по мирному использованию атомной энергии (Женева, 1955), т. 9. М., Госхимиздат, 1958, стр. 184.
- [3] Мак-Интош, Хил: Тр. Второй международной конференции по мирному использованию атомной энергии (Женева, 1958). Избр. докл. иностранных ученых. Т. 6—Ядерное горючее и реакторные материалы. М., Атомиздат, 1959, стр. 187.
- [4] A. Roberts, A. Cottrell: *Philos. Mag.*, **47**, 711 (1956).
- [5] A. Holden: *Physical Metallurgy of Uranium*. New York, Addison-Wesley Publ. Corp., 1958.
- [6] R. Maringer: *J. Appl. Phys.*, **24**, 1525 (1953).
- [7] G. Alerst: *Phys. Rev.*, **97**, 863 (1955).
- [8] Р. И. Гарбер, Т. Т. Могильникова: Докл. АН СССР, **118**, 479 (1958).
- [9] G. Brook, A. Sully: *Acta Metallurgica*, **3**, 460 (1955).
- [10] Ké Ting Sui: *Phys. Rev.*, **71**, 533 (1947).
- [11] С. Т. Конобеевский, А. С. Займовский, В. М. Левитский, Ю. Н. Сокурский и др: Тр. Второй международной конференции по мирному использованию атомной энергии (Женева, 1958). Докл. советских ученых. Т. 3—Ядерное горючее и реакторные металлы. М., Атомиздат, 1959, стр. 396.

苏联的放射性度量法¹⁾

阿哥林采夫 (К. К. Аглинцев)

保期卡列夫 (В. В. Бочкарев)

哥拉布列夫斯基 (В. Н. Граблевский)

卡拉瓦也夫 (Ф. М. Караваев)

在本文里,概述了放射源标准化和放射性辐射测量方法问题的近况。叙述了组织辐射测量系统的一般原则,此原则奠定在应用一个单位系统、一个标准方法和装置、一个相对测量(用标准源)方法的基础之上的。引用了检验放射源(被校准成放射性单位)的图,复制居里单位的标准方法以它为基础。简单地叙述了标准的和监督用的放射源的主要特性。

辐射测量的基本任务在于测量放射性样品的放射性。实践中应用同位素的任务除了要解决这个主要问题以外,还要求发展度量方法以获得样品的全部剂量测量特性,测定辐射谱的成分、强度、被测量样品的参数(线度、化学成分、重量)和关于包装样品的外壳的材料。

样品的放射性和同位素辐射谱决定了样品的全部辐射,对于实际应用上,它不同于重要的外部辐射,因为辐射在样品及其包装外壳内都有吸收与散射。根据这个原则,放射性的测量在本质上和辐射强度的测量不能分割开来,而且样品不能采用没有外部辐射的数据。

必要的度量衡设施的配套归结为统一测量单位、生产标准和制定标准方法,以后拟制一个将单位的作用从标准转换到工作样品与测量仪器上去的系统和方法。

在苏联正式采用以下几种单位:居里、毫克镭当量、仑琴、拉特。在苏联主要用 4π 计数管、量热计和电离室复制居里单位。 4π 计数管用来测量放射性强度为 10^{-7} — 10^{-11} 居里的 α 和 β 放射性样品,测量精确度为 1—3%^[1]。

以 e 俘获^[2]蜕变的样品放射性根据 4π 计数管读数之差决定,管内充以甲烷时,只记录电子和本底,为了记录标识辐射,在管内再加一些氘。测量 e 俘获放射性的范围是 10^{-10} — 10^{-6} 居里,而测量精确度是 6—8%。

为了测量强度范围大于 0.01—0.05 居里的样品的 α , β 和 γ 辐射,应用下述标准装置:微分 γ 量热计^[3],等温 β 与 γ 量热计和 α 量热计。用这一类型的量热计,可以测量放射性在 0.05—3 居里以内的样品,精确度是 3—5%。

等温 β 量热计是根据液体氮蒸发的原则^[4]。同一类型的 γ 量热计不同于 β 量热计,它有特殊的用铊和酒精制的吸收体,并有很大的杜瓦瓶。用这一类型量热器能测量放射性大于 0.01 居里的样品,精确度为 3—6%。

微分 α 量热计供测量 α 辐射样品的放射性用。它是由两个相同的银小杯组成,小杯放在铜制的恒温器内。量热计的灵敏度足够测量含量不小于 1 毫克镭元素的样品,测量精确度是 1—2%。

复制居里的电离方法奠定在测量电离的基础上,电离是被样品的 γ 辐射产生于电离室之

1) 这篇文章根据苏联代表团在放射性同位素度量衡国际会议上所作的报告材料写出的(1959年10月14—16日,维也纳)。

内。同时,必須知道电离室的效率,也就是說,与該放射性同位素的单位放射性。有关的电离电流。

为此目的而制造的 4π 立体角帘棚电离室由两个同心放置的鋁球組成,鋁球的外直径为230和260毫米,壁厚5毫米。被測量的样品放在內球的中心。計算效率要知道 γ 量子的能量和对于被測量的同位素的 γ 譜在一次蜕变中的 γ 量子数,以及 γ 射綫在空气中的电离功。現在,已知道这个数值,其誤差是5%,因此用該方法測量放射性的誤差等于7—8%。測量的范围是 10^{-4} —10居里。

放射源的外部 γ 輻射,現在常用鐳的 γ 当量來表征。这个数值与鐳的这样一个量相当(用厚为0.5毫米的鉑片包住),它的 γ 輻射,在空气当量电离室内所产生的电离和給定的放射源所产生的电离相同。

复制鐳的 γ 当量单位(1毫克鐳当量)用国家的标准鐳实现。在此以前,苏联的国家标准鐳是标准 № XI,可以和从前第一次日内瓦国际鐳标准(1911年)比較。和标准 № XI一起制造与測量的标准 № X 是标准——复制品。現在的工作根据1934年为赫宁戈失米道特(Хениг-шмидот)制造的由20个样品組成的新标准 № 5427 进行的。从标准的鐳 γ 当量单位轉換到鐳的标准源是在标准装置上用电离室来实现。測量結果的精确度对于 γ 当量为10毫克鐳当量放射源是0.5%,对于 γ 当量为1000毫克鐳当量的放射源是1.5%以下。 γ 当量为1—0.001毫克鐳当量的放射源,产生的电离和本底可以比較,要在有所謂补偿电离室^[6]的装置上測量。測量結果的精确度,对于 γ 当量为1毫克鐳当量的放射源是1%,对于 γ 当量为0.001毫克鐳当量的放射源在5—8%以下。

复制 γ 輻射(量子能量等于0.3—3兆电子伏)的仑琴单位在标准装置^[1,7,8]上进行,它是具有饱和压力(20大气压以下)的电离室。考虑到上述校正后,測量精确度是 $\pm 3\%$ 。

为了将标准或标准装置的单位大小轉換到使用的仪器或者工作的放射源,其所經過的手續列于上述图表內。复制居里单位的标准方法是奠定在这个供測量強度用的图的基础之上。

在苏联大批生产和应用了两种放射源:供校准放射性样品和作輻射測量与剂量測量仪表刻度用的标准源,只用于监督工作和仿制不同仪表用的标准源。应用这一种监督放射源向生活提出了在国内^[9]要有大量不同的剂量和輻射測量的仪表,并有必要在当地监督它的工作和获得其示度的比較資料。

根据特殊技术条件制备的和用一个标准装置仔細測量过的样品要当作一級的标准源来鑑定。和一級标准源比較的样品称为二級标准源,并作为剂量和輻射測量仪表的刻度調整用,以及用以检查监督放射源或其他工作的放射源^[10]。

在检查图內(參看插图),四个水平方向用虛綫划的区域順次为标准 and 标准装置、一級和二級标准源、工作样品。矩形表示測量仪表、正方形表示測量方法。这样以来,检查图表示在實踐中任何被应用的样品之間,或者測量仪表和国家标准之間的关系。

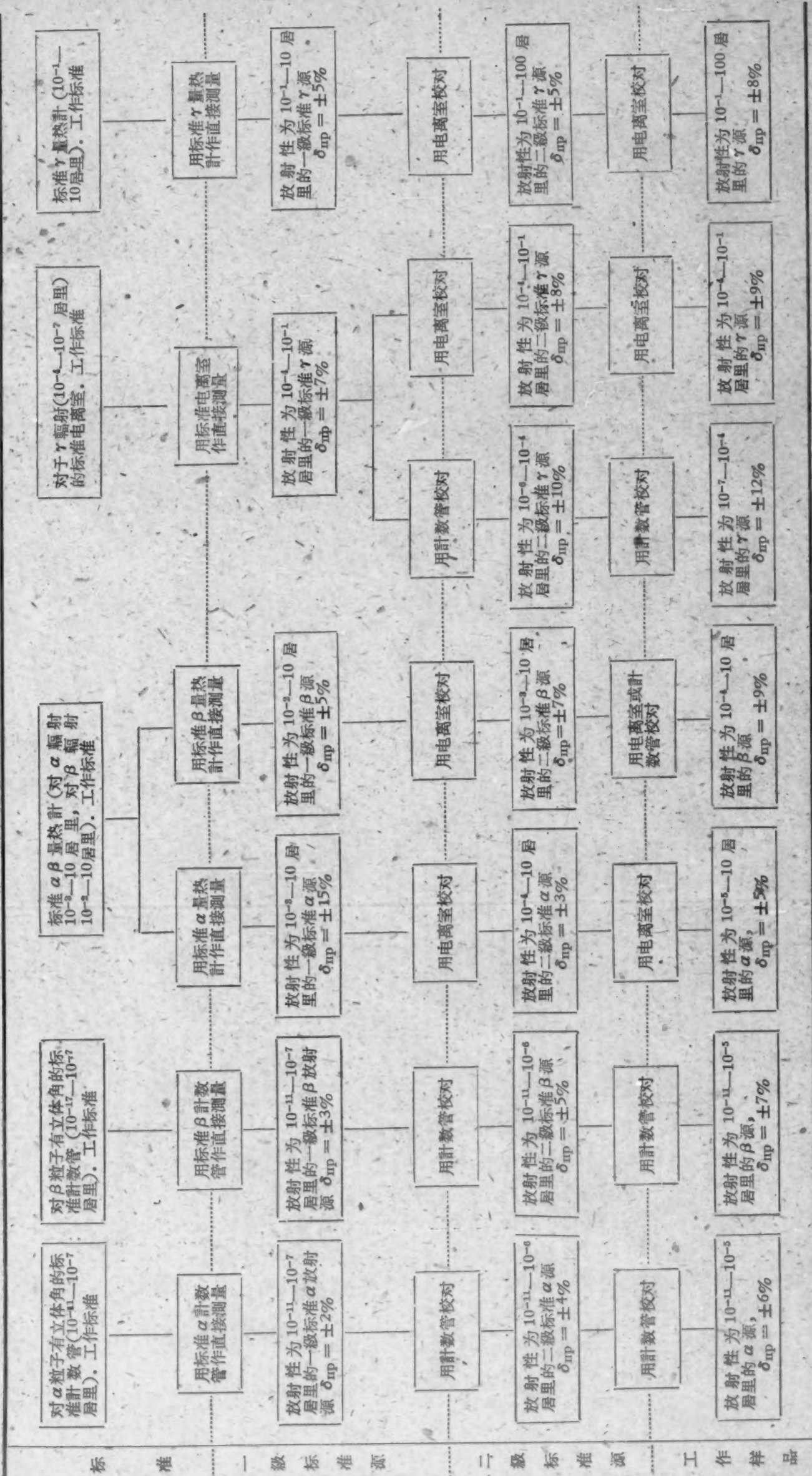
在检查图內,为了測量样品的 γ 当量(毫克鐳当量)預先用电离室校对了計数管。允許应用“滑动的”,即蜕变的氡的样品。对于測量仑琴单位的检查图,是用空气电离室以复制仑琴的标准方法为依据的。单位大小的轉換用标准源或者标准 γ 源进行。

当用 γ 源作剂量仪的刻度用时,正确表示距离和調整射綫束的系統是很重要的,因为这两个因素实际上是影响到源的輻射場^[11]。

复制中子流的单位用标准方法实现,用这个方法測量一級标准中子源。这些中子源是些样品,在該样品內被不同放射源(鐳、鉍、釷)的 α 粒子或 γ 量子所照射。

在国外类似的測量用:

用测定蜕变数的方法复制强度单位的标准方法



(1) $4\pi\beta$ -計数管,它在正比和盖革区域内工作(美国、英国、加拿大、法国、西德、瑞典、日本、葡萄牙等),制造标准的技术和对测量的結果引入必要的校正的方法給予很大的注意;

(2) $\beta\gamma$ -符合 4π -計数管(美国、英国、加拿大等);

(3) 用以測量 α 和 β 源的量热計(美国);

(4) 液体閃爍計数器,其中有測量 H^3 和 C^{14} 的 4π 計数管(英国和美国等);

(5) 充有放射性气体的計数管(英国、美国、加拿大和西德等)。

我們注意到,在外国不太用 γ 量热計測量 γ 源的放射性,但是在苏联这个方法运用得很有成效。还必须指出,在苏联,活性与剂量之間的关系比外国度量衡机关連系得更紧密,当登記放射性样品时和对剂量仪表进行刻度时这就有明显的优点。

如样已指出的,标准源是检查图的重要部分。对不同的放射源作如下簡要的叙述:

标准 α 放射源 用以測定校正 α 样品用的 α 装置的計数系数。根据这个系数,可以决定被校正 α 样品的绝对 α 放射性。为了制备标准 α 源应用 U^{233} , 天然鈾和 Pu^{239} 。

放射性物质用电离法以直径为 10 毫米的斑点的形状粘附在直径为 15 毫米的鈾片上。

表1 标准 α 放射源

源的强度, 蜕变/分	U^{233}	U^{235}	天 然 鈾	Pu^{239}
30	+	+	+	+
100	+	+	+	+
300	+	+	+	+
1000	+	+	+	+
3000	+	+	+	+
10000	+	-	-	+
30000	+	-	-	+
100000	+	-	-	+
300000	-	-	-	+
1000000	-	-	-	+
3000000	-	-	-	+
10000000	-	-	-	+

表1指出大量制造的标准 α 源的主要类型。由表可見,不是所有的 α 源都生产成带全部刻度范围的(方格未标有符号+)。

电解法制备的 α 放射源,保証可以得到牢固的、均匀的、和样品盘很好粘合的一薄层。标准 α 源的强度和額定值之差不大于 10%,这一点在說明书內加以註明。

用有电子捕集器的脉冲电离室比較第一和第二种标准源。强度在 30000 蜕变/分以下的放射源,可在立体角为 4π 或 2π 的电离室內測量。測量强度为 30000 和高一点的放射源要用小立体角的电离室(α 发射器法)。当用几何条件为 4π 或 2π 測量时,其精确度是 0.5—1%。

每一个标准 α 源都有一个說明书,其中註明强度(用蜕变/分表示),同位素成分,放射性杂质的量,半衰期的数据,被采用的蜕变图,放射性物质的表面密度和重量,放射性斑点的大小、材料、厚度、重量、衬托物的直径,測量方法及日期。

监督用的 α 放射源 监督用的 α 源的强度通常用每分鐘的 α 蜕变数表示,有时用在 2π 或 4π 立体角內的 α 粒子数表示,这时要考虑粒子从样品盘上的反射和在放射物质中的吸收。

在苏联所有监督用的 α 源(根据特殊要求而制备的源例外)都是用鈾制造的。按照自己的特性, Pu^{239} 要完全符合制造标准的和监督放射源的放射性同位素的要求。

将鈾粘附在样品盘上大多用电解法进行,由于鈾有高的比强度(0.06 居里/克),这个方法

能给出很薄的(小于0.7毫克/厘米²),而且在衬托物上牢固地粘附了一层二氧化铀。

对于所有制作监督用的 α 源要确定其一定的使用期限,它决定于源的强度和使用条件。

现在,大量生产强度为10, 20, 40, 60, 80, 100, 200, 400, 600, 800等在 10^3 蜕变/分以下的放射源,为了监督不同类型的剂量仪表的工作,它们的用途极为广泛。

共制造了20套 α 放射源。包括一套放射源中有不同的放射性表面(1—200厘米²),它们有不同大小的衬托物(12种)。

标准 α 放射源 是用许多不同的同位素制成的,这是由于计数装置的效率和被研究的辐射的能量有密切的关系,所以要有一个宽的能量范围。为此目的,我们选取具有比较此半衰期的,以及通常有简单能谱的同位素: H^3 , C^{14} , S^{35} , Ca^{45} , Co^{60} , Tl^{204} , $Ra(D+E)$, P^{32} , $Sr^{90} + Y^{90}$, $UX_1 + UX_2$ 。

必须指出,为此目的,最近也采用钷,这种源有不同的放射性,其范围是 10^4 — 10^6 蜕变/分。

同时,第一种源是用极轻的一层放射性物质粘附在一个薄的薄片上,用 4π 计数管测量。制作第二种标准 β 源是将薄而均匀的放射性样品层填充在衬托物(通常用铝作)上,放射性斑的直径有10毫米,而且这种标准源在机械上是牢固,化学上稳定,无吸湿性和能够防止与外界介质发生同位素的交换。

如同与 α 源一样,在 β 源的说明书内,应指出被采用的蜕变图,半衰期,大小,成分,样品层的厚度,关于放射性杂质的资料和采用的测量方法。对于长寿命的放射源(大于5年),说明书的使用期限是一年,而对于短寿命的是一个半衰期(但不超过一年)。同时,在标准源的使用期限内,放射性杂质不超过放射性强度的0.5%。对于指定的放射源,说明书上的数值的精确度在2—7%的范围之内,它决定于 β 源的能量和放射性强度的额定值。

监督 β 源 基本上用 Sr^{90} (与 Y^{90} 处于平衡状态)制成,一部分用 Tl^{204} 和 Pm^{147} 制造。监督源的放射性强度用每分钟内 β 蜕变数表示。制造源的方法,可使 Sr^{90} 层直接固定在衬托物上,或酚甲醛树脂,也可以将氧化膜填充在铝上。钷和钷可用电化学方法将它们粘附在衬托物上。为了防止放射性层受机械作用,有些标准源用铝箔粘附。

监督 β 源的放射性强度范围很大,它和1平方厘米上表面比放射性为0.2到 2×10^3 蜕变/分相对应。 β 源强度的测量方法和监督用的 α 源相同。

在13种不同的衬托物上制造了25套不同的监督 β 源。这些源的放射性表面有0.1—300厘米²。

用在几个地方测量局部放射性表面的方法来检查不均匀性,该表面的大小为1厘米²;测量的地点取决于源的几何大小,可从3到12个。用类似调整光阑的办法来选取局部放射性表面。

标准 γ 源 是用镅, Co^{60} 和 Cs^{137} 造成。一套标准源是由样品组成,样品的镅 γ 当量值(克镅当量)是:5; 2; 1; 0.500; 0.200; 0.100; 0.025; 0.010; 0.005; 0.001; 10^{-4} ; 10^{-5} ; 10^{-6} ; 10^{-7} ; 10^{-8} ; 10^{-9} ; 10^{-10} ; 10^{-11} 。 γ 镅当量数与其额定值之差不大于 $\pm 20\%$,这一点在说明书已注明。

Co^{60} 标准 γ 源可制成线度为1—2毫米的小球形或圆柱形。每一个源都装在一个壁厚为0.2毫米的密封的铝瓶内。

Cs^{137} 标准 γ 源(1毫克镅当量或更小一些),装在壁厚为1.2毫米的球形不锈钢细颈瓶内。而放射源是涂在直径为0.25—1毫米的小球上。强度大于1毫克镅当量的 γ 源作成不锈钢制的圆柱形细颈瓶状,瓶的直径在10毫米以下,长在15毫米以下。

用镅的含量为 10^{-7} — 10^{-11} 克的镅盐制成的标准源是氯化镅的水溶液,它含有一定的氯

化鉍,該溶液放在圓柱形的玻璃細頸瓶內。

鐳的含量為 5×10^{-11} , $n \times 10^{-10}$, $n \times 10^{-9}$, $n \times 10^{-8}$ 和 $n \times 10^{-7}$ (n 是從 1 到 9 任意一個給定的數) 的標準鐳源放在長為 5—12 厘米, 直徑為 0.6—1.5 厘米的細頸瓶內。

做好的樣品內鐳的含量, 由製造者根據原始溶液的稱量和濃度用計算方法決定的。原始溶液的測量精確度在 0.7% 以下。在源的說明書內有以下資料: 鐳的含量(以克計), 製造日期, 鉍的含量, 關於細頸瓶的資料(直徑, 長度, 壁的厚度)。

用鐳含量為 $0.2-10^{-6}$ 克的鐳製造的標準源。是放在玻璃細頸瓶內的鐳的溴鹽。細頸瓶放在用合金製造的盒子內, 合金的成分是 90% 的鉑和 10% 的鈦, 壁厚 0.5 毫米。鐳源的簡單特性列入表 2 中。細頸瓶用 LI-32 牌無硼玻璃造成。

表 2 鐳 γ 輻射體的特性

鐳 的 含 量, 克	鐳含量的容許偏差, %	玻璃細頸瓶外表面的大小, 毫米	
0.2	± 5	6.9—7.8	40 ± 2
0.1	± 5	6.9—7.8	40 ± 2
0.025	± 10	6.9—7.8	40 ± 2
0.010	± 10	6.9—7.8	40 ± 2
0.005	± 10	6.9—7.8	40 ± 2
0.001	± 10	6.9—7.8	40 ± 2
10^{-4}	± 20	6.9—7.8	40 ± 2
10^{-5}	± 20	6.9—7.8	40 ± 2
10^{-6}	± 20	6.9—7.8	40 ± 2

在標準 γ 源的說明書內註明了鐳的無水溴鹽、鐳在源內的含量(以克計)、測量的精確度和測量日期。

監督 γ 源 用和標準源相同的同位素製成, 強度的範圍很寬。除了上述形狀以外, Co^{60} 監督源也作成圓柱形, 大小為 1×1 , 2×2 和 5×5 毫米(鋁外殼)和一段金屬絲狀, 直徑為 0.7—0.9 毫米。 Cs^{137} 放射源的類型和標準源相同。此外, 出產了大量的各種式樣的監督 γ 源, 它的大小適用於特殊化的儀器。

標準中子源 採用一套 $\text{Ra}-\alpha-\text{Be}$ 源作為中子源, 它們含有 1000, 300, 100, 30, 10 和 1 毫克鐳。另外, 還用一套 $\text{Pu}-\alpha-\text{Be}$ 源, 含有 15, 1, 0.5, 0.1, 和 0.01 克鈾。

第一種源是溴化鐳和粉末狀的鈹擠壓製成的混合物, 放在雙重密封的圓柱形容器內, 在混合物中鐳和鈹的重量之比是 1:6。第二種源是鈾和鈹有間隙的金屬結合(PuBe_{13})。

在 4π 立體角內, 在 1 毫克鐳中中子的產額不小於 1×10^4 中子/秒。鐳中沒有新鈾, 鉍的含量不大於 5%。

在國外, 系統地出產標準源。在英國, 生產 60 種不同同位素的源, 其中大量的標準源作為國際交換比較。在美國, 出產大量的標準源的品種, 它們具有很寬的放射性強度範圍, 其中有 P^{32} , K^{42} , Co^{60} , J^{131} , Ta^{182} , Au^{198} , $\text{Sr}^{90} + \text{Y}^{90}$, Tl^{204} , Na^{22} , H^3 , C^{14} , Cs^{137} , S^{35} , Kr^{85} , Hg^{203} , Ra^{226} 樣品等。現在, 在西德出產幾種長壽命同位素的標準源, 但是在 1960 年, 也出產短壽命的同位素的標準源。

大規模生產不同同位素製成的標準源以進行國際比較有着極其重要的意義。許多國家參加這種工作。

参 考 文 献

- [1] К. К. Аглинцев и др.: *Атомная энергия*, № 2, 55 (1956).
- [2] А. А. Константинов: *Приборы и техника эксперимента*, № 1, 67 (1959).
- [3] К. К. Аглинцев, Е. А. Хольнова: *Тр. ВНИИМ*, вып. 30 (90), 25 (1957); *Докл. АН СССР*, 98, 357 (1954).
- [4] Е. А. Хольнова: *Тр. ВНИИМ*, вып. 30 (90), 18 (1957); *Докл. АН СССР*, 98, 357 (1954).
- [5] Ф. М. Караваев: *Измерительная техника*, № 5, 60 (1959).
- [6] Ф. М. Караваев: *Тр. ВНИИМ*, вып. 30 (90), 53 (1957).
- [7] К. К. Аглинцев, Г. П. Остроумова, М. Ф. Юдин: Там же, стр. 109.
- [8] К. К. Аглинцев, Г. П. Остроумова: *Атомная энергия*, 6, вып. 1, 63 (1959).
- [9] *Справочник по дозиметрическим, радиометрическим, электроннофизическим приборам, счётчикам, сцинтилляторам и фотоумножителям*. М., Атомиздат, 1959.
- [10] К. К. Аглинцев, М. А. Бак, В. В. Бочкарев и др.: *Тр. Второй международной конференции по мирному использованию атомной энергии (Женева, 1958)*. Докл. советских ученых. Т. 6—Получение и применение изотопов., М., Атомиздат, 1959, стр. 227.
- [11] З. П. Балони др.: *Измерительная техника*, № 12, 47 (1959).

簡 報

能量为14.7兆电子伏的中子所引起的 $\text{Th}^{232}(n,2n)\text{Th}^{231}$ 的反应截面¹⁾

茲 辛 (Ю. А. Зысин)
尔·博夫 (А. А. Лбов)

科夫里日内赫 (А. А. Коврижных)
謝林親可夫 (Л. И. Сельченков)

为测量能量为14.7兆电子伏中子所引起的 $\text{Th}^{232}(n,2n)\text{Th}^{231}$ 的反应截面值,曾利用基于测量 Th^{231} 及分裂裂片 Mo^{99} 及 Ba^{140} 的放射性的方法²⁾。这种方法不必要测量绝对中子流,但需已知分裂截面 σ_f (指 Th^{232} 为14兆电子伏中子所分裂的截面——譯者)及相应裂片的产额 $\gamma_{\text{Mo}}, \gamma_{\text{Ba}}$ 。

能量为14.7兆电子伏的中子是由低压直线加速器加速氘核 ($E_d \approx 150$ 千电子伏) 通过 $\text{D}(\text{T},n)\text{He}^4$ 反应获得的。仔细被搅拌的硝酸钍 $\text{Th}(\text{NO}_3)_4 \cdot 4\text{H}_2\text{O}$ (约0.2克) 与氧化铀 U_3O_8 (约0.6克)(预先由 $\text{UX}_1 + \text{UX}_2$ 清除的)的混合物应加以照射。曾进行过六次照射(照射时间3—11小时),且每次辐射中子总数约为 $(2-6) \times 10^{14}$ 。

在照射时,盛在圆柱形密封盒子内的上述混合物放在中子流中,其方向与入射的氘束方向一致,距氘靶中心距离约为7毫米。

盒内盛入大量的 U_3O_8 是与事实相关的,即在能量为14兆电子伏中子分裂 U^{238} 的情况下,分裂截面值和裂片的 Mo^{99} 和 Ba^{140} 的产额值已准确得出 ($\sigma_f^{\text{U}} = 1.1$ 靶; $\gamma_{\text{Mo}}^{\text{U}} = 0.063$; $\gamma_{\text{Ba}}^{\text{U}} = 0.047$)。 Th^{232} 分裂时形成的 Mo^{99} 或 Ba^{140} 的量,当选择适当的 Th^{232} 与 U^{238} 值时(盛于盒中的)不超过5% ($\sigma_f^{\text{Th}} = 0.35$ 靶)。

照射之后,将盛在盒中的混合物溶入盐酸,并加入硝酸。从所获得的溶液中用化学方法分离出所需要的同位素。用 4π 计数管测量 β 放射性(没有必要对内转换电子引入修正)。

测量了上述样品的衰变曲线及其在铝中的吸收曲线,从而得出分离样品的纯度。在计算时对照射时间内 Tc^{99m} 和 La^{140} 的衰变进行了修正,还考虑到 Th^{232} 自然衰变产物增加的放射性。

按下列公式进行计算

$$\sigma_{n,2n}^{\text{Th}} = \frac{N_{\text{Th}} T_{1/2\text{Th}}}{N_{\text{Mo}} T_{1/2\text{Mo}}} \left(\sigma_f^{\text{U}} \gamma_{\text{Mo}}^{\text{U}} \frac{232P_{\text{U}}}{238P_{\text{Th}}} + \sigma_f^{\text{Th}} \gamma_{\text{Mo}}^{\text{Th}} \right).$$

式中 $N_{\text{Th}}, N_{\text{Mo}}$ 为 $\text{Th}^{231}, \text{Mo}^{99}(\text{Ba}^{140})$ 在照射结束时单位时间内的衰变数与盛在盒子内 $\text{Th}^{232}, \text{U}^{238}$ 总量之比; $T_{1/2\text{Th}}, T_{1/2\text{Mo}}$ 为 $\text{Th}^{231}, \text{Mo}^{99}(\text{Ba}^{140})$ 的半衰期; $\sigma_f^{\text{U}}, \sigma_f^{\text{Th}}$ 为14兆电子伏中子所引起的 $\text{U}^{238}, \text{Th}^{232}$ 的分裂截面; $\gamma_{\text{Mo}}^{\text{U}}, \gamma_{\text{Mo}}^{\text{Th}}$ 为能量为14兆电子伏中子分裂 $\text{U}^{238}, \text{Th}^{232}$ 的裂变产额; $P_{\text{Th}}, P_{\text{U}}$ 是盒内 Th^{231} 及 U^{238} 的重量。

1) 工作是在1956—1957年完成的。

2) 该方法在下述文献中有所叙述: Г. П. Антропов, Ю. А. Зысин, А. А. Коврижных, А. А. Лбов. *Атомная энергия* 5, вып. 4, 456 (1958)。

結果得到能量为 14.7 兆电子伏中子所引起的 $\text{Th}^{232}(n, 2n)\text{Th}^{231}$ 的反应截面值为

$$\sigma_{n,2n}^{\text{Th}} = (0.65 \pm 0.15) \text{ 靶}$$

既要考虑到个别实验值的误差,又要考虑到分裂截面值及裂片产额值的系统误差。

进一步测定 Th^{232} 为 14.3 兆电子伏中子所分裂时 Mo^{99} , Ce^{141} ($\gamma_{\text{Mo}}^{\text{Th}} = 0.020$; $\gamma_{\text{Ce}}^{\text{Th}} = 0.059$) 及其他裂片的产额,这点是可能实现的,只需要照射純硝酸鈾 $\text{Th}(\text{NO}_3)_4 \cdot 4\text{H}_2\text{O}$ 不附加 U_3O_8 。用这种方法所测得的实验结果与早期所得结果一致。

最后,作者感谢夫拉索夫(В. А. Власов)、科瓦尔道烏(А. С. Ковалдову)、拉尔采夫(В. М. Ларцев)、涅吉娜(В. Р. Негина)、阿薩耶夫(Н. Д. Осяев)在完成此項工作中所給予的帮助。

U^{238} 在能量为 14 兆电子伏中子的作用下 所产生的 γ 輻射

維列金尼科夫(А. И. Веретенников) 阿維爾琴科夫(В. Я. Аверченков)
薩 文(М. В. Савин) 斯別哈夫(Ю. А. Спехов)

曾测量能量为 14 兆电子伏的电子与 U^{238} 相互作用时所产生的 γ 射线谱与 γ 量子数。利用测飞行时间法来区分 γ 量子与中子的效应。

实验几何图与仪器方块示意图如图 1 所示。利用 $d(T, n)\text{He}^4$ 反应的中子(当 $E_d \simeq 125$ 千电子伏)。由靶子上产生的 α 粒子流用隔板 D 分出立体角 $\omega_a = 4 \times 10^{-3}$, 这相当于能量为 14 兆电子伏的中子束。样品是圆盘形的天然鈾,放在对束线轴成 45° 角处(有所超过),采用直

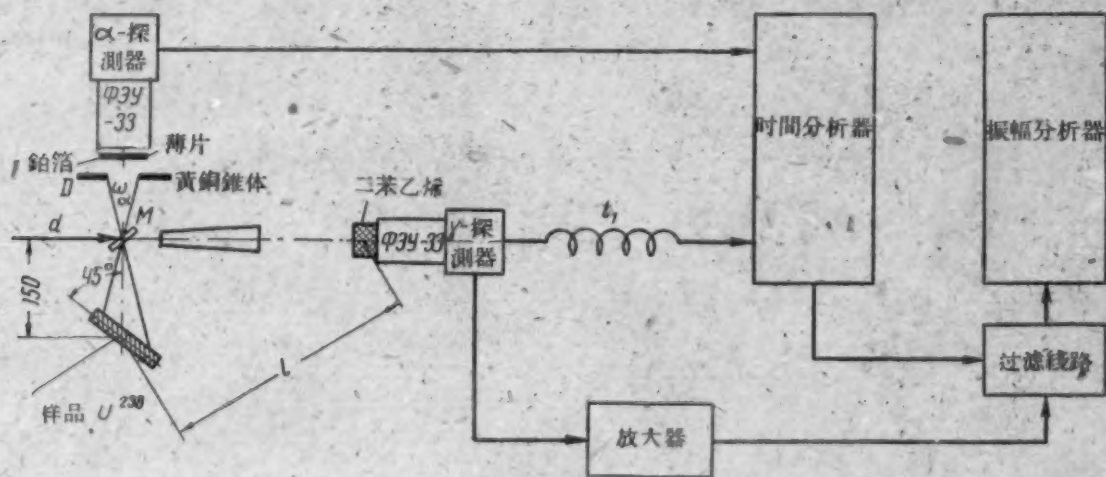


图 1 实验几何图与仪器的方块示意图

径为 56 毫米,高 28 毫米的均二苯乙烯晶体与光电倍增管 ФЭУ-33 作为样品上发出的 γ 射线探测器。为了减少能量为 14 兆电子伏中子由于弹性散射而产生的本底,这个探测器是放在对束线成 90° 角处。用黄铜锥体防护从靶面直接出来的中子流。 α 粒子是用閃錄薄膜测量的^[1],此薄膜用厚約 2 微米的鋁箔,防止氦的散射与氦的 β 粒子的散射。

从 α 和 γ 探测器出来的脉冲輸入到時間分析器上^[2]。对直径 100 毫米,高 11 毫米的 U^{238} 样品,由 α 和 γ 探测器給出的脉冲之間的时间积分分布如曲线 1 所示(图 2)。飞行距离选择

为65厘米。在相同条件下,用引入附加延迟符合 $\Delta t_1 = 75$ 毫微秒的方法¹⁾所测得的偶然符合本底如曲线2所示。放置 γ 探测器于射线束中所测得的 α - n 符合曲线的(曲线3)半宽度表征分析器的分辨时间($2\tau = 4$ 毫微秒)。

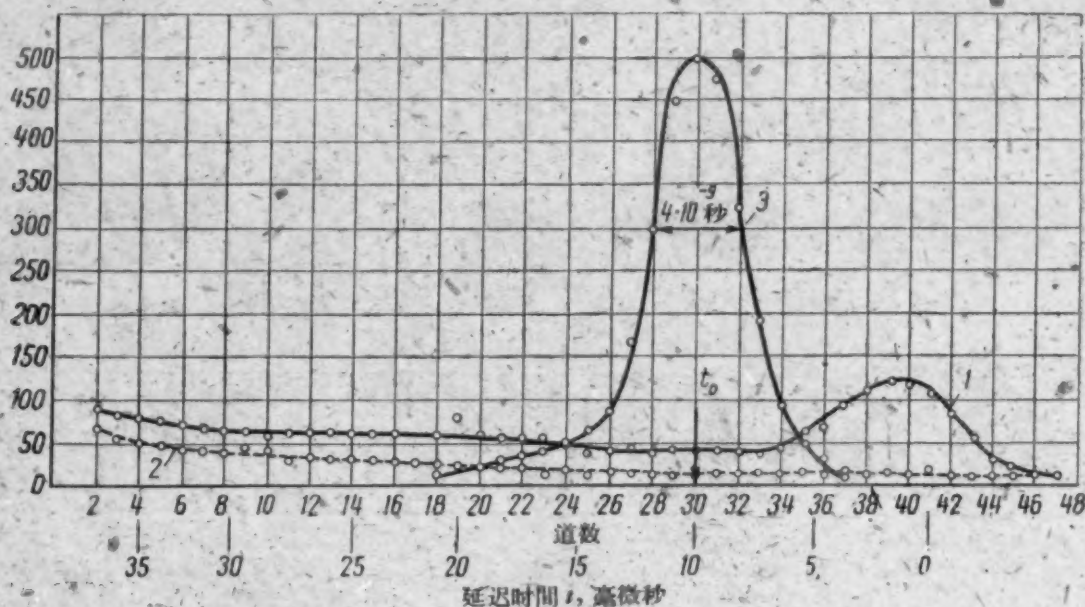


图2 从样品 U^{238} 中所产生的 γ 射线与次级中子的时间分布

从 γ 探测器的光电倍增管的第12个二极管给出的脉冲,经过放大器及被时间分析器所控制的线性过滤线路,输入到50道振幅分析器上。过滤线路仅仅是用于当能量为14兆电子伏中子与铀相互作用后所产生的0—10毫微秒时间间隔内的脉冲(在所选择的几何条件下,能量为14兆电子伏的中子从样品到探测器经过时间约为13毫微秒)。

在线路被控制时间内,观察到从 γ 探测器出来的小振幅脉冲的错误计数,这主要是由于时间分析器输入线路上的小振幅脉冲形成得低劣所造成^[2]。对此错误计数进行修正,并比较 γ 探测器直接得到的14兆电子伏中子所给出的脉冲振幅分布与相同中子在线路控制时 α - n 符合中所得的振幅分布。

振幅分析器道的能量刻度是根据 Cs^{137} , Co^{60} 及 $RaTh$ 的 γ 量子作出的。为了计数振幅分析器输入端的大能量 γ 量子,曾对此脉冲振幅加以限制,因此,在振幅分析器后面道中,出现上限峰。

在作仪器谱时,计算偶然符合本底,且对小振幅范围内线路的错误计数加以修正。谱线被分为相等能量间隔($\Delta E = 60$ 千电子伏)。对每个间隔的 γ 量子,振幅分布成矩形^[3](这种近似的可能性可以通过测量 Cs^{137} 与 Co^{60} 的振幅分布加以证明)。间隔内 γ 量子的数目决定于晶体效率(应等于蒺的效率^[4])及在样品中的自吸收(在此情况下,谱线的减弱没加考虑)。

曾对直径100毫米厚3, 8及11毫米的三种圆形铀样品做过实验。得到令人满意的彼此一致的测量结果。在0.4—2.8兆电子伏范围内的 γ 辐射谱(对三个样品取平均)绘在图中。 γ 射线的平均能量(考虑到上限峰上的 γ 量子)等于0.98兆电子伏(在作仪器谱时,上限峰由面积等于峰的面积的三角形分布所代替,而且在此方法中大约相当于总 γ 量子数的10%的计数)。在测量 γ 谱时,能量分辨率对 $E_\gamma = 662$ 千电子伏约为30%,对 $E_\gamma = 2.62$ 兆电子伏约为15%。

一次相互作用的 γ 量子平均数

1) 还采用另一种测偶然符合本底法,即将样品放在束线之外,距 γ 探测器与靶子有相同距离处(如测效率时一样。其结果与引入 $\Delta t_1 = 75$ 毫微秒的延迟符合一样。

$$\bar{\eta} = \frac{N_{\gamma}}{AN_n[1 - \exp(-\sigma n_0 h)]}$$

式中 N_{γ} 为总辐射中的 γ 量子数; A 为实验几何常数; N_n 为到达样品的总中子流量 (决定于 α 粒子数); n_0 为 1 厘米³ 的原子核数; h 为样品的有效厚度; σ 为中子与 U^{238} 所给出的 γ 量

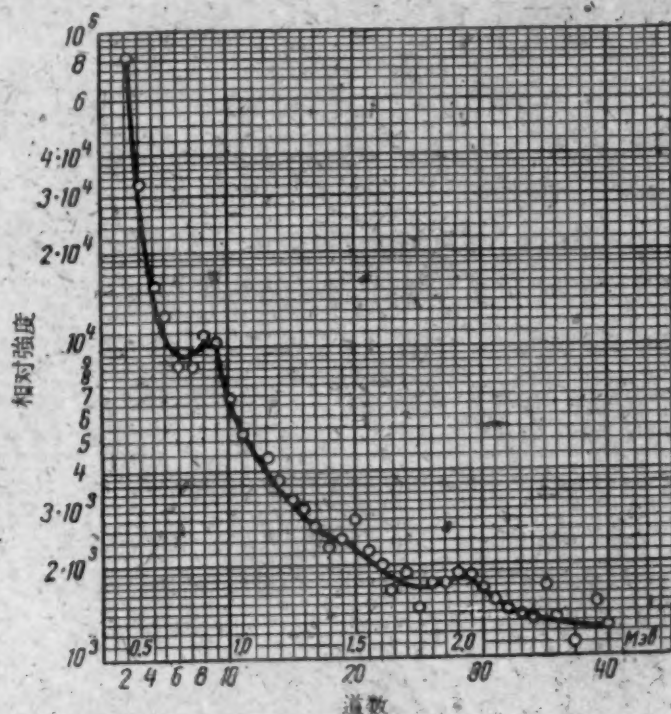


图3 U^{238} 在能量为 14 兆电子伏中子的作用下所产生的 γ 辐射谱

子的非弹性相互作用的总截面。对 $\sigma = 2.85$ 靶来说, $\bar{\eta}$ 值等于 6 ± 1.2 。曾考虑到次级中子与样品相互作用所引起的 γ 量子的修正, 并且以矩形分布代替单能 γ 量子的实际脉冲振幅分布。 $\bar{\eta}$ 的误差由 γ 谱的能量刻度的误差, 实验几何条件的误差以及估计上限峰中 γ 量子数的误差所决定。

作者深深感谢兹亚特尼娜(Ю. С. Замятина)参加此项工作的讨论和科卡乌拉娜(В. Г. Кокоулина)制备大晶体均二苯乙烯晶体对此项工作的帮助。

参 考 文 献

- [1] В. М. Горбачев, М. И. Казаринова: Приборы и техника эксперимента, № 4, 20 (1957).
- [2] А. И. Веретенников, В. Я. Аверченков: Приборы и техника эксперимента, № 3, 48 (1958).
- [3] I. Sharpe: Nuclear Radiation Detectors. London, Methuen Co. LTD, 1955, p. 18.
- [4] Дж. Биркс: Сцинтилляционные счетчики. М., Изд-во иностр. лит., 1955, стр. 89.

在氮的温度下氮的閃爍現象的研究

格夫里洛夫斯基 (Б. В. Гавриловский)

由于在文献[1]中已提出为测量快中子极化用的高压氮的閃爍体,因而我們还研究了当压力直到 80 大气压的情况下氮气以及氮气与各种气体的混合物的閃爍光产额。为建造一个有效的极化計就要求閃爍体中气体的压力增加到远远大于 100 个大气压的数量,这样在技术上存在着一系列的困难。此外,对于文献[1]中所研究的最有效的一种混合气体(氮和氮)来讲,閃爍振幅主要与气体純度有关,并随压力增大而一直减小到这样的数值,以至于精确记录能量小于 5 兆电子伏的中子都成为困难^[1]。把閃爍体冷却到低温就可以使閃爍气体的密度大大地增加。在文献[2]中描述了在几十个大气压力下把盛氮的容器冷却到液态氮的温度。

本文研究了冷却到液态氮温度的氮閃爍体。在压力不超过氮的临界压力(2.2 大气压)时,这种閃爍体的密度可以在很大范围内改变(直到閃爍气体液化)。此外,在这种温度下所有的混合物(包括气体形式的激活剂)都被冻住了,而得到了純度极高的氮。对于密度可在很大范围内改变的、純度十分高的氮气發光現象机制的研究本身就是十分有兴趣的。

我們利用图 1 所示的装置对閃爍現象进行了研究。低温恆温器的基本元件是由玻璃制成的,由此就可以直接看到光明极、容器、光的反射体和 α 源的相对布置,也可以看到在容器中氮的液化过程。低温恆温器的真空室由鋼的圓柱形室 1、玻璃圓柱体 3 和氮的杜瓦瓶 7 所組成,杜瓦瓶放在圓錐形薄片上面的圓柱体内。低温恆温器的結構是可以拆开的,这样就保証可以迅速更換装有閃爍体容器的氮的杜瓦瓶,也就可以很方便地使用各种形状的容器。为了預先把工业氮純化,特应用由三个內径为 25 毫米、盛放着活性炭的、U 形銅管所組成的配件,并把它放入氮的杜瓦瓶內。在容器中产生的 α 粒子的閃爍現象由光电倍增管 ФЭУ-14 记录下来,由此产生的脉冲輸入到记录装置和用作测量振幅用的示波器上。光阴极置于盛氮的套桶內,因此就逐漸冷却到氮的温度(ФЭУ-14 的光阴极在冷到 -190°C 时还保持灵敏^[3])。在测量过程中,利用处于张弛振动状态的氖灯 MTX-90 所发出的閃光来检定 ФЭУ-14 的放大系数。来自此灯的脉冲振幅可按照 α 粒子在晶体 CsI 中激发閃爍时所产生的脉冲振幅进行校正。

在室温、液态氮的温度和液态氮的温度下,研究了氮中产生的閃爍現象。在前二种情况下的脉冲振幅具有下列数值: 1) 对于室温下的工业氮說来,数量級和 ФЭУ-14 噪音的振幅相同; 2) 对于工业氮与氮的混合物 ($0.1\% \text{N}_2$) 說来,則比 ФЭУ-14 噪音水平大 5—10 倍,此相应于 CsI 产额的 2%; 3) 对于室温下的純氮說来,則为 1.5%; 4) 对于純氮与氮的混合物 ($0.1\% \text{N}_2$) 說来,則为 3%; 5) 对于氮温度下的純氮与氮的混合物說来,也为 3%。在室温时所得到的結果不經常重复;当 -190°C 时重复性十分好。对于純氮和混有氮气的氮当压力减小时閃爍振幅改变很小。当压力为 15—20 毫米汞柱时的光产额为压力为 760 毫米汞柱时的 30—50%。此現象在氮的温度时出現得最为明显。 α 源离器壁的平均距离为 1.5 厘米。因此在氮的低压时, α 粒子在容器中損耗的能量是不大的。在相应于損耗能量为 10—30 千电子伏的压力范围内,閃爍振幅大小为晶体 CsI 在能量 5.5 兆电子伏的 α 粒子作用下产生的振幅的 2—3%。由此可見,对于氮和氮的混合物說来,当压力小于 760 毫米汞柱时,光产额比度是增加了,并达到了不亚于 CsI 产额的数值,甚至于超过它。为了记录短射程粒子和反冲核,我們对于阻止本领小的气体閃爍体很感兴趣。

在氮的溫度下, 氣體壓力達到了1000毫米汞柱。在圖1所示的容器中, 氮的液化進行得十分緩慢。我們必須從杜瓦瓶內抽出蒸氣以降低溫度而來加速此過程的進行。在周圍各部分都

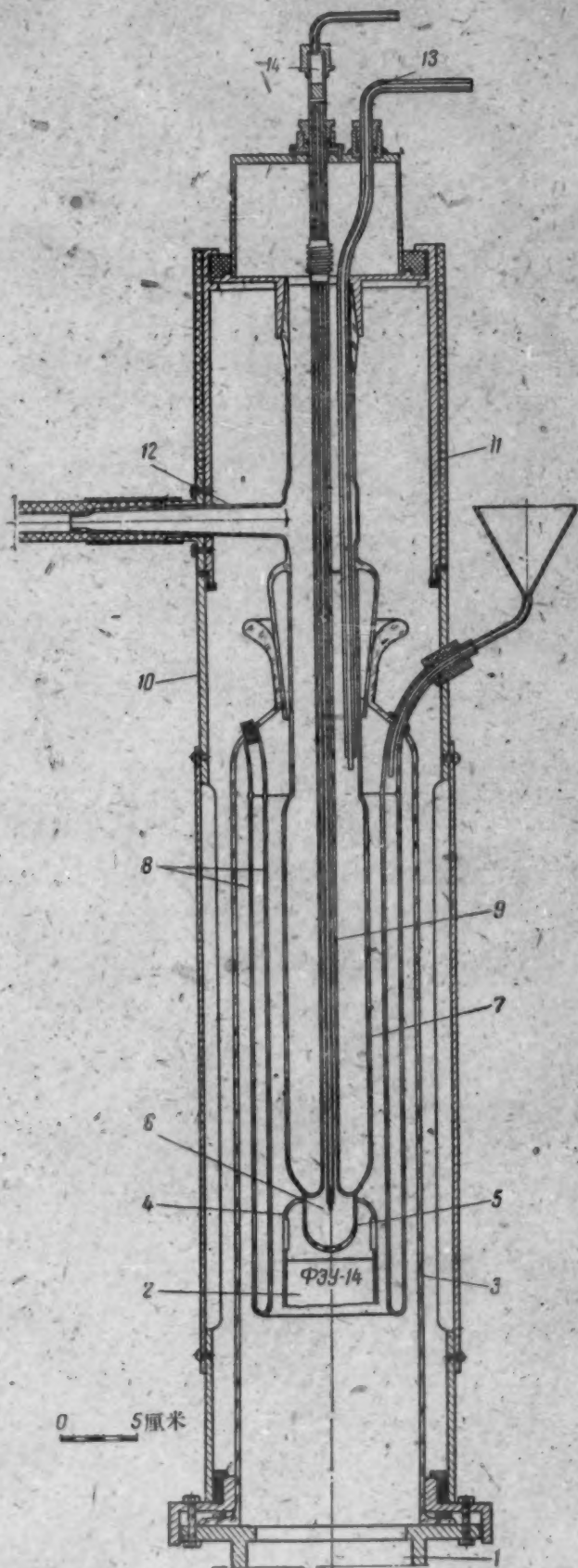


圖1 裝置圖

1. 鋼室; 2. 光電倍增管 $\Phi 3Y-14$; 3. 玻璃圓筒; 4. 反射體; 5. 閃爍體容器; 6. 點狀 α 源; 7. 盛氮杜瓦瓶; 8. 盛氮杜瓦瓶; 9. 通氣體到閃爍體內和引入 α 源用的管子; 10, 11. 可以拆開的 $\Phi 3Y-14$ 的光屏蔽; 12. 氮的蒸氣吸出道; 13. 液態氮的通入道; 14. 為了利用磁鉄而把放射源從容器中引出的鋼軸。

围以液态氮的、玻璃球形的容器(图2)对于热区工作很方便。由于玻璃表面积增大而使光量的聚合比第一种方案差了近2.5倍。

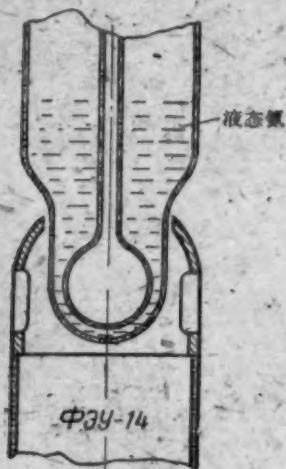


图2 閃爍体的容器
(第二种方案)

当冷却到氮的温度时,在气态氮中,气体的密度达到了相当于100个大气压的数量。在这样一个范围内,光产额在20—30大气压下的值极大(为CsI的5%),并在密度最大值的地方减少了 $1\frac{1}{2}$ — $\frac{1}{2}$ 。在液体氮内閃爍振幅不超过ФЭУ-14的噪音值。当把点源提高到液面上几毫米时,在饱和蒸气中的閃爍现象就变成和气体冷却到液态时的情况相同了。利用工业氮(含有2%混合物)时,閃爍现象具有的振幅几乎和利用纯化气体时相同。由于混合物冻在内表面上,所以观察到在容器壁上有混浊现象。由此可见,光产额与最初所用气体纯度的关系不大。

我們曾研究了光的轉換体对閃爍振幅大小的影响。在带有光轉換体实验中,我們利用玻璃球形容器(见图2),以真空蒸发的方法在其内表面鍍了一层厚为几百微克/厘米²的四联苯。四联苯受到在抽空的容器中的 α 粒子的作用后就发閃光,而且閃爍振幅大小比ФЭУ-14的噪音水平大好几倍,在温度冷却到氮的 λ 点以下时也不改变。在氮的温度下,四联苯的采用导致閃爍振幅激烈地增大。这样,气态氮的閃爍振幅就大了2.5—3倍,而是CsI閃爍振幅最大值的15—20%。

最有兴趣的结果在于:在液态氮中观察到的閃爍现象具有与冷却气体下相同的振幅。当液态氮冷却到低于 λ -点时,光产额仍保持固有的数值。由此可见,当在液态氮中可见光的直接发射被强烈地压制住时,不论在液态氮中或在气态氮中,使发射紫外辐射的激发就起着优势的、大約相同的作用。

利用上述方法也研究了在气态和液态He³中的閃爍现象。把装有预先纯化好的He³的瓶子连接到仪器上,并把杜瓦瓶内的氮蒸气抽出以使He³凝結和液化。我們采用了图2所示的容器。不论存在着四联苯或没有光轉換体时,在氮和氦的温度下,He³中的閃爍振幅大小都和He⁴中的大約相同。带有He³的閃爍体不论是对慢中子或对快中子的实验都是使人感兴趣的。

最后,作者感谢楚克列也夫(Ф. Е. Чукреев)和普洛科西(А. Ф. Прокошин)参加了最初阶段的工作,彼得洛夫(А. Г. Петров)在制造装置过程中给予的巨大帮助,感谢别洛夫(Н. А. Белов)制造了低温恒温器的玻璃結头,米哈依洛夫(К. С. Михайлов)在其实验室中制造了四联苯。

参 考 文 献

- [1] С. А. Балдин, Б. В. Гавриловский¹⁾, Ф. Е. Чукреев: Атомная энергия, III, № 10, 331 (1957).
- [2] С. А. Балдин, Б. В. Гавриловский: Приборы и техника эксперимента, № 1, 144 (1960).
- [3] С. А. Балдин, Б. В. Гавриловский, Ф. Е. Чукреев: Доклад на VII конференции по радиоэлектронике (Москва, 1959 г.).

1) 在此文献中,把作者之一的姓名第一个字母印错了。

鐳的質譜分析和鑑定

庫卡瓦德澤 (Г. М. Кукавадзе) 依 万 謙 夫 (Р. Н. Иванов)
麥舍梁柯夫 (В. П. Мещеряков) 謝瓦斯季亞諾夫 (Ю. Г. Севастьянов)
基里亞諾夫 (Б. С. Кирьянов) 加 尔 科 夫 (В. И. Галков)
斯米尔諾夫-阿維林 (А. П. Смирнов-Аверин)

在門捷列夫周期表中, 原子序数为 43 的元素——鐳——引起人們很大的兴趣^[1,2]。这是因为鐳在反应堆建造工程上或其他工业部門內, 可以用作抑制剂^[3,4]。

放射化学研究上所用的少量鐳, 一般用中子、質子或氘核去照射鉬而获得。已經有一系列已知的鐳的同位素。原子序为 97, 98 和 99 的同位素均为长寿期。其中最后一个的半衰期等于 2.2×10^5 年^[5,6], 是鈾和釷在堆內的分裂产物, 其产額相当大(約为 6.5%)^[7], 因此堆內的释热元件中积聚了很多鐳^[8]。

在分析鐳时, 要把鐳和其他相邻的元素区别开来是极其重要的。这些元素在裂变中也产生銑, 銑, 鉬和鈳。用化学、射綫测量和光譜分析的方法(单独使用)有时不能获得一个单一的结果。質譜分析法与上述測定鐳的方法結合起来就能得出很好单一的结果。

对第一个原子发电站反应堆上的用过之释热元件的同位素組成进行研究的過程中^[9], 曾采用萃取法分离鐳。

所得到的鐳的样品, 不仅用分光光度法、射綫分析法和发射光譜法来进行鑑定, 而且用質譜計进行了研究。

在本文中將叙述作者所拟定的并用来进行質譜分析鐳的一种独特的方法。

工作是在 MC 型質譜計上进行, 用的是 60° 的扇形磁場, 其暗箱弯成半径为 150 毫米的圓弧。离子流的接受器是直流放大器, 它可百分之百的反饋, 这个放大器能测量 10^{-14} 安培的离子流, 也可以用鋁鎂合金制成的二极管电子倍增器。采用鋁鎂合金制的二极管可以使离子流接受器的灵敏度提高到二个数量級以上。采用热离子源作为离子源。这种离子源是基于: 在白熾的难熔合金的发射极上, 被研究物質的分子有表面游离的現象^[10]。选择这类离子源来完成的任务的理由是: 在表面游离的情况下, 由于离子源部件的析气以及前一个样品和剩余气体的沾污所引起的背景与气体源或加热源所形成的背景相比較, 将大大地降低。这就可以去除譜綫的重迭現象, 并保証优良的分辨能力。但是, 如实验所示, 在一般用作热离子源的白熾的鎢发射极上是不能形成鐳离子的。显然, 电子对鐳原子的亲和力是大于对鎢的原子, 这就促使鐳以中性原子蒸发出去, 而不是以正离子蒸发出去。

某些国外的作者在进行鐳的工作时, 采用了鈷作为发射极。在我們工作的情况下, 采用鈷发射极并没有获得令人滿意的結果。原因是由于我們用鈷箔所制得的发射极在沒有达到鐳蒸发所需之温度以前已經烧完了。

本文利用鎢作为发射极, 在极上用电子轰击法噴上了一层厚度为 0.1 微米左右的鈷薄层。

用带有刻度的微量移液管把过鐳酸鉍的水溶液滴到用上面描写的方法所制成的发射极上去。然后在氫气中把发射极烧至紅熾大約为几分钟, 鐳就还原为金属的鐳。

1) 参加分离鐳工作的有盖尔里特 (Ю. В. Герлит) 和卡普斯金 (Д. С. Капустин)。

用这种方法所处理的样品和离子源放入质谱计,在 $1600-1800^{\circ}\text{C}$ ¹⁾ 时就产生 Tc^+ 的离子。

图 1 中表示了鐳(质量数为 99)和铷(质量数为 87 和 85)的质谱图。铷是试射点并且由于铷是铯中的杂质,在发射极上常常出现铷。图 2 列出“空白”实验的质谱图。在这种情况下

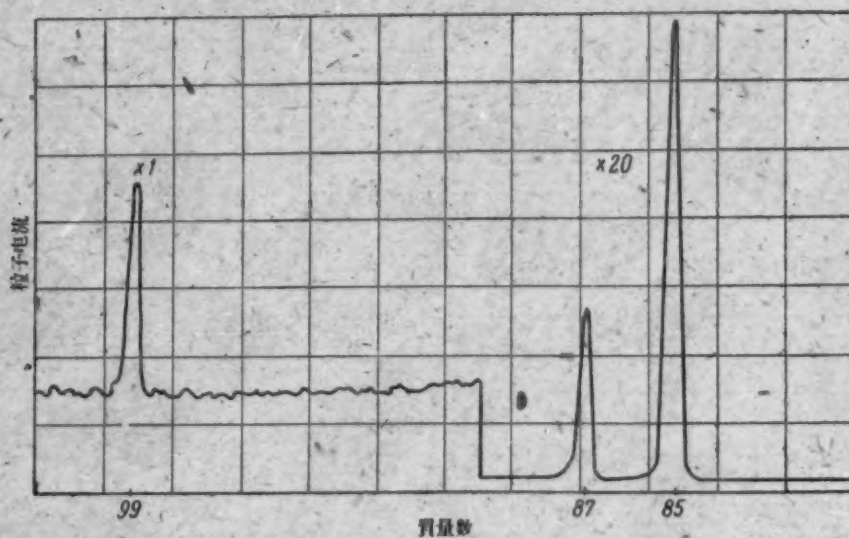


图 1 当发射极温度为 1900°C 时鐳和铷的质谱图

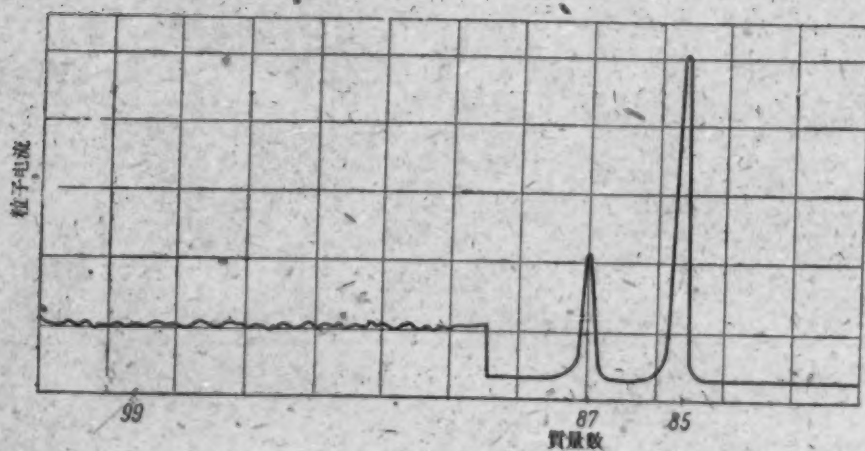


图 2 当发射极温度为 1900°C 时,在与图 1 同样的质量数范围内“空白”实验的质谱图

下,在发射极上放置了所有用过的试剂,这些试剂正是用来进行鐳的化学分离,然后发射极再在氩气流中进行处理。

利用此法与同位素稀释法^{[1]-[3]}和测定元素浓度的积分质谱法相结合,就可以进行鐳的定量分析。同时也可以研究一系列鐳的化合物和测定鐳的某些热力学常数。

作者认为应当对茹拉芙列娃 (В. Г. Журавлева) 曾为本工作制备发射极而表示感谢。

参 考 文 献

- [1] Ю. Б. Герлит: Материалы Международной конференции по мирному использованию атомной энергии (Женева, 1955), т. 7. М., Госхимиздат, 1958, стр. 183.
- [2] Викт. И. Спицын, А. Ф. Кузина: Атомная энергия 5, вып. 2, 141 (1958).
- [3] G. Cartledge: J. Phys. Chem., 59, 979 (1955).
- [4] R. Sympton, G. Cartledge: J. Phys. Chem., 60, 1037 (1956).

1) 发射极的温度在单独的真空装置内用光学高温计测得。

- [5] S. Fried, A. Jaffey, N. Hall, L. Clendenin: *Phys. Rev.*, **81**, 741 (1951).
- [6] G. Parker: ORNL-870, March 1951.
- [7] H. Fickel, R. Tomlinson: *Canad. J. Phys.*, **37**, 916 (1959).
- [8] Р. Н. Иванов, Г. М. Кукавадзе: Приборы и техника эксперимента, № 1, 106 (1957).
- [9] G. Boyd, J. Sites, Q. Larson, C. Baldock: *Phys. Rev.*, **99**, 1030 (1955).
- [10] M. Smith: Electromagnetically Enriched Isotopes and Mass Spectrometry. Proceeding of the Conference Held in the Cockcroft Hall, Harwell, 1955, p. 152.
- [11] M. Inghram: *J. Phys. Chem.*, **57**, 809 (1953).
- [12] Г. М. Кукавадзе, М. П. Аникина, Л. Л. Гольдин, Б. В. Эршлер: Сессия АН СССР по мирному использованию атомной энергии (заседания Отд. хим. наук). М., Изд-во АН СССР, 1955, стр. 205.
- [13] Г. М. Кукавадзе: *Ж. физ. хим.*, XXXIII, 1436 (1959).
- [14] В. К. Горшков: Приборы и техника эксперимента, № 2, 53 (1957).

在小 Pe 值下对钠的放热

彼 罗 戈 夫 (М. С. Пирогов)

本文引入了在圆铜管 ($d_{\text{вн}} = 28$ 毫米, $\delta_{\text{ст}} = 4$ 毫米) 内 Pe 数范围 $= 17 - 416$ 时对钠放热的试验结果。

实验管段的结构示于图 1。装在实验管段上的热电偶在它装设的地方用铂铑热电偶校准。实验管段垂直地安装, 钠从下向上流动。钠里含氧的重量比是 0.0056%。

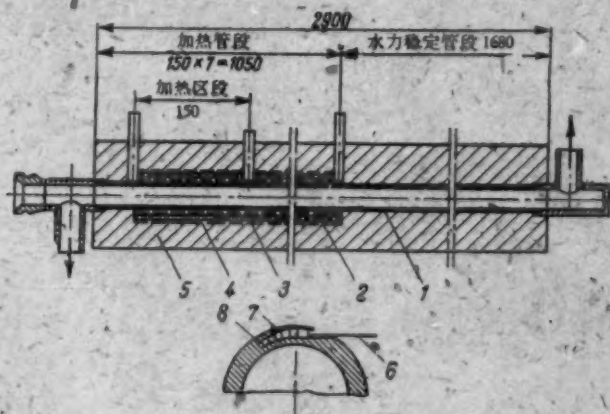


图 1 实验管段

1—铜管; 2—加热器; 3—温度计; 4—补偿加热器; 5—热绝缘;
6—热电偶; 7—瓷管; 8—铜销。

所有试验都在安装工况下测量了下列数据: 固定在管壁上的热电偶的电动势、加热器的电功率和钠的流量。所有试验中热损失都按温度计的读数用特殊加热器给以补偿。钠的温度 $t_{\text{вх}}$ 和 $t_{\text{вых}}$ 相应用装设在加热管段前后管壁上的热电偶测量。

用温度探针所作的特别测量表明: 在这些管段上钠流的温度是均匀的。在稳定换热管段处由管壁向钠的放热系数用下列公式计算:

$$\alpha_x = \frac{q_x}{(t_{\text{ст}} - t_{\text{Na}})_x} \quad (1)$$

考虑热量沿管壁和钠的轴向流动, 在 x 截面上的钠的温度用下列公式确定:

$$t_{\text{Na}x} = t_{\text{вх}} + \frac{\pi q d_{\text{вн}}}{G C_p} x + \left[\frac{\Delta t}{\Delta l} \right]_{\text{ст}} \left(\frac{\pi d_{\text{вн}}^2 \lambda_{\text{Na}}}{4 G C_p} + \frac{\pi d_{\text{ст}} \delta_{\text{ст}} \lambda_{\text{ст}}}{G C_p} \right), \quad (2)$$

式中 $\left[\frac{\Delta t}{\Delta l} \right]_{\text{ст}}$ °C/米——在稳定换热管段处沿管轴线的温度梯度, 在所有试验中它都按壁温测定。

在所有试验中, 实验管上的单位热强度等于 ~ 80000 大卡/米²·时。管内钠的流速由 0.04 变到 1 米/秒, Re 数由 2300 变到 7000, 温度降 $(t_{\text{ст}} - t_{\text{Na}})_{\text{с}}$ 由 5 到 3.5°C, 放热系数——由 16000 到 28000 大卡/米²·时°C。

用相似准则 $Nu = f(Pr)$ 加以整理的试验数据示于图 2, 并与其它文献^[1,2]中的数据作了比较。

在整个所研究的 Pe 数范围内, 得到的实验数据都与下列 $\epsilon = 1$ 时的马尔契涅里-莱翁

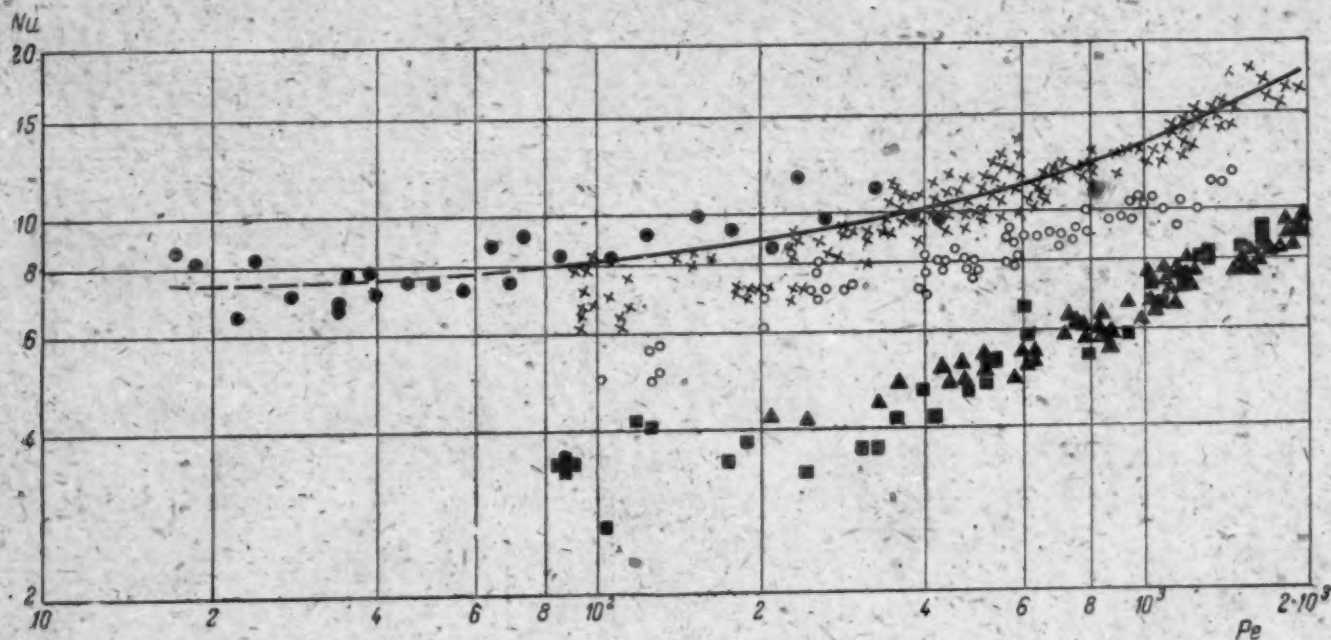


图 2 实验数据的比较(曲线—— $\epsilon = 1$ 时的马尔契涅里-莱翁理论):

- ×——文献^[1]中的数据 (Na—K; Hg);
- ▲——苏联科学院动力研究所的数据 (Na);
- 中央锅炉汽轮机研究所的数据 (Na);
- 工程物理学院的数据 (Na)^[2];
- 作者的数据。

公式相符合:

$$Nu = 7 + 0.025(Pr \epsilon)^{0.8}, \quad (3)$$

同时, 当 Pe 数 > 100 时, 也与基利洛夫 (П. Л. Кириллов) 和苏包京 (В. И. Субботин) 等的试验^[2]相符合。

本工作中得到的试验数据不能证实许多作者提出的、认为在小 Pe 值范围内放热将很快变坏的看法。

参 考 文 献

- [1] С. С. Кутателадзе, В. М. Боришанский, И. И. Новиков, О. С. Федьинский: Жидкометаллические теплоносители. Приложение № 2 к журналу «Атомная энергия». М., Атомиздат, 1958.
- [2] П. Л. Кириллов, В. И. Субботин, М. Я. Суворов, М. Ф. Троянов: Атомная энергия, 6, вып. 4, 382 (1959).

在简单的离子交换柱中分离锂同位素

潘切柯夫(Г. М. Панченков) 庫茲涅佐娃(Е. М. Кузнецова) 科茲洛夫(Л. Л. Козлов)

在研究离子交换法分离同位素的过程中,当确定了单级的分离系数之后,我們适当地試驗了简单的离子交换柱。在类似的实验中有入利用了液前分析法或置换冲洗法^[1]。在第一种情况下,通过 10 米高的填有鈉沸石的柱中,以每秒 2—3 毫升的速度流过 3% 的氯化锂溶液。最后在柱頂锂同位素的最大比值达 13.3,代替了开始时的 11.6。在第二种情况下,在填有鈉沸石的 30 米高的柱中获得了較好的結果。在頂部得到 Li^7/Li^6 的比值为 14.1,在底部是 8.8。

在文献^[2]中作出了影响同位素分离过程条件的理論分析。实验之一是在填有粒度为 1.5×10^{-3} 厘米的 Цеокарб 阳离子交换剂的长度为 90 厘米的柱中完成的,以每秒 $4 \cdot 10^{-4}$ 毫升的速度流过柱的是 1N 的醋酸锂溶液。第一次 Li^7 的浓集部分的分析得到了同位素比值达 199,原来是 12.2。以后沒有人再能重复相似的结果。当在 1.5 米的柱中洗提锂时,其頂部 Li^7 同位素含量为 94.6% (重量百分比),其底部为 89.6% (重量),代替了开始时的含量 92.47% (重量)^[3]。在填有 Цеокарб 阳离子交换剂的 40 厘米高的柱中在 80% 丙酮中对锂同位素分离作了初步的实验,当以氯化钾溶液来冲洗锂时,使锂同位素成份的变化并不显著^[4]。在頂部及底部同位素比值与初始的比值 11.52 相比分别为 11.62 ± 0.03 和 11.23 ± 0.03 。

在最近的文献中^[5],在应用离子交换法分离锂同位素方面,研究了在填有 Даяэкс 50¹⁾ 和 IRC 树脂的柱中用硫酸和盐酸溶液,氯化铵和乙烯胺四醋酸铵溶液来洗提锂。可惜在这工作中沒有得到总分离系数值。单级的分离系数理論計算值是在 1.001—1.002 的范围中^[6]。

从上面所述可以看到,用普通的离子交换过程,不可能得到或多或少較大量的浓缩物质。

更有兴趣的是离子交换过程的逆流法,但是它的实现碰到了实验上的巨大的困难。此法的理論分析及在进行元素分离时柱的工作情况在文献^[7,8]中有所叙述。

为了在简单的离子交换柱上研究锂同位素的分离过程,我們利用了各种盐的溶液以及氢氧化锂的溶液。实验中过滤的速度在 1.5×10^{-3} 到 5×10^{-3} 毫克/秒范围内变化。初始溶液的浓度保持同样的为 0.5 N。这个溶液的同位素比是 11.7。作为离子交换剂的是粒度为 $(1.7-2.5) \times 10^{-2}$ cm 的氢型硫化碳。获得的数据列于表 1。

表 1 在离子交换柱中分离锂同位素

溶 液	柱高, 厘米	临界体积, 毫升	样品的同位素比值	总浓缩系数
LiCl	230	115	13.3	1.13
$\text{Li}_2\text{C}_6\text{H}_5\text{O}_7$	227	375	14.4	1.23
$\text{LiC}_7\text{H}_5\text{O}_3$	225	420	14.1	1.20
LiOH	231	695	14.2	1.21

假若锂盐溶液经过柱过滤,当流过不同体积的初始溶液时,发现锂离子的最初微量与所用的盐有关。到出现锂的最初微量为止,溶液的体积依照下列程序增长。即氯化物——檸檬酸盐——苯酸盐——氢氧化物。假如以形成酸的游离常数的負对数作纵坐标,而横坐标表示临

1) 譯者注, Даяэкс 即 Dowex 50X12 树脂。

界体积的大小,即流过临界体积以后就出现锂的最初痕量,这样就得到近似的直线。显然,根据相似图形(图1)可以在相同条件下确定不同锂盐溶液的临界体积。在表1列举出临界体积值。

有趣地发现,在表1中所列出的实验溶液都是用重同位素锂(Li^7)浓缩。当过滤速度从 1×10^{-3} 到 5×10^{-3} 毫升/秒变化时,总的分离系数实际上没有变化。

用丁醇代替水的介质并没有发现对浓缩系数有显著的影响。用在80%丁醇溶液中的氯化锂通过224厘米高的柱,溶液流速的变化范围从 5×10^{-3} 到 15×10^{-3} 毫升/秒,总浓缩系数由1.11增长到1.13。

除上述的试验外,也进行了关于置换色层分离法的试验。为此利用1.2N盐酸和草酸溶液。得到的数据列于表2。从表1及表2比较可以看出,置换色层法的结果与液前色层法的结果是接近的。

为了进行逆流离子交换过程,要按照图2所示的系统制作交换柱。湿的氢型硫化碳填满柱上部的料斗1,由下面经过管3在1.2大气压力下通入氯化锂的溶液,可以借助于夹子7调节供给的速度,并用流量计来测量。



图1 临界体积与形成酸的游离常数K的关系

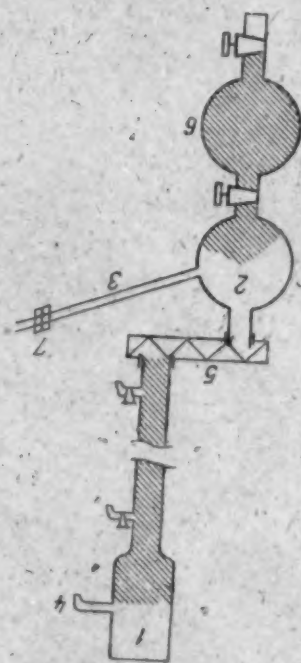


图2 逆流离子交换柱

表2 用酸置换锂

酸	柱高, 厘米	过滤速度($\times 10^{-3}$) 毫升/秒	样品同位素比值	总浓缩系数
$\text{H}_2\text{C}_2\text{O}_4$	214	5	14.0	1.19
$\text{H}_2\text{C}_2\text{O}_4$	214	1.5	13.2	1.13
$\text{H}_2\text{C}_2\text{O}_4$	100	5	13.5	1.15
HCl	220	1.5	14.3	1.22

溶液流过柱子并由上面料斗的支管4引出。硫化碳在柱上部的水平是不变的,而在重力作用下往下降,它移动的速度是由旋转蜗杆5来调节。用过的碳从下面落到料斗2中,并根据需要转倒入料斗6中。为分析用的试样可从沿着柱装置的四个活塞中取出。

在上述试验中,工作物是0.0125N的氯化锂溶液,以0.25毫升/秒的速度供给,而相对的

离子交换剂是以 1.9×10^{-3} 毫升/秒的速度移动。

經 2 小时后,工作达到稳定状态,結果沿着柱的鋰离子浓度分布不变化了,在 5 小时内稳定性不破坏,則为鋰同位素质譜分析用的样品可在离开柱头 70 和 100 厘米处取出, Li^7/Li^6 之比是 12.6 及 13.3 代替了起始的 11.7。

柱是按照剩余法工作的,因此只有起始原料的 3% 是分离了。

我們认为柱按照下列方式工作较为合理: 鋰由柱底部引入,順着柱向上移动,而树脂向下运动。在稳定状态下柱的一小段上所得的結果,相应地也可以在柱的无限长范围中获得。

比較一下根据单級分离系数試驗所得的数据^[9]和以氫氧化鋰及苯甲酸鋰所作試驗中重同位素于溶液浓集的柱的工作数据,可以用倒置过程來說明单級分离系数与浓度有关。

实际上,在按照液前分析法进行的这个試驗中,由于不可逆反应伴随着生成水及难溶的苯甲酸,溶液浓度随着它通过柱而减小。这即是浓集系数比較小的解释。用氯化鋰作的試驗数据彼此是十分符合的。

参 考 文 献

- [1] T. Taylor, H. Urey: *J. Chem. Phys.*, **6**, 429 (1938).
- [2] E. Glueckauf, K. Barker, G. Kitt: *Disc. Faraday Soc.*, **7**, 199 (1949).
- [3] J. Grosse: AECD Report No. 295229 (1950).
- [4] C. Davies, B. Owen: *J. Chem. Soc.*, **6**, 1676 (1956).
- [5] F. Menes, E. Saito, E. Roth: *Proc. Symp. Separ.*, Amsterdam, 1957.
- [6] S. Mayer, E. Tompkins: *J. Amer. Chem. Soc.*, **69**, 2869 (1947).
- [7] G. Dickel, K. Becker: *Chem. Ing-Techn.*, **28**, 529 (1956).
- [8] G. Dickel: *Z. Elektrochem.*, **54**, 353 (1950).
- [9] Г. М. Панченков, Е. М. Кузнецова, О. Н. Казнадзе: *Атомная энергия*, **7**, вып. 6, 556 (1959).

在林区进行航空 γ 普查的某些特点

卡捷里尼可夫 (Г. Н. Котельников) 卡良金 (Н. И. Калякин)

进行航空 γ 普查时,往往对林植区的高屏蔽作用的特性估計不足。結果使鈾矿床漏掉,而圈出的却是大量的假异常。

本篇报导以确定有鈾矿化的地区为实例,来研究森林复盖层的屏蔽作用特性对航空 γ 普查鈾矿床成果的影响。

1. 矿床位于绝对标高 400—500 米、相对高差 100—150 米的地区。区域内被茂密之杂林和灌木丛所复盖。地面露头良好。

航空 γ 普查 (АН-2 型飞机,使用 АСГМ-25 型探测仪) 系按 1:25000 之比例尺来进行,飞行高度为 60 米。在一条普查測綫上发现一个强度峯为 17 微伦/小时的点状(局部)异常(底数为 4 微伦/小时)。經過詳測(比例尺 1:10000,飞行高度 30 米),发现异常之强度峯在两条測綫上为 17—18 微伦/小时,在另一条測綫上为 7 微伦/小时。

在航測成果图上异常的延展长度为 300 米,寬 30—40 米。对该单独航測异常地区繼續进行了地面 γ 普查,結果查明有三条互相間隔 300—500 米的平行矿带(图 1)。主矿带(一部分即在空中所发现)的延展长度为 2000 米。地表之鈾矿体呈单独的点状出露,其面积由 1 至

1200 米²不等, γ 辐射强度为 50—1500 微伦/小时 (围岩底数为 6—7 微伦/小时)。异常面积的含矿系数为 30% 左右。除基岩露头外, 在主矿带地区, 约在 80000 米²的面积内尚见有矿石物质堆积 (块体达到 10 米³, 强度 50—1500 微伦/小时)。这些未被航空 γ 测量发现之矿石堆积及主矿体之两翼, 出露极好, 只是埋藏在茂密的大片树林内。所发现的异常区的特点是无树林, 有少许灌木丛, 地形较高。

进行航空 γ 测量时, 辐射强度较高的大块地区被漏掉的原因是由于森林具有高屏蔽作用的特性。这点可用下面的计算数据证实。在区域内树的高度 $l=33$ 米、树干直径 $H=36$ 厘米、木质比重为 0.8 及横树尖、枝、叶的重量与树干的重量相等的条件下, 树木的总重量 $P_1=(v_1 \cdot 0.8) \cdot 2=(gmHl \cdot 0.8) \cdot 2=2.705$ 米^[1,2] (v_1 ——树干体积; gm ——树的视见数量; 2——横树尖、枝、叶的重量的修正系数)。如果森林密度为 1 株/10 米², 则分布密度 $d=\frac{2705}{10}=270.5$ 公斤/米² ≈ 27 克/厘米²。

飞机上接受器对于宽 γ 辐射束的吸收, 由下面公式表示:

$$I = I_0 \Phi(\mu d),$$

式中 $\Phi(\mu d)$ ——琴格 (Кинг) 函数, I_0 ——地面上之辐射强度。

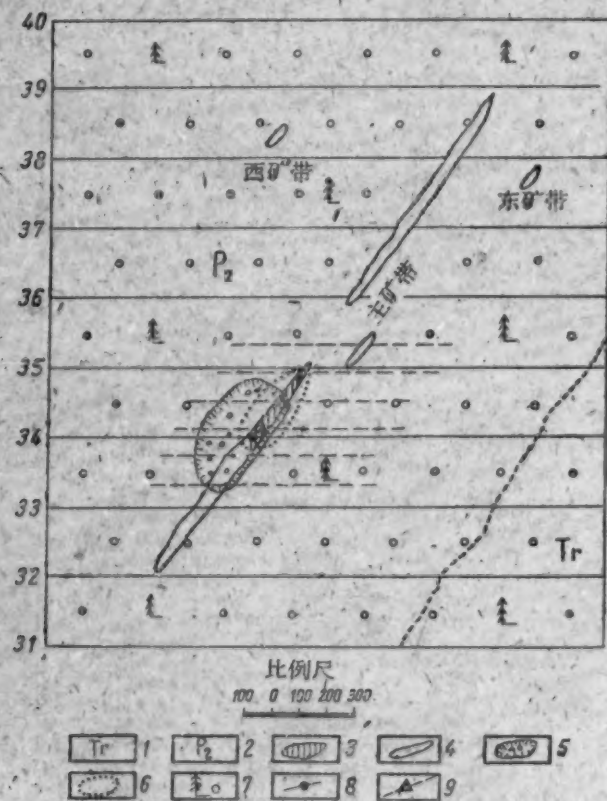


图 1 1号异常略图

1—第三纪粗粒砂岩; 2—上二迭纪碳质泥质页岩; 3—根据航空 γ 测量结果圈定出的矿带; 4—根据地面 γ 测量结果圈定出的矿带; 5—矿石堆积带; 6—无树木生长区轮廓; 7—松柏类森林 (松、杉); 8—航空普查线路及异常点, 比例尺 1:25000; 9—航空详测线路及异常点, 比例尺 1:10000。

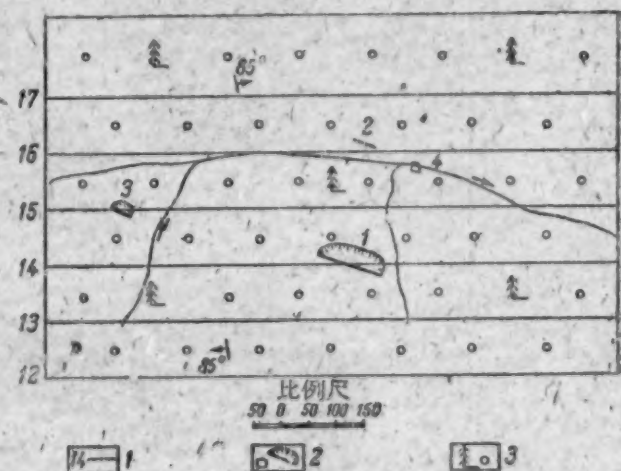


图 2 2号异常略图

1—航测线路; 2—含矿段及矿石堆积之范围; 3—松柏类森林。

树木减弱 γ 辐射的有效质量系数 $\mu = 0.04$ 厘米²/克^[3]; 所以 $\Phi(\mu d) = 0.13$, 因此, $I = I_0 \cdot 0.13$, 即所吸收的未被屏蔽掉的 γ 辐射为 13%。

所以, 87% 的 γ 辐射由于森林的屏蔽作用而被吸收掉。如果以 γ 辐射强度在高空 50 米、面积 1200 米² 的条件下降低至地面强度的 4% 而计, 并加含矿系数 30%, 则得出, 进行记录所

必須的最低強度值為 1540 微倫/小時。實際上礦帶的兩翼和礦石堆積在地面上的 γ 輻射強度未超過 1500 微倫/小時, 所以它們從空中被漏掉是理所當然的了。

2. 在絕對標高 1100—1600 米、相對高差 300—500 米的地區進行了比例尺 1:25000 的地面 γ 普查和加密航測綫的比例尺 1:10000 的航空 γ 普查。區域被密實的樺林所復蓋。由於強烈之切割, 地面露頭極好。

熱液鈾礦床由四個礦段組成, 其面積為 500×300 米, 為地面普查所發現。三個礦段中的礦體呈脈狀, 另一礦段的礦體呈層狀。等 γ 值為 300 微倫/小時的異常區的面積為 150、800 和 4000 米² (基岩露頭和礦石堆積)。個別岩塊及礦塊的強度超過 10000 微倫/小時。

垂直礦體構造所進行的普查飛行 (AH-2 型飛機, СГМ-10 型探測儀, 高度 70—80 米), 在空中未發現任何含礦地段。直接在礦區中心上空按不同方向所進行的幾次飛行同樣得到的也是否定的結果。

根據柯崗 (Р. М. Коган) 標準曲綫進行的計算表明, 在估計到樺林屏蔽作用特性的條件下, 為了從空中圈定 1 號和 3 號礦帶 (圖 2) 所須的平均強度應分別達到 1450 和 8000 微倫/小時。而實際強度只有 300—500 微倫/小時。所以異常未被圈出。

3. 在地層由含鈾克拉克值較高的前寒武紀片麻岩和古生代侵入岩所構成的林區 (地面底數為 15—40 微倫/小時, 空中的底數為 6—7 微倫/小時) 按比例尺 1:25000 進行的航空 γ 普查發現一組點狀 (局部) 異常, 強度為 12—15 微倫/小時。為了進一步查明, 對異常區進行了攝影測量。全部異常分布于林中空地或砍伐區附近, 並沿同一方向錯動 200—400 米 (由於儀器的惰性所致), 無樹林屏蔽。經地面檢查證明異常不含礦。

表內是林植物對 γ 輻射吸收的計算數據的實例。計算時應用了木材體積、重量及每公頃內樹的棵數等參考數據^[1,2,4]。枯樹、倒斃的樹及灌木叢的屏蔽影響未予估計。與樹干分布特點有關的介質的極不均勻性也未予考慮。計算樹林的分布密度時, 就某些地區而論, 樹木的數量可以不予估計, 分布比較均勻的樹頂、針葉和草葉的數量 (占總數量的 30—60%) 也可忽視不計。

林植物對於 γ 輻射的吸收

樹 別 (森林)	森林年代 (年)	每公頃內 棵 數	每公頃樹林之 總重量(噸)	屏蔽總厚度 (克/厘米 ²)	$\Phi(\mu \cdot h)$ 值 ($\mu = 0.04$) (厘米 ² /克)	γ 輻射之吸收 (%)
樺 樹	40	3123	8844	89.7	$0.56 \cdot 10^{-3}$	99.5
	60	1509	3996	41.2	$6.0 \cdot 10^{-3}$	94.0
	100	700	2934	30.5	$10.9 \cdot 10^{-3}$	89.1
松 樹	40	3000	3560	36.8	$7.5 \cdot 10^{-3}$	92.5
	60	1200	2485	26.0	$13.8 \cdot 10^{-3}$	86.2
	100	560	1737	18.6	$22.2 \cdot 10^{-3}$	77.8

甚至在引用上述修正系數時 (0.3—0.6), 各個不同年代的森林的樹林屏蔽密度仍然很高, 而 γ 輻射的吸收率將在 25—60% 的範圍內, 因此在林區進行航空普查時可能漏掉工業礦床。

參 考 文 獻

- [1] Н. Ф. Ляшенко: Справочник по лесозаготовкам. Киев, Изд-во Акад. архитектуры УССР, 1955, стр. 32, 68.
- [2] Справочник работника лесного хозяйства. Минск, Изд-во АН БССР, 1954, стр. 180.
- [3] Справочник по радиометрии. Под ред. В. И. Баранова. М., Госгеолтехиздат, 1957, стр. 111, 184.
- [4] Г. Ф. Морозов: Учение о лесе, изд. 7. М.—Л., Изд-во Гослесбумиздат, 1949.

論在厚度小的吸收介質及散射介質中計算 γ 射綫 积垒因子的准确度問題

彼別尔加里 (А. В. Бибергаль) 列申斯基 (Н. И. Лещинский)

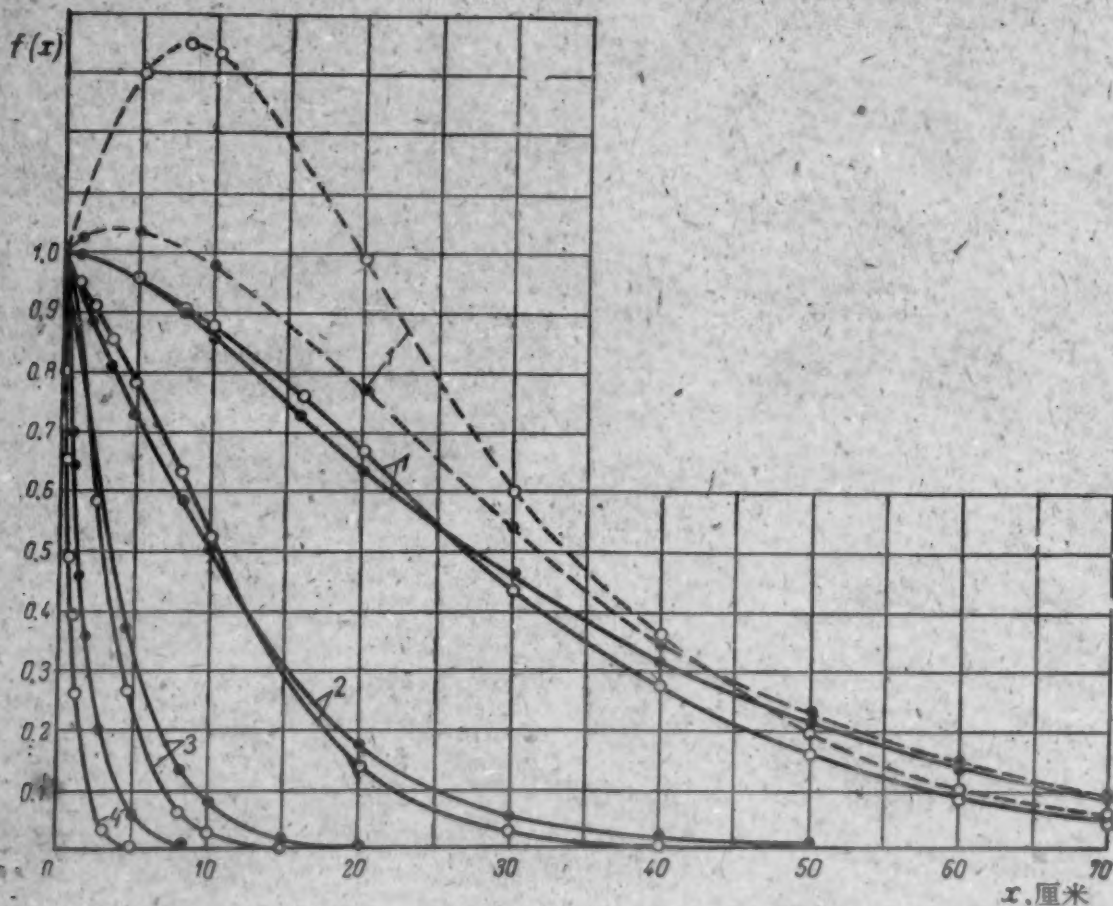
目前認為在吸收介質及散射介質中計算 γ 射綫积垒因子最可靠的公式是

$$B_0(h\nu, \mu_0 x, z) = A_1 e^{-\alpha_1 \mu_0 x} + A_2 e^{-\alpha_2 \mu_0 x} \quad (1)$$

式中, $\alpha_1, \alpha_2, A_1, A_2$ ——是根据射綫的各种能量($h\nu$)和吸收及射散介質的原子序数(z)而选择的常数。这些数据在文献[1]中已指出。 μ_0 ——本介質中窄束 γ 射綫的綫形減弱系数。 x ——介質层的厚度。

在文献[2]中指出, 利用文献[1]中所給出的数据按公式(1)作出的对水的計算結果与对 Co^{60} 射綫的实驗数据^[2,3]符合得很好。但是对 Cs^{137} 射綫說来, 文献[1]的数据計算結果比实驗数据的数值大得多。

在图中引入了 $f(x) = e^{-\mu_0 x} \beta(h\nu, \mu_0 x, z)$ 的关系, 这些关系是按公式(1)文献[1]的系数和文献[4,5]中的数据对 Co^{60} 和 Cs^{137} 射綫在水, 鋁, 鋼和鉛中的減弱計算而得出来的。从图中可以看出, 对原子序数大的材料說来, 其結果符合得很好。水的計算結果只有当 $x > 60$ 厘米才符合, 当 $x < 60$ 厘米时, 根据公式(1)所計算出的 $f(x)$ 值(虛綫)要比根据文献[4,5]确定出



由于吸收及射散的结果在介質中射綫的減弱

介質: 1——水; 2——鋁; 3——鋼; 4——鉛。

-----根据公式(1)和文献[1]的数据計算的; ————根据文献[4,5]数据的計算: ○—— Co^{60} ; ●—— Cs^{137} 。

的数据特别是对于 Cs^{137} 說来要大的多。

对于厚度小的和低原子序数的材数說来,按文献[1]的数据計算出的結果与实验数据不符合的原因是在这个区域内公式(1)的系数选择得不准确。这是因为,所采用的是为計算較厚屏蔽材料的公式用的系数。

为了計算 Cs^{137} 的 γ 射綫在厚度小的材料中的減弱,特别是計算強同位素輻射源的剂量場时,使用文献[2]中的数据較合理,或者按文献[6]中的数据計算。文献[6]中的数据与实验数据的誤差在 $\pm 5\%$ 的范围内。为小厚度区域内特殊选择系数时同样可以使用公式(1)。

虽然与实验数据符合得很好。但按照文献[4,5]数据的直接計算是十分复杂的。

参 考 文 献

- [1] Г. Геквелл: Защита ядерных реакторов. М., Изд-во иностр. лит., 1958, стр. 300.
- [2] А. В. Вибергаль, М. М. Коротков, И. Г. Ратнер: Атомная энергия, 7, вып. 3, 244 (1959).
- [3] G. White: Phys. Rev., 80, No. 2, 154 (1950).
- [4] U. Fano: Nucleonics, 11, 53 (1950).
- [5] C. Davisson, R. Evans: Rev. Mod. Phys., 24, 79 (1952).
- [6] Н. И. Лешинский: Атомная энергия, 8, вып. 1, 62 (1960).

平板屏蔽后圓柱形源的 γ 射綫

奧薩諾夫 (Д. П. Осанов) 科瓦列夫 (Е. Е. Ковалев)

在大多数情形下,描写圓柱形 γ 射綫源吸收的方程,都是用简单的源来代替复杂的源^[1]而导出的。显然这样变换无通用之意义。

由圓柱沿径向发出的 γ 射綫吸收的問題可按下述方法研究,如图1中A点的几率可表示为:

$$P = 2PrqR \int_0^k dn \int_0^r m dm \int_0^\pi \frac{d\varphi}{m^2 + n^2 + p^2 - 2mp \cos \varphi} e^{-\sqrt{m^2 + p^2 + n^2 - 2mp \cos \varphi}} \times$$

$$\times \left(\mu_1 R \times \frac{m^2 - mp \cos \varphi + \sqrt{m^2 + p^2 - 2mp \cos \varphi - m^2 p^2 \sin^2 \varphi}}{m^2 + p^2 - 2mp \cos \varphi} + \frac{\mu_2 d}{p - m \cos \varphi} \right) =$$

$$= 2PrqRS(p, k, \mu_1 R, \mu_2 d) \quad (1)$$

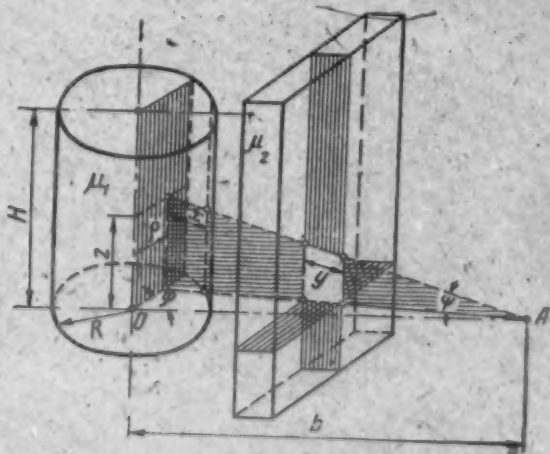


图1 計算平板屏蔽后圓柱形 γ 射綫源用的图

式中 $z = nR$, $\rho = mR$ 和 φ 是以 0 点原点的圆柱坐标系中的积分变数; P_r 是 γ 常数; q 是比放射性; μ_1 和 μ_2 分别为源物质和屏蔽物质对 γ 射线的吸收系数; $k = \frac{H}{R}$ 而 $p = \frac{b}{R}$.

表示式(1)基于下述假设之上:放射性物质在整个圆柱体积的范围内是均匀分布的,而每一单位体积源的 γ 射线又是各向同性和单色的.

数学的任务就在于按照直接环形圆柱体积计算积分—— $S(p, k, \mu_1 R, \mu_2 d)$. 该积分在基本函数中无表达式. 为了计算曾在“箭牌”电子计算机上作过此积分. 计算的总误差在大多数情形下不超过 2%. 曾对下述的参数作过计算: $1.25 \leq p \leq 10$; $0.5 \leq k \leq 10$; $0 \leq \mu_1 R \leq 10$ 和 $0.5 \leq \mu_2 d \leq 10$. 积分计算值 $S(p, k, \mu_1 R, \mu_2 d)$ 总数超过 4300 多个. 表中列的是其中的一部分.

将本文的结果与文献[1]的数据作比较后可知:当屏蔽很厚时,后者得出的值偏大达 100% 或更多.

当屏蔽的重量和尺寸以及经济要求成为决定性因素时,那么上述情况才有特殊的意义. 另一方面,当屏蔽不厚和源的自吸收不大时,文献[1]的数据偏小,这就会引起严重的辐射危险.

以上所列的结果是未考虑到源和屏蔽中 γ 射线的多次散射而计算的.

对于非点源来说,要严格的计算 γ 射线的多次散射实际上是不可能的;但是可以用近似的方法计算并根据和实验数据的比较来估计其准确度. 下述计算方法是上述近似方法中的一个. 当屏蔽层很厚时,在源中散射所生成的射线,仅是屏蔽层后总射线中不大的一部分. 在初级射线是穿透能力最大的分量之情形下,这点是正确的. 这时,确定屏蔽后的射线剂量,只要计算初级分量在屏蔽中的散射就足够了. 为了计算散射简便起见,引入非点的 γ 射线在屏蔽中的吸收厚度—— $\mu_2 l$, 是很方便的,它由下式确定

$$\mu_2 l = \ln \frac{S(p, k, \mu_1 R, \mu_2 d = 0)}{S(p, k, \mu_1 R, \mu_2 d)} \quad (2)$$

等效吸收是这样—一个屏蔽层的厚 $\mu_2 l$ 在这一厚度内点源 γ 射线的吸收等效于非点源 γ 射线在厚为 $\mu_2 d$ 的屏蔽内的吸收. 这时,圆柱形源在屏蔽后边所生成的射线剂量可按下式测定

$$P = 2P_r q R S(p, k, \mu_1 R, \mu_2 d) B(\mu_2 l); \quad (3)$$

当 $\mu_1 R = 1$ 时的积分值 $S(p, k, \mu_1 R, \mu_2 d)$

p	$\mu_2 d$						
	0.5	1	2	3	5	7	10
$k = 0.5$							
1.5	$1.38 \cdot 10^{-1}$	$7.84 \cdot 10^{-2}$	$2.56 \cdot 10^{-2}$	$8.41 \cdot 10^{-3}$	$9.30 \cdot 10^{-4}$	$1.05 \cdot 10^{-4}$	$4.18 \cdot 10^{-5}$
2	$7.06 \cdot 10^{-2}$	$4.16 \cdot 10^{-2}$	$1.45 \cdot 10^{-2}$	$5.04 \cdot 10^{-3}$	$6.14 \cdot 10^{-4}$	$7.53 \cdot 10^{-5}$	$3.27 \cdot 10^{-5}$
3	$2.89 \cdot 10^{-2}$	$1.73 \cdot 10^{-2}$	$6.23 \cdot 10^{-3}$	$2.24 \cdot 10^{-3}$	$2.90 \cdot 10^{-4}$	$3.77 \cdot 10^{-5}$	$1.76 \cdot 10^{-5}$
5	$9.84 \cdot 10^{-3}$	$5.95 \cdot 10^{-3}$	$2.17 \cdot 10^{-3}$	$7.93 \cdot 10^{-4}$	$1.06 \cdot 10^{-4}$	$1.41 \cdot 10^{-5}$	$6.86 \cdot 10^{-7}$
$k = 1.0$							
1.5	$2.14 \cdot 10^{-1}$	$1.17 \cdot 10^{-1}$	$3.60 \cdot 10^{-2}$	$1.13 \cdot 10^{-2}$	$1.17 \cdot 10^{-3}$	$1.27 \cdot 10^{-4}$	$4.83 \cdot 10^{-5}$
2	$1.24 \cdot 10^{-1}$	$7.15 \cdot 10^{-2}$	$2.39 \cdot 10^{-2}$	$8.02 \cdot 10^{-3}$	$9.17 \cdot 10^{-4}$	$1.07 \cdot 10^{-4}$	$4.36 \cdot 10^{-5}$
3	$5.49 \cdot 10^{-2}$	$3.26 \cdot 10^{-2}$	$1.15 \cdot 10^{-2}$	$4.08 \cdot 10^{-3}$	$5.13 \cdot 10^{-4}$	$6.46 \cdot 10^{-5}$	$2.90 \cdot 10^{-5}$
5	$1.94 \cdot 10^{-2}$	$1.17 \cdot 10^{-2}$	$4.23 \cdot 10^{-3}$	$1.54 \cdot 10^{-3}$	$2.03 \cdot 10^{-4}$	$2.67 \cdot 10^{-5}$	$1.28 \cdot 10^{-5}$

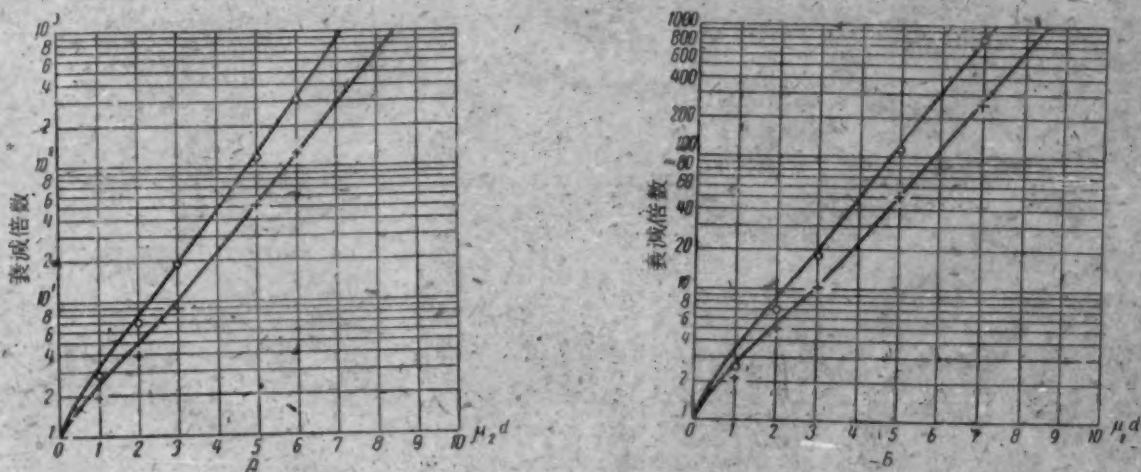


图2 圆柱形源衰减倍数的计算值和实验值的比较

A— $R=25$, $b=75$ 厘米; B— $R=50$, $b=150$ 厘米

测量值: ○——对铅而言, +——对铁而言. 两条曲线是理论曲线.

式中 B 是点源的剂量积累因子^[2].

在图2中比较了, 圆柱形源的 γ 射线在铅和铁中的衰减倍数对 $\mu_2 d$ 的计算曲线和实验曲线. (R ——圆柱半径, b ——从圆柱中心到探测点的距离)

实验时是以硫酸钴水溶液为源的. 理论曲线是用上述方法计算的, 同时, 无论计算理论衰减倍数或者计算实验衰减倍数, 均利用了 γ 射线的实验值. 当屏蔽厚度 $\mu_2 d \geq 2-2.5$ 时, 显然, 按公式(3)所计算的结果, 与实验符合得很好. 根据这一点就可得出下述结论:

- 1) 当屏蔽厚度 $\mu_2 d \geq 2-2.5$ 时, 在源内作过多次散射的射线, 在屏蔽后边总射线中, 实际上仅占不大的一部分.
- 2) 利用等效吸收长度和点源的剂量积累因子, 就可以计算已考虑到屏蔽中多次散射的 γ 射线的剂量.
- 3) 当 $\mu_2 d \geq 2-2.5$ 时, 计算和实验结果的最大偏差不超过30%.

应该强调指出, 在本实验中用的是散射最强硫酸钴水溶液. 当然, 在所有其它情形下, 源中多次散射的影响将更小.

参 考 文 献

- [1] Защита ядерных реакторов. Подред. Т. Роквелла, гл. 9. М., Изд-во иностр. лит., 1958.
- [2] H. Goldstein, J. Wilkins, Calculation of the Penetration of Gamma-Rays, US AEC, report NYO-3075 (1954).

用几种人工放射性同位素作医学上丙种射线照相的研究

波契瓦尔 (И. А. Бочвар) 布塞金 (В. Е. Бусыгин) 马尔古里斯 (У. Я. Маргулис)

从现在已知的人工放射性同位素中, 按丙种射线的能谱及半衰期的性质说来, 铯¹³⁷和钨¹⁸⁷是最适合作医学上的丙种射线照相用. 在文献[1]中也指出了为此目的而应用镅²⁴¹—钷¹⁴⁷钷致辐射的可能性.

现在可以制备 ^{170}Yb 的源,因此对这个同位素的研究引起人们更大的注意。此外,也提出 ^{155}Sm 与 ^{90}Sr — ^{90}Y 某些比较的特性。因为 ^{170}Yb 中丙种射线产额占全部的百分之三, β -粒子最大能量等于0.968兆电子伏,故韧致辐射起主要作用。因此,研究 ^{170}Yb 辐射能谱和估计能谱中不同因素的剂量产率是完全适当的。

图1列出在直径为0.7厘米、厚度为1.4克/平方厘米圆柱形源端出口处而实验获得的 ^{170}Yb 辐射能谱¹⁾。源的样品置放在厚度为1.3毫米的铝铂中,此铝铂可完全吸收 ^{170}Yb 的 β 辐射。

实验的数据表明,由能谱软的部分(0.03—0.1兆电子伏)所形成的辐射剂量占源的总剂量41.4%,这个剂量对医学上丙种射线照相来说是极其重要的。能谱中较硬的部分只能使映象的性质和分辨力恶化。在这种情况下,必须估计到,随着射线检查样品厚度的增加落到软片上硬辐射部分也增加,因而将降低了映象的明显度。在这方面,同位素 ^{155}Sm 是适合的,其丙种射线谱的范围是0.06—0.132兆电子伏,而韧致辐射产率是微不足道的,其最大能量不超过0.25兆电子伏。

比较 ^{170}Yb [2]和 ^{155}Sm 的 γ 常数表明(^{170}Yb —0.045伦/小时, ^{155}Sm —0.51伦/小时),由1居里 ^{155}Sm 组成的辐射剂量比 ^{170}Yb 大11.3倍。

在 ^{90}Sr — ^{90}Y 射源的周围包以0.1毫米厚的铅箔时,其韧致辐射的最大能量为2.2兆电子伏(在0.074兆电子伏范围中为最多)。计算表明,离1毫居里放射性源1厘米距离时,韧致辐射的剂量强度约为0.02伦/小时。因此,无论就辐射能谱或产额说来, ^{90}Sr — ^{90}Y 远不如 ^{155}Sm 和 ^{170}Yb 。

为了确定骨组织缺陷的表现度和外来加入物的存在,曾作成不同式样铝制的做照骨组织形状的缺陷探测器。探缺器放在不同厚度的有机玻璃膜中(10—160毫米)。用“Агфа”(阿格发)软片作照相用,并用标准的医学放大屏(焦距 $F=45$ 厘米)。

已进行的实验表明,在用 ^{170}Yb 和 ^{155}Sm 的丙种射线照相时,可以观察到位于厚度为160毫米的模型中间的金属加入物,其大小为 $1\times 1\times 1$ 毫米,如果此裂痕宽度小于0.6毫米,深度等于5毫米时,甚至可以看到厚度为160毫米样品的骨组织的裂痕,更细的裂痕(宽度0.3毫米)在不超过80毫米厚度时可以观察到。

应当指出, ^{90}Sr — ^{90}Y 照片的质量较 ^{170}Yb 和 ^{155}Sm 差些。虽然在 ^{155}Sm 医学上的射线照相术中,仍可看到照片的更高明晰度,但 ^{155}Sm 和 ^{170}Yb 的映象分明度还是差不多。

对医学上的丙种射线照相术说来,应用同位素 ^{170}Yb 和 ^{155}Sm 时,骨组织缺陷的表现度是适当的,但它不能说出曝照时间。实验证明,为了获得肘关节,大腿,膝关节的照片,1克镭当量的 ^{170}Yb 样品的曝照时间为2—3分钟,对于囊泡——则约为24秒(应用阿格发“Агфа”型软片和标准医学放大屏)。对骨组织照相时,曝照15—20秒即可满足医学的应用。文中提到关于曝光时间最低限度缩短为原来的 $1/10$ — $1/15$ 。

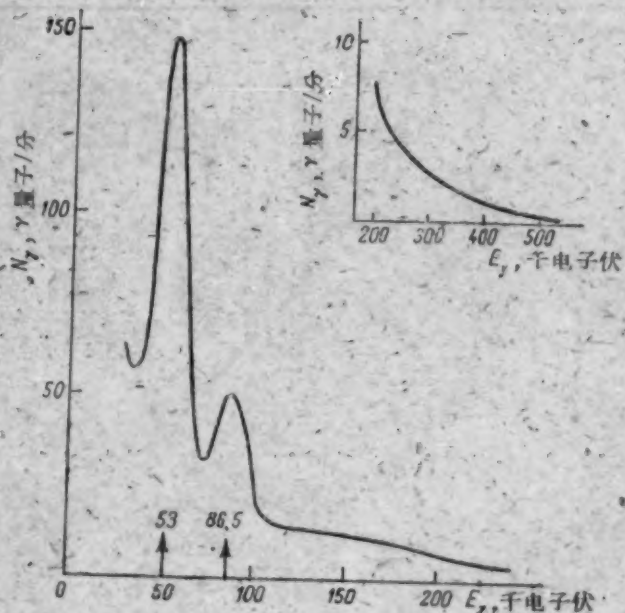


图1 厚度为1.4克/平方厘米的 ^{170}Yb 源的特征辐射、韧致辐射和丙种射线辐射的能谱分布

1) 研究 ^{170}Yb 能谱组份是和康士坦丁诺夫(И. Е. Константинов)共同进行的。

已知两种縮短曝光時間的方法为：1) 增加軟片和放大屏的敏感度；2) 增強源的放射性強度。由于軟片和屏的敏感度增加，曝光時間約縮短二分之一到三分之一。因而，为了解决医学上丙种射綫照相实际应用銥¹⁷⁰的問題，必須制备放射性为5—6克鐳当量的銥¹⁷⁰射源(1000—1200 居里)。由于比放射性強度的增长一定要增加源的放射性，因此，由于輻射的自減弱很強，增加源的大小是不适合的。

当对薄样品(囊泡)进行射綫检查时，銻¹³⁵(以源为1克鐳当量計算)的曝光時間比銥¹⁷⁰約小四分之一，对較厚样品(腿，肩)进行射綫检查时，則小三分之二到二分之一。

以1克鐳当量計算，銥⁹⁰—釷⁹⁰的曝照時間比銥¹⁷⁰約多4—12倍，比銻¹³⁵約多16—17倍。在此情况下，估計到照相的质量較差，同时也估計到比放射性強度大的源获得較困难，采用銥⁹⁰和釷⁹⁰同位素作为医学射綫照相用的致輻射源是不适合的。

为了在野外条件进行射綫照相，已設計出一种装置，其外觀如图2所示。装置的重量为23公斤。

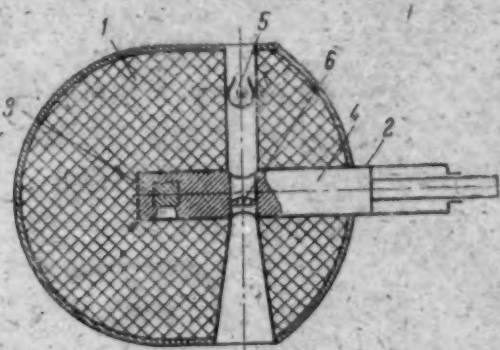


图3 輻照体的設計图

1. 包在硬鋁合金壳中的鉛套；2. 黃銅管；3. 銥¹⁷⁰源；4. 移动放射源的桿；5. 电灯泡；6. 把灯絲映象投影于摄影对象的透镜。

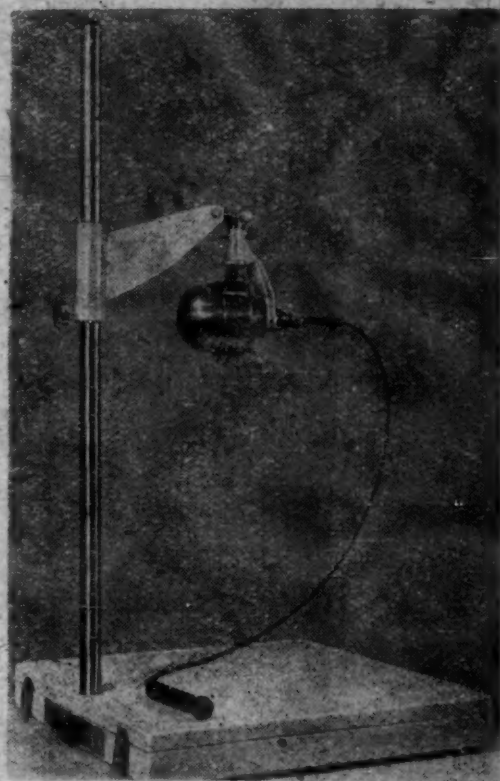


图2 丙种射綫照相携帶式裝置的概示图

輻射源的設計图列入图3。仪器作用原理是基于当曝光时在曝照管道上端移动輻射源。实验装置样品按250毫克鐳当量的銥源計算。

在保存样本的情况下，在操纵照射源的一面，保护层的厚度为7厘米，另一面則为5厘米。按計算数据，250毫克鐳当量的銥¹⁷⁰源的鉛防护层厚度为6.5厘米，則可保証照射源表面剂量強度降低至极限容許水平。在5厘米厚的鉛防护层，离放射源表面17—20厘米时，則形成一个最大允許剂量。

在实验室条件下应用此装置，表明它在工作中十分可靠和安全。

邓志誠譯

参 考 文 献

- [1] L. Reiffel: *Nucleonics*, 13, No. 3, 22 (1955).
- [2] R. West: *Nucleonics*, 11, No. 2, 20 (1953).
- [3] Н. Г. Гусев: *Справочник по радиоактивным излучениям и защите*. М., Медгиз, 1956.
- [4] И. А. Бочвар, У. Я. Маргулис: *Мед. радиология*, № 2, 70 (1957).

科技新聞

第十屆全蘇核能譜學會議

1960年1月19日至27日在國立莫斯科大学舉行了第十屆全蘇核能譜學會議(年會)。

九年前第一屆全蘇核能譜學會議同樣是在莫斯科舉行,那時聽眾有70名,有12個人作了報告。今年在會上提出了180多個報告,而參加會議的有400多位代表。

在會上所研究問題的范围大大地擴大了:大會中提出的報告對原子核結構的各種問題進行了理論和實驗上的研究。

β衰變。留彼莫夫(В. А. Любимов)(蘇聯科學院理論實驗物理研究所)的評論性報告對β衰變的一般性問題進行了闡述,該報告研究了β衰變的最新問題和提出了實驗者在這方面的任務。在斯莫羅金斯基(Я. А. Смородинский)(蘇聯科學院原子能研究所)的報告里談到了有關普適四費米相互作用常數值的一些問題,從實驗的數據中可計算出,由μ介子衰變和β衰變所求出的這個常數值稍有所不同。這種情況對理解β互相作用是具有極重大的意義。

β衰變的實驗工作可分為二個組。

第一組的工作是對β-γ極化關聯以及內軀致輻射的循環極化等進行了研究。所有這些工作貫串着一個共同的思想:找出一些能夠特別清晰地顯示出β衰變本質方面的實驗條件。

列入第二組的有斯比瓦克(П. Е. Спиряк)和米卡愛良(Л. А. Микаэлян)(蘇聯科學院原子能研究所)的關於在β衰變時電子縱向極化程度的測量工作,屬於該組的還有慶承瑞和諾維柯夫(Л. С. Новиков)(原子核物理研究所,莫斯科大学)的關於 P^{32} β譜形的研究工作,這些工作都闡述了衰變的各種問題,但是它們有個共同的趨向——想增加測量的精確度。現在β衰變理論的發展就是要解決這一問題。

到目前為止關於所有放射性同位素的電子極化值(理論上算出的)等於 v/c 這種說法仍占優勢,唯一例外的是 $Ra5$,它已由實驗可靠的証實,但是對於這種情況已經找到專門的解釋。

斯比瓦克所進行的實驗其精確度雖高,但這些實驗証明, P^{32} 、 In^{114} 、 Sm^{153} 、 Lu^{177} 、 Au^{198} 和 Ho^{166} 的電子極化彼此之間是有所不同,並且這種差別值達到10%。在 P^{32} 中發現有最大的極化值,它等於 v/c 的 $(96 \pm 4)\%$ 。

這樣一來,這些實驗確定了:與其說極化對 v/c 值之偏差是一個例外,不如說是個普遍的規則。這個事實須要解釋。

慶承瑞和諾維柯夫的工作對 $P^{32}\beta^-$ 譜形進行了詳細的研究。根據蓋爾曼(Гелл-Манн)的假設在所有的弱相互作用時將會產生弱的磁性,這種磁性使原子序數 Z 不大的和衰變能量大的原子核之β譜分辨形發生偏離。由於這個緣故,作者們研究了 $P^{32}\beta^-$ 譜形,對這種譜形來說是具有上述效應,同時還研究了 $In^{114}\beta^-$ 譜形,而對這種能譜上述效應是不會產生的。測量是利用雙聚焦β能譜儀來進行。此測量指出了 $P^{32}\beta^-$ 能譜居里圖在能量為1000—1700千電子伏範圍內的确是與直線有很大區別,其差別值是3—5%,而同時對 In^{114} 來說此現象未曾觀察到。

核反應。(烏克蘭蘇維埃社會主義共和國科學院物理研究所)巴謝奇尼克(М. В. Пасечник)實驗室的工作研究了能量為6.8兆電子伏的質子在激發能級為1—1.5兆電子伏的鉻和鎳核上之非彈性散射。角分布表明,在這個能量範圍內复合原子核形成的機制在非彈性散射中起着主要的作用。

瓦列捷爾(А. К. Вальтер)實驗室(烏克蘭蘇維埃社會主義共和國科學院化學物理技術研究所)做了大量的工作,在研究 (p, γ) 型反應的工作中確定了 Na^{21} 、 Cl^{35} 和 K^{41} 核的一系列能級。

符拉索夫(Н. А. Власов)實驗室(蘇聯科學院原子能研究所)做出了極有意義的工作。在這些工作中研究了許多輕核、中間重量核和重核的 (d, p) 反應。在這個反應中中子由核中掙脫,并按氘核的能量可以確定中子的結合能。帶有各種不同結合能的中子由核中逃脫時,可以得到明顯的原子核中子壳層圖。

在好幾次會議上曾對輕核、中間重量核和重核

的核能譜学进行了阐述。在过去的一年中获得了大量的实验材料，已有的放射性同位素衰变图得到了进一步的明确，并且拟制了许多放射性同位素新的衰变图。

拉符魯欣娜 (А. В. Лаврухина) 和馬雷舍娃 (Т. В. Малышева) (苏联科学院地球化学研究所，联合原子核研究所) 工作组进行了大量的有关钼、铂和铱的贫中子同位素的研究工作。由于化学家和物理学家们的共同工作，成功地发现了两个新的同位素： Ir^{184} 和 Pt^{187} 。

畸变原子核理論。达魏多夫 (А. С. Давыдов) 做了综合性的报告。

达魏多夫和費利波夫 (Филиппов) 发展了非轴向畸变原子核存在的理論，并将它运用在奇核上。格里高利也夫 (Е. П. Григорьев) 和阿沃季娜 (Авотина) (列宁格勒大学) 对非轴向偶核理論与实验的结果进行了比较，使他们做出了下列結論：該理論的结果与实验数据不矛盾。为了证明非轴向核的存在，尚需要一些新的事实和比较。

有 10 多篇文章阐述了轴向核理論的各种問題。

稀土元素的贫中子同位素。今年提出了大量的有关贫中子同位素的工作。有 11 个研究所参加了这些同位素的研究工作：联合原子核研究所、苏联的 8 个研究所、波兰研究所和捷克研究所。提出了 50 篇新穎的报告和 8 个評論性报告。德热立波夫 (В. С. Дзеляпов) 作了开幕詞，他对所有得到的结果进行了評述，并指出，由于物理学家和化学家们的共同努力和创造性的协作，在能譜学方面获得了很大的成就。能譜学家们由于深入了较多贫中子核方面的工作，因而发现了某些新的同位素： Ho^{155} 、 Ho^{158} 、 Er^{158} 、 Tb^{150} 等。得到了大量的新实验资料，这些资料给以前所确定的衰变图带来了本质上的改变。

γ 过程。在研究 γ 过程的工作中应当指出阿尔哈佐夫 (Д. Г. Алхазов) 和列姆别尔克 (И. Х. Лемберг) (苏联科学院列宁格勒物理技术研究所) 工作组用重离子对核进行庫仑激发的实验。其中最有意义的是观察到了核能級的級联激发。在研究用能量加速到 27.8 兆电子伏的离子 Ne^{20} 来轰击分离后的同位素 W^{182} 、 W^{184} 和 W^{186} 所放出的 γ 量子能譜时，观察到了自旋为 4+ 的第二激发能級跃迁到自旋为第一激发能級的一些 γ 譜綫。因为在偶核中自旋为 4+ 的能級之直接激发，其几率是非常小的，所以很明显，观察到的激发是一种級联过程的结果。在此种过程中自旋 4+ 激发能級的产生，是由于起

始的电四极跃迁到自旋 2+ 能級和最后的由 2+ 能級跃迁到 4+ 能級的结果。

阿利哈諾夫 (А. И. Алиханов) 和留彼莫夫 (苏联科学院理論实验物理研究所) 作了关于 γ 射綫共振散射方面的极有意义的和大有发展前途的实验报告。他们所进行的实验类似于麦斯巴烏尔 (Mössbauer) 的实验，此实验是用同位素 Sn^{119} 在液态氦温度下进行 γ 射綫共振散射。

他们所观察到的固定譜綫 ($h\nu = 23.8$ 千电子伏) 之呈现效应的表现要比麦斯巴烏尔 Ir^{191} γ 辐射 ($h\nu = 129$ 千电子伏) 鮮明得多。共振譜綫的宽度等于 $5 \cdot 10^{-8}$ 电子伏，也就是比麦斯巴烏尔实验中的譜綫宽度窄 1/130。作者们发现到由于振动和噪音，放射源的微小运动对譜綫的强度有着頗大的影响。同时他们也观察到了当放射源放置到磁场中去时，共振譜綫的强度即减小，此磁场能引起錫核能級的塞曼分裂。根据初步的测量， Sn^{119m} 的第一激发能級的磁矩不超过 0.8 玻尔核磁子。

克罗托夫 (В. А. Крутов) (列宁格勒大学) 所报告的关于 $E0$ 跃迁时 γ 辐射方面的工作是很有意义的。 $0_{\pm} \rightarrow 0_{\pm}$ 型核跃迁被认为是沒有射綫的。該工作证明了，壳层电子或电子本底的存在有可能会引起核激发态的单个光子的放电，同时由原子中逸出多极性 M1 的 γ 量子。作者们得到了在 $E0$ 跃迁时射出的 γ 量子数对内轉換电子数或轉換偶 (反向轉換系数) 之比的公式。

計算証明，对輕核和中間重量核 (C^{12} 、 O^{16} 、 Ca^{40}) 中的已知 $E0$ 跃迁來說，反向轉換系数其数量级的大小等于 $10^{-4} - 10^{-5}$ 。

原子核能譜学技术。在会上阐述了有关 α 、 β 和 γ 能譜学問題，在许多报告中都研究了新的能譜仪，本年度内最有意义的創作品是下面两种光譜特性极良好的新仪器：

1) 大稜鏡 β 能譜仪，是由凱列曼 (В. М. Кельман)、別列古迪 (Б. П. Перегуды) 和斯科比娜 (В. И. Скопина) (苏联科学院列宁格勒物理技术研究所) 所制造的，这种能譜仪的分辨率为 0.013 到 0.15%。光强度相应由 0.005 到 0.8%。在仪器中利用了磁稜鏡和一些新結構的透鏡。能譜仪的控制和測量結果的記錄都是自动化。

2) 高分辨率的磁 γ 能譜仪，此譜仪是由格罗舍夫 (Л. В. Грошев)、杰米多夫 (А. М. Демидов)、魯青柯 (В. Н. Луценко) 和馬洛夫 (А. Ф. Малов) (苏联科学院原子能研究所) 所制造。此能譜仪是一种改进过的康普頓能譜仪，当能量 $E_{\gamma} = 1$ 兆电子

伏特时其分辨率为 0.23%。借助于这种能谱仪能测量出伴随着热中子被氯所俘获时放出的 γ 射线谱。测量可在 0.3 到 9 兆电子伏特的能量范围中进行。

在闭幕词中德热立波夫指出了过去一年中在核

能谱学中所取得的一些主要成就。

大会的著作将在 1960 年“苏联科学院通报”杂志和物理丛书第 3、7、9 期中发表。

克拉夫特 (O. Крафт)

西 羽 译

訪乌克兰科学院物理研究所

(与該所科学副所长涅明茨的談話)

1960 年 2 月, 乌克兰科学院物理研究所启动了功率为 1 万瓩的 BBP-M 型反应堆。在这个反应堆上将进行下列工作:

1) 用飞行时间法研究慢中子共振散射(为此作了机械选择器和 1024 道时间分析器)。这一工作将由巴謝奇尼克、維尔切普和奥芬千金来进行;

2) 研究俘获 γ 射线谱(制造了宽角 γ 谱仪, 其俘获角度达 80°)。这一工作将由巴謝奇尼克和巴尔丘克来进行;

3) 研究短寿期同位素的寿命。

除上述研究项目外, 在反应堆上还将进行放射化学和放射生物学的研究。

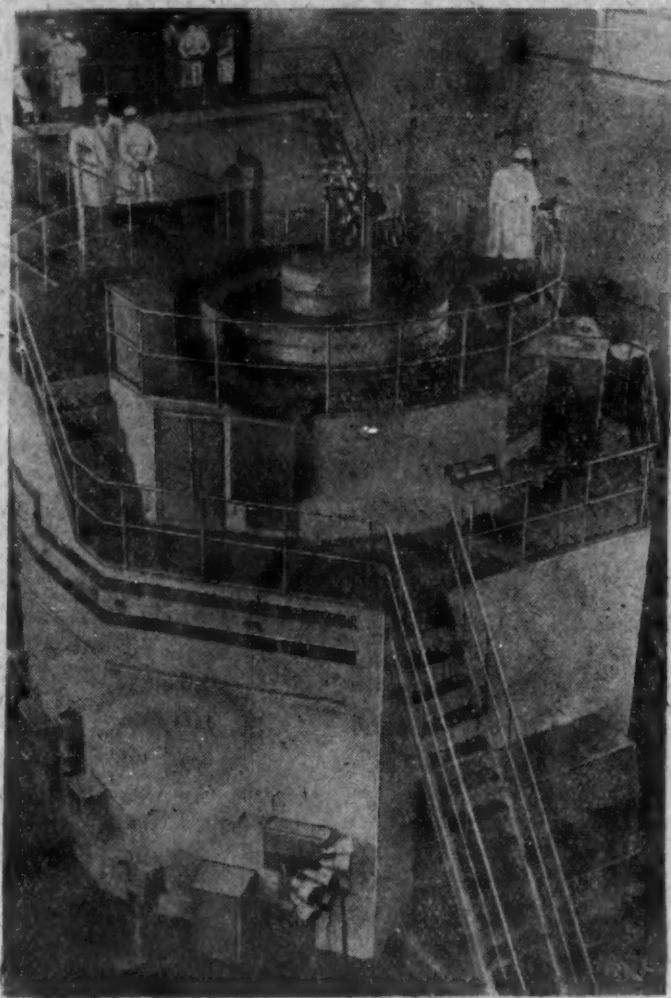
1959 年在迴旋加速器上(这个加速器是从 1957 年开始工作的)用 11 种同位素进行了剥裂反应的角分布的研究。研究员涅明茨和札依卡雅取得了级能、自旋能和宇称能的数值。此外, 获得了弹性和非弹性散射氘的角分布, 以及 pD 和 DT 反应中的氘和氚的角分布。作出了关于核反应过程的结论。这项工作是由涅明茨、沙尔特柯夫和索柯洛夫作的。测量了质子的弹性和非弹性散射的角分布。在 Ni^{58} 、 Ni^{60} 、 Ni^{62} 同位素靶上所作的弹性散射的研究表明, 这些角分布的性质有着显著的差异, 并且不能在光学模型范围中找到解释。巴謝奇尼克和普切洛夫测定了质子在弹性散射时的极化作用。

1960 年预定扩大这些测量。研究所在开展这些工作的同时, 还将研究质子在剥裂反应中的极化作用, 角 D_p 的 γ -相互作用和 D_{n-} 与 D_{n+} 反应。相应的设备已经制成, 一部分已经进行了试验。

1959 年, 斯特利扎克在静电加速器和低压中子加速器上研究了中子弹性散射的角分布, 其能量为 3 和 14 兆电子伏。1960 年预计继续进行这些工作, 并且还要研究中子的极化作用。

核材料和核动力学理论的研究有了进一步的发展。根据包戈留保夫的超导理论进行了核材料的集

体激发的计算。根据这一理论, 道琴柯和齐赫米斯特林柯计算了超流动核子气体的基态能和基本激发能。



乌克兰科学院物理研究所的功率为 1 万瓩的 BBP-M 型反应堆。

A. M. 卡拉列夫根据偶偶核综合核模型发展了剥裂反应理论。

研究所还进行了各种设备的创造。其中设计了带磁记忆的多道脉冲分析器、低压中子加速器, 从二个系统到十个系统的定标器、闪烁 γ 谱仪、中子谱仪和带电粒子谱仪。

B. 帕尔希奇柯(本刊特派记者)
(金 鼎 译)

原子能的利用在巴西和阿根廷

巴西对原子能发生兴趣是有一些原因的。虽然巴西拥有大量的天然财富，但它们的利用却受到两个主要因素的限制：交通运输不发达和电能生产不足。

影响电能生产的原因是缺少煤和石油产地，以及主要的水力电源离最重要的工业区里約热內卢和圣保罗太远。此外，根据官方的统计，巴西全部能用的水力资源(約 17000 兆瓦)只能用到 1975 年，而那时电力设备的功率預計增长到 22000 兆瓦。因此，计划到 1965 年通过原子核装置将取得 ~500 兆瓦，到 1975 年将取得約 3000 兆瓦^[1]。

由于有铀和钍的产地，巴西的原子核动力工程将得到发展。最近几年，在巴西大力进行探查工作，特别是采用航空 γ 和航空磁性测定方法进行探查。除了早先在米納斯日賴斯州、伊希皮里士桑土州、巴義亞等地发现的矿产地，以及巴索吉卡里多斯(Пасосди-Кальдос)高原的铀矿产地外，又发现了某些新的铀矿产地。在阿里阿斯普拉塔(Агуас-де-Прада)地区发现了含铀量从 5 到 10% 的丰富矿层^[2]。在圣保罗，巴拉那，Санта-Катарина 和里烏格蘭德(Риу-Гранди-ду-Сул)地区的煤层中也发现了铀^[3]。巴西除了铀以外还有規模巨大的钍矿产地。二氧化钍估計有 20 万吨的儲藏量^[4]。作为提取钍的主要原料的磷鉍礦砂分布在里約热內卢、伊希皮里士桑土和巴義亞州的河岸一带。Итабапуана(里約热內卢州)和 Руаранари(伊希皮里士桑土州)地区的矿藏都是非常丰富的。现在，大部分磷鉍礦都是在这些地区开采。

为了加工磷鉍礦，有化学工厂，其中第一个工厂年产 3000 吨，已于 1951 年开工。这些工厂可以很容易地从含铀的鉍鉍中提取铀。

1957 年在圣保罗大学建造的巴西第一座功率为 5 兆瓦的水池型反应堆，給开展原子核的研究和制取同位素打下了基础。这个反应堆是由美国“巴布柯烏衣柯克”公司承建的^[5]。在結構上，这个反应堆与密西根大学的反应堆相似，只在释热元件、冷却系統和水池的大小上稍有不同。減速剂、反射剂和載热剂是普通水，燃料是加浓铀和鋁的合金。帶有鋁壳的片状释热元件放在組件中，每一組件內有 19 个。活性区高度为 60 厘米。反应堆装料(铀²³⁵)为 3.66 公斤(在加浓百分之廿的条件下)。

1957 年从美国购买了 30 公斤铀，其加浓度为百分之廿，即 40 个释热元件^[6,7]。

还有一座研究性反应堆(TRIGA)将在米納斯日賴斯州貝洛里藏提的一个大学里建造。已經同美国的“通用原子”公司訂立了供应合同。反应堆的額定功率为 30 瓩，但是可以用 100 瓩功率进行工作^[8]。

除了建造研究性反应堆外，还计划建設一些原子能发电站。巴西的两个公司已經宣布，要建造功率为 25 兆瓦的原子能发电站。电站上将装置两个相同的压力水反应堆。在有大量沉淀和电站可以产生足够的电能时，将用一个堆工作，而在第二个堆上将进行修理工作和更換释热元件。在一年的干旱时候，两座反应堆将同时工作^[9]。

在国家原子能委员会的计划中，还包括在圣保罗附近建造一座功率为 100—150 兆瓦的原子能电站和中央各省建造的不包括在总电能系統內的、功率为 100 兆瓦的电站若干个。如果能胜过小型柴油装置的话，还将建造一些小电站。

研究了建造采用国产燃料的增殖堆(具有 Th-U^{233} 循环)的可能性^[11]。

在南美的另一个大国——阿根廷，电能的生产中心离工业区很远。这些工业区主要是在阿根廷的东部和中部。根据 1955 年的统计，87% 的电能都用在布宜諾斯艾利斯区。这个区对电能的需要不断增长，但是却没有足够的动力资源。为了满足需要，这个地区所需要的全部燃料的 50% 要由外地輸入。因此，阿根廷原子能委员会认为，要供給东部和中部各省所需要的电能，須建立一个功率为 ~2000 兆瓦的原子能电站。

为了发展原子核动力工程，阿根廷本国拥有足够的资源。目前，全国已发现的铀钍矿产地有 100 处以上，其中 8 个铀矿和 2 个钍矿已开始开采。国家原子能委员会已经开始研究阿根廷西部离 Неукен 280 公里的铀矿产地。在已开始经营的铀矿产地中，最重要的是門多薩省 Маларгюэ 附近的国营矿場。铀的生产規模不大，而主要是在这个产地。铀矿在三个工厂連續加工到制出反应堆純度的铀。在 1957 年，阿根廷从含铀 0.5—0.9% 的矿石中提取了 ~30 吨铀^[10]。

全国正在进一步探查铀钍矿产地。在 1959 年，阿根廷原子能委员会在 Ла-Риоха 省的新矿厂制备

一批2.5吨的铀矿样品。这批样品中，氧化铀的平均含量为25%。根据专家们的结论，肯定这些矿厂今后将开采出丰富的矿石^[11]。

不久之前，在萨尔塔省发现了规模大的铀矿产地。现在原子能委员会的专家们正大力进行这一地区的研究工作^[12]。

1957年布宜诺斯艾利斯和拉巴拉他之间建造了实验性反应堆RA-1，这个反应堆的建造给阿根廷反应堆建造工程的发展打下了基础。

这个堆是根据国家原子能委员会的决定由美国“通用电气”公司承建。其结构与“阿贡”反应堆类似。反应堆在1958年年初即达到临界。反应堆被用来进行各种实验，培养干部，检查布宜诺斯艾利斯附近原子能委员会经营的工厂从阿根廷原料制取出来的金属铀的纯度，以及用来制备数量不大放射性同位素供工业研究用。反应堆中的燃料采用加浓到20%的二氧化铀。释热元件（每一组件内17个）作成片状的，包有铝壳。用水导热，中子的慢化采用水和石墨。装有石墨块的反应堆中央部分有热柱和七个样品照射用的孔道。活性区高度为1.2米，直径为0.9米。根据反应堆RA-1运转中积累的经验，

正设计相似反应堆RA-2^[13]。这个堆的结构简化了，它将有更大的可能性来进行各种实验。

金鼎译

参考文献

- [1] *Nucl. Power*, 4, No. 33, 111 (1959).
- [2] *Mining Rec.*, 68, No. 6, 3 (1957).
- [3] *South-African Mining and Engng J.*, 67, No. 3324, 671 (1956).
- [4] *Mining Mag.*, C, No. 5, 258 (1959).
- [5] *Nucl. Power*, 2, No. 19, 449 (1957).
- [6] M. Santos, P. Toledo: Доклад № 2274, представленный Бразилией на Вторую международную конференцию по мирному использованию атомной энергии (Женева, 1958).
- [7] *Nucleonics*, 15, No. 9, 25 (1957).
- [8] *Nucl. Engng.*, 3, No. 33, 548 (1958).
- [9] *Atomwirtschaft*, IV, Nr. 7—8 (1957).
- [10] *Appl. Atomics*, No. 105, 8 (1957).
- [11] *Atomwirtschaft*, IV, Nr. 2, 83 (1959).
- [12] *Nucl. Power*, 4, No. 41, 84 (1959).
- [13] F. Fuertes, O. Gamba: Доклад, № 1584, представленный Аргентиной на Вторую международную конференцию по мирному использованию атомной энергии (Женева, 1958).

西班牙原子核动力的发展计划

由于石油和天然气体的缺乏，煤的藏量少以及水能的使用不便，因而引起西班牙国营工业和私营工业对原子核动力的兴趣。

1948年曾成立了委员会，它负责拟定西班牙原子核动力的发展计划，后来，又成立了原子能委员会负责进行和配合原子能方面的科学研究工作。原子能动力的利用问题，由西班牙工业部原子能总局管理。

西班牙的专家们认为，对它们的国家来说，建造原子能发电站是非常昂贵的。根据他们的估计，到1972年，原子能动力装置的建设费需要4亿元，到1977年需要八亿八千万元。如果动力反应堆仍然需要从外国购买，那么这笔开支对西班牙的经济来说是负担不起的。因此，发展自己的原子能工业，以便设计和建造原子能发电站是西班牙计划的主要目的^[1]。

原子核动力的发展计划规定，到1970年，要建成电功率达350兆瓦的装置。目前，准备增加原子能发电站的总功率^[2]。

探矿结果（第一批铀矿床是在1954年发现的）

证明，西班牙拥有发展自己原子能工业的原料基地。西班牙的铀矿比较丰富，这些铀矿蕴藏在哈恩、科尔多瓦、巴达霍斯、卡列尔塞、萨拉曼卡及托列多省，目前正在开采。矿石中铀的含量0.1—4%；据估计，矿石总藏量为二百万吨^[1]。也有锆和钽的矿床^[1]。原料的普查工作还正在继续进行，因为已经调查过的地方，只占到所预计的矿产地的一小部分（20%）。

1955年在马德里附近的蒙克洛原子核中心的实验性装置上（图1）实现了从矿石中制取金属铀的全部过程。1959年夏天，在哈恩省的安杜哈尔建成了一座炼铀厂，一昼夜可精炼200吨矿石^[1]。该厂用离子交换法和磷酸三丁酯溶液萃取法精炼矿石。

1959年初，西班牙的专家们在维斯克附近建成一个年产重水1—1.5吨的装置。现正在建造着一个生产释热元件的装置。

至于西班牙工业干部的培养，在前一个时期基本上是派遣人员到美国或西欧最发达的国家去学习，以获得一定的技术水平。现在，有几百名具有大学或中等技术学校文化水平的人员在蒙克洛原子核研究中心工作。在这里，他们进行着同位素置换反

应——作为生产重水的过程基础，铀化学以及利用預应力钢筋混凝土代替鋼鉄作反应堆防护外壳等研究工作。

在学校和工业企业的实验里，也进行着原子核物理的研究工作。在比里包及巴尔塞郎工业学校里，讲授有关原子核工程的技术课程^[1]。

西班牙反应堆建造工程的发展是从蒙克洛原子核研究中心建造研究用游泳池反应堆开始的，其功率为 3000 瓩(图 2)。反应堆是由美国“通用电气公司”供給的，它于 1958 年夏天开始运转。反应堆厂房里有供研究用的实验室，其中包括热室。反应堆除供教学及研究用外，还供生产同位素用。

为了从动力反应堆的运转和释热元件的研究中取得經驗，西班牙决定购买一个功率为 20—30 兆瓦的試驗性动力反应堆。美国一些公司曾提出以下三种类型的反应堆：“国际原子能”公司建議用一种有机載热剂的重水慢化剂的反应堆，“通用电气”公司建議采用沸騰水反应堆，而“西屋电气”公司提出管内压力水反应堆。所提出的三种反应堆都备有供实验性释热元件^[4]用的試驗迴路^[3]。

对所提出的方案研究后，选择了“国际原子能”公司所建議的反应堆方案^[5-6]。此反应堆将于 1962 年前在阿里別尔奇河岸(距馬德里西南 64 公里)建成。这一反应堆的大部分材料将在西班牙制造。

第一个功率为 200—250 兆瓦的大型原子能发电站預計將建造在馬德里附近的塔霍河岸^[4-7]。看来，发电站的反应堆将从美国购买。发电站預計在 5—6 年内建成。

此外，西班牙私营工业的三个小组正在从事大型原子能发电站的设计。

第一个小组——“原子核”公司已經完成了毕尔巴鄂附近(埃布罗河岸)工业区原子能发电站的设计。功率为 200—250 兆瓦的发电站第一期工程預計在 1964—1965 年間开工^[7]。公司第二组——“原子技术”——正从事功率为 132 兆瓦的电站的设计，此电站將建造在卡吉斯附近。第三组——“原子核中心”(“SENUZA”)——从事 200 兆瓦电站的设计，此

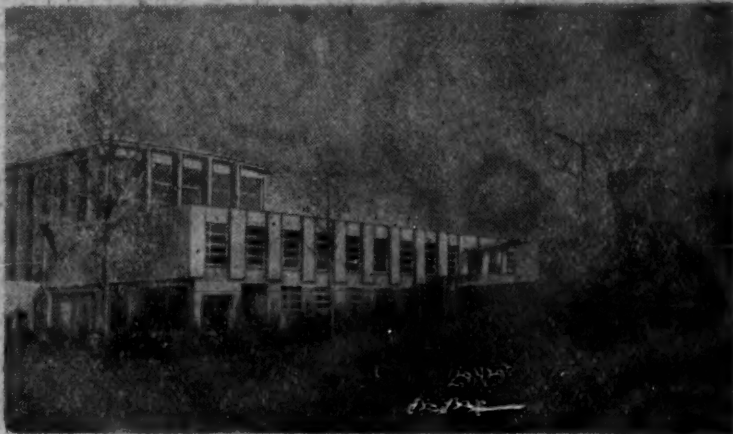


图 1 蒙克洛原子核研究中心游泳池型反应堆的厂房

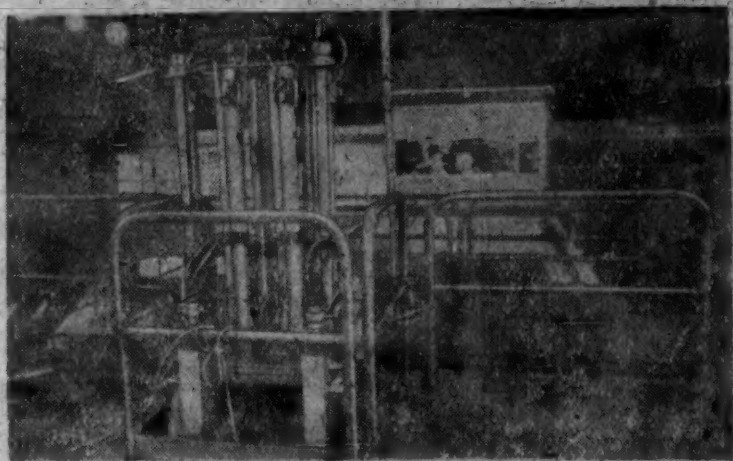


图 2 蒙克洛反应堆上部图

电站将于 1966 年^[2]在馬德里附近建成。

关于原子能发电站反应堆的型号尚未报导。可以設想，塔霍河第一个发电站的反应堆可能是水-水型的。但是，西班牙对卡德尔豪尔型的反应堆很感兴趣，因为这种反应堆不同于使用天然铀的水-水型反应堆^[1]。

参 考 文 献

- [1] *Atomic World*, 10, No. 4, 145 (1959).
- [2] *Nucl. Power*, 4, No. 33, 106 (1959).
- [3] *Nucleonics*, 17, No. 5, 34 (1959).
- [4] *Nucl. Engng*, 4, No. 40, 317 (1959).
- [5] *Nucleonics*, 17, No. 8, 23 (1959).
- [6] *Nucleonics*, 17, No. 9, 21 (1959).
- [7] *Chem. Ind.*, 10, H. 12, 705 (1958).

唐宁快中子动力反应堆的启动

位于苏格兰北岸的唐宁的扩大燃料再生产的快中子反应堆已于 1959 年 11 月达到临界(图 1)，它

的电功率为 15000 瓩。反应堆共化了四年八个月的建造时间^[1]。

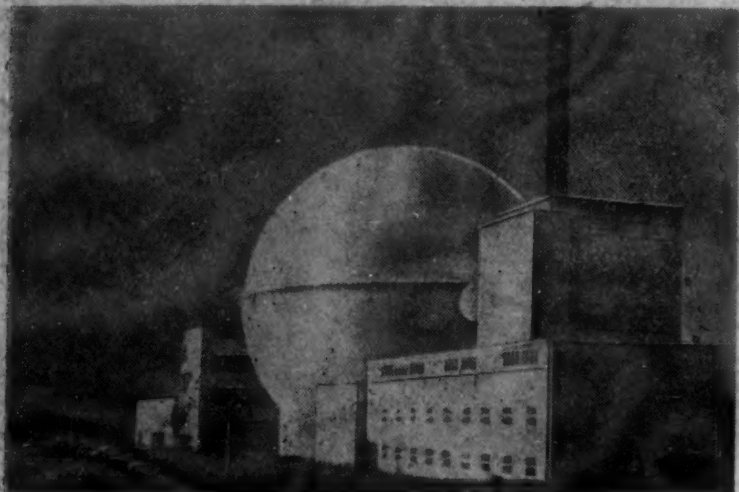


图1 唐宁反应堆装置概视图。可看到装有反应堆的球形外壳的左边是蒸汽动力设备厂房；前面的平面布置上可看到操纵台房间，释热元件贮藏室和行政大楼。

反应堆的六面形活性区的尺寸为 53×52 厘米，装浓缩度约为 45% 的铀制成的释热元件。活性区的四周放天然铀制的铀棒(再生区)。活性区和再生区装在充满液态金属载热剂 (Na-K 合金) 的不锈钢外壳里。用电磁泵经过 24 根管状热交换器来压送一次载热剂。在管状热交换器上，冷却具有放射性的一次 Na-K 合金活性区的，传给二次非放射性 Na-K 合金。二次载热剂沿管道送到蒸汽发生器，所产生的蒸汽带动汽轮机或进入被海水冷却的聚集冷凝器。图 2 为装置的热力系统图。

有关个别部件结构的详细资料可以参阅文献 [2, 3]。

唐宁反应堆的启动工作分四个阶段进行 [4, 5]：

- 1) 未加液态金属载热剂的干燥系统的试验工作；
- 2) Na-K 合金的制备和灌注入回路中；
- 3) 检验各种部件和反应堆装置各系统在有载热剂情况下的工作性能；
- 4) 反应堆的启动。

启动工作的第一个阶段是从装载燃料的准备工作开始的。在这一工作阶段，充注冷却系统之前，先在反应堆再生区内装上 2100 根释热元件。约有 150 根天然铀的释热元件是在系统内充灌 Na-K 合金后装入的，以便在工作条件下检验装料机的工作情况。这个装料机共重 25 吨，可在反应堆的盖子下升高约 10 米，可以同时装卸或重 3.18 公斤的点燃区元件，或重 35.32 公斤的再生区元件。

装载燃料的操作是在氮气中进行的，所以应当特别注意检查上部旋转防护盘和装料槽内的两个塞子的密封。在这个槽的上面装有检查释热元件位置和中子源放到活性区是否正确的设备。在装卸机的箱内放有 33 个“新”的释热元件，它们都插在用铅充填的不锈钢装料囊内。可以逐根把元件从箱内移到有防护的运送车上，并且把元件垂直安放于小车上。这些操作和以后把元件卸到装卸机上的操作都应在缝隙密封好和用氮气吹气检查之后才能进行。新元件装入反应堆后，应把烧过的元件用装卸机装入箱内，插到空出的装料囊座上。诚如经验所表明的，每装一根释热元件，约需要一个小时。

装料机投入运行时发生了相当大的困难。例

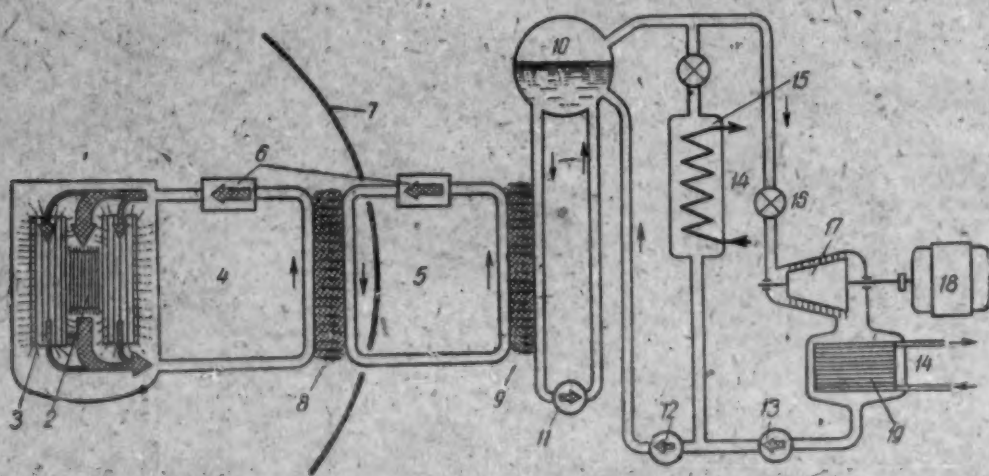


图2 反应堆装置的热力系统图

- 1—反应堆外壳；2—点燃区；3—再生区；4—第一回路(放射性 Na-K 合金)；5—第二回路(非放射性 Na-K 合金)；6—电磁泵；7—反应堆的球形外壳；8—热量由放射性的 Na-K 合金传给非放射性的；9—热量由非放射性的 Na-K 合金传给水；10—集汽器；11—主循环泵；12—给水泵；13—冷凝泵；14—海水；15—断开汽轮机时用的冷凝器；16—关断阀；17—汽轮机；18—发电机；19—汽轮机冷凝器。

如,装卸机孔和活性区管道的同心度的指示器要求作得比較精确;为移动脱扣下降机构抓钩用的传动,看来对抓钩的“咬合”和本身可动部分不很灵敏;电动机开动后煞停不住,造成另件过分楔紧或使节索崩断。因此所有传动都做成人工操作的,为了限制外加压力,采用了特种销,在过负荷时就切断。为观测装料情况采用了电视室。

在第一阶段,檢驗了提取和修理起調节系統作用的释热元件传动的設備。預定更換释热元件12个調节組的每一組的操作需要花費24小时,但是檢驗时出現的复杂情况和补充的改善工作使更換時間延長到3—4天。

在工作过程中用氧化氮作指示剂檢查了系統的密封性。第一阶段的工作共进行了六个月。

启动工作的第二阶段是从充滿了Na-K合金的管道和容器的加热开始。

灌注到迴路內的液态金属是由下列四种不同成分所組成的:純鈉, Na-K (40% 的鈉和 60% 的鉀), Na-K (鈉和鉀各 50%) 和 Na-K 的低熔混合物 (22% 的鈉和 78% 的鉀); 鈉的总数占全部重量的 72%。灌注迴路是利用压缩氮气来完成的。首先将二次迴路中的一部分灌注合金 (12 个迴路中的三个), 而此合金在二次热交换器內用蒸汽加热, 这就保证了对大約以 4 吨/小时的速度所要灌到第一迴路中的 Na-K 混合物不断予热。在充注时, 測量了液态金属的液位和温度。

在温度約 120°C 的情况下, 第一迴路的 Na-K 混合物用 24 台电磁泵輸送了 12 小时, 然后所有載热剂排列專門的容器內, 用过滤元件清除其杂质。冷却到 80°C 使部分氧化物沉淀后, 液态金属重新过滤, 充入迴路, 又連續不断循环了五昼夜。在貯藏中 Na-K 合金內所形成的各种氧化物会在迴路灌注时使管子和閥門的某些弯弯处发生堵塞現象。为了去除氧化物, 不得不更換載热剂净化系統內的过滤元件, 其更換次数比想象的要求得多。在这段时期內, 曾校驗了温度和流体的所有检测仪表, 以及大大提高了 Na-K 混合物的純度。混合物中氧的含量利用鋁过滤元件达到了百万分之几 ($10^{-4}\%$)。当 119 吨液态金属充注迴路时, 曾发生了一两次火焰, 这些火焰很快被消灭了。

載热剂的灌注和循环系統的試驗整整进行了一个月。此后开始了启动工作的第三阶段——在迴路灌滿載热剂的情况下对調节系統和装卸系統进行試驗。

在移动一組調节释热元件时脱扣下降机构坏

了, 調节組的繼續下降看来已不可能。当使用装卸机时, 在迴路灌滿的条件下所遇到的某些缺陷是由于轴承上和齿輪传动上妨害自由旋轉的氧化薄膜的有害作用所引起的。

为了消除氧化薄膜曾进行研究和采用了專門的工具, 因必須經常清除液态金属表面上部空間的氧气, 这一工具的操作变得异常麻煩。尽管如此, 还必须將調节組件 12 个传动中的 3 个全部取出, 以清除氧化膜。待燃料装入再生区、反应堆調节系統和測量載热剂中氧化物含量的仪表装好和最后校驗之后, 启动工作的第三阶段就結束了。为了簡化第一次装料的手續, “新鮮”的燃料是利用專門設計的装料机来装入反应堆的, 而释热元件裝到装料机是用手送的。

在第四阶段——最小功率运行——开始以前, 点燃区和再生区已装好天然鈾元件, 再用点燃区元件逐根更換天然鈾元件使之接近临界。根据預先計算, 首先更換了調节組中的元件, 其次更換了星形固定部分各銳角处的元件, 最后再更換点燃区中間的区域 (图 3)。启动仪器共有三个互不相关的能調节反应堆中裂变速度的长电离室。三根測量孔道都单独与事故停堆系統連接, 当功率过高 (超过 200 瓦)

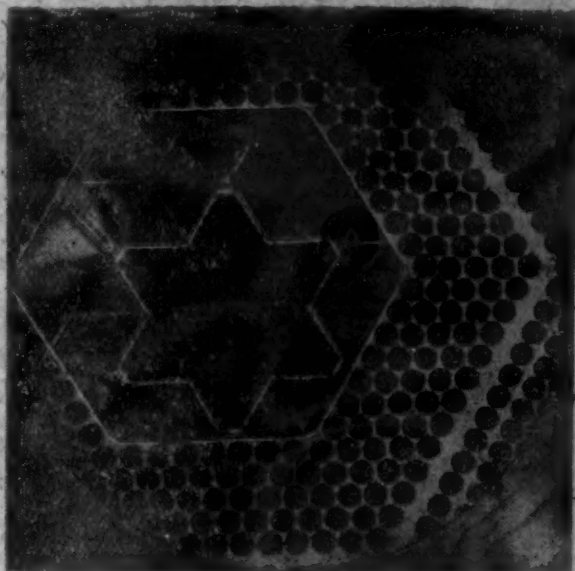


图 3 点燃区固定部分(成六角形)和12个释热元件調节組的俯视图, 同时能見到再生区的上柵板

或功率每增加一倍的周期超出規定值 (20 秒以下) 时停堆。为了更容易启动, 在活性区附近放置了鍍鈹中子源 (重量为 10 克)。

1959 年 10 月, 当更換了 126 根加浓的释热元件之后, 反应堆已几乎达到临界, 开始測量各調节释热元件組的效能。

其中一个长电离室得到的測量結果列于图 4,

表示了计数速率的倒数与直到最后活性区达到临界所装载释热元件数目的关系。在所有调节组都位于活性区时所得到的曲线,用外推法引伸到零,得到

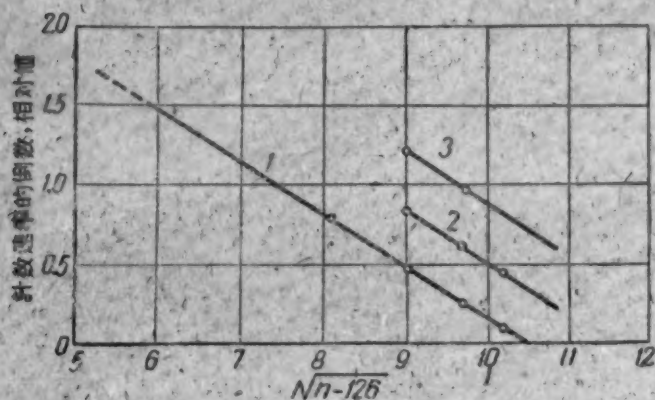


图4 接近于临界状态的曲线
1—临界装载量(234根加浓铀释热元件); 2—抽出了6个调节组; 3—抽出了10个调节组; n —所装入的释热元件数目。

反应堆的临界质量。

当更换了227根元件后,按计数率的倒数曲线可得出,将在装入234根(其中不包括起调节棒作用的元件)加浓释热元件时,达到临界。后又逐根更换了10根元件,求出此时的剩余反应性为0.5%。然后反应堆准备投入小功率的正常运行。在准备中又测定了调节棒的插入深度,这是对反应堆稳定工作所必需的。在功率每增加一倍等于40秒的时间下,达到了25—30瓦。

参考文献

- [1] Nucl. Power, 4, No. 44, 93 (1959).
- [2] Nucl. Power, 2, No. 14, 238 (1957).
- [3] Атомная техника за рубежом, № 4, 75 (1957).
- [4] Nucl. Power, 4, No. 44, 95 (1959).
- [5] Nucl. Engng, 5, No. 44, 5 (1960).

拉丁原子能发电站

在拉丁(距罗马100公里)正在建造一座意大利的大型原子能发电站(如图1),其功率为200兆瓦^[1]。反应堆的基本特性如下:

类型	热中子均匀型
用途	生产电能
功率:	
电功率,兆瓦	200
热功率,兆瓦	705
反应堆的数量	1
燃料	天然金属铀
装载量,吨	262.5
最大温度,℃	585
放热元件:	
形状	棒状
长度,毫米	914.4
直径,毫米	29.3
每一根直径为105毫米的垂直管道内的数量	8
复盖层	厚为2毫米的 $\Lambda 12$ Mg-THOKS 合金(包括肋在内的外直径为57.2毫米;表面——螺旋形肋)
减速剂	"A"型石墨

活性区:

高,米	7.82
直径,米	12.71
包括反射层在内的砌体总的尺寸	9.42×14.25
石墨的平均温度,℃	306
栅格	方形,间距为203毫米 ($\theta = 0.57558$, $\varphi = 0.89295$, $\mu = 1.03341$, $\nu = 2.00649$, $\kappa = 1.06572$)

载热剂 二氧化碳

入口处的温度,℃	180
出口处的温度,℃	390

反应堆壳:

直径,米	20.35
壁厚,毫米	90
总重,吨	1636
工作压力,大气压	12.8

调节系统:

管道数量	100
粗调节棒的数量	91
精调节棒的数量	9
棒的材料	硼钢

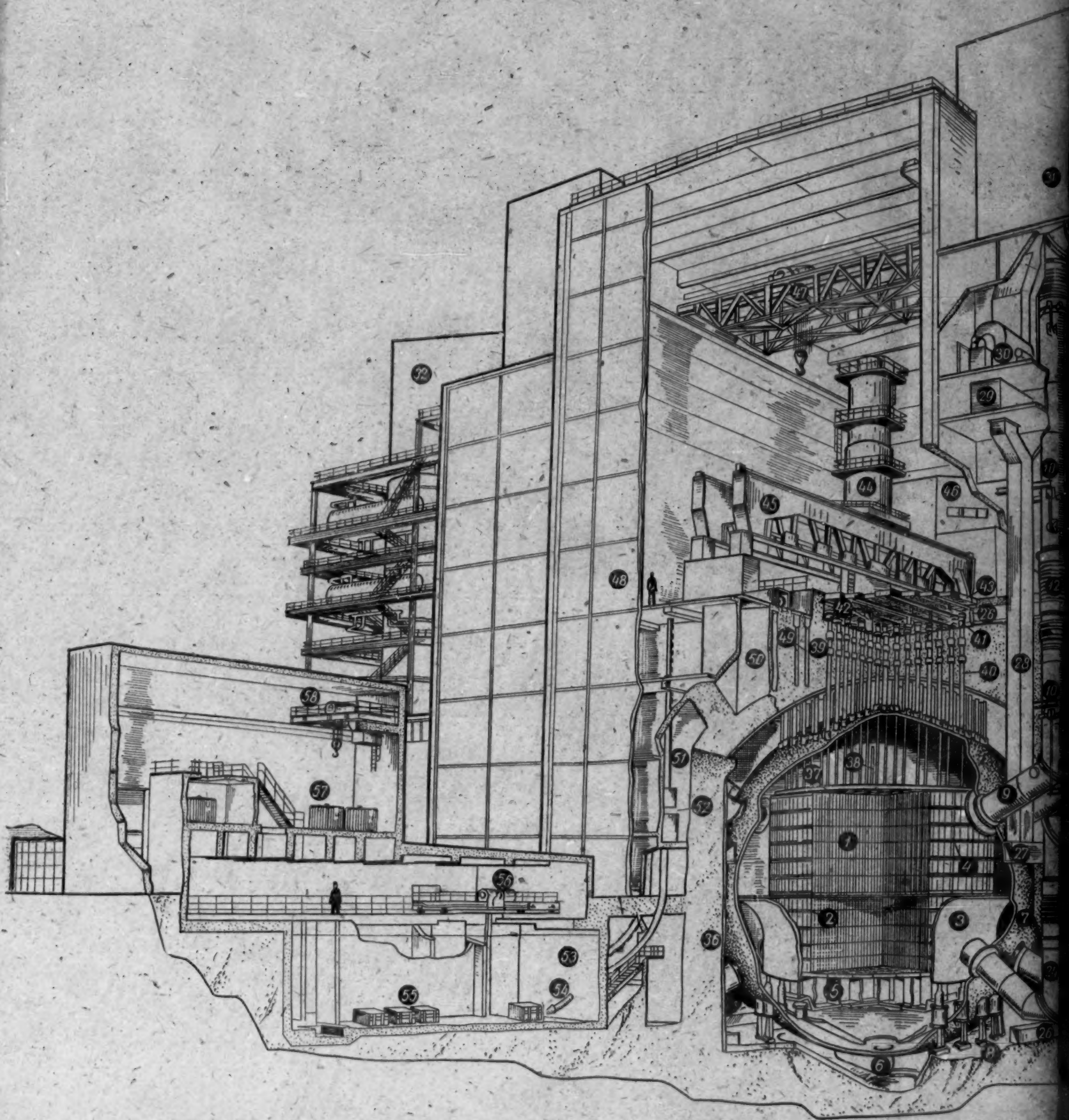
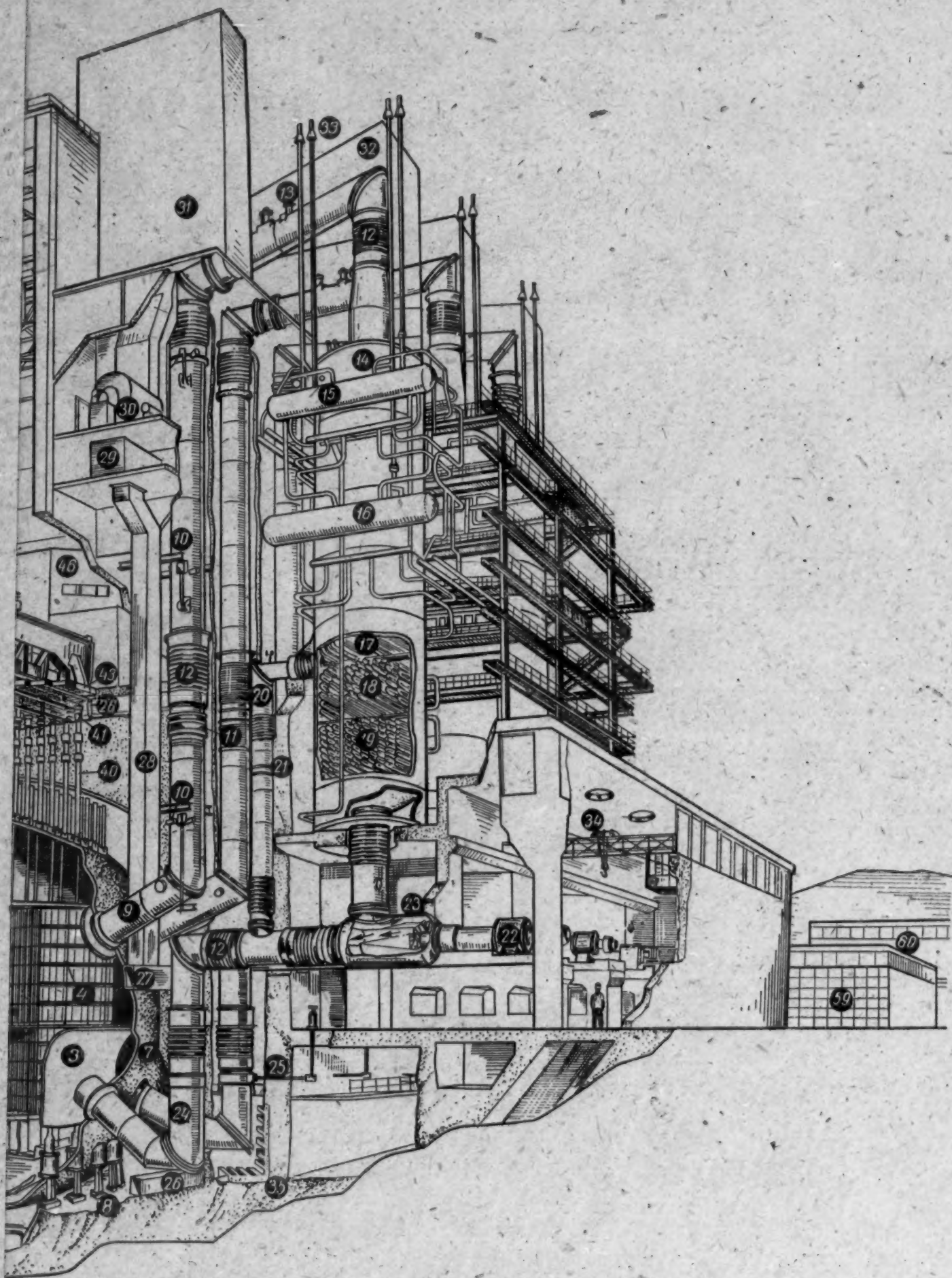


图1 拉丁原子能发电站

- 1—石墨砌体；2—联结活性区砌体的护箍；3—导向隔板；4—研究维格涅尔效应的石墨样品的提取地点；5—支撑
 9— CO_2 输出管道；10—输出管的吊架；11—进气阀门；12—补偿接头；13— CO_2 辅助压力阀门；14—蒸汽发生器
 蒸发器；19—低压蒸汽过热器；20—旁通输送管；21—旁通输送管的阀门；22—鼓风机马达；23—鼓风机；24—
 通风吸收箱；28—通风井；29—通风系统的滤器；30—通风鼓风机；31—通风管；32—蒸汽发生器的生物防护层；
 生物防护层；37—上部板的装卸漏斗；38—装卸槽；39—装卸管道；40—调节棒的管道；41—棒的传动装置；42—
 46—负荷控制台；47—中央大厅的高架起重机；48—装有玻璃的墙壁；49—释热元件储藏室；50—提升孔道；51—
 55—料斗；56—保持水池的桥式起重机；57—容器；58—容器用的起重机；



能发电站

1—反应堆；2—反应堆的冷却剂入口；3—反应堆的冷却剂出口；4—反应堆的冷却剂入口；5—支撑栅格；6—排除被破坏的零件和碎块的管道；7—反应堆外壳；8—支杆；
 9—蒸汽发生器；10—蒸汽发生器的冷却剂入口；11—蒸汽发生器的冷却剂出口；12—蒸汽发生器的冷却剂入口；13—蒸汽发生器的冷却剂出口；14—蒸汽发生器；15—低压蒸汽筒；16—高压蒸汽筒；17—低压节热器；18—低压
 19—鼓风机；20—Co₂输入管道；21—气体输出管的阀门；22—进汽通风箱；23—主要
 24—生物防护层；25—高压蒸汽排除管；26—鼓风机室的桥式吊车；27—防水层；28—
 29—样传动装置；30—装卸用阀门；31—中央室的桥板；32—装料机；33—装料机的支架；
 34—提升孔道；35—装料孔道；36—分割释热元件的装置；37—保持水池；38—装料管；
 39—容器用的起重机；40—操纵室；41—透平机室。

主
 拉
 堆。十
 堆的結
 意
 为
 的金属
 为当絕
 反应
 堆能量
 元件內
 度不超
 转变点。

棒的长度,毫米	8350
防护层:	
材料	混凝土,其密度为 2.2 克/厘米 ³
厚度:	
侧壁,米	2.56
顶部,米	2.59
冷却	空气
蒸汽发生器:	
数量	6
蒸汽参数:	
高压的	$P = 52.4$ 大气压 $t = 373^{\circ}\text{C}$
低压的	$P = 14.3$ 大气压 $t = 373^{\circ}\text{C}$
主透平发电机:	
数量	3
功率,兆瓦	70
每分钟的轉数	3000
端头电压,千伏	11.8

拉丁电站用的反应堆是英国第一个出口的反应堆。卡德尔-豪尔型布拉杜爱尔 (Брадуэлл) 反应堆的结构是这个反应堆结构的基础。

意大利的专家们也参加了这个电站的结构设计

工作。

在英国原子能总局的技术援助下,拉丁原子能发电站由英国的“原子核动力工厂”和意大利的“阿格普原子核”公司建造的。选择这个地区是因为意大利中部和南部的能量工作率很大。罗马和那波里之間的地形調查表明,从经济上和自然条件上看(土壤, 20 立方米/秒的汽轮机用水)距拉丁 9 公里和高安齐屋 15 公里的 107 公顷面积的土地最合适。此外,这块土地离运输线不远。

在原子能发电站的设计中,获取最大功率和保证反应堆安全可靠的运行是最主要的任务。在设计布拉杜爱尔反应堆时就会确定,通过反应堆结构的某些改进是可以使其功率从 150 提高到 200 兆瓦。当时曾经决定,在设计拉丁发电站的反应堆时,应把改进反应堆、释热元件和设备方面的研究结果,考虑进去。

改变反应堆的结构不仅是从改进这一目的出发,而且考虑到电站所在地地区条件的特点。后者主要关系到电站各厂房的相互配置、水循环系统、反应堆调节系统的布置和整个装置的辐射安全检查。

把气体压力由 10.3 (布拉杜爱尔) 增加至 13.8 绝对大气压(拉丁)是主要改进之一。这使得外壳壁的最大厚度增加至 11.1 厘米,而布拉杜爱尔反应堆外壳壁的最大厚度为 10.0 厘米^[4]。

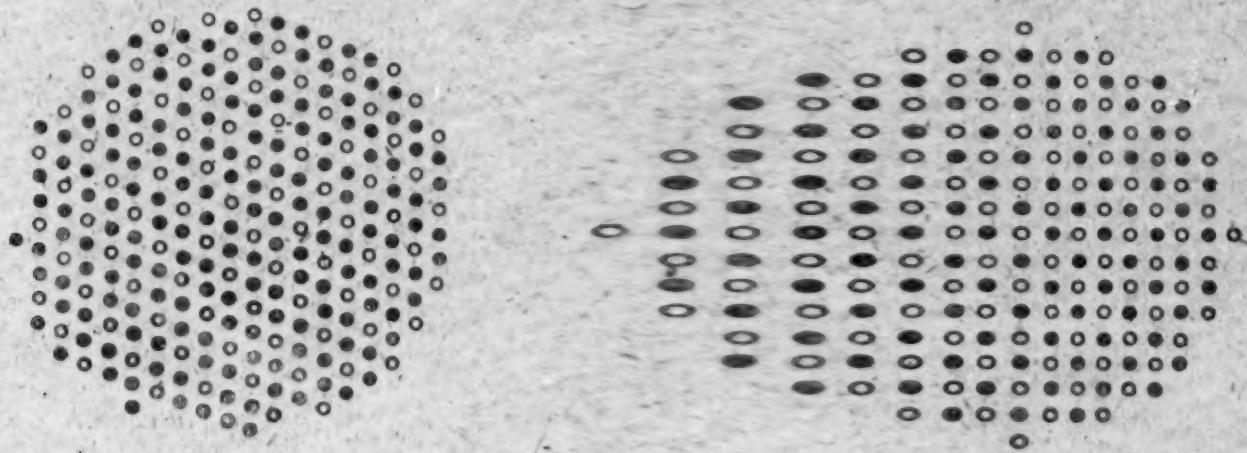


图2 布拉杜爱尔(左)和拉丁(右)反应堆的轉載管道与调节系统管道的配置图
○——轉載管道; ●——调节棒传动管

为了得到热绝缘,在外壳的内部复上一层带格的金属薄片。对这个绝缘层给予了很大的注意,因为当绝缘破坏时,将通过壳壁损失很多热量。

反应堆内气体压力的增加使我们能够增加反应堆能量强度,从而增加反应堆的热功率。同时释热元件内产生的温度并未超过临界值:燃料表面的温度不超过 440°C , 铀棒中央的温度将不超过铀的相转变点。

反应堆活性区的尺寸比布拉杜爱尔反应堆活性区的尺寸稍增大一些(12.2 增至 12.7 米),以便改善平衡中子通量不均匀性所需之条件。活性区的高度未作变动。由于作了这些改变,反应堆的热功率增加了 33%,而蒸气温度并未变,因此,载热剂的流量发生了相应增加。为了保证载热剂的附加流量,气体引出管和引入管的直径需要由 152 增至 167 厘米。

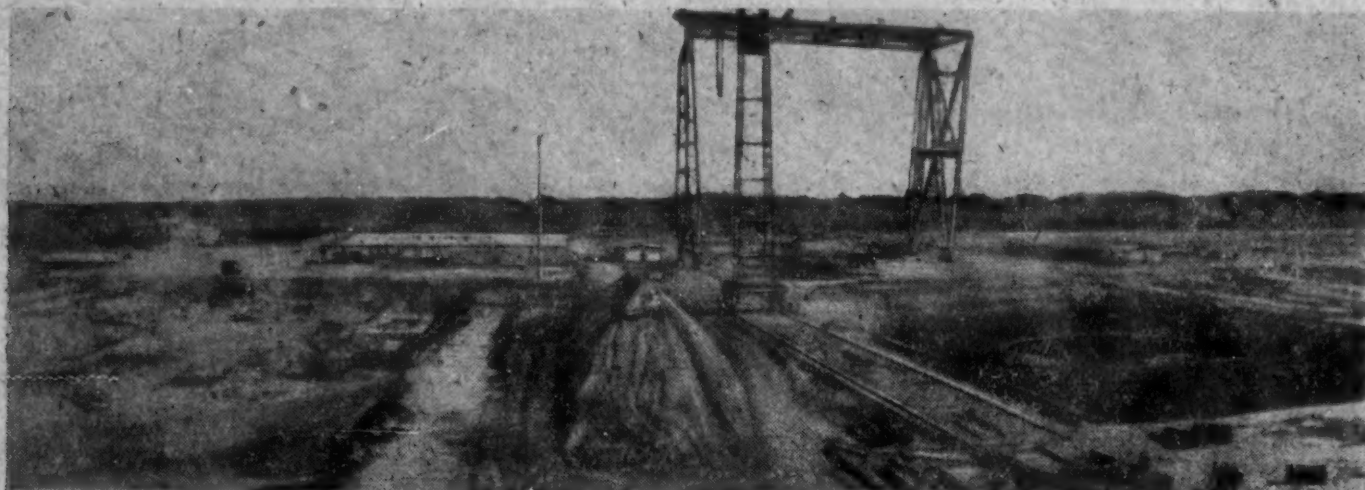


图3 拉丁原子能发电站建筑工地

曾采用紧密配置热交换器和在预热器内使用有肋的管子来代替平滑的管子方法缩减了蒸汽发生器的总尺寸。这样,拉丁发电站反应堆在蒸汽发生器的直径小(30厘米)的情况下,可保证比布拉杜爱尔发电站更大的撤热能力(33%)。

由于作了这些改变,热损失量减少了,而电站的效率稍有增加(由28.2%增到28.4%)。

在反应堆工作方面所作的改进主要是减少调节棒的数量。这便保证了拉丁发电站反应堆的结构对棒和转载管的配置更加简易和方便了^[4]。同时简易了为转载工作管道而通向工作管道的路径(图2)。

此外,对调节棒传动装置的制动设备和调节棒的机械也作了改进。

拉丁发电站从1958年11月20日正式开始建

造。目前正在发电站工地上进行土建工作(图3)。电站的造价为2000万英镑。发电站预计在1962年投入工作^[5]。

参 考 文 献

- [1] *Nucl. Power*, 5, No. 45, 85 (1960).
- [2] Р. Воган, Е. Андерсон: Тр. Второй международной конференции по мирному использованию атомной энергии (Женева, 1958). Избр. докл. иностранных ученых. Т. 4—Ядерные реакторы и ядерная энергетика. М., Атомиздат, 1959, стр. 5.
- [3] *Energia Nucl.*, 6, No. 9, 596 (1959).
- [4] *Nucl. Engng*, 4, No. 41, 329 (1959).
- [5] *Nucl. Engng*, 4, No. 34, 39 (1959).

TURRET 高温气冷反应堆

在洛斯阿拉莫斯科学研究室里(美国)¹⁾正在设计热功率为3兆瓦的氦气冷却反应堆;反应堆的释热元件无防护包层,也就是说燃料与载热剂直接接触。在称为'TURRET'反应堆的运行过程中应该弄清有“沾污”回路的单回路反应堆装置所有的优点,而且要获得解决设计类似装置时特殊问题所需的数据。反应堆出口处的气体温度相当高,甚至可以使用气体透平式发电机。此外反应堆内所得的热气体($\sim 1300^{\circ}\text{C}$)可以用来强化高温化学过程,例如烟煤的气化。

目前对单回路反应堆装置能可靠而安全的运行还没有把握。因此在'TURRET'反应堆上进行实验的主要目的是研究反应堆的工作及采用无包层的多孔释热元件时的传热系统。

反应堆的活性区(图1)是有内腔的圆柱体,它是由石墨块联接成的。石墨砌块安在石墨反射层内,而反射层安在包有保温层的铸钢制的旋转圆形物上。不用润滑油工作的旋转圆形物轴承用气体进行冷却。浸有高浓集铀的短圆柱体释热元件被放在径向管道中。释热元件的外径为25.4毫米,内径为12.7毫米,长为152.4毫米。活性区四周包有固定石墨反射层,反射层外有保温层。活性区是放在结实的压力壳中,外壳经常保持着较低的温度。释热元件是用专门的加料器装入活性区的管道中,加料器是用压缩气体传动的。在装入“新”元件时,最靠

1) R. Hammond et al: *Nucleonics*, 17, No. 12, 106 (1959).

近中央的内部释热元件被放到中央腔内，然后经过特殊密封的漏斗送到照射燃料的处理装置中。在反应堆全功率工作时，通过转动旋转圆形物上的活性区及选择相应的加料器可以进行活性区内任一管道的换装工作。

烧过的释热元件需在小炉内燃烧，炉灰溶于稀酸中。这样溶液内析出的呈过氧化铀中的裂变产物实际上完全可以除去，而且，铀的损耗最小。

将过氧化铀溶于硝酸中，然后将它送回用铀浸润石墨的装置。不锈钢管中的新石墨元件需装到铀溶液中，石墨中的铀含量很容易地通过溶液浓度的改变来调节。“新”释热元件在干燥和焙烧后可通过特殊密封装置送到反应堆的装料设备内。

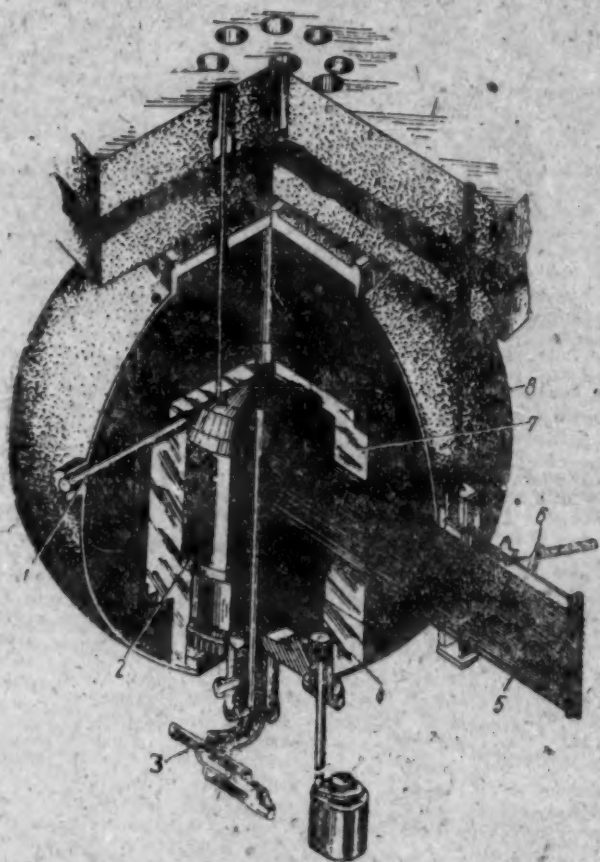


图1 反应堆的概视图

1—氯气出口(温度为 1315°C)；2—转动的活性区；氯气入口(温度为 870°C)；3—卸释热元件用的密封装置；4—保温层；5—装料系统的加料器；6—装料系统的密封装置；7—反射层；8—结实的反应堆压力壳。

因为释热元件没有包层，挥发性裂变产物将会掉入气体载热剂的气流中，据估计，碎片释放速度为10毫克/兆瓦小时。部分氯气不断地从回路中取出，同时经过裂变碎片及其他杂质的纯化系统被抽

走。

TURRET 装置的工艺流程图如图2所示。图中的交流换热器或同流换热器可以用高温过程装置或高温气体透平代替。反应堆的功率可通过改变氯气压力来调节，也就是说当鼓风机保持恒速时改变载热剂的重量流量。工作温度将通过改变燃料换装速度和释热元件的浸润浓度来调节，工作时的剩余反应性实际上等于零。事故停堆的石墨棒用硼浸润，在活性区外围的固定石墨部分考虑有装棒的管道。当气密磁离合器断电时棒就下降。

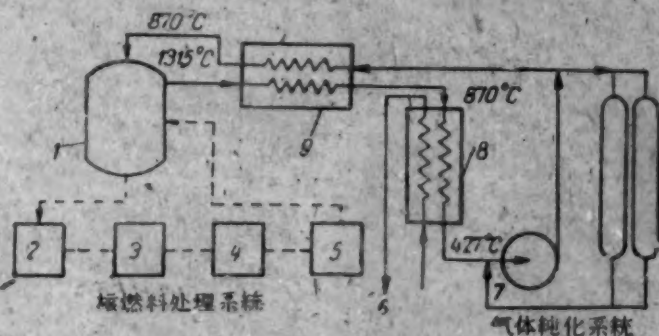


图2 装置的工艺流程图

1—反应堆；2—照射过燃料的燃烧炉；3—除去照射燃料中裂变碎片的纯化部分；4—用铀浸润石墨部分；5—释热元件干燥及焙烧部分；6—接至导热系统；7—鼓风机；8—热交换器；9—同流换热器。

在 TURRET 装置上应进行下列工作：

1. 研究挥发性裂变碎片所沾污的载热剂连续纯化系统的效率。如果能达到高纯化度，则自反应堆洩漏的载热剂危害性就大大减小，因为载热剂中只剩下短寿命放射性产物；

2. 研究“沾污”载热剂装置条件下机械设备(鼓风机、阀门、热交换器)的运行和修理过程。部分裂变产物将成为非挥发性物质(或随非挥发性物质的生成而衰变)，它们与气体纯化系统的效率无关，这些产物将沉积在气体回路的各个部分。目前对有关半衰期，去除这些沉淀方法，设备维护困难以及设备专门防护必要性等方面尚未获得可靠资料；

3. 检查燃料处理的简易价廉系统的工作情况，该系统中照射过的石墨释热元件经燃烧及最低限度的化学处理后可得到浸润新石墨元件用的铀溶液。

TURRET 反应堆建造和运行的工作计划中规定，装置的设计工作在1960年结束，实验研究工作预计可在1962年在洛斯阿拉莫斯开始。

中子截面的新数据

1959年伯鲁克海文国家实验室(美国)¹⁾已为“中子截面图集”第二版的附录准备了 U^{233} , U^{235} 及 Pu^{239} 裂变同位素中子截面的新数据^[1]。所有值都

是属于中子能量为0.0253电子伏(速度为2200米/秒)的中子截面。

热中子裂变同位素的截面

同位素及参数	美国	英国	苏联	法国	加拿大	挪威	印度	世界平均值	世界公认值
U^{233}									
σ_a , 靶	577 ± 4	587 ± 8	590 ± 20	不詳	不詳	不詳	不詳	580 ± 4	578 ± 4
σ_f , 靶	526 ± 4	527 ± 10	525 ± 15	不詳	518 ± 4	521 ± 20	不詳	523 ± 3	525 ± 4
$1 + \alpha$	1.098 ± 0.004	1.11 ± 0.02	1.100 ± 0.005	不詳	不詳	不詳	不詳	1.099 ± 0.003	1.101 ± 0.004
$\nu_{有效}$	2.28 ± 0.02	2.24 ± 0.04	2.31 ± 0.02	不詳	不詳	不詳	不詳	2.29 ± 0.01	2.28 ± 0.02
ν	2.50 ± 0.03	2.49 ± 0.04	2.62 ± 0.10	不詳	不詳	不詳	不詳	2.50 ± 0.02	2.51 ± 0.02
U^{235}									
σ_a , 靶	682 ± 3	699 ± 11	695 ± 20	不詳	不詳	不詳	不詳	663 ± 3	683 ± 3
σ_f , 靶	581 ± 6	583 ± 10	570 ± 15	584 ± 20	569 ± 6	587 ± 16	555 ± 15	582 ± 4	582 ± 4
$1 + \alpha$	1.144 ± 0.010	1.20 ± 0.02	不詳	不詳	不詳	不詳	不詳	1.179 ± 0.009	1.174 ± 0.010
$\nu_{有效}$	2.07 ± 0.02	2.03 ± 0.04	2.08 ± 0.02	不詳	不詳	不詳	不詳	2.07 ± 0.01	2.07 ± 0.01
ν	2.43 ± 0.03	2.43 ± 0.03	2.54 ± 0.10	不詳	不詳	不詳	不詳	2.43 ± 0.02	2.43 ± 0.02
Pu^{239}									
σ_a , 靶	1030 ± 10	1004 ± 24	1035 ± 20	不詳	不詳	不詳	不詳	1028 ± 8	1028 ± 8
σ_f , 靶	751 ± 10	717 ± 14	715 ± 30	770 ± 20	741 ± 5	不詳	不詳	742 ± 4	742 ± 4
$1 + \alpha$	1.37 ± 0.03	1.40 ± 0.04	不詳	不詳	不詳	不詳	不詳	1.38 ± 0.02	1.39 ± 0.03
$\nu_{有效}$	2.07 ± 0.04	2.07 ± 0.06	2.08 ± 0.02	不詳	不詳	不詳	不詳	2.08 ± 0.02	2.08 ± 0.02
ν	2.84 ± 0.06	2.89 ± 0.04	3.02 ± 0.10	不詳	不詳	不詳	不詳	2.89 ± 0.03	2.89 ± 0.03

表中采用下列符号:

σ_a ——辐射俘获和伴随裂变俘获的吸收截面;

σ_f ——裂变截面; $1 + \alpha$ ——俘获截面与裂变截面之比; $\nu_{有效}$ ——一个吸收中子所拥有的中子数;

ν ——一次裂变的二次中子数。

这些常数通过下列关系式相互联系

$$1 + \alpha = \sigma_a / \sigma_f; \quad \nu_{有效} = \frac{\nu}{1 + \alpha}$$

运用上述关系式及使个别常数相符合的方法, 从世界平均值中求出世界统一值。

新数据和1958年的结果相比较^[2], 其精确度约大一倍。 U^{235} 裂变常数的最大改变不超过1%。

参考文献

- [1] D. Hughes et al. BNL-325 (II), Suppl. I. 即将公布。
[2] D. Hughes, R. Schwartz: BNL-325 (II) (Suppl. of Documents, Washington, D. C., July 1, 1958).

1) D. Hughes, Nucleonics, 17, No. 11, 132 (1959).

U²³⁵ 裂变的参数

裂变理论发展的成就和反应堆计算方法的改进要求进一步明确裂变过程的特性。因此哥伦比亚大学(美国)曾对热中子能量区 U²³⁵ 裂变参数的所有测量进行重新研究¹⁾，测量仪表在该热能范围内具有良好的分辨率。通过研究，使我们明确了个别参数测量的精确度，并回答了那些参数有待进一步明确的问题。

为了全面地阐明裂变过程，需要对下列每组中至少一个参数进行绝对测量²⁾：1) σ_t ；2) σ_t 或 σ_a ；3) σ_f ， σ_c 或 α ；4) $\nu_{\text{有效}}$ 或 ν 。在各个实验室内除 σ_a 和 σ_c 外，对所有参数已进行过直接绝对测量。这些测量结果经分析后，将所得的 U²³⁵ 裂变八个参数的所谓“最好”值列入如下：

参 数	“最好”值
σ_t , 靶	694 ± 1.3
σ_f , 靶	15 ± 2
σ_a , 靶	679 ± 3
σ_f , 靶	580 ± 12
σ_c , 靶	99 ± 13
$\nu_{\text{有效}}$	2.07 ± 0.02
ν	2.43 ± 0.02
α	0.172 ± 0.01

而且 $\sigma_t = \sigma_f + \sigma_c$ ； $\sigma_a = \sigma_f + \sigma_c = \sigma_t - \sigma_c$ ； $\alpha = \sigma_c / \sigma_f$ ； $1 + \alpha = \sigma_a / \sigma_f$ ； $\nu_{\text{有效}} = \nu / (1 + \alpha)$ 。

σ_c 值是最近美国各实验室所得的四个值的平均

结果。 σ_c 的这四个数值在测量精确度为 0.5—1.0% 范围内相互符合。

吸收截面 σ_a 是由总截面和散射截面 σ_s 求得的。因为在能量为 0.0253 电子伏时 σ_s 的测量没有进行，所以该值或是将 σ_s 从 0.27—7.7 电子伏能量区向热能区外推测得，或是根据势垒散射和相干散射的理论计算而求得的。

本文中所分析的裂变截面测量是用两种方法进行的。用第一种方法求出与 σ_a 组合的 $1 + \alpha$ 值。用第二种方法根据已知重量样品在校正过的中子通量中的裂变计算测量出 σ_f 。虽然在最近的测量中各值不一致(从 552 靶至 605 靶)，但 σ_f 个别测量的精确度达到 1%。

所求得的俘获截面 β 是 $\sigma_a - \sigma_f$ 之差值。

能量为 0.0253 电子伏时 ν 和 $\nu_{\text{有效}}$ 的测量(上述数值是根据它们求得)在 $\nu_{\text{有效}}$ 测量误差为 2—3% 及 ν 测量误差为 4—5% 范围内相互符合。

本文著者认为，由于这些参数对原子核反应堆计算及裂变理论具有重要意义，所以必须进行 ν 和 $\nu_{\text{有效}}$ 的补充直接测量，误差不超过 1%。

1) G. Safford, W. Havens. Nucleonics, 17, No. 11, 134 (1959). (书报介绍包括有 49 种刊物)。

2) 参数的符号在上篇文献内已有注明。

外国的新铀矿床

1958—1959 年在外国的领土上进行了大力的铀矿床普查。经过普查，在许多过去没有自己铀原料基地的国家(芬兰、墨西哥、西德、西班牙等)都发现了工业矿床。由于在美国和澳大利亚找到了重大的发现，从而使已查明的铀矿储量有了极大的增长。在许多国家找出一些今后普查和勘探大有前途的地区。

表中对 1959 年发现的新铀矿床做了简单的介绍。此外，表中还包括了在彙編中^[1]没有的，前几年发现的某些矿床的资料。在插图中(见 388—389 页之间粘入的一页)注有矿床大致的地理位置；图中的数字与表中矿床的顺序编号相符合。

庫里科娃(Е. Я. Куликова)

什別科多洛娃(В. И. Шпекторова)

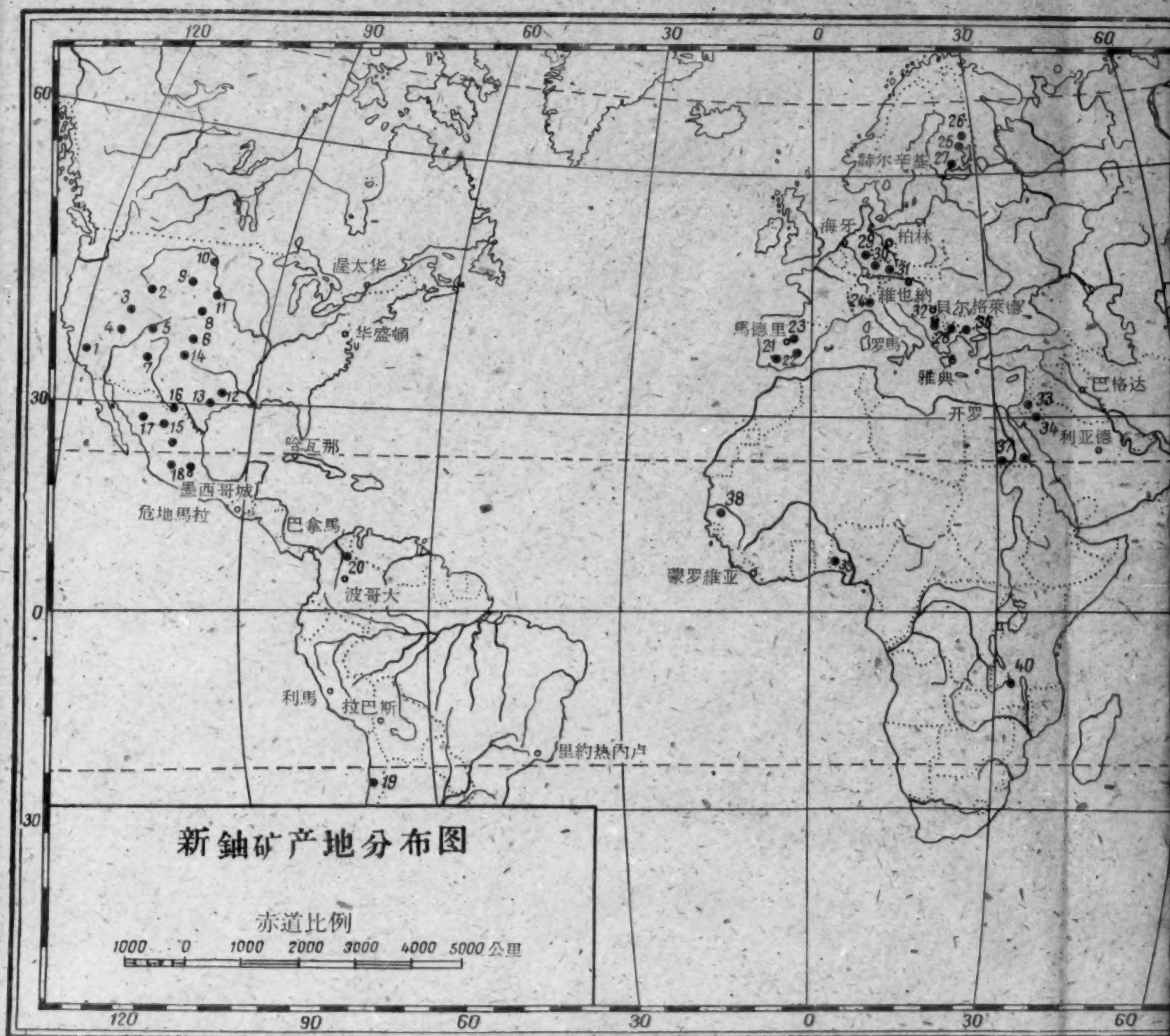
参 考 文 献

- [1] Атомная энергия, 6, вып. 1, 88 (1959).
- [2] Calif. Mining J., 28, No. 1, 18 (1959).
- [3] Mining World, 20, April 15, 107 (1958); 20, No. 6, 78 (1958); 20, No. 13, 58 (1958); 21, No. 3, 73 (1959); 21, No. 7, 87 (1959); 21, No. 11, 59 (1959).
- [4] South-African Mining and Engng J., 69, No. 3421, 479 (1958).
- [5] Econ. Geol., 54, No. 1, 1 (1959); 54, No. 3, 436 (1959).
- [6] Engng and Mining J., 160, No. 3, 114 (1959); 160, No. 4, 194 (1959).
- [7] Mining Congr. J., 44, No. 6, 106 (1958).
- [8] Uranium Mag., 5 No. 4, 12 (1958).
- [9] E. Heinrich: Mineralogy and Geology Radioactive Raw Materials. New York, 1958.

新铀矿床的简介

图上的 编号	国家	位置	简单情况	文献来源*
1	2	3	4	5
1	美国	加利福尼亚州圣鲁伊斯奥比斯波附近的诺瓦霍	确定有铀矿化, U_3O_8 品位从 0.20 到 0.68%	[2]
2	"	爱达荷州斯坦利东北的卡斯杰尔	找到了中等品位的铀矿石, 有 2000 吨	3
3	"	内华达州的瑞温金希季	发现了铀矿化	[3](6)
4	"	内华达州的奥斯金	确定有铀矿化, U_3O_8 品位为 0.2%	[4]
5	"	犹他州的谢尔克尔克里福斯	在三迭纪马茵科比建造的粉砂岩中发现了铀矿化。矿石成分: 閃鋅矿、黄铁矿、白铁矿、沥青铀矿。个别样品中 U_3O_8 的含量从 1 到 4%	[5](3)
6	"	科罗拉多州的科赫托巴、薩貢阿赫、干尼松	发现了热液铀矿床	[5](1)
7	"	亚利桑那州的卡麦伦	开始开采铀矿石(月采 500 到 1500 吨)	3
8	"	怀俄明州, 卡斯别尔以南的什尔里别欣	烏因德河建造第三纪沉积中发现了矿床。铀矿石的储量确定有 4 百万到 5 百万吨, U_3O_8 的品位为 0.5 到 1% 以上	[6](3)
9	"	蒙塔納州, 比林格斯以南的普莱奥尔	发现了铀矿化	[3] (aprilis 15)
10	"	北达科塔州, 波烏明	发现铀矿床	[7]
11	"	南达科塔州; 布法洛	报导发现和调查含矿区	[8]
12	"	特克薩斯州哈尔德利	在第三纪沉积中发现了几个铀矿床, 矿石中 U_3O_8 的平均品位 0.13%	[9]
	"	特克薩斯州, 卡伦斯希季区, 托齐拉山	发现铀矿床。矿化作用为鉀鈾铀矿, 鈾鈣铀矿, 鈣鈾云母和矽鈣铀矿	[9]
13	"	特克薩斯州, 薩姆普列, 福利里	在中新统砂岩中确定有鉀鈾铀矿	[9]
14	"	新墨西哥州, 安布罗西亚湖区, 布萊克詹克 1, 布萊克詹克 2	发现了两个工业矿床。一号地区的铀矿储量为 60 万吨, U_3O_8 品位为 0.30%。二号地区的储量为 8 万吨, U_3O_8 的品位为 0.40%。	[3](11)
15	墨西哥	契瓦沃州, 阿尔达馬东北的謝拉戈麦斯契瓦沃以西, 圣托多馬斯	报导开采矿床, 铀矿石含 U_3O_8 达 0.6—0.8% 查明有 9000 吨铀矿石储量	[10](187); [11]
16	"	契瓦沃州, 奧西那戈西北 30 公里的波克利亞奇卡	发现有工业意义的铀矿床	[10](187); [11]
17	"	索諾拉州的托尼奇	发现了铜、铀矿石一百万吨, 含铀 2000 吨	[10](187)
18	"	瓦哈卡州, 都兰戈, 克列达罗	发现有铀矿化作用	[10](187)
19	智利	有科基姆堡和阿塔卡馬省	发现 6 个铀矿床	[12] (may annual)
20	哥伦比亚	拉巴哈区	发现了热液铀矿床。脉中 U_3O_8 含量为 0.04—0.1% 到 0.22%	[9]
21	西班牙	科尔多瓦和赫安省, 圣都阿里奥区, 卡尔杰那	报导开采铀矿石, 矿石为与铜、镍、钴、铁共生的鈣鈾云母和銅鈾云母	[13—15]
	"	圣都阿里奥区, 杰斯别那别罗斯	在奥陶纪石英岩中找到了铀	
22	"	巴达霍斯省, 阿里布克拉克	报导有带沥青铀矿的热液矿床	[13—15]
	"	烏埃里瓦省, 桑塔巴拉巴拉	发现了高品级的铀矿石	
23	"	謝戈維亞和馬德里达区	确定第三纪陆相沉积有較高的放射性	[13—15]
	"	薩拉曼卡, 薩馬拉省	找到了铀矿物	
24	意大利	圣多那托, 米拉那区	报导处理质量高的铀矿石	[16](1)
25	芬兰	庫奧比奧以东, 埃諾	发现了在大面积上分布的铀矿床, 矿床已经进行开采	[10](181)
26	"	科里, 皮埃利西亞尔維湖西岸	在前寒武纪石英岩和砾岩中找到了沥青铀矿脉和浸染体	[16](4)
27	"	阿斯科拉, 赫尔辛基以北	找到了铀矿化	

* 圆括弧中的数字表示杂志的号碼。





表(續)

图上的 编 号	国 家	位 置	简 单 情 况	文献来源*
1	2	3	4	5
28	希 腊	卡瓦拉,得拉馬,汗季,希季罗卡斯 特罗姆,索罗尼基	发现了鈾矿石和鈷矿石	[12] (may annual)
29	西 德	萊茵兰德普法尔兹和沙尔区	报导在埃尔维列拉附近的布赫尔斯科普弗 发现了工业鈾矿床。在这里已经开始处理鈾 矿石。鈾儲量約 80 吨,矿石中 U_3O_8 平均含量 为 0.11—0.12%	[10](199)
30	"	巴瓦利亚的富兰科尼亚	发现了鈾矿床, U_3O_8 的平均品位达 0.08%	[10](190)
	"	波根,巴瓦尔斯基森林	发现鈾矿化	[10](182)
	"	巴瓦利亚的維先什塔特	发现鈾矿化,鈾儲量为 70 吨	[12](6480)
31	"	巴瓦利亚的維巾多尔福	发现鈾矿化,鈾儲量 30—40 吨	[12](6480)
	"	巴瓦利亚的季尔申列依特	在花岗岩地块中发现鈾矿化,鈾儲量 20— 30 吨。	[12](6480)
	"	巴瓦利亚的科什金戈	确定有鈾矿物	[12](6480)
	"	巴瓦利亚的什温托尔弗	在褐煤中找到鈾。鈾儲量約 40 吨	[12](6480)
	"	巴瓦利亚的法尔根别尔戈	发现鈾矿化,鈾儲量 30 吨	[10](201)
32	南斯拉夫	馬克多尼亚的茲列多沃	在老鉛鋅矿床中发现鈾	[9]
	"	馬克多尼亚的阿列沙尔	在老鋅矿床中发现鈾与鋇和碲共生	[9]
33	以 色 列	涅古耶夫	在上白堊紀的褶皱建造中发现含鈾磷块岩	[9]
	"	意烏杰亚沙漠	在白堊紀山唐尼亚建造的磷块岩中确定有鈾	
34	約 旦	阿馬那以北,埃尔魯謝法	发现上白堊紀含鈾磷块岩	[9]
	"	扎尔戈,那戈布伊什塔尔	发现含鈾磷块岩	
35	印 度	特列希諾波里,馬德拉斯附近	在白堊紀粘土中发现含鈾磷块岩, U_3O_8 含 量达 0.01%, 矿石儲量約 8 百万吨	[9]
36	土 耳 其	埃及尔涅,于保加利亚交界处	发现瀝青鈾矿,与方解石、黃銅矿、方鉛矿 共生	[9]
37	阿 联	沙发戈	报导开采磷块岩,該磷块岩沿紅海岸分布 30 公里	[9]
	"	西白亚,埃尔哈尔戈,达赫拉	发现含鈾磷块岩	[9]
38	塞納加尔	季耶斯	发现含鈾磷块岩,富鈾,含有螢石、釷和釷。 其中的鈾含量为 0.04%	[9]
39	尼日里亞	阿別奧庫塔	发现始新世的含鈾磷块岩	[9]
40	尼亚薩兰	里溫戈斯托尼亚	发现含鈾磷块岩,含 U_3O_8 达 0.73%	[9]
41	澳大利亞	維克多利亞州列依克波戈	在花岗岩中发现工业鈾矿床	[17]
42	"	昆士兰州,烏埃斯特莫兰	在很大的面积上发现了次生鈾矿物	[18]
43	"	昆士兰州,馬翁特埃扎以东 17 公里 的矿床	发现鈾矿床,矿石儲量 80 万吨	[3](7)
	"	昆士兰州,馬翁特埃扎 40 公里的斯 卡斯	发现鈾矿床,矿石儲量 20 万吨	[3](7)
44	"	西澳大利亞州,烏茵得戈姆东南 100 公里的杰涅姆	发现鈾矿床	[19]
45	"	北部領土州的巴列杰,斯列依斯別克	报导开始开采矿床	[20]
46	非吉羣島	瓦奴阿列屋	发现鈾矿物	[21]
47	日 本	秋田县	发现鈾矿床。个别样品中的 U_3O_8 含量达 0.64%	[10](214)
48	"	新潟县	发现鈾矿化, U_3O_8 的品位为 0.11%	[10](214)
49	新 西 兰	烏埃斯特波尔特	确定岩石有較高的放射性	[12](6480)

- [10] *Appl. Atomic*, No. 181, 13; No. 182, 18; No. 187, 19; No. 190, 19; No. 199, 18; No. 201, 17; No. 214, 17 (1959).
- [11] *Mines et metallurgie*, No. 3532, 532 (1959).
- [12] *Mining J.*, 252, May (annual), p. p. 203, 240 (1959); 252, No. 6480, 114 (1959).
- [13] M. Alia et al: Доклад № 1419, представленный Испанией На Вторую международную конференцию по мирному использованию атомной энергии (Женева, 1958).
- [14] *Chem. Ind.*, 10, Nr. 12, 706 (1958).
- [15] Д. Перес: Тр. Второй международной конференции по мирному использованию атомной энергии (Женева, 1958). Избр. докл. иностранных ученых. Т. 8—Геология атомного сырья. М., Атомиздат, 1959, стр. 255.
- [16] *Atomwirtschaft*, IV, Nr. 1, 41 (1959); IV, Nr. 4, 179 (1959); IV, Nr. 6, 235 (1959).
- [17] *Mining Mag.*, C, No. 2, 101 (1959).
- [18] *Indian Mining J.*, 6, No. 7 (1958).
- [19] *Geol. Mag.*, XCVI, No. 3, 177 (1959).
- [20] D. Greenhalgh, P. Jeffery: *Geochim. et cosmochim. acta*, 16, No. 1/3, 51 (1959).
- [21] *Overseas Geology and Mineral Resources*, 7, No. 2, 187 (1958).

照射材料用的工业装置

建造在乌翁基日(Уонгидж)(伦敦以西)的药品辐射消毒的工业装置已开始运转。该装置内使用放射性为 150000 居里的钴源(Co^{60})。其生产率每昼夜

为 7 兆拉特/吨。将来准备把源的放射性增大到 500000 居里^[1]。

照射装置设备及照射材料供应流程图如图 1 和

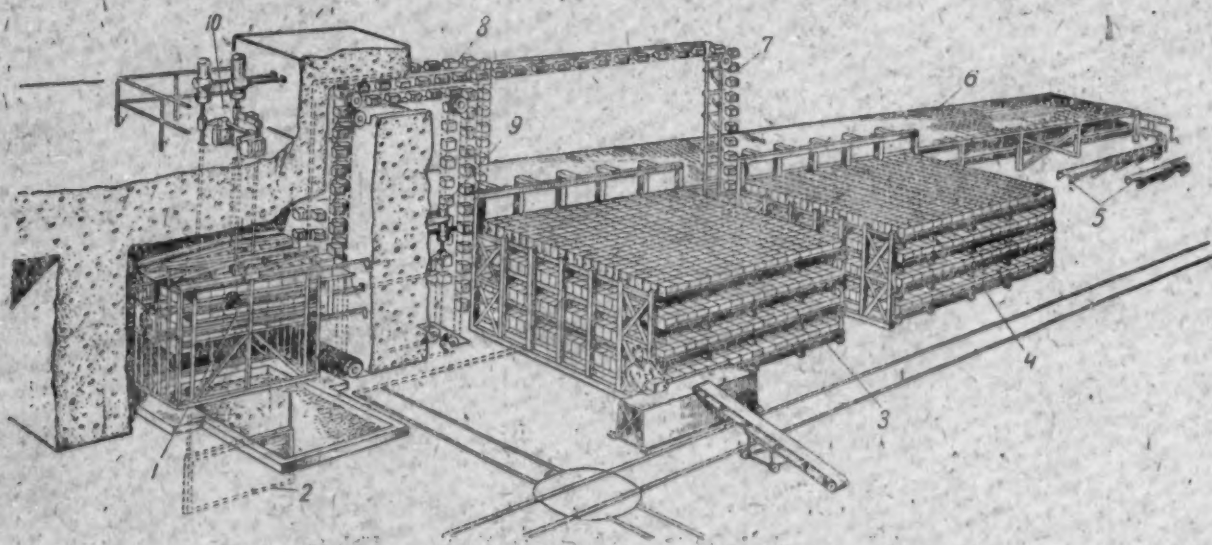


图 1 照射材料用的工业装置的概视图及剖面图

1.照射室; 2.辐射源(非工作状态下); 3.1号原料仓库; 4.2号原料仓库; 5.卸料输送机; 6.消毒过的材料仓库; 7.原料输送机; 8.消毒过的材料输送机; 9.移动小室内照射材料的水平伺服机构; 10.移动小室内照射材料的垂直伺服机构。

2 所示^[2]。整个装置分布在 1000 平方米的面积上。装置分照射及非照射材料贮存室, 自动运输线路系统及四周有混凝土块壁的照射室。

装置结构可以照射占据容积(包装内)30立升的材料。包装好的材料自动地从仓库里送至输送机推入照射室, 在这里根据消毒所需之剂量大小停放 6 分钟到 40 小时之久(此时的剂量范围将从 10000 改变到 500000 拉特。照射室内装有供观察小室内每一组药品移动情况用的“追踪”设备。

供料及检查系统能保证消毒材料所要得到的精确照射剂量。

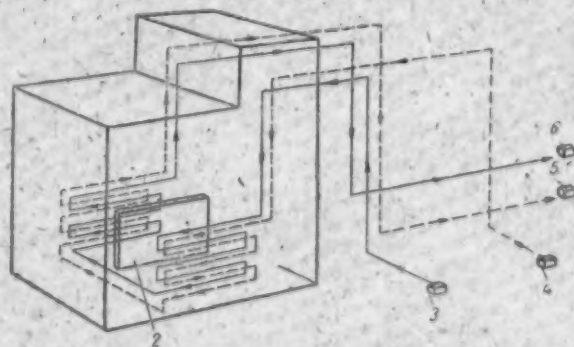


图 2 材料供应及照射的输送线路流程图

1.照射室; 2.源; 3.来自1号贮存室; 4.来自2号贮存室; 5.送至下部贮存室; 6.送至上部贮存室。

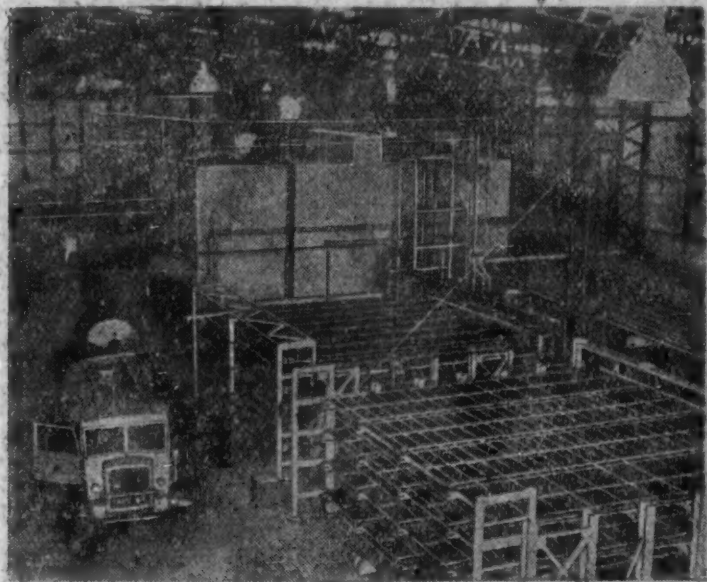


图3 工业用照射装置的建造概视图

当输送机损坏和停下来时，钴源自动降入有水的保护坑道内。图3表示烏翁基日地区的装置的建

簡

保加利亚 科学院正在着手建造 IPT 型核反应堆的研究中心，此种反应堆的建造将由苏联帮助进行，它是供中子物理实验用的。

德意志民主共和国 1960年2月初，在柏林德意志民主共和国和波兰人民共和国的代表根据1957年的政府协定，就进一步在和平利用原子能方面的合作问题，举行了会谈，会谈结果制定了1960年二国之间的合作计划。

美国 原子能委员会报导，小临界实验性气冷核反应堆装置已于1960年2月23日在爱达荷-弗尔斯反应堆实验站开始运行。这种装置在顺利工作的情况下，还打算建造一座便于运输和可装卸的原子发电站，重量小于三十八吨（除了反应堆和将热转变为电能的装置），用一架大型运输飞机或者用一辆挂有拖车的标准军用载重汽车就可以能够将发电站的四个组成部分运至边远地区。报道中说，“通用航空”公司已经正在为这种发电站用的反应堆制造模型，模型将于1961年初制成。

造工程。在后部平面图上可看见第二照射室，它将第二批投入工作。由于使用损耗率低及显著的消毒效率（装置上使用消毒的外科器械，减少了动手术时血中毒的机会^[3]），因而引起了人们对工业照射装置的建造及进一步提高它的生产率给予极大的注意。

在离美尔本（Мельбурн）（澳大利亚）不远的地方也在建造与英国相似的装置。该装置供織地毯的羊毛消毒之用。

美国计划建造的食品消毒装置（采用放射性为2.2兆居里的钴源）目前正处在讨论阶段^[4]。

参 考 文 献

- [1] Nucl. Engng, 4, No. 42, 410 (1959).
- [2] Engineer, 395 (1959).
- [3] Nucl. Engng, 4, No. 42, 408 (1959).
- [4] Nucleonics, 17, No. 11, 26 (1959).

訊

捷克斯洛伐克 捷克第一座回旋加速器于2月19日起动，回旋加速器的设备是苏联供给的，苏联在按装和调整工作上还给予援助，这台加速器将用来进行中子物理和生产人造放射性同位素。

南斯拉夫 南斯拉夫原子能委员会和国际原子能事业局关于在贝尔格莱德附近的，以克德里奇（Б. Кядрич）命名的研究所内进行剂量实验一事达成了协议，实验进行的目的，为了精确测量研究所于1958年10月15日临界装置失去控制时期工作人员所受到的中子和γ射线照射的剂量。

实验和实验的准备工作将由国际原子能事业局进行，而发生事故的临界装置由南斯拉夫原子能委员会负责。临界实验装置在实验期间将达到临界状态；并在四小时内功率为5瓦；而后一小时内功率为500瓦，在这个时间内，将进行仔细的剂量测量。

实验将于1960年5月底结束，实验结果亦将公布出来。

新 書 介 紹

最 新 文 獻

書籍·文集·雜誌

輻射化學基礎

莫斯科-列寧格勒-蘇聯科學院出版社 1959 年，
459 頁。

這本書特別引起讀者的興趣，因為它是在蘇聯輻射化學學校創始人赫洛平 (В. Г. Хлопин) 的思想指導下寫的，書的作者是與他最親近的和多年的同事。

在專門文獻中第一次對放射性同位素性態的規律作了系統的敘述，這和極少量濃縮物質性態規律的研究結果一樣。

作者把輻射化學看成是一門獨立的科學，它是利用原子能和放射性同位素作為示蹤原子的應用的理論基礎。書中着重於測定法和研究方法的問題，詳細地研究了液相、汽相、固相的放射性同位素的微觀狀態，引證了在非均勻系統中放射性同位素微量分布的系統資料。提出了放射性同位素吸附過程新的分類方法。

書中有一章專門論述放射性物質的電化學部分，這無論從實踐或純科學觀點來看都有很大意義。

在每一章的後面都列有與書中敘述問題有關的大量的參考文獻目錄。

這一本書對於輻射化學和有關相近科學範圍內的研究工作者有很大用處，並且還可以作為大學生和研究生的教學參考書。

Materials for Nuclear Reactors (核反應堆的材料) Ed. by B. Kopelman, New York, MacGraw-Hill Book Co. 1959. 411pp¹.

這本書是由好幾個作者所寫的，書中引用了近十五年來在文獻、雜誌和有關會議的報告中所發表過的數據，本書的基本目的是對一些從事堆材料工作或準備着手這方面工作的專家能給予一般的初步指導。

本書共有十章，內容包括有在堆建造中所用到的材料，及其冶煉加工，物理、化學、機械性能、輻射作用下的性態。

書中所涉及問題的討論都帶有一般性，並且利

用不太多的表格、圖解來論證一些結論，在詳盡的數據後面，作者為讀者在每章書末引出大量的文獻和摘要。

在第一章中介紹了有關鈾、鈷、鎢化合物的提取和加工工藝的概括知識，在第二章中列出了有關鈾、鈷、鎢、鉍和它們的某些合金、化合物的物理、化學、機械的基本數據，其中還研究了某些類型陶瓷燃料的性質，例如二氧化鈾，帶有石墨的碳化鈾。書的第三章介紹了釋熱元件的製備，作者強調粉末冶金學在這個生產部門的重要意義。熱元件復蓋層不同形式以及它的處理方法，甚至於接觸底層的製造在這里也都進行了研究，並且還談到單個元件和組件的聯結方法和陶瓷釋熱元件的製備。第四章所介紹的是一些熱元件的試驗方法：1) 無破壞試驗，接觸底層完整性的校驗，裂變物質在元件中分布的均勻性。2) 輻射試驗和在溫度諧共振情況下的熱穩性試驗。3) 鈾的金相學研究。在第五章中研究放射性射線對堆材料性質的影響(燃料及結構材料)。第六章介紹了液體材料和氣體材料在反應堆建造中的應用，以及有關水、氣體、液態金屬、有機液體的一些資料，並且還研究了結構材料在不同介質中的腐蝕問題。第七章介紹的是被利用過的核燃料的處理問題。第八章是談慢化劑及其製備。第九章是屏蔽材料的敘述和製造(混凝土、含硼材料及 γ 輻射的屏蔽材料)。在第十章(最後一章)中敘述了製備控制棒所用的基本材料，並包括非金屬材料在金屬中的彌散和含硼材料等問題。

外國原子能技術 第四期(1960年)第一篇是尤茲(Л. Юз)寫的文章，這里介紹了裂變物質對熱中子截面的世界上最新的數據，這些數據將要發表在《中子截面圖冊》的附錄里面，這些完全和以前的數據相符合，而新數據比舊數據的誤差小二分之一。

在伯厄爾(O. Бэр)等的摘譯文章中，介紹了加速器 DESY (在漢堡) 的工作和結構原理，這項設備是用來獲得能量 60 億電子伏的電子，它還可以繼續提高到 75 億電子伏。

后面四篇文章是介绍堆技术的, 第一篇介绍了“西屋”公司拟制的三个动力堆的设计, 对其中两个设计, 公司将保障生产电能的价格为 0.73 分/千瓦·小时, 这两个设计是蒸气火过热堆和压力水堆, 第三个堆类似苏联烏拉尔原子电站中的堆, “西屋”公司认为这种类型的堆是最有前途的, 在这篇文章中还作了小功率动力堆 ($23M_{вт}$) 与沸水堆在经济上比较的结果. 第二篇文章讨论了有机液体在美国原子反应堆利用的问题, 列出了 OMRE 堆运行数据, 和建立在比庫 (Пиква) 的有机慢化剂和有机载热剂堆, 以及高功率堆 OMCR 的数据. 第三篇文章是哈孟特 (Р. Хэммонд) 等写的, 其中介绍了释热元件无复盖层的 TURRET 堆的设计, 这个堆是洛斯阿拉摩斯实验室设计的, 热功率为 3 兆瓦, 用在活性区中被加热到 1300°C 的氦气冷却. 在第四篇的巴捷克杰尔 (А. Пойндикстер) 文章中研究了降低核燃料生产价格的问题, 文章指出降低价格的途径之一, 是在一次循环中被加工的燃料的量最合理的选择, 其中也列出了对不同燃料加工的价格.

在帕魯士 (Л. Прус) 等人的文章里, 描述弥散于鈾中的浓缩硼材料.

在最后一篇文章里, 讨论了记录射线的电子学的运用问题(鉴别器, 振幅分析器).

期 刊 論 文

1. ФИЗИКА ЯДЕРНОЙ ЭНЕРГЕТИКИ

Вопр. истории естествознания и техники, вып. 8 (1959)

Воробьев А. А., 33—47. Из истории развития электронных ускорителей.

Вопр. философии, № 12 (1959)

Кузнецов И. В., Панасюк И. С., 120—127. О влиянии внешних условий на протекание процесса радиоактивного распада.

Докл. АН СССР, 129, № 3 (1959)

Куликовский А. Г., Любимов Г. А., 525—528. Простейшие задачи, содержащие ионизирующую газ ударную волну в электромагнитном поле.

Изв. АН СССР, серия физ., XXIII, № 12, (1959)

Баранов С. А. и др., 1402—1410. Большой α -спектрометр с двойной фокусировкой.

Самойлов П. С., 1416—1430. Новые данные о распаде Am^{241} .

Берковский А. Г. и др., 1517—1519. Некоторые характеристики новых фотоэлектронных умножителей.

Изв. высш. учеб. заведений, Физика, № 6 (1959)

Акимов Ю. М., 3—4. К вопросу о выводе

электронов из камеры бетатрона методом несимметричного смещения.

Москалев В. А., 5—9. Конструкция и магнитные характеристики двухкамерного стереобетатрона на $10 M_{эв}$.

Преображенский Н. Г., 31—41. О деформации контура спектральной линии, излучаемой в высокотемпературной оптически плотной плазме.

Муравьев И. И., 71—75. К вопросу об измерении электронной температуры и относительной концентрации электронов зондовым и оптическим методом.

Глауберман А. Е., Порфирьева Л. А., 76—84. О высших приближениях в новой форме «плазменных» разложений.

Коваленко Е. С., 85—89. Синхротрон с обобщенным высокочастотным полем.

Гаган Е. Н. и др., 95—101. Некоторые вопросы электронного электростатического генератора Ван-де-Граафа.

Рязин П. А., Мпнервин А. В., 112—123. К исследованию захвата электронов в режим ускорения в бетатронах и синхротронах.

Лобанов Ю. Н., Тулинова Н. И., 124—130. О некоторых особенностях захвата и ускорения электронов в бетатроне.

Авраменко М. Д., 131—134. Некоторые факторы, влияющие на интенсивность гамма-излучения бетатрона.

Круглов С. П. и др., 139—144. Соотношение между «рентгеном» и энергией γ -излучения, падающей на квадратный сантиметр.

Изв. Томского политехн. ин-та, 96, № 1 (1959)

Степанов В. Г., Кухтин В. А., 119—129. Ионный преобразователь частоты для питания бетатрона.

Приборы и техника эксперимента, № 6, (1959)

Паты Л., 3—10. Измерение сверхвысокого вакуума. I.

Григорьев А. М., 10—13. Манометры для измерения сверхвысокого вакуума.

Горячев Ю. М. и др., 13—17. Измерение искажений магнитного поля в ускорителях с жесткой фокусировкой.

Усова И. Н., 17—19. О точности абсолютных измерений интенсивности пучка фотонов от мишени синхротрона ионизационными камерами.

Антонов А. В. и др., 20—24. Автоподстройка реактивных параметров резонансной системы циклотрона.

Афанасьев И. И. и др., 25—27. Щелевой ионный источник для циклотрона.

Федоров Н. Д., Холмовский Ю. А., 27—29. Измерение ширины пучка ионов вблизи источника циклотрона.

Гришаев И. А. и др., 30—32. Измерение фа-

зовой ширины сгустков электронов, ускоренных в линейном ускорителе.

Кулешов Г. Д., Павловский А. И., 119—120. Холодный катод в инжекторе для бетатрона.

Сб. науч. тр. Томского инж.-строит. ин-та, 5 (1959)

Вяльцев А. Н., 141—150. Перспективы развития ядерной физики.

Atomwirtschaft, IV, N. 12 (1959)

Haefler R., Zinsmeister G., 528—532. Вакуумная система кольцевой камеры синхротрона энергией 25 Эв ЦЕРН.

Brit. J. Appl. Phys., 10, No. 12 (1959)

Sisefsky, J., 526—529. Фотографический метод идентификации микроскопических радиоактивных частиц.

Canad. J. Phys., 37, No. 12 (1959)

Sodha M., 1380—1383. Спектральное распределение тормозного излучения из ионизированного газа.

Baerg A. et al., 1418—1437. Угловое распределение осколков фотоделения.

Katz L., 1455—1464. Калибровка деления бетатрона.

Indian J. Phys., 42, No. 9 (1959)

Ghosh. A., 395—400. Γ_n/D для комплексного потенциала с диффузионной границей.

J. Appl. Phys., 30, No. 11 (1959)

Sacuntala M. et al., 1669—1671. Электродвижущая сила в сильно ионизированной плазме, движущейся в магнитном поле.

Lewis H., Reitz J., 1838—1839. Напряжение разомкнутой цепи плазменной термопары.

Kernenergie, 2, N. 12 (1959)

Flach G., Müller Kh., 1068—1071. О динамической поправке при вычислении коэффициентов внутренней конверсии γ -лучей.

Nucl. Energy, 14, No. 140 (1960)

— 14—19. Новая лаборатория нейтронной физики в Харуэлле.

Nucl. Instrum. and Methods, 6, No. 1 (1959)

Livingston R., Howard F., 1—25. Окриджский релятивистский изохронный циклотрон.

Morinaga H., Kikuyunagi T., 66—71. Внутренняя мишень для бетатрона.

Nucl. Phys., 14, No. 1 (1959)

Leblanc J. et al., 120—130. О расщеплении максимума нейтронной силовой функции вблизи $A=55$.

Nukleonik, 1, N. 9 (1959)

Männer W., Springer T., 337—341. Измерения потока резонансных нейтронов методом активации зондов.

Özemiç A., 347—351. Временная зависимость потоков нейтронов в свете многогрупповой теории диффузии.

Nuovo Cimento, XIV, N. 5 (1959)

Gotō T. et al., 1065—1075. О механизме пинч-эффекта.

Emma V., Milone S., 1149—1156. Фотонейтроны из калия и кальция.

Physica, 25, No. 11 (1959)

Brinkman H., 1063—1066. Вихревые уравнения магнитогидродинамики.

II. ЯДЕРНАЯ ЭНЕРГЕТИКА

Тр. Ин-та физ. химии АН СССР, вып. 5 (1959)

Бялобжеский А. В., Вальков В. Д., 119—132. Методика коррозионных и электрохимических исследований металлов в потоке жидкости под действием ионизирующих излучений.

Бялобжеский А. В., 133—138. Прибор для исследования атмосферной коррозии металлов под действием ионизирующего излучения.

Тр. Научно-техн. о-ва судостроит. пром-сти, 8, вып. 5 (1959)

Агафонов Н. А., 81—93. Проект электродвижения ледокола «Ленин».

Atomkernenergie, 4, N. 11 (1959)

Thielheim K., 429—437. Размножение быстрых нейтронов в тепловыделяющих элементах большой толщины.

Angelopoulos M., 437—442. Определение коэффициента использования тепловых нейтронов в блоке решетки.

Schröder E., 442—445. Расчет температуры и механических напряжений в защитных устройствах реакторов.

Kattwinkel W., 446—449. Определение удельной активности жидкости в зависимости от мощности дозы, измеряемой на поверхности цилиндрических сосудов или труб.

Fitzer E. et al., 449—455. Развитие графитовых реакторов в ФРГ.

Braunbek W., 455—458. Методы измерений в ядерной физике. XII.

Atomkernenergie, 4, N. 12 (1959)

Balz W., Schwarzwälder R., 469—473. Расчет циркуляции для кипящего реактора.

Benzler H. et al., 473—476. Создание оптимальных теплотехнических условий в реакторах с газовым охлаждением.

Klicfoth W., 493—500. Лабораторные и учебные реакторы.

Braunbek W., 501—503. Методы измерений в ядерной физике. XIII.

Atomwirtschaft, IV, N. 11 (1959)

Kintner E., 463—467. История создания прототипа ядерного реактора для подводной лодки «Наутилус».

Daldrup H., 468—471. Первое атомное торговое судно—«Саванна».

Hildenbrand G., 479—487. Ядерный реактор типа «Аргонавт».

Hildenbrand G., 487—490. Место расположения реактора типа «Аргонавт».

Atomwirtschaft, IV, N. 12 (1959)

— 505—520. Экономический обзор развития атомной промышленности в 1959 г.

Kourim G., 533—536. Влияние температуры на динамику реактора.

Energia Nucl., N. 12 (1959)

Ascari A. et al., 753—762. Подготовка к пуску реактора «Авогадро RSI».

Svelto V., 763—767. Вычислительные машины непрерывного действия для реакторных установок.

Industries Atomiques, III, No. 9/10 (1959)

Darras R., 41—61. Коррозия, вызываемая в ядерных реакторах газовыми теплоносителями.

Jaderná Energie, 6, No. 1 (1960)

Terpy J., Seidl K., 3—8. Органические замедлители и теплоносители.

Nucl. Energy, 14, No. 140 (1959)

— 11—13. Усовершенствованные системы водяных реакторов.

Bowden A., Drumm J., 22—25, 43. Проектирование больших газовых каналов.

Nucl. Engng, 5, No. 44 (1959)

Allen J., 5—9. Пусковые испытания реактора-размножителя в Даунри.

Vaughan R., 10—13. Управление реактором при быстром выгорании.

Burgess H., 14—18. Конференция по судовым атомным установкам.

Nucl. Power, 5 No. 45 (1960)

— 82—95. Обзор национальных программ развития атомной энергетики.

Guard R., 96—98. Успехи реакторостроения.

Newmarch D., 98—99. Новые методы в физике реакторов.

Steiner C., 108—110. Перспективы развития атомных судов.

Ford G., 111—116. Оценка четырех типов энергетических реакторов.

Hall G., 118—121. Проблемы критичности при проектировании химических установок.

Nucleonics, 18, No. 1 (1960)

Mesler R., 73—75. Быстрый метод определения активации нейтронами.

Hughes E., Greenwood J., 76—80. Загрязнение и очистка реактора NRU.

Mooradian A. et al., 81—85. Повреждение тепловыделяющих элементов реактора NRU вследствие проникновения в них воды.

Fortescue P. et al., 86—90. Основы проектирования реактора HTGR.

Dickinson R., 107, 109—111. Повреждение тепловыделяющих элементов реактора ISRE вследствие закупорки каналов теплоносителем.

Nukleonik, 1, N. 9 (1959)

Smets H., 351—357. Изменение мощности

реактора в зависимости от изменения линейной реактивности.

Sizmann R., 357—368. Основы физического действия излучения на твердые тела.

Nukleonika, IV, Nr 5 (1959)

Frankowski W., 491—504. Выбор характеристик реактора для испытания материалов.

Krejci M. et al., 505—521. Применение моделирующих машин при проектировании ядерных реакторов. Моделирующая машина Чехословацкого института ядерной физики.

Dabek W., 523—546. Интегрирующая ионизационная камера, применяемая при управлении ядерными реакторами.

III. ЯДЕРНОЕ ГОРЮЧЕЕ И МАТЕРИАЛЫ

Докл. АН СССР, 129, № 4 (1959)

Минеев Д. А., Ступникова Н. И., 916—918. О природе радиоактивности ортитов и соотношении в них урана, тория и редких земель.

Старик И. Е. и др., 919—921. Концентрация изотопов тория в водах Черного моря.

Ж. неорганич. хим., 4, вып. 11 (1959)

Вдовенко В. М. и др., 2502—2504. Распределение Ce , Ca , Sr и La между водным раствором и метилбутанкетонем в присутствии урана.

Майорова Е. П., Фомин В. В., 2511—2514. Влияние сульфат-ионов на коэффициент распределения макроколичеств тория при экстракции ТБФ.

Клыгин А. Е. и др., 2623—2629. Изучение системы $\text{UO}_2(\text{NO}_3)_2$ —этилендиаминтетрауксусная кислота—вода методом растворимости.

Изв. АН Киргиз. ССР, серия естеств. и техн. наук, 1, вып. 3 (1959)

Чалов П. И., Мусин Я. А., 113—118. Радиометрическое определение содержания урана-238 и тория-234 в растворах в присутствии других радиоэлементов уранового ряда.

Мусин Я. А., Чалов П. И., 119—125. К вопросу об использовании гамма-излучения продуктов распада радия как индикатора для количественного определения содержания урана в рудах.

Тр. по химии и хим. технол. (г. Горький), 1 (1959)

Левин П. И. и др., 3—7. Применение метода меченых атомов для исследования обратимости реакции полимеризации метилметакрилата.

Усп. хим. наук, XXVIII, вып. 12 (1959)

Козлов В. В., Вольфович С. И., 1403—1449. Восьмой Менделеевский съезд по общей и прикладной химии.

Atomkernenergie, 4, N. 12 (1959)

Fitzer E. et al., 476—480. Развитие графитовых материалов для реакторов в ФРГ (II).

Atompraxis, 5, N. 12 (1959)

Getoff N., 472—474. Радиометрическое определение содержания гафния в цирконии.

Atomwirtschaft, IV, N. 12 (1959)

Hofmann A. et al., 525—527. Система вентиляции в радиохимической лаборатории лакокрасочного завода.

Energia Nucl., 6, N. 12 (1959)

Cerrai E., Testa C., 768—780. Экстракция и разделение циркония и гафния методом жидких анионных обменников в хлористоводородной кислоте. II.

Ascoli A. et al., 781—783. Простой метод выращивания кристаллов.

Brigoli B., Villand S., 784—792. Предварительный расчет установки для разделения дейтерия.

Damiani L., Fattore V., 793—798. Равновесная система азотная кислота—вода и трибутилфосфат.

Industries Atomiques, III, No. 9/10 (1959)

de Chanvalon E., 71—77. Лаборатории для исследования облученного горючего.

Jaderna Energie, 5, No. 12 (1959)

Vrtel J., 397—404. Проблемы материалов для баков высокого давления ядерных реакторов.

Jaderna Energie, 6, No. 1 (1960)

Vrtel J., 9—15. Материалы для управляющих стержней реактора.

J. Appl. Phys., 30, No. 11 (1959)

Kline D., Jacobs A., 1741—1747. Вычисление скорости выделения энергии в полиэтилене при облучении в реакторе.

Hall R. et al., 1846—1847. Исследование отжига кристалла, облученного в реакторе.

J. Inorg. and Nucl. Chem., 11, No. 3 (1959)

Kjelberg A., Pappas A., 173—180. Быстрое радиохимическое выделение мышьяка из осколков и независимый выход As^{78} при делении U^{235} тепловыми нейтронами.

Harder R., Chaberek S., 197—209. Взаимодействие ионов редкоземельных элементов с диэтилентриаминпентауксусной кислотой.

Elving J., Krivis A., 234—241. Полярографическое восстановление U (VI) в присутствии и в отсутствие комплексообразующих реагентов. Природа сульфатных комплексов U (V).

Scherff H., Herrmann G., 247—248. Получение Zr^{95} без Nb^{95} экстракцией теноилтрифторацетоном.

Arnikar H., 248—251. Изотопный эффект электромиграции ионов лития в геле агар-агара.

Gatti R., et al., 251—253. Ионообменные свойства менделевия.

J. Inorg. and Nucl. Chem., 11, No. 4 (1959)

Goodall C., Moore R., 290—296. Соосаждение протактиния с двуокисями марганца, свинца и олова.

Smith T., 314—319. Влияние фтор-ионов на комплексообразование U (IV) с этилендиаминтетрауксусной кислотой.

de Maine P., Koubek E., 329—336. Неорганические соли, растворенные в неводных или смешанных растворителях. I.

Kernenergie, 2, N. 12 (1959)

Ardenne M. et al., 1094—1104. Спектры неорганических веществ как основа шкалы масс высокочастотных масс-спектрографов для многоатомных молекул.

Steinkopff H., Thumler F., 1105—1114. Уран-кремниевые сплавы и соединения.

Fodor M., 1115—1118. Применение метода разделения с участием комплексообразования и ионообменников при количественном определении урана.

Schneer A., 1119—1121. Применение объемноаналитического метода для определения циркония.

Naumann D., Riedel S., 1122—1125. Обогащение Fe^{59} из ферроцена и ацетилферроцена методом Сцилларда—Чалмерса.

Munze R., Jantsch K., 1126—1130. Образование Ca^{45} в результате реакции $Sc^{45}(n, p)Ca^{45}$. I. Определение выхода Ca^{45} при различных условиях облучения.

Nucl. Engng, 5, No. 44 (1959)

Eaton N., 19—22. Сварка электронным лучом.

Scarlett N., Cliffe J., 23—26. Стойкие к облучению смазки.

— 31—32. Промышленное производство бериллия.

Nucl. Power, 5, No. 45 (1960)

Hall G., 101—103. Химия обработки.

Ball J., 103—105. Ядерное горючее и материалы.

Nukleonika, IV, Nr 5 (1959)

Minc S., Stolarczyk L., 473—485. Проблемы радиационной химии водных растворов.

Шарпаты В., Орехов В., 487—489. О радиолитическом восстановлении нитрата в водных растворах, насыщенных водородом.

Research, XII, No. 12 (1960)

Groth W., 467—474. Газовые центрифуги.

Z. Metallkunde, B. 50, N. 12 (1959)

Schleicher H., 687—690. Влияние добавок палладия на коррозию циркония в горячей воде.

IV. ЗАЩИТА ОТ ЯДЕРНЫХ ИЗЛУЧЕНИЙ

Изв. АН СССР, серия физ., 23, № 11 (1959)

Тимофеева Т. В., Хормушко Т. П., 1283—1285. Новые данные о детекторе медленных нейтронов.

Изв. АН УзССР, серия физ.-матем. наук, № 5 (1959)

Арифов У. А. и др., 12—18. Исследование гамма-лучевого метода морки и консервации коконов тутового шелкопряда.

Измерит. техника, № 12 (1959)

Балон З. П. и др., 47—51. Градуировка γ -дозиметров в диафрагмированных пучках лучей.

Белова Р. С., Янковский И. И., 51—52. Измерение потока быстрых нейтронов индивидуальным дозиметром.

Мед. радиология, IV, № 12 (1959)

Домшлак М. П. и др., 3—11. Задачи экспериментальной техники лучевых воздействий и некоторые радиобиологические данные.

Андреева О. С., 59—63. Гигиеническая оценка условий труда при работе с некоторыми радиоактивными минералами и образцами руд.

Охрана труда и соц. страхование, № 11 (1959)

Беляев А., 16—18. На Воронежской атомной (Охрана труда на электростанции).

Усп. хим. наук, XXVIII, вып. 12 (1959)

Рачинский Ф. Ю. и др., 1488—1522. Химические средства профилактики острой лучевой болезни.

A. M. A. Arch. Industr. Health, 20, No. 5 (1959)

Harris W. et al., 365—382. Опасность радиоактивных поражений, связанная с обработкой урановой руды.

Atomkernenergie, 4, H. 12 (1959)

Wagner R., 481—490. Применение электрофильтров для исследования радиоактивных аэрозолей.

Reiter R., 490—492. Измерения радиоактивности воздуха, осадков и воды во время наводнения в области Северных Альп.

Atompraxis, 5, H. 12 (1959)

Scholz F., 475—481. Вызываемые ионизирующим излучением мутации и выращивание сельскохозяйственных культур.

Atomwirtschaft, IV, H. 11 (1959)

Muth H., 491—494. Международный радиологический конгресс в Мюнхене.

Jaderná Energie, 5, No. 12 (1959)

Beneš J. et al., 409—412. Ядерные эмульсии для нейтронной дозиметрии.

Eckardt A., Heinecke U., 1072—1079. Исследование работы счетчиков радиоактивных излучений.

Kernenergie, 2, H. 12 (1959)

Leistner M., Renker K., 1080—1089. Автоматическое устройство для абсолютного определения радиоактивности методом $\beta\gamma$ -совпадений с помощью счетчиков Гейгера—Мюллера.

Renker K., Erler H., 1090—1093. Импульсное устройство, применяемое при измерениях с помощью искровых счетчиков.

Nucl. Engng, 5, No. 44 (1959)

— 27. Удаление радиоактивных отходов. (Краткий отчет о конференции в Монако.)

Nucleonics, 18, No. 1 (1960)

Goldsworthy W., 92, 94, 96, 98, 99. Полупроводниковый прибор для измерения скорости счета.

Domer F., Hayes F., 100. Зависимость фона от эффективности жидких сцинтилляторов.

Nukleonik, 1, H. 9 (1959)

Verly W. et al., 325—329. Дозировка трития

в пропорциональном счетчике.

Ciccarone P. et al., 329—332. Дозировка трития в пропорциональном счетчике. II—Приготовление образцов.

Nukleonika, IV, Nr 5 (1959)

Dancewicz A., 347—555. Радиобиологические работы Отдела здравоохранения Института ядерных исследований.

Hermanowicz W., 557—566. Исследование радиоактивности воды р. Вислы в границах Большой Варшавы.

Science, 130, No. 3386 (1959)

Gustafson Ph., 1404—1405. Отношение активности Cs^{137} к активности Sr^{90} в почве.

Sewage and Industr. Wastes, 31, No. 11 (1959)

Smith J., 1323—1326. Удаление жидких радиоактивных отходов с атомных судов.

V. РАДИОАКТИВНЫЕ И СТАБИЛЬНЫЕ ИЗОТОПЫ. ИСПОЛЬЗОВАНИЕ РАДИОАКТИВНЫХ ИЗЛУЧЕНИЙ

Вестн. с.-х. науки, № 11 (1959)

Емельянов В. А., Зайцев А. И., 103—109. Итоги использования радиоактивных изотопов в мелноративных исследованиях.

Вопр. экономики, № 12 (1959)

Соколовский А., 166—167. Изучение экономической эффективности использования изотопов.

Заводск. лаборатория, 25, № 11 (1959)

Нисневич А. И., 1341—1342. О величине радиации при изучении износа деталей с применением радиоизотопов.

Измерит. техника, № 12 (1959)

Меркулов В. С., Климушев А. В., 52—54. Определение массового содержания компонент бинарных систем методом ослабления β , γ -излучений.

Механиз. и электрифик. соц. с.-х., № 6 (1959)

Срапеняц Р. А., 14—19. Применение радиоактивных изотопов при исследованиях двигателей.

Сб. тр. Всесоюз. н.-и. горно-металлургич. ин-та цвет. металлов, № 5 (1959)

Плотников В. И., 7—12. Применение радиоактивных изотопов в работах ВНИИЦ ветмета.

Сообщ. Гипрококса, вып. 22 (1959)

Затыльников В. И., 307—313. Применение радиоактивных средств автоматизации в коксохимической промышленности.

Industr. Chemist, 35, No. 418 (1959)

Hall G., 577—579. Применение больших источников излучения в промышленности.

Industries Atomiques, III, No. 9/10 (1959)

Nordau C., 79—84. Отдел изотопов в Институте Вейцманна.

Jaderná Energie, 5, No. 12 (1959)

Bednář J., Krivánek M., 405—408. Источник

гамма-излучения из Co^{60} активностью 400 кюри.

Kernenergie, 2, Н. 12 (1959)

Dietzsch W., 1053—1067. Некоторые специальные проблемы, возникающие при измерении толщины с помощью γ -лучей.

Nucl. Energy, 14, No. 140 (1960)

Paulsen F., 27—30. Производство изотопов в Голландии.

Nucl. Instrum. and Methods, 6, No. 1 (1959)

Trageser D., 26—32. Техника обработки электронных пучками.

Delattre P., 83—93. Ядерные реакторы как инструмент для физических исследований.

Andrews H., 96—100. Ускорители для биологии и медицины.

Nucl. Power, 5, No. 45 (1960)

Maddock A., 105—106. Применение ядерных излучений.

Nucleonics, 18, No. 1 (1960)

Coultry J., Briggs H., 117—118, 120. Применение радиоактивных источников для индикации осевого положения реактивного двигателя.

Nukleonik, 1, Н. 9 (1959)

Vincent D., 332—336. Абсолютные измерения интенсивности излучения радиоактивных изотопов, распадающихся при электронном захвате.

СОДЕРЖАНИЕ

АВГУСТОВСКОГО ВЫПУСКА ЖУРНАЛА "АТОМНАЯ ЭНЕРГИЯ"

ЗА 1960 ГОД

Статьи

А. Д. Галанин. Теория гетерогенного реактора с цилиндрическими блоками конечного радиуса.

П. П. Слюсарев, Г. Я. Ушаков, О. В. Старков, Л. А. Качестков, Л. Н. Нестерова, В. Я. Козлов. Исследование переноса радиоактивных веществ паром и водой и химической стойкости отложений в пароводяной петле Первой атомной электростанции.

Г. Я. Сергеев, В. В. Титова, Л. И. Колбнева. Рекристаллизация холодно-катаного урана.

Н. Н. Севрюгова, О. В. Уваров, Н. М. Жаворонков. Разделение стабильных изотопов бора.

Ю. И. Брегадзе, Б. М. Исаев, В. Квасов. Ионизационные методы определения поглощенной энергии в смешанных потоках быстрых нейтронов и γ -лучей.

Письма в редакцию

Ю. С. Рябухин, А. Х. Брегер. О "радиационном" ядерном реакторе.

Ю. Д. Арсеньев, Е. К. Аверин. К вопросу о приближенном определении оптимального термодинамического цикла атомных электростанций.

А. К. Вальтер, М. Л. Гольдин, В. И. Славин. Приближенный расчет средней энергии электронов, выбиваемых γ -лучами в ионизационной камере.

Г. М. Несмеянова, Н. К. Чернушевич. Исследование поведения минералов, сопутствующих урану, в процессе кислотного выщелачивания руд.

Г. В. Горшков, В. М. Кодюков. Ослабление в железе и свинце γ -излучения объемных источников.

В. М. Кодюков. Ослабление в различных средах γ -излучения точечных источников.

Р. М. Полевый. О поправках на поглощение в подложке 4π -счетчика.

В. П. Соколов. Особенности изменения емкости воздушных конденсаторов при облучении.

Новости науки и техники

Библиография

СОДЕРЖАНИЕ

СТАТЬИ

- И. И. Кульков.* Лекция о науке и технике (660)
- В. Ф. Козлов, М. Г. Землянский.* Конструкция исследовательского ядерного реактора ВВР-С (663)
- Л. В. Дубовой, О. М. Швеи, С. С. Овчинников.* Ионный циклотронный резонанс в плотных плазмах (674)
- А. Г. Самарцева.* Электролитическое выделение малых количеств урана, нептуния, плутония и америция (682)
- Г. М. Несмеянова, Г. М. Алхазашвили.* Исследование роли окислительно-восстановительных процессов при растворении окислов урана в кислых средах (688)
- И. М. Тенекбаум.* О комплексах рудничных радиометрических работ (693)
- Г. Я. Сергеев, В. В. Титова, З. П. Николаева, А. М. Каптельцев.* Термическая обработка урана (696)
- Ю. Н. Сокурский, Ю. В. Бобков.* Исследование увеличения внутреннего трения в образцах поликристаллического урана при изменении температуры (702)
- К. К. Аглинцев, В. В. Бочкарев, В. Н. Граблевский, Ф. М. Караваев.* Методы метрологии радиосактивности в СССР (707)

ПИСЬМА В РЕДАКЦИЮ

- Ю. А. Зысин, А. А. Коврижных, А. А. Лбов, Л. И. Сельченков.* Сечение реакции $\text{Th}^{232}(n, 2n)\text{Th}^{231}$ на нейтронах с энергией 14,7 Мэв (714)
- А. И. Веретенников, Е. Я. Аверченков, М. В. Савин, Ю. А. Спехов.* Гамма-излучение, возникающее в U^{238} под действием нейтронов с энергией 14 Мэв (715)
- Б. В. Гавриловский.* Исследование сцинтилляций в гелии при гелиевых температурах (718)
- Г. М. Кукавсдзе, Р. Н. Иванов, В. П. Мещеряков, Ю. Г. Севастьянов, Б. С. Кирьянов, В. И. Галков, А. П. Смирнов-Аверин.* Масс-спектрометрический анализ и идентификация технеция (721)
- М. С. Пирогов.* Теплоотдача к натрию при малых числах Pe (723)
- Г. М. Панченко, Е. М. Кузнецова, Л. Л. Козлов.* Разделение изотопов лития в простой понообменной колонке (725)
- Г. Н. Котельников, Н. И. Калякин.* Некоторые особенности аэро-γ-поисков в лесных районах (727)
- А. В. Бибергаль, Н. И. Лещинский.* К вопросу о точности расчета фактора накопления γ-излучения в поглощающих и рассеивающих средах малых толщин (730)
- Д. П. Осанов, Е. Е. Ковалев.* Излучение цилиндрического источника за плоской защитой (731)
- И. А. Бочвар, В. Е. Бусыгин, У. Я. Маргулис.* Исследование некоторых искусственно-радиоактивных изотопов в плане их использования для медицинской гаммаграфии (733)

НОВОСТИ НАУКИ И ТЕХНИКИ

X Всесоюзное совещание по ядерной спектроскопии (736). В Институте физики АН УССР (Беседа с заместителем директора Института физики АН УССР по научной работе О. Ф. Немецом) (738). Использование атомной энергии в Бразилии и Аргентине (739). Планы развития ядерной энергетики в Испании (740). Пуск быстрого энергетического реактора в Даунри (741). Атомная электростанция в Латвии (744). Высокотемпературный газовый реактор TURRET (746). Новые данные по нейтронным сечениям (748). Параметры, характеризующие деление U^{235} (749). Новые месторождения урана за рубежом (749). Промышленная установка для облучения материалов (752). Краткие сообщения (753).

БИБЛИОГРАФИЯ

Новая литература (754)

征 求 譯 者 簡 約

1. 本編委会征求俄、英、德、法、日等文种的譯者，譯文内容包括原子能科学技术有关的資料和新聞报导。
2. 凡愿参加翻譯者請来信联系，注明真名、专业、翻譯文种、工作机关及詳細通信地址。
3. 凡向“原子能譯丛”杂志推荐的譯文选题，在未与本編輯部联系前，請勿开譯，以免重譯或选材不合本刊要求。选题須注明来源和内容摘要。
4. 譯稿經采用后酌致稿酬。
5. 惠件請寄“北京市邮局 287 信箱”。

中国科学院原子核科学委员会編輯委员会

原 子 能 (月刊)

編 輯 者	中国科学院原子核 科学委员会編輯委员会 (北京郵箱 287 号)
出 版 者	科 学 出 版 社
印 刷 者	中国科学院印刷厂
总发行处	北 京 市 邮 局
訂 购 处	全 国 各 地 邮 电 局
代訂零售处	全 国 各 地 新 华 书 店 科学出版社各地門市部

(京) 1—3,820

1960 年 8 月 5 日出版
延至 10 月下旬出版

定价: 1.10 元

本刊代号: 2--212